

Almanach p -adyczny

Leon Aragonés

20 sierpnia 2016

Spis treści

| | | |
|----------|---|-----------|
| 1 | Preludium (arytmetyka) | 9 |
| 1.1 | Wartości bezwzględne na ciele | 9 |
| 1.2 | Fałszywa geometria | 11 |
| 1.3 | Klasyfikacja wymiernych norm | 12 |
| 1.4 | Łatanie podziurawionych ciał | 14 |
| 1.5 | Lemat Hensela o podnoszeniu | 16 |
| 1.6 | Regionalnie czy wszechstronnie? | 18 |
| 1.7 | Normowa niezależność | 21 |
| 2 | Analiza | 23 |
| 2.1 | Ciągi oraz szeregi | 23 |
| 2.2 | Bezmyślne różniczkowanie | 26 |
| 2.3 | Szeregi potęgowe | 26 |
| 2.4 | Wielozbieżność | 31 |
| 2.5 | Przestępność | 32 |
| 2.6 | Lemat o podnoszeniu wykładnika | 34 |
| 3 | Analiza z plusem | 35 |
| 3.1 | Ciągi, różnice, sploty | 35 |
| 3.2 | Ciągłość na \mathbb{Z}_p | 36 |
| 3.3 | Lokalna stałość | 39 |
| 3.4 | Rachunek cienisty | 39 |
| 3.4.1 | Funkcje tworzące | 42 |
| 3.5 | Różniczki i pochodne | 43 |
| 3.6 | Algebra Tate'a | 48 |
| 3.7 | Całka Volkenborna | 48 |
| 3.8 | Antypochodna | 51 |
| 3.9 | Dyfeomorfizmy | 53 |
| 4 | Imperium topologii | 55 |
| 4.1 | Klasyfikacja lokalnie zwartych ciał | 55 |
| 4.2 | Zbiór Cantora jako pierścień \mathbb{Z}_p | 55 |
| 4.3 | Grupy topologiczne | 56 |
| 4.4 | Cewka | 57 |
| 4.5 | Topologia teoriomnogościowa | 59 |

| | | |
|----------|--|------------|
| 5 | Kalifat algebry | 61 |
| 5.1 | Algebraiczne spojrzenie na $\ \cdot \ $ | 61 |
| 5.2 | Logarytm i eksponens | 62 |
| 5.3 | Charakter Teichmüllera | 62 |
| 5.4 | Pierścień \mathbb{Z}_p | 63 |
| 5.5 | Granice rzutowe | 63 |
| 5.6 | Ciało \mathbb{Q}_p | 64 |
| 5.7 | Pierścień adeli | 67 |
| 5.8 | Wektory Witta | 67 |
| 5.9 | Problem Waringa | 68 |
| 6 | Rozszerzenia ciał | 71 |
| 6.1 | Rozszerzenia kwadratowe | 71 |
| 6.2 | Przestrzenie unormowane | 72 |
| 6.3 | Przestrzenie skończonego wymiaru | 73 |
| 6.4 | Skończone rozszerzenia ciał | 74 |
| 6.5 | Własności skończonych rozszerzeń | 79 |
| 6.6 | Analiza | 84 |
| 6.7 | Dolączanie p -tego pierwiastka | 84 |
| 6.8 | Na drodze do \mathbb{C}_p | 85 |
| 6.9 | Konstrukcja uniwersalnego ciała Ω_p | 88 |
| 7 | Funkcje specjalne | 93 |
| 7.1 | Logarytm (\mathbb{Q}_p) | 93 |
| 7.2 | Eksponens (klasyczny) | 94 |
| 7.3 | Szereg dwumianowy | 96 |
| 7.4 | Logarytm (japoński) | 97 |
| 7.5 | Trygonometria van Hamme'a | 98 |
| 7.6 | Logarytm (diamentowy) | 99 |
| 7.7 | Gamma Mority | 100 |
| 7.8 | Eksponens (Artina-Hassego) | 104 |
| 7.9 | Eksponens (Dworka) | 106 |
| 7.10 | Funkcja ζ Riemanna | 108 |
| 7.10.1 | Interpolacja funkcji $s \mapsto a^s$ | 109 |
| 7.10.2 | Dystrybucje | 110 |
| 7.10.3 | Miary i całki | 111 |
| 7.10.4 | Transformacja Mellina-Mazura | 113 |
| 7.11 | Stałe matematyczne | 115 |
| 8 | Analiza funkcjonalna | 117 |
| 8.1 | Najlepsza aproksymacja, średnia Banacha | 117 |
| 8.2 | Grupa Pontriagina | 118 |
| 8.3 | Przestrzenie Banacha | 119 |
| 8.4 | Klasyczne twierdzenia | 121 |
| 9 | Równania różniczkowe | 123 |
| 9.1 | Liczby Liouville'a | 123 |

| | | |
|-----------|---|------------|
| 10 | Teoria funkcji | 125 |
| 10.1 | Szeregi potęgowe | 125 |
| 10.2 | Szeregi Roberta | 126 |
| 11 | Mechanika kwantowa | 129 |
| 11.1 | Analityczny wstęp | 129 |
| 12 | Teoria reprezentacji | 135 |
| 12.1 | Reduktywne grupy p -adyczne | 135 |
| 12.1.1 | Gładkość | 135 |
| 12.1.2 | Osiągalność | 136 |
| 12.1.3 | Lemat Schura | 136 |
| 12.1.4 | Szpiczastość | 136 |
| 13 | Trupiołowe królestwo | 137 |

Przedmowa

Liczby p -adyczne do matematyki wprowadził Kurt Hensel. Oto, co chyba mogło być jego główną motywacją: pary \mathbb{Z} , \mathbb{Q} i $\mathbb{C}[x]$, $\mathbb{C}(x)$ (pierścień – ciało ułamków) są do siebie podobne. Zarówno \mathbb{Z} jak i $\mathbb{C}[x]$ są pierścieniami z jednoznacznością rozkładu: liczby pierwsze $p \in \mathbb{Z}$ odpowiadają wielomianom $x - x_0 \in \mathbb{C}[x]$. Każdemu wielomianowi $P(x) \in \mathbb{C}[x]$ można przypisać jego rozwinięcie Taylora wokół x_0 : $P(x) = \sum_{0 \leq i \leq n} a_i (x - x_0)^i$.

Elementy \mathbb{N} również mają tę własność: jeżeli p jest l. pierwszą, to $m = a_0 + \dots + a_n p^n$, przy czym $a_i \in \mathbb{Z} \cap [0, p - 1]$ jest dobrze znanym rozwinięciem w systemie o podstawie p . Kodujemy tak lokalne informacje (rząd x_0 jako pierwiastka P , stopień podzielności m przez p). Analogia nie umiera tak łatwo. W $\mathbb{C}(x)$ istnieją szeregi Laurenta, zazwyczaj zawierające nieskończenie wiele wyrazów.

Spróbujemy stworzyć coś na ich kształt w \mathbb{Q} . Oto przykład, który wyraża więcej niż tysiąc słów. Gdy $p = 3$, to $24 : 17 = (2p + 2p^2) : (2 + 2p + p^2) = p + p^3 + 2p^5 + p^7(\dots)$. Wszystkie szeregi Laurenta w potęgach p o skończonym ogonie tworzą ciało (\mathbb{Q}_p) . Taka definicja jest jednak do niczego. Później rozwiniemy tę analogię i uwypuklimy kilka różnic.

Oto tematyka kolejnych rozdziałów. Zaczynamy od analizy rzeczywistej i kombinatoryki, by przejść potem do topologii i algebry. Z pomocą teorii Galois i algebry liniowej budujemy niearchimedesowe ciało liczb zespolonych (\mathbb{C}_p) oraz jego sferyczne uzupełnienie (Ω_p) . W połowie kończymy zwiedzanie i wyruszamy w naukową ekspedycję, chociaż to chyba wciąż za mało, by poprowadzić poważne badania. Mam nadzieję, że Czytelnik znajdzie po lekturze tego skryptu ulubioną gałąź matematyki w p -adycznej odmianie. Oby się tylko na niej nie powiesił.

Notatki te w żadnym razie nie próbują udawać przesadnie poważnego tekstu. Niestety, ale nie są najprawdopodobniej wolne od błędów. Dla uprzyjemnienia życia podaję, kto jako pierwszy (lub najrozsądniej) podał dane stwierdzenie, na marginesie.

Leon Aragonés
Wrocław, Polandia
20 sierpnia 2016

Rozdział 1: Preludium (arytmetyka)

1.1 Wartości bezwzględne na ciele

Celem tego rozdziału jest wyłożenie solidnych podstaw, na których później zbudujemy Gouvea bardziej szalową teorię. Najpierw zastanowimy się, jakie cechy powinna mieć wartość 2 bezwzględna, by móc ją zdefiniować dla dowolnego ciała. Następnie przekonamy się, co jesteśmy w stanie zrobić, kiedy umiemy już mierzyć odległości. Aż do końca książki przez \mathbb{R}_+ oznaczamy zbiór $\{x \in \mathbb{R} : x \geq 0\}$, zaś \mathcal{K} będzie bliżej nieokreślonym ciałem.

Definicja 1.1.1. *Wartość bezwzględna to funkcja $\|\cdot\| : \mathcal{K} \rightarrow \mathbb{R}_+$, że $\|x\| = 0$ tylko dla $x = 0$, dla wszystkich $x, y \in \mathcal{K}$ zachodzi $\|xy\| = \|x\| \cdot \|y\|$ oraz $\|x + y\| \leq \|x\| + \|y\|$.* 2.1

Wartość bezwzględną spełniającą nieco mocniejsze oszacowanie $\|x + y\| \leq \max\{\|x\|, \|y\|\}$ będziemy określać niearchimedesową.

Nie jest jeszcze do końca jasne, czy obiekt o postulowanych własnościach w ogóle istnieje, jednak wkrótce przekonamy się o tym na bardzo konkretnym przykładzie. Ciała, w których spełniona jest ostatnia nierówność nazywa się na jej cześć ultrametrycznymi. To głównie nimi będziemy zainteresowani.

Przykładem wartości bezwzględnej na $\mathcal{K} = \mathbb{Q}, \mathbb{R}$ jest funkcja określona w następujący sposób. Jeśli $x \geq 0$, to kładziemy $|x| := x$, w przeciwnym razie niech $|x| := -x$. Łatwo sprawdzić, że można ją przedłużyć do ciała liczb zespolonych wzorem $|a + bj| = (a^2 + b^2)^{1:2}$. Przyjmując $x = y = 1$ widzimy, że nie jest ona niearchimedesowa. Z pewnych przyczyn oznaczamy ją przez $|\cdot|_\infty$.

Swoją drogą, litera j zawsze służyć będzie za symbol jednostki urojonej, czyli pierwiastka równania $x^2 + 1 = 0$ i nigdy nie pojawi się jako indeks sumowania.

Na każdym ciele mamy prawo zdefiniować najnudniejszą ze wszystkich możliwych wartości bezwzględnych przez określenie $|x| = 1$, wtedy i tylko wtedy gdy $x \neq 0$ oraz $|0| = 0$. Jest wprawdzie niearchimedesowa, jednak często będzie pomijana w twierdzeniach.

Pojęcie „wartość bezwzględna” oraz „norma” można używać zamiennie, a przy tym to drugie jest znacznie krótsze.

Fakt 1.1.2. *Na skończonym ciele istnieje tylko trywialna norma.*

Dowód. Wynika to z twierdzenia Lagrange’a dla \mathcal{K}^\times . □

Wszystkie ciekawe ciała (z normami) są więc nieskończone. Należy zwrócić uwagę na to, że choć \mathbb{F}_p (ciało o p elementach) jest dla nas mało atrakcyjne, to nie rozumiemy jeszcze jego (być może nieskończonych!) rozszerzeń.

Definicja 1.1.3. Funkcja $v_p: \mathbb{Z} \setminus \{0\} \rightarrow \mathbb{R}$, „największy wykładnik v , że p^v dzieli argument”, to waluacja p -adyczna (krotność p w rozkładzie na czynniki pierwsze).

Łatwo sprawdzić, że funkcja v_p jest dobrze określona i przedłuża się w jednoznaczny sposób do ciała liczb wymiernych: dla $\frac{x}{y} \in \mathbb{Q}^\times$ piszemy $v_p(\frac{x}{y}) = v_p(x) - v_p(y)$.

Powszechnie przyjmuje się, że $v_p(0) = \infty$, ponieważ zero można dzielić dowolnie wiele razy przez p .

Przykład 1.1.4. $v_5(400) = v_5(5^2 \cdot 16) = 2$. $v_3(\frac{123}{48}) = v_3(3^1 \cdot 41) - v_3(3^1 \cdot 16) = 0$.

Waluacja ma dwie bardzo ważne własności determinujące geometrię liczb p -adycznych. Ich znaczenie docenimy dwa fakty dalej.

Lemat 1.1.5. Niech $x, y \in \mathbb{Q}$. Wtedy $v_p(xy) = v_p(x) + v_p(y)$ i $v_p(x+y) \geq \min\{v_p(x), v_p(y)\}$ ze stosowną umową dla $v_p(0) = \infty$.

Nadszedł czas na raczej nieoczekiwaną sztuczkę. Druga własność z lematu przypomina nieco warunek, jaki musi spełniać norma, by zasłużyć na przydomek niearchimedesowej. Produkt z lematu zmienia się w sumę (jak przy nakładaniu logarytmu), zaś sama nierówność zmieniła kierunek. Cofniemy to funkcją wykładniczą i odwróceniem znaków.

Fakt 1.1.6. Funkcja $|x|_p = p^{-v_p(x)}$ (dla $x \neq 0$), $|0|_p = 0$ to niearchimedesowa norma na \mathbb{Q} .

Dowód. Oczywiście, jeśli podaliśmy dowód wcześniejszego lematu. □

Dla przykładu, $|3/686|_7 = 7^2 = 49$, ale $|177553|_7 = 1$. Normy p -adyczne nie mierzą więc odległości od zera, ale stopień podzielności.

Fakt 1.1.7. Jeśli \mathcal{R} jest dziedziną całkowitości z ciałem ułamków \mathcal{K} , zaś $v: \mathcal{R} \setminus \{0\} \rightarrow \mathbb{R}$ waluacją (funkcją, dla której prawdziwy jest lemat 1.1.5) przedłużoną do całego \mathcal{K} wzorem $v(\frac{x}{y}) = v(x) - v(y)$, to funkcja $\mathcal{K} \rightarrow \mathbb{R}_+$, $\|z\|_v = \exp(-v(z))$ i $\|0\| = 0$ jest niearchimedesową normą.

Odwrotnie, gdy $\|\cdot\|$ jest niearchimedesową normą, to $-\log \|\cdot\|$ jest waluacją.

Dowód pomijamy, albowiem nie różni się znacząco od tego, który już przeprowadziliśmy. Wymaga jedynie uważnego przeczytania definicji ciała ułamków. Zauważmy, że fakt jest prawdziwy niezależnie od podstawy funkcji wykładniczej (logarytmu), choć pewne wybory są lepsze od innych. Zrozumiemy to po zdefiniowaniu pierścienia adeli.

Literą \mathcal{R} oznaczać będziemy różnej maści pierścienie, zazwyczaj przemienne.

Zdefiniujemy teraz jeszcze dwie normy na ciele funkcji wymiernych $\mathcal{K}(t)$. Jedną z nich jest stopień: $v_\infty(f) = \deg f$, określony na pierścieniu $\mathcal{K}[t]$ i stosownie przedłużony.

Druga z nich jest wyrafinowana. Niech wielomian $p(t) \in \mathcal{K}[t]$ będzie nierozkładalny. W pierścieniu $\mathcal{K}[t]$ rozkład jest jednoznaczny, zatem poniższa definicja ma ręce i nogi:

Definicja 1.1.8. Dla wielomianu $f(t) \in \mathcal{K}[t]$ niech $v_{p(t)}(f(t))$ będzie krotnością, z jaką czynnik $p(t)$ występuje w rozkładzie $f(t)$.

Ciało $\mathcal{K}(t)$ zawiera podpierścień $\mathcal{K}[1/t]$, w którym „wielomian” $1/t$ jest nierozkładalny. Okazuje się, że $v_{1/t} = v_\infty$, zatem wszystkie nasze normy są „ $p(t)$ ”-adycznego typu.

Gouvea **Fakt 1.1.9.** Norma $\|\cdot\|$ na ciele \mathcal{K} jest niearchimedesowa, wtedy i tylko wtedy, gdy $\|n\| \leq 1$ dla 2.2 każdego $n \in \mathbb{Z}$ (włożonego w \mathcal{K}).

Dowód. Oczywista równość $\|\pm 1\| = 1$ pociąga $\|n \pm 1\| \leq \max\{\|n\|, 1\}$. Skorzystanie z dobrodziejstw indukcji matematycznej kończy dowód w prawo.

W lewą stronę wymagane są już czary-mary. Ponieważ $\|x + y\| \leq \max\{\|x\|, \|y\|\}$ jest oczywistą nierównością dla $y = 0$, pokażemy $\|z + 1\| \leq \max\{\|z\|, 1\}$ (dla $z \in \mathcal{K}$). Niech m będzie liczbą naturalną. Wtedy

$$\|z + 1\|^m = \left\| \sum_{i=0}^m \binom{m}{i} z^i \right\| \leq \sum_{i=0}^m \left\| \binom{m}{i} z^i \right\| \leq \sum_{i=0}^m \|z\|^i \leq (m+1) \max\{1, \|z\|^m\}.$$

Pierwiastkujemy obie strony i przechodzimy z m do nieskończoności. \square

Własność Archimedesesa mówi, że $\sup\{\|n\| : n \in \mathbb{Z}\} = \infty$. Jeżeli supremum okaże się być skończone, to wynosi 1 i wartość nie jest archimedesowa. Innych możliwości nie ma.

Historia 1 (Archimedes z Syrakuz).

1.2 Fałszywa geometria

Ciało, gdzie wszystkie działania są ciągłe, nazywa się ciałem topologicznym, takie może być ciało z metryką. Przestrzeń z taką nierównością wydają się być dziwaczne i rzeczywiście nimi są. Skoro pomiar odległości nie należy do normalnych, to i geometria będzie nie z tej Ziemi.

Fakt 1.2.1. W niearchimedesowym ciele \mathcal{K} , $\|x\| \neq \|y\|$ pociąga $\|x + y\| = \max\{\|x\|, \|y\|\}$.

Gouvea
2.3

Dowód. $\|x\| > \|y\|$ pociąga pierwszą nierówność, $\|x + y\| \leq \|x\| = \max\{\|x\|, \|y\|\}$.

Ale $x = x + y - y$, więc $\|x\| \leq \max\{\|x + y\|, \|y\|\}$. Nierówność zachodzi tylko wtedy, gdy $\max\{\|x + y\|, \|y\|\} = \|x + y\|$. To daje drugą nierówność $\|x\| \leq \|x + y\|$. \square

Używanie niearchimedesowych norm jest jak mierzenie odległości do gwiazd z innej galaktyki. Innymi słowy, wszystkie trójkąty są równoramienne, a ich ramiona są dłuższe od podstaw. Zbadamy jeszcze kule. Uwaga. Nie zawsze domknięciem kuli otwartej jest kula domknięta o tym samym promieniu. Z tego względu stosować będziemy zapis $\mathcal{B}(x, r)$ (kula otwarta) oraz $\mathcal{B}[x, r]$ (domknięta).

Fakt 1.2.2. W niearchimedesowym ciele \mathcal{K} każdy punkt kuli (otwartej, domkniętej) jest jej środkiem. Jeśli $r > 0$, to kula jest otwarcie. Dwie kule (domknięte, otwarte) są rozłączne lub zawarte jedna w drugiej.

Dowód. Wszystko jest proste, tylko nic nie jest oczywiste.

1. Jeśli $y \in \mathcal{B}(x, r)$, to $\|x - y\| < r$. Biorąc dowolny z , że $\|z - x\| < r$, dostajemy $\|z - y\| < r$ (niearchimedesowo), zatem $\mathcal{B}(x, r) \subseteq \mathcal{B}(y, r)$. Podobnie w drugą stronę.
2. Każda otwarta kula jest otwartym zbiorem. Weźmy y z brzegu $\mathcal{B}(x, R)$, do tego $r \leq R$. Wtedy pewien z jest w $\mathcal{B}(x, R) \cap \mathcal{B}(y, r)$ (przekrój jest niepusty). To oznacza, że $\|z - x\| < R$ oraz $\|z - y\| < r \leq R$, więc $\|x - y\| \leq R$ i $y \in \mathcal{B}(x, R)$.
3. Weźmy nierozłączne $\mathcal{B}(x, r)$, $\mathcal{B}(y, R)$, że $r \leq R$. Wtedy pewien z leży w obydwu kulach. Ale $\mathcal{B}(x, r) = \mathcal{B}(z, r)$ zawiera się w $\mathcal{B}(z, R) = \mathcal{B}(y, R)$. \square

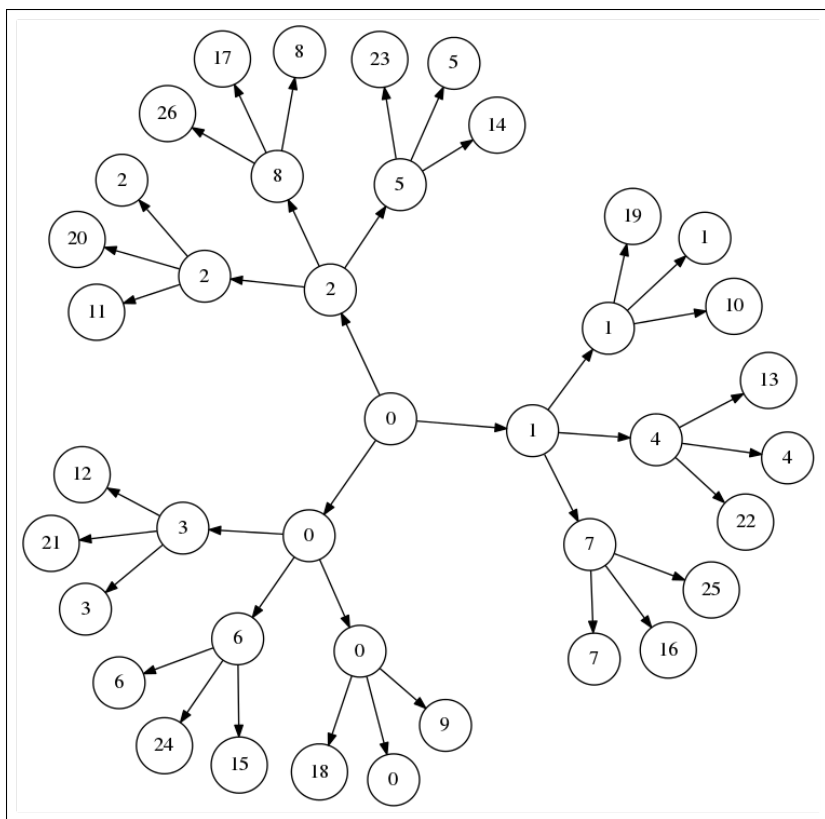
Analogiczne rozumowanie można przeprowadzić dla kul domkniętych.

Efekt ubocznym jest to, że gdy $\mathcal{K} = \mathbb{Q}$, zaś $\|\cdot\| = |\cdot|_p$, to domknięta kula $\mathcal{B}[0, 1]$ jest sumą rozłączną otwartych $\mathcal{B}(i, 1)$ dla $0 \leq i < p$. „Sfera” ($\{x \in \mathcal{K} : \|x - y\| = r\}$) jest otwarta (i *nie jest* brzegiem kuli).

Nietrywialne otwarte kule niczym nie różnią się od swoich domkniętych koleżanek. To pokazuje, do jak wielu fałszywych wniosków można dojść myśląc o każdej przestrzeni metrycznych jak o \mathbb{R}^n .

Cassels nazywa nasze normy waluacjami, a przy tym upiera się przy innej nierówności: $\|x + y\| \leq C \max\{\|x\|, \|y\|\}$. Na stałą $C = 2$ można sobie pozwolić zawsze (zmieniając normę, ale nie topologię) i dostać nierówność trójkąta, na $C = 1$ (ultra) już niekoniecznie.

Wygląda na to, że nigdy nie będzie zgody w sprawie nomenklatury.



Rysunek 1.1: Rzekomo jest to drzewiasta struktura (niezbudowanego jeszcze) \mathbb{Z}_3 .

1.3 Klasyfikacja wymiernych norm

Gouvea Znamy już trzy różne rodzaje norm na ciele liczb wymiernych: rodzinę norm p -adycznych, klasyczną oraz trywialną wartość bezwzględną. Naturalne pytanie, jakie powinniśmy sobie postawić, brzmi: czy są jeszcze jakieś?

Przypomnijmy: dwie normy na ciele są równoważne dokładnie wtedy, gdy ich metryki generują dokładnie takie same topologie. Łatwiej powiedzieć niż sprawdzić, ale na szczęście mamy poniższy lemat.

Lemat 1.3.1. *Następujące warunki są równoważne dla dwóch norm na jednym ciele \mathcal{K} :*

1. *topologie od norm pokrywają się,*
2. $\|x\|_1 < 1$, *wtedy i tylko wtedy gdy* $\|x\|_2 < 1$,
3. *istnieje stała* $\alpha > 0$, *że dla* $x \in \mathcal{K}$ *jest* $\|x\|_1 = \|x\|_2^\alpha$.

Dowód. Pokażemy ciąg implikacji $3 \Rightarrow 1 \Rightarrow 2 \Rightarrow 3$.

$(3 \Rightarrow 1)$ $\|x - y\|_1 < r$, wtedy i tylko wtedy gdy $\|x - y\|_2 < r^{1/\alpha}$. Otwarte kule są nadal otwarte, choć nie zawsze o takim samym promieniu.

$(1 \Rightarrow 2)$ Z każdą topologią związane jest pojęcie zbieżności. Zauważmy, że x^n dąży do zera dokładnie dla $\|x\| < 1$.

$(2 \Rightarrow 3)$ Wybierzmy $y \in \mathcal{K}^\times$, takie że $\|y\|_1 < 1$. Warunek nr 2 mówi, że $\|y\|_2$ też jest mniejsze od jeden. Wskazujemy więc $\alpha > 0$ takie, by $\|y\|_1 = \|y\|_2^\alpha$.

Weźmy $x \in \mathcal{K}^\times$. Jeśli $\|x\|_1 = \|y\|_1$, to drugie normy także są równe, w przeciwnym przypadku jedna z liczb x/y lub y/x miałaby drugą normę większą niż jeden, przeczyłoby to założeniu. Jeśli $\|x\|_1 = 1$, to (patrząc na x lub $1/x$) widzimy $\|x\|_2 = 1$, wtedy równość $\|x\|_1 = \|x\|_2^\alpha$ zachodzi w próżni.

Zastępując (w miarę potrzeby) x przez jego odwrotność, możemy założyć $\|x\|_1 < 1$ i wziąć $\beta > 0$, by $\|x\|_1 = \|x\|_2^\beta$. Ustalmy naturalne n, m . Wtedy $\|x\|_1^n < \|y\|_1^m$, wtedy i tylko wtedy gdy $\|x\|_2^{n\beta} < \|y\|_2^m$. Wzięcie logarytmów daje (po drobnych przekształceniach)

$$\frac{n}{m} < \frac{\log \|y\|_1}{\log \|x\|_1} \iff \frac{n}{m} < \frac{\log \|y\|_2}{\log \|x\|_2}.$$

Prawostronne ułamki są równe, więc $\|y\|_1 = \|y\|_2^\alpha$ i rzeczywiście $\alpha = \beta$. □

Wniosek 1.3.2. *Dwie normy, z których dokładnie jedna jest archimedesowa, nie są równoważne.*

Wniosek 1.3.3. *Normy p - i q -adyczne są równoważne, wtedy i tylko wtedy gdy $p = q$.*

Definicja 1.3.4. *Dwie normy spełniające dowolny z trzech warunków lematu nazywamy równoważnymi.*

Twierdzenie 1 (Ostrowski, 1916). *Każda norma na \mathbb{Q} jest dyskretna lub równoważna z $\|\cdot\|_p$, gdzie $p \leq \infty$ jest liczbą pierwszą.*

Dowód. Niech $\|\cdot\|$ będzie nietrywialną normą na \mathbb{Q} . Pierwszy przypadek: archimedesowa (odpowiada normie $|\cdot|_\infty$). Weźmy więc najmniejsze dodatnie całkowite n_0 , że $\|n_0\| > 1$. Wtedy $\|n_0\| = n_0^\alpha$ dla pewnej $\alpha > 0$. Wystarczy uzasadnić, dlaczego $\|x\| = |x|_\infty^\alpha$ dla każdej $x \in \mathbb{Q}$, a właściwie tylko dla $x \in \mathbb{N}$ (gdyż norma jest multiplikatywna). Dowolną liczbę n można zapisać w systemie o podstawie n_0 : $n = a_0 + a_1 n_0 + \dots + a_m n_0^m$, gdzie $a_m \neq 0$ i $0 \leq a_j \leq n_0 - 1$.

$$\|n\| = \left\| \sum_{i=0}^m a_i n_0^i \right\| \leq \sum_{i=0}^m \|a_i\| n_0^{i\alpha} \leq n_0^{m\alpha} \sum_{i=0}^m n_0^{-i\alpha} \leq n_0^{m\alpha} \sum_{i=0}^{\infty} n_0^{-i\alpha} = C n_0^{m\alpha}$$

Pokazaliśmy $\|n\| \leq Cn_0^{m\alpha} \leq Cn^\alpha$ dla każdego n , a więc w szczególności dla liczb postaci n^N (gdyż C nie zależy od n): $\|n\| \leq C^{1/n}n^\alpha$. Idziemy z N do nieskończoności, wtedy $C^{1/n}$ zbiega do jedynki i otrzymujemy półrówność $\|n\| \leq n^\alpha$.

Teraz trzeba pokazać nierówność w drugą stronę. Skorzystamy jeszcze raz z rozwinięcia. Skoro $n_0^{m+1} > n \geq n_0^m$, to nie kłamiemy pisząc $\|n + n_0^{m+1} - n\| \leq \|n\| + \|n_0^{m+1} - n\|$,

Wnioskujemy stąd, że $\|n\| \geq n_0^{(m+1)\alpha} - \|n_0^{m+1} - n\| \geq n_0^{(m+1)\alpha} - (n_0^{m+1} - n)^\alpha$. Skorzystaliśmy tutaj z nierówności udowodnionej wyżej. Wiemy, że $n \geq n_0^m$, zatem

$$\|n\| \geq n_0^{(m+1)\alpha} - (n_0^{m+1} - n_0^m)^\alpha = n_0^{(m+1)\alpha} [1 - (1 - 1 : n_0)^\alpha] = C' n^\alpha.$$

Od n nie zależy $C' = 1 - (1 - 1 : n_0)^\alpha$, jest dodatnia i przez analogię do poprzedniej sytuacji możemy pokazać $\|n\| \geq n^\alpha$. Wnioskujemy stąd, że $\|n\| = n^\alpha$ i $\|\cdot\|$ jest równoważna najzwyczajszej wartością bezwzględną.

Założmy, że $\|\cdot\|$ jest niearchimedesowa. Wtedy $\|n\| \leq 1$ dla całkowitych n . Ponieważ $\|\cdot\|$ jest nietrywialna, musi istnieć najmniejsza l. całkowita n_0 , że $\|n_0\| < 1$. Zaczniemy od tego, że n_0 musi być l. pierwszą: gdyby zachodziło $n_0 = a \cdot b$ dla $1 < a, b < n_0$, to $\|a\| = \|b\| = 1$ i $\|n_0\| < 1$ (z minimalności n_0) prowadziłoby do sprzeczności. Chcemy pokazać, że $\|\cdot\|$ jest równoważna z normą p -adyczną, gdzie $p := n_0$. W następnym kroku uzasadnimy, że jeżeli $n \in \mathbb{Z}$ nie jest podzielna przez p , to $|n| = 1$. Dzieląc n przez p z resztą dostajemy $n = ap + b$ dla $0 < b < p$. Z minimalności p wynika $\|b\| = 1$, zaś z $\|a\| \leq 1$ ($\|\cdot\|$ jest niearchimedesowa) i $\|p\| < 1$: $\|ap\| < 1$. „Wszystkie trójkąty są równoramienne”, więc $\|n\| = 1$. Wystarczy więc tylko zauważyć, że dla $n \in \mathbb{Z}$ zapisanej jako $n = p^v n'$ z $p \nmid n'$ zachodzi $\|n\| = \|p\|^v \|n'\| = \|p\|^v \leq 1$. \square

Historia 2 (Ostrowski Aleksander).

Często w starciu z teorioliczbowymi problemami warto pracować ze wszystkimi liczbami pierwszymi jednocześnie, to znaczy korzystać z informacji, jakich dostarczają różne normy na \mathbb{Q} . Oto fundamentalny przykład, który pokazuje przy okazji, że ∞ też zasługuje być nazywana liczbą pierwszą.

Fakt 1.3.5 („adelizm” 1). *Gdy $x \in \mathbb{Q}^\times$, to $\prod_{p \leq 2} |x|_p = 1$.*

Dowód. Wystarczy użyć zasadniczego twierdzenia arytmetyki. \square

Podobne stwierdzenie jest prawdziwe dla skończonych rozszerzeń \mathbb{Q} , chociaż wtedy trzeba dolożyć po jednej „nieskończoności” za każde włożenie w \mathbb{R} (albo \mathbb{C}). Zajmiemy się tym przypadkiem nieco później.

1.4 Łatanie podziurawionych ciał

Gouvea Przypomnienie: \mathbb{R} jest uzupełnieniem \mathbb{Q} , to znaczy norma $|\cdot|_\infty$ przedłuża się na \mathbb{R} , \mathbb{R} jest 3.2 zupełne z metryką od niej i \mathbb{Q} leży gęsto w \mathbb{R} . Uzupełnianie jest jak najbardziej konieczne, gdyż

Lemat 1.4.1. *Ciało \mathbb{Q} z nietrywialną normą nie jest zupełne.*

Dowód. Dzięki twierdzeniu Ostrowskiego wystarczy sprawdzić p -adyczne normy.

Niech $p \neq 2$ będzie pierwsza, zaś $y \in \mathbb{Z}$ taka, że nie jest kwadratem, nie dzieli się przez p i równanie $x^2 = y$ ma rozwiązanie w $\mathbb{Z}/p\mathbb{Z}$. Stosowne y zawsze istnieje: wystarczy powiększyć jakiś kwadrat z \mathbb{Z} o krotność p .

Niech x_0 będzie dowolnym rozwiązaniem równania $x_0^2 = a$ modulo p . Rekurencyjnie definiujemy liczby x_n tak, by $x_n = x_{n-1}$ modulo p^n oraz $x_n^2 = a$ modulo p^{n+1} . Tak skonstruowany ciąg nie ma granicy, albowiem $x_n = x_{n-1} + \lambda_n p^n$ dla

$$\lambda_n = \frac{x - x_{n-1}^2}{2x_{n-1}p^n} \pmod{p}$$

Jest Cauchy'ego ($|x_{n+1} - x_n| \leq p^{-n-1}$) oraz nie ma granicy ($|x_n^2 - x| \leq p^{-n-1}$, ale pierwiastek z x , jedyny kandydat, nie istnieje).

Gdy $p = 2$, to zastępujemy pierwiastek kwadratowy sześciennym. \square

Zbudujemy dziś bałwana uzupełnienie. Tak jak przy konstrukcji liczb rzeczywistych, sama metoda, której teraz użyjemy, nie jest ważna. Ważne są natomiast własności struktury, która powstanie – innymi słowy, konstrukcja potrzebna jest tylko do tego, by pokazać istnienie uzupełnienia, nie będziemy z niej więcej korzystać.

Na zbiorze ciągów Cauchy'ego, C , można zadać strukturę przemienne pierścienia z jedynką przez punktowe dodawanie i mnożenie. Żyje w nim ideał N , do którego należą ciągi zbieżne do zera. W pierścieniu C doszukać się można dzielników zera.

Lemat 1.4.2. *Ideał $N \trianglelefteq C$ jest maksymalny.*

Dowód. Ustalmy ciąg $(x_n) \in C \setminus N$ oraz ideał $I = \langle (x_n), N \rangle$. Od pewnego miejsca x_n nie jest zerem, zatem $y_n = 1/x_n$ od tego miejsca, 0 wcześniej ma sens. Ciąg y_n jest Cauchy'ego:

$$|y_{n+1} - y_n| = \frac{|x_{n+1} - x_n|}{|x_n x_{n+1}|} \leq \frac{|x_{n+1} - x_n|}{\varepsilon^2} \rightarrow 0.$$

Ale $(1) - (x_n)(y_n) \in N$, więc $I = C$. \square

Przestaną być dla nas problemem.

Definicja 1.4.3. *Ciało liczb p -adycznych to $\mathbb{Q}_p := C/N$.*

Lemat 1.4.4. *Ciąg $|x_n|_p$ jest stacjonarny (stały od pewnego miejsca), gdy $(x_n) \in C \setminus N$.*

Dowód. Można znaleźć takie liczby ε, N_1 , że $n \geq N_1$ pociąga $|x_n| \geq \varepsilon > 0$. Z drugiej strony istnieje taka N_2 , że $n, m \geq N_2$ pociąga $|x_n - x_m| < \varepsilon$. Połóżmy więc $N = \max\{N_1, N_2\}$. Wtedy $n, m \geq N$ pociąga $|x_n - x_m| < \max\{|x_n|, |x_m|\}$, a to oznacza, że $|x_n| = |x_m|$. \square

Dzięki temu następująca definicja nie jest bez sensu:

Definicja 1.4.5. *Gdy $(x_n) \in C$ reprezentuje $x \in \mathbb{Q}_p$, przyjmujemy $|x|_p := \lim_{n \rightarrow \infty} |x_n|_p$.*

Fakt 1.4.6. *Grupą waluacji \mathbb{Q}_p (obrazem $|\mathbb{Q}_p|$) jest nadal \mathbb{Z} .*

Lemat 1.4.7. *Obraz $\mathbb{Q} \hookrightarrow \mathbb{Q}_p$ po włożeniu jest gęsty.*

Dowód. Chcemy pokazać, że każda otwarta kula wokół $x \in \mathbb{Q}_p$ kroi się z obrazem \mathbb{Q} , czyli zawiera „stały ciąg”. Ustalmy kulę $\mathcal{B}(x, \varepsilon)$, ciąg Cauchy’ego (x_n) dla x i $\varepsilon' < \varepsilon$. Dzięki temu, że ciąg jest Cauchy’ego, możemy znaleźć dla niego indeks N , że $n, m \geq N$ pociąga $|x_n - x_m| < \varepsilon'$. Rozpatrzmy stały ciąg (y) dla $y = x_N$. Wtedy $|x - (y)| < \varepsilon$, gdyż $x - (y)$ odpowiada ciąg $(x_n - y)$. Ale $|x_n - x_N| < \varepsilon'$ i $\lim_{n \rightarrow \infty} |x_n - y| \leq \varepsilon' < \varepsilon$. \square

Fakt 1.4.8. Ciało \mathbb{Q}_p jest zupełne.

Dowód. Ustalmy x_n , ciąg Cauchy’ego elementów \mathbb{Q}_p . Obraz \mathbb{Q} w \mathbb{Q}_p jest gęsty, a zatem można znaleźć liczby wymierne q_n , że $|x_n - (q_n)| \rightarrow 0$ (w ciele \mathbb{Q}_p). Okazuje się, że liczby q_n same tworzą ciąg Cauchy’ego i to właśnie on jest granicą x_n . \square

Jako że ciało \mathbb{Q}_p jest jedyne z dokładnością do izomorfizmu, możemy istotnie zapomnieć Gouvea o tym, w jakich bólach się rodziło. Jest niearchimedesowe, więc przyjrzymy się teraz jego 3.3 algebraicznej stronie. Potrzebne definicje podane są w rozdziale czwartym.

Fakt 1.4.9. Własności pierścienia waluacji $\mathbb{Z}_p := \{x \in \mathbb{Q}_p : |x|_p \leq 1\}$:

1. pierścień „ \mathbb{Z}_p ” jest lokalny; ideał $p\mathbb{Z}_p$ jest maksymalny
2. $\mathbb{Q} \cap \mathbb{Z}_p = \mathbb{Z}_{(p)} = \{\frac{y}{z} \in \mathbb{Q} : p \nmid z\}$
3. włożenie $\mathbb{Z} \hookrightarrow \mathbb{Z}_p$ ma gęsty obraz: jeśli dane są $x \in \mathbb{Z}_p$ oraz $n \geq 1$, to istnieje dokładnie jedna $x_n \in \mathbb{Z} \cap [0, p^n - 1]$, że $|x - x_n| \leq p^{-n}$.
4. każdy element $x \in \mathbb{Z}_p$ jest granicą ciągu Cauchy’ego $x_n \in \mathbb{Z}$, którego wyrazy spełniają $0 \leq x_n \leq p^n - 1$, $x_n = x_{n-1} \pmod{p^{n-1}}$.

Dowód. Pierścień \mathbb{Z}_p jest lokalny, jak inne pierścienie waluacji.

Ideał waluacji jest generowany przez p , bo $|x| < 1$ wtedy i tylko wtedy gdy $|x/p| \leq 1$, czyli $x \in p\mathbb{Z}_p$. Ideał waluacji zawiera się w $p\mathbb{Z}_p$ i jest maksymalny, czyli jest nim po prostu $p\mathbb{Z}_p$.

Niech $x \in \mathbb{Z}_p$, $n \geq 1$ będą ustalone. Wskażemy $\frac{y}{z} \in \mathbb{Q}$, że $|x - \frac{y}{z}| \leq p^{-n}$. Zachodzą nierówności $|y/z| \leq \max(|x|, |x - y/z|) \leq 1$, zatem istnieje $z' \in \mathbb{Z}$, że $zz' \equiv 1 \pmod{p^n}$. To oznacza, że $|y/z - yz'| \leq p^{-n}$ i $yz' \in \mathbb{Z}$. Zastąpiliśmy ułamek liczbą całkowitą.

Wybierając x_n , jedyną całkowitą, że $0 \leq x_n \leq p^n - 1$ i $x_n = yz'$ modulo p^n , dostajemy $|x - x_n| \leq p^{-n}$. Ostatni punkt wynika z przedostatniego. \square

Gouvea **Wniosek 1.4.10.** Zbiory $p^n\mathbb{Z}_p$ to układ otoczeń dla zera kryjący $\mathbb{Q}_p = \mathbb{Z}_p[1/p]$ ($n \in \mathbb{Z}$).

Prob. 91

Gouvea **Wniosek 1.4.11.** Ciąg $0 \rightarrow \mathbb{Z}_p \rightarrow \mathbb{Z}_p \rightarrow \mathbb{Z}/p^n\mathbb{Z} \rightarrow 0$ (najpierw mnożymy przez p^n , później

Prob. 94 rzutujemy) jest dokładny, a strzałki ciągłe. Grupa \mathbb{Z}_p jest beztorsyjna i $\mathbb{Z}_p/p^n\mathbb{Z}_p \cong \mathbb{Z}/p^n\mathbb{Z}$

1.5 Lemat Hensela o podnoszeniu

Gouvea Niewinne stwierdzenie, jakie za chwilę podamy (w najprostszej postaci, dla ciała \mathbb{Q}_p), opisuje

3.4 jedną z najważniejszych cech zupełnych ciał z niearchimedesową normą: mówi, że istnieje prosty przepis na sprawdzenie, czy wielomian ma pierwiastki w pierścieniu \mathbb{Z}_p . Wystarczy znać bardzo przybliżone oszacowanie pierwiastka i wiedzieć, że pochodnia nie wariuje.

Twierdzenie 2 (lemat Hensela). Każde z zer $x_1 \in \mathbb{Z}_p$ dla wielomianu $f(x) \in \mathbb{Z}_p[x] \pmod{p\mathbb{Z}_p}$, że $f'(x_1) \not\equiv 0 \pmod{p\mathbb{Z}_p}$ można podnieść do prawdziwego zera $x \in \mathbb{Z}_p$, które przystaje do $x_1 \pmod{p\mathbb{Z}_p}$. Co więcej, zero to jest jednoznacznie wyznaczone.

Dowód. Wskażemy ciąg Cauchy'ego zbieżny do x i odwołamy się do zupełności.

Użyta przez nas idea znana jest jako metoda Newtona, jednak w analizie rzeczywistej wymaga mocniejszych założeń i przypomni nieco to, czego już dokonaliśmy. Dokładniej, konstruujemy ciąg liczb całkowitych x_n , taki że $f(x_n) \equiv 0 \pmod{p^n}$ oraz $x_n \equiv x_{n+1} \pmod{p^n}$. Łatwo widać, że będzie on ciągiem Cauchy'ego, zaś jego granicą stanowić będzie prawdziwe zero wielomianu f . Odwrotnie, mając zero łatwo odtworzymy ciąg, z którego powstało.

Liczba x_1 istnieje na mocy założeń. Niech $x_2 = x_1 + y_1 p$ dla pewnej (nieznanej nam) liczby $y_1 \in \mathbb{Z}_p$. Wpychając ją do wielomianu f i rozwijając dostaniemy prostsze równanie, $f(x_2) = f(x_1) + f'(x_1)y_1 p \pmod{p^2}$, jako że wyższe wyrazy nas nie obchodzą.

Czujemy potrzebę rozwiązania równania $px + f'(x_1)b_1 p \equiv 0 \pmod{p^2}$, co arcytrudne nie jest. Rozwiązanie to $y_1 = -f(x_1)(pf'(x_1))^{-1} \pmod{p}$.

Uważny Czytelnik zauważy, że skoro z x_1 można dostać x_2 , to z x_n można dostać x_{n+1} na mocy indukcji. Na każdym kroku tylko jeden wyraz pasował do reszty układanki, zatem i cały ciąg (x_n) jest jedyny. \square

W dowodzie skorzystaliśmy ze wzoru Taylora.

Fakt 1.5.1. Dla ustalonych $x, h \in \mathcal{K}$, ciała \mathcal{K} charakterystyki zero oraz wielomianu f ,

$$f(x+h) = \sum_{k=0}^{\infty} \frac{h^k}{k!} \cdot f^{(k)}(x).$$

Dowód. Różniczkujemy obie strony bez końca i porównujemy współczynniki przy x^k . \square

Historia 3 (Hensel Kurt).

Założenie z lematu ($f'(x) \not\equiv 0$) można osłabić, choćby do $|f(x)| < |f'(x)|^2$, ale my tymczasowo wstrzymamy się z podaniem dowodu Schönemana z 1846 roku, jako że już niedługo, choć nie do końca jestem świadom, kiedy, przetłumaczymy lemat na język algebry.

Historia 4 (Schönemann Theodor).

Podamy pierwsze zastosowanie lematu do problemu z prawdziwego życia. Czy możemy sklasyfikować pierwiastki jedności w dowolnym \mathbb{Q}_p ? Bezpośrednim rachunkiem można bowiem sprawdzić, że w ciele \mathbb{Q}_5 istnieje liczba j , której kwadrat to dokładnie -1 .

Okazuje się, że odpowiedź na nasze pytanie jest pozytywna. Lemat Hensela żąda od nas wielomianu, odpowiednim wyborem będzie $f(x) = x^m - 1$ z pochodną $f'(x) = mx^{m-1}$. Pochodna w punkcie x_1 będzie zerem (opuszczona do \mathbb{F}_p) w dwóch przypadkach: kiedy p dzieli x_1 (wtedy i tak nie mamy żadnego pierwiastka) lub gdy p dzieli m . Pozostaje pierwsze założenie.

Lemat 1.5.2. Niech $p \nmid m$. Istnieje taka całkowita n , że $n^m \equiv 1 \pmod{p}$ (ale $n \not\equiv 1 \pmod{p}$), wtedy i tylko wtedy gdy m oraz $p-1$ nie są względnie pierwsze. Dla każdego n , najmniejsza m o żądanych własnościach dzieli $p-1$.

Dowód. Jeśli n istnieje, to jego rząd w \mathbb{F}_p^\times dzieli zarówno m , jak i $p-1$, więc $(m, p-1) > 0$, chyba że $n \equiv 1 \pmod{p}$. Najmniejsze m dzieli najmniejszą wspólną wielokrotność, a z nim też $p-1$. W cyklicznej grupie \mathbb{F}_p^\times istnieje element każdego rzędu dzielącego rząd grupy. \square

Lemat Hensela daje:

Fakt 1.5.3. *Jeżeli naturalna m nie dzieli się przez pierwszą p , to w \mathbb{Q}_p istnieje m -ty pierwiastek pierwotny z jedynki, wtedy i tylko wtedy gdy m dzieli $p - 1$.*

Nie wykluczaliśmy jeszcze istnienia p^n -tych pierwiastków jedności w \mathbb{Q}_p , ale uda się to po poznaniu logarytmu, gdyż sam lemat Hensela jest za słaby. Wrócimy do nich także przy okazji poznania homomorfizmu Tate’a τ . Jeśli zaś m dzieli $p - 1$, to m -te pierwiastki jedności są także $(p - 1)$ -szymi.

Robert „Jednostka urojona”, czyli kwadratowy pierwiastek z -1 w \mathbb{Q}_p istnieje dokładnie wtedy, 1.6.7 gdy $\frac{1}{2}(p - 1)$ jest jeszcze parzysta, czyli dla p postaci $4k + 1$.

Teraz zajmijmy się kwadratami.

Fakt 1.5.4. *Jeśli tylko $p > 2$, to każda p -adyczna jedność $y \in \mathbb{Z}_p^\times$, dla której istnieje z , że $z^2 \equiv y \pmod{p\mathbb{Z}_p}$, jest kwadratem czegoś z \mathbb{Z}_p^\times .*

Dowód. Lemat Hensela dla $x^2 - y$, bo $p \neq 2$ i $y \in \mathbb{Z}_p^\times$ pociągają $2z \not\equiv 0 \pmod{p}$. □

Charakteryzację łatwo przenieść na całe ciało \mathbb{Q}_p .

Gouvea **Wniosek 1.5.5.** *Niech $p \neq 2$. Element $x \in \mathbb{Q}_p$ jest kwadratem, wtedy i tylko wtedy gdy jest postaci Cor.3.4.4 $p^{2n}y^2$, gdzie $n \in \mathbb{Z}$, $y \in \mathbb{Z}_p$ jest jednością. Grupa ilorazowa $\mathbb{Q}_p^\times / (\mathbb{Q}_p^\times)^2$ ma rząd cztery i jest generowana przez p oraz $c \in \mathbb{Z}_p$, element, którego redukcja modulo p nie jest resztą kwadratową.*

Dowód. Własności reszt kwadratowych. □

Dla \mathbb{R} jest inaczej: kwadraty to dokładnie nieujemne liczby, zaś $\mathbb{R}^\times / (\mathbb{R}^\times)^2 \cong \{-1, 1\}$ ma rząd dwa. Co może się dziać w \mathbb{Q}_2 ? Potrzebna jest mocniejsza forma lematu, albowiem $f'(x) = 2x$ jest wielokrotnością dwójki.

Gouvea **Fakt 1.5.6.** *Każda liczba $y \in 1 + 8\mathbb{Z}_2 \subseteq \mathbb{Z}_2$ jest kwadratem w \mathbb{Z}_2 . Odwrotnie, 2-adyczna jedność i Prob. 116 kwadrat przystaje do 1 mod 8. Zatem $\mathbb{Q}_2^\times / (\mathbb{Q}_2^\times)^2 \cong \{\pm 1, \pm 2, \pm 5, \pm 10\}$ ma rząd osiem.*

Dowód. Wystarczy użyć wzmocnionego lematu. □

Gouvea snuje w tym miejscu opowieść o podnoszeniu rozkładów $f(x) \equiv g(x)h(x) \pmod{p}$ do prawdziwych (w \mathbb{Z}_p) równości $f = g \cdot h$. Darujemy sobie.

1.6 Regionalnie czy wszechstronnie?

Poznany dopiero co lemat Hensela pozwala zazwyczaj łatwo sprawdzić, czy wielomian o całkowitych współczynnikach ma zera w \mathbb{Z}_p , jako że wystarczy ich poszukać w \mathbb{F}_p . Podobnie jest na prostej rzeczywistości: jeśli w dwóch punktach ciągła funkcja przyjmuje wartości różnych znaków, to między nimi musi przeciąć oś argumentów.

Powiedzmy, że interesują nas jednak pierwiastki żyjące w \mathbb{Q} . Pierwiastki z \mathbb{Q} przenoszą się w oczywisty sposób do każdego z ciał \mathbb{Q}_p dla $p \leq \text{inf ty}$. Trzeba o tym myśleć tak: ciała p -adyczne są odpowiednikami ciał rozwinięć Laurenta i dają „lokalną” informację „blisko” p . Fakt, że pierwiastki przenoszą się z \mathbb{Q} do \mathbb{Q}_p oznacza bowiem, że „globalny” pierwiastek jest też „lokalnym” dla każdego p , czyli „wszędzie”. Ale czy to rozumowanie daje się odwrócić?

Fakt 1.6.1. Liczba $x \in \mathbb{Q}$ jest kwadratem, wtedy i tylko wtedy gdy jest nim w każdym \mathbb{Q}_p .

Już Helmut mógł to zrobić, jednak to Hasse jako pierwszy stwierdził jawnie, że złożenie w całość lokalnych informacji powinno dawać globalną wiedzę. Zbyt niejasne, żeby móc nazwać twierdzeniem:

Fakt 1.6.2 (reguła lokalno-globalna). Istnienie rozwiązań równania diofantycznego w \mathbb{Q} można wykryć badając lokalne równania, w \mathbb{Q}_p .

Reguła brzmi naprawdę pięknie, jednak w obecnej, bardzo naiwnej postaci, jest po prostu fałszywa, jak pokazują następujące przykłady:

Przykład 1.6.3. $(x^2 - 2)(x^2 - 17)(x^2 - 34) = 0$.

Przykład 1.6.4. $x^4 - 2y^2 = 17$.

Twierdzenie 3 (Hasse, Minkowski). Forma kwadratowa nad ciałem liczbowym \mathcal{K} (na przykład \mathbb{Q}) reprezentuje nietrywialnie zero w \mathcal{K} , wtedy i tylko wtedy gdy reprezentuje je w każdym uzupełnieniu \mathcal{K} . Taką formę nazywamy izotropową.

Dowód. Zbyt trudny (przez wyrwy w wiedzy o kwadratowych formach), nawet dla samego $\mathcal{K} = \mathbb{Q}$. Można go jednak znaleźć w pierwszej połowie książki Serre'a ([5]), jako kulminację pierwszej jej połowy. \square

Zwracamy uwagę na to, że to rozwiązuje właściwie kompletnie nasz problem. Stosowna wersja lematu Hensela pokazuje, jak w skończonym czasie rozstrzygnąć, co dzieje się w \mathbb{Q}_p . Liczb pierwszych jest nieskończenie wiele, ale okazuje się, iż można napisać procedurę komputerową, która sobie z tym radzi.

Historia 5 (Hasse Helmut).

Historia 6 (Minkowski Hermann).

Ograniczmy się do rozwiązania tylko jednego równania: $ax^2 + by^2 + cz^2 = 0$ dla wymiernych a, b, c . Poczyniami kilka założeń: $abc \neq 0$ jest bezkwadratowa oraz $a, b, c \in \mathbb{Z}$, gdyż możemy. Wynika stąd, że a, b, c są parami względnie pierwsze i różnych znaków (patrz $p = \infty!$).

Fakt 1.6.5. Jeśli liczba pierwsza $p > 2$ nie dzieli abc , to istnieją liczby $x_0, y_0, z_0 \in \mathbb{Z}$, nie wszystkie podzielne przez p , że $ax_0^2 + by_0^2 + cz_0^2 = 0$.

Dowód. To specjalny przypadek tw. Chevalleya i Warninga, ale podamy bardziej bezpośredni dowód. Istnieje p^3 trójek (x, y, z) w \mathbb{F}_p^3 , ale ile z nich pasuje do równania?

Użyjemy nikczemnej sztuczki: $(ax^2 + by^2 + cz^2)^{p-1}$ jest równe 1, wtedy i tylko wtedy gdy trójka nie jest rozwiązaniem (0 w przeciwnym przypadku), wynika to z małego twierdzenia Fermata. Liczba nierozwiązań to $\sum (ax^2 + by^2 + cz^2)^{p-1}$ (modulo p).

Rozwijamy potęgę i dostajemy sumy postaci $\sum \lambda x^{2i} y^{2k} z^{2l}$ z $2i + 2k + 2l = 2(p-1)$ i $\lambda \in \mathbb{Z}$. Każda z nich jest zerem modulo p : przynajmniej jedna z $2i, 2k, 2l$ jest mniejsza od $p-1$ (powiedzmy, $2i$). Wtedy nasza suma to $\sum_{y,z} (\lambda y^{2k} z^{2l} \sum_x x^{2i})$. Przywołany lemat z poniżej kończy dowód, gdyż p dzieli liczbę rozwiązań, a znamy już jedno (trywialne). \square

Lemat 1.6.6. Jeśli $0 \leq n \leq p-1$, to p dzieli $\sum_{i=0}^{p-1} i^n$.

Dowód. Wybierzmy takie y , że $y^n \not\equiv 1 \pmod{p}$. Wtedy

$$0 \equiv \sum_{i=0}^{p-1} i^n - \sum_{i=0}^{p-1} (yi)^n = (1 - y^n) \sum_{i=0}^{p-1} i^n \quad \square$$

Niech (x_0, y_0, z_0) będzie jakimś rozwiązaniem modulo p , takim że p nie dzieli x_0 (jeśli jest inaczej, permutujemy nazwy). Stosujemy lemat Hensela wobec $ax^2 + by_0^2 + cz_0^2 = 0$ i znajdujemy nietrywialne rozwiązanie (x, y_0, z_0) .

To jeszcze nie koniec. Załóżmy teraz, że $p = 2$, ale a, b, c są nieparzyste. Jeśli rozwiązanie (x, y, z) istnieje, to bez straty ogólności nie wszystkie niewiadome leżą w $2\mathbb{Z}_2$ – jeśli tak nie jest, mnożymy przez odpowiednią potęgę dwójki.

Po redukcji mod $2\mathbb{Z}_2$ widzimy, że y, z są jednościami 2-adycznymi, x dzieli się przez 2. Kwadrat 2-adycznej jedności leży w $1 + 4\mathbb{Z}_2$, zaś kwadrat czegoś z $2\mathbb{Z}_2$ leży w $4\mathbb{Z}_2$. Redukując modulo $4\mathbb{Z}_2$ dostajemy więc: $b + c \equiv 0 \pmod{4}$. Okazuje się, że warunek ten jest nie tylko konieczny, ale też wystarczający.

Lemat 1.6.7. *Równanie $ax^2 + by^2 + cz^2 = 0$ ma nietrywialne rozwiązanie w \mathbb{Q}_2 , gdy $2 \nmid abc$ i 4 dzieli sumę dwóch z a, b, c .*

Dowód. Szukamy początkowego rozwiązania (x_0, y_0, z_0) , dla którego $8 \mid ax_0^2 + by_0^2 + cz_0^2$. Jeśli $8 \mid a + b$, to kładziemy $x_0 = 1, y_0 = 1, z_0 = 0$. Jeśli nie, to $z_0 = 2, x_0 = y_0 = 1$.

Stosujemy lemat Hensela. □

Lemat 1.6.8. *Równanie $ax^2 + by^2 + cz^2 = 0$ ma nietrywialne rozwiązanie w \mathbb{Q}_2 , gdy jedna z a, b, c jest parzysta, zaś suma dwóch lub trzech z nich dzieli się przez 8.*

Dowód. Załóżmy, że 2 dzieli tylko a oraz że $ax^2 + by^2 + cz^2 = 0$. Możemy przyjąć, że któraś z x, y, z jest 2-adyczną jednością, zaś wszystkie leżą w \mathbb{Z}_2 . Kwadrat 2-adycznej jedności leży w $1 + 8\mathbb{Z}_2$, zatem $0 = ax^2 + by^2 + cz^2 \equiv b + c \pmod{8}$, jeśli $x \in 2\mathbb{Z}_2$ (wtedy y, z muszą być 2-adycznymi jednościami).

Jeśli x jest 2-adyczną jednością, to y, z i tak też muszą nimi być, co prowadzi nas do $a + b + c \equiv 0 \pmod{8}$.

Twierdzenie odwrotne jest prawdziwe na mocy uogólnionego lematu Hensela. □

Gouvea **Lemat 1.6.9.** *Jeżeli $p \neq 2$ dzieli a , to równanie ma nietrywialne rozwiązanie dokładnie wtedy, gdy $\text{Prob. 131 } -b/c$ to kwadratowa reszta mod p .*

Dowód. Ponownie, lemat Hensela. □

Fakt 1.6.10. *Niech liczby $a, b, c \in \mathbb{Z}$ będą parami względnie pierwsze, bezkwadratowe. Równanie $ax^2 + by^2 + cz^2 = 0$ posiada w \mathbb{Q} nietrywialne rozwiązania, wtedy i tylko wtedy gdy:*

1. $(a, b, c$ nie są tego samego znaku)
2. każdy nieparzysty dzielnik pierwszy liczby a posiada $r \in \mathbb{Z}$, że $p \mid b + r^2c$, podobnie dla b i c
3. jeśli $2 \nmid abc$, to 4 dzieli sumę pewnych dwóch z a, b, c .
4. jeśli $2 \mid a$, to 8 dzieli $b + c$ lub $a + b + c$ (podobnie b i c).

Pierwszy warunek wynika z pozostałych.

Bezpośredni dowód można znaleźć w rozdziałach 3 – 5 książki [Cas91]. Strategią jest użycie trzech warunków, a także „geometrii liczb” Minkowskiego do pokazania, że możliwe jest znalezienie rozwiązania (x, y, z) spełniającego nierówność

$$|a|x^2 + |b|y^2 + |c|z^2 < 4|abc|.$$

1.7 Normowa niezależność

Zaprezentujemy teraz pogląd Casselsa na temat niezależności nierównoważnych norm. Co Cassels dokładnie przez to rozumiemy, stanie się jasne natychmiast po udowodnieniu lematu. 2.3

Lemat 1.7.1. Niech nietrywialne normy $|\cdot|_1, \dots, |\cdot|_m$ będą parami nierównoważne (na ciele \mathcal{K}). Istnieje wtedy $x \in \mathcal{K}$, że $|x|_1 > 1$, ale $|x|_2, \dots, |x|_m < 1$.

Dowód. Indukcyjny względem m . Gdy $m = 2$, istnieją $y, z \in \mathcal{K}$, takie że $|y|_1, |z|_2 < 1$ oraz $|y|_2, |z|_1 \geq 1$. Poszukiwanym jest wtedy $x = zy^{-1}$.

Jeżeli $m > 2$, to z założenia indukcyjnego mamy $y \in \mathcal{K}$, że $|y|_1 > 1$, natomiast dla $2 \leq i \leq m - 1$ zachodzi $|y|_i < 1$. Z drugiej strony istnieje $z \in \mathcal{K}$, że $|z|_1 > 1$, $|z|_m < 1$. Rozpatrujemy trzy przypadki.

Jeżeli $|y|_m < 1$, to $x = y$. Jeżeli $|y|_m = 1$, to $x = y^n z$ dla dużego n . Jeżeli $|y|_m > 1$, to $x = y^n z(1 + y^n)^{-1}$ dla dużego n . Mamy bowiem

$$\frac{y^n}{1 + y^n} \rightarrow \begin{cases} 1 & \text{dla } |\cdot|_1 \text{ oraz } |\cdot|_m, \\ 0 & \text{w przeciwnym razie.} \end{cases} \quad \square$$

Fakt 1.7.2. Przy założeniach lematu, $x_1, \dots, x_m \in \mathcal{K}$ oraz $\varepsilon > 0$ (rzeczywistym), istnieje $x \in \mathcal{K}$, że jednocześnie spełniona jest każda z nierówności $|x - x_i|_i < \varepsilon$.

Dowód. Z lematu wynika istnienie takich $y_i \in \mathcal{K}$, że $|y_i|_i > 1$, $|y_i|_k < 1$ ($k \neq i$). Wystarczy położyć

$$x = \lim_{n \rightarrow \infty} \sum_{i=1}^m \frac{y_i^n}{1 + y_i^n} x_i. \quad \square$$

Związane jest to z chińskim twierdzeniem o resztach. Mówi ono, że gdy $x_i \in \mathbb{Z}$ są dane, p_i parami różne (i pierwsze), zaś m_i naturalne, to układ „kongruencji” $|x - x_i|_i \leq m_i$ ma rozwiązanie nie tylko w \mathbb{Q} , ale także \mathbb{Z} . Nasz fakt można jednak wzmocnić, gdy \mathcal{K} jest algebraicznym ciałem liczbowym (uczynimy to, ale jeszcze nie teraz).

Przedstawimy teraz obrazowo niezależność.

Fakt 1.7.3. Niech \mathcal{K}_i będzie uzupełnieniem ciała \mathcal{K} względem parami nierównoważnych norm. Wtedy odwzorowanie przekątniowe $\Delta : \mathcal{K} \hookrightarrow \prod_i \mathcal{K}_i$ ma gęsty obraz.

Dowód. Ustalmy elementy $x_i \in \mathcal{K}_i$ dla $1 \leq i \leq n$. Istnieją wtedy $y_i \in \mathcal{K}$, że $|x_i - y_i|_i < \varepsilon$ dla ustalonego $\varepsilon > 0$. Mamy takie $z \in \mathcal{K}$, że $|z - y_i|_i < \varepsilon$, zatem $|z - x_i|_i < 2\varepsilon$ (na mocy poprzedniego faktu). \square

Rozdział 2: Analiza

2.1 Ciągi oraz szeregi

W ciele \mathbb{Q}_p marzenia stają się prawdziwe:

Fakt 2.1.1. Ciąg (x_n) o wyrazach w \mathbb{Q}_p jest Cauchy'ego, wtedy i tylko wtedy gdy zachodzi $\lim_{n \rightarrow \infty} |x_{n+1} - x_n| = 0$.

Dowód. Jeśli $m = n+r > n$, to $|x_m - x_n|$ można oszacować z góry, $|\sum_{k=1}^r x_{n+k} - x_{n+k-1}| \leq \max_{1 \leq k \leq r} |x_{n+k} - x_{n+k-1}|$ bo wartość bezwzględna jest niearchimedesowa. \square

Zbieżność absolutna szeregu pociąga jego zbieżność, w ciele liczb p -adycznych zachodzi jednak jeszcze mocniejszy fakt.

Fakt 2.1.2. Zbieżność szeregu $\sum_n x_n$ o wyrazie ogólnym z \mathbb{Q}_p jest równoważna zbieżności x_n do 0. Prawdziwe jest wtedy oszacowanie $|\sum_{n \geq 0} x_n| \leq \max_n |x_n|$.

Dowód. Implikacja w prawo jest oczywista. Dla dowodu w lewo wynikania wystarczy zauważyć, że wyraz x_n to różnica między dwoma sumami częściowymi i powołać się na poprzedni fakt.

Nierówność wynika z

$$\left| \sum_{n=0}^{N-1} x_n + \sum_{n=N}^{\infty} x_n \right| \leq \max_{n < N} |x_n| + \left| \sum_{n=N}^{\infty} x_n \right|,$$

gdzie drugi składnik znika w nieskończoności. \square

Wniosek 2.1.3. Szereg z poprzedniego faktu zbiega bezwarunkowo, ale niekoniecznie bezwzględnie.

Dowód. Nałożenie permutacji na wyrazy szeregu nie psuje ich zbieżności do zera.

Nie każdy szereg zbiega jednak bezwzględnie, wystarczy dodać do siebie p^k sztuk liczby p^k dla $k \geq 0$. Nałożenie normy zmusza do wysumowania $1 + 1 + 1 + \dots$, ale zwykłą sumą graniczną jest odwrotność $1 - p^2$, żyjąca w każdym \mathbb{Q}_p . \square

Aby zająć się podwójnymi sumami, potrzebujemy czegoś więcej niż tylko zbieżność do zera.

Definicja 2.1.4. Jeśli dla każdej dodatniej liczby ε istnieje całkowita N niezależna od k , że $i \geq N$ pociąga $|x_{ik}| < \varepsilon$, to $\lim_{i \rightarrow \infty} x_{ik} = 0$ jednostajnie względem k .

Lemat 2.1.5. Załóżmy, że $x_{ik} \in \mathbb{Q}_p$, $\lim_{k \rightarrow \infty} x_{ik} = 0$ (dla każdego i), $\lim_{i \rightarrow \infty} x_{ik} = 0$ jednostajnie względem k . Wtedy każdemu $\varepsilon > 0$ odpowiada N , że $\max\{i, k\} \geq N$ pociąga $|x_{ik}| < \varepsilon$.

Dowód. Ustalmy ε . Drugi warunek zapewnia N_0 (zależne tylko od ε), że $|x_{ik}| < \varepsilon$ dla $i \geq N_0$. Pierwszy zaś dla każdego i daje N_1 , dla którego $k \geq N_1$ pociąga $|x_{ik}| < \varepsilon$. Wystarczy przyjąć $N = \max\{N_0, N_1(0), N_1(1), \dots, N_1(N_0 - 1)\}$. \square

Fakt 2.1.6. Przy założeniach z lematu 2.1.5 poniższe szeregi zbiegają do tej samej liczby: $\sum_{i=0}^{\infty} \sum_{k=0}^{\infty} x_{ik} = \sum_{k=0}^{\infty} \sum_{i=0}^{\infty} x_{ik}$.

Dowód. Lemat mówi, że każdemu $\varepsilon > 0$ odpowiada liczba N , dla której „ $\max\{i, k\} \geq N$ pociąga $|x_{ik}| < \varepsilon$ ”. Skoro ciąg x_{ik} zbiega do zera po ustaleniu jednego z indeksów, to oba szeregi wewnętrzne są zbieżne.

Dla $i \geq N$ mamy $|\sum_{k \geq 0} x_{ik}| \leq \max_k |x_{ik}| < \varepsilon$ na mocy faktu 2.1.2, podobna nierówność prawdziwa jest dla $k \geq N$.

Wnioskujemy stąd, że podwójne szeregi także zbiegają, bo

$$\lim_{i \rightarrow \infty} \sum_{k \geq 0} x_{ik} = \lim_{k \rightarrow \infty} \sum_{i \geq 0} x_{ik} = 0.$$

Pozostało nam uzasadnić, że sumy są sobie równe.

Pozostanmy przy N, ε wybranych wcześniej. Oznacza to, że $|x_{ik}| < \varepsilon$, gdy $i \geq N$ lub $k \geq N$. Zauważmy, że

$$\left| \sum_{i, k \geq 0} x_{ik} - \sum_{i, k \leq N} x_{ik} \right| = \left| \sum_{i \leq N} \sum_{k > N} x_{ik} + \sum_{i > N} \sum_{k \leq 0} x_{ik} \right|.$$

Jeśli więc $k \geq N + 1$, to $|x_{ik}| < \varepsilon$ dla każdego i , zatem pierwszy składnik pod wartością bezwzględną można (ultrametrycznie) oszacować z góry przez ε ; podobnie szacuje się drugi składnik. Oczywiście zamiana i, k miejscami nic nie psuje, więc możemy je przestawić i wywnioskować stąd równość sum. \square

Fakt 2.1.7. Załóżmy zbieżność szeregów $\sum_i x_i, \sum_i y_i$. Zachodzi wtedy: $\sum_i x_i + y_i = \sum_i x_i + \sum_i y_i$, a także

$$\sum_{i=0}^{\infty} \sum_{k=0}^i x_k y_{i-k} = \left[\sum_{i=0}^{\infty} x_i \right] \cdot \left[\sum_{i=0}^{\infty} y_i \right].$$

Wyznamy teraz wartość kilku szeregów p -adycznych. Fenomen związany z ich nieoczekiwanymi granicami wyjaśnić się może po lekturze ostatniego ustępu w tym rozdziale, gdzie przytoczymy zaskakujący wynik Burgera i Struppecka.

Fakt 2.1.8. Jeżeli $k > 0$, to $\sum_{n \geq 0} n^k p^n$ jest wymierne w \mathbb{Q}_p .

Dowód. Wynika to z równości szeregów formalnych

$$\sum_{n=0}^{\infty} n^k x^n = (x \cdot \partial_x)^k \frac{1}{1-x}.$$

Szereg stojący po lewej stronie to specjalny przypadek funkcji ζ Hurwitza-Lercha, ale nam wystarczy wiedza o wielomianach Eulera. Okazuje się (skoro $|p| = 1/p < 1$), że

$$\sum_{n=0}^{\infty} n^k p^n = \sum_{n=1}^k \left\{ \begin{matrix} k \\ n \end{matrix} \right\} \cdot \frac{p \cdot n!}{(p-1)^{n+1}},$$

gdzie $\{\cdot, \cdot\}$ to (nieznakowana) druga liczba Stirlinga. \square

Łatwo pokazać jest, że $\sum_{n \geq 0} n \cdot n! = -1$ w każdym z ciał \mathbb{Q}_p , gdyż suma ta jest „teleskopowa”: $n \cdot n! = (n+1)! - n!$. Nieco więcej wysiłku wymaga powtórzenie osiągnięć van Hamme’a, któremu Schikhof przypisuje równości: $\sum_{n \geq 1} n^2(n+1)! = 2$, $\sum_{n \geq 1} n^5(n+1)! = 26$, $\sum_{n \geq 1} 4^{-n-1} \cdot n^2(n+1)! = -1$.

Fakt 2.1.9. Wszystkie one są prawdziwe w \mathbb{Q}_p , przy czym ostatnia wymaga $p \neq 2$.

Dowód. Ostatnia równość jest fałszywa (u Schikhofa), musiała więc zostać delikatnie poprawiona. Dla $p = 2$ szereg po lewej stronie nie jest nawet zbieżny. Podamy jedynie sumy częściowe (do $n = m$), które uważny Czytelnik może zweryfikować:

$$\begin{aligned} & 2 + (m+2)!(m-1) \\ & 26 + (m+2)!(m^4 - m^3 - 3m^2 + 12m - 13) \\ & -1 + (m+2)!(m+2) : 4^{m+1}. \end{aligned}$$

\square

Spróbujemy teraz związać dwa ostatnie szeregi ze światem poza- p -adycznym. Dla każdego n istnieją (jedynie) liczby a_n, b_n oraz wielomian $p_n(x)$, że (przy niefortunnej notacji!)

$$\sum_{i=1}^k i^n(i+1)! = (k+2)! \cdot p_n(k) + b_n + \sum_{i=1}^k a_n(i+1)!.$$

Jeżeli $a_n = 0$, to lewa strona dąży do b_n w \mathbb{Q}_p , ale niestety nie są znane żadne n inne niż 2 i 5, które spełniają ten warunek. Ciągi 074051 i 074052 w bazie danych OEIS zawierają więcej informacji. Wykładnicza tworząca a_n to $\exp(1 - 2x - e^{-x})$.

Problem wymierności liczby $x = \sum_n n!$ pozostaje otwarty w każdym ciele \mathbb{Q}_p . Wymierna wszędzie nie może jednak być: po pierwsze, nie zależałaby od p , po drugie, byłaby całkowita.

Fakt 2.1.10. Mamy $x_k := \sum_{n \geq 1} n^k \cdot n! = v_k - u_k x$, $v_k, u_k \in \mathbb{Z}$.

Lemat 2.1.11. $\sum_{n \geq 1} (n+k)! - n! = -\sum_{n \leq k} n!$.

Wykorzystamy notację Murty’ego i Sumner.

Dowód. Rozwinięcie obu stron lematu daje $\sum_n n^2 \cdot n! = -x$ (dla $k = 2$), przypadek $k = 1$ rozważaliśmy wcześniej. Teraz wystarczy zastosować indukcję. \square

Fakt 2.1.12. Zachodzi $u_k = \sum_{i=1}^{k+1} (-1)^{k+i} \cdot \{k+1, i\}$.

Wzór ten pozwala szybciej wyznaczać współczynniki u_k , wcześniej Dragovich sugerował rozwiązanie układu liniowych $k+1$ równań.

Fakt 2.1.13. *Jeśli $k \in 3\mathbb{N} + 1$, to $u_k \neq 0$, wtedy x_k i x są tak samo niewymierne.*

Wróćmy teraz do rzeczy przyziemnych i p -adycznej analizy „numerycznej”.

Fakt 2.1.14. *Niech $x \in \mathbb{Z}$ nie dzieli się przez p , zaś $x_0 \in \mathbb{Z}$ będzie takie, że $|1 - x_0x|_p < 1$. Formuła $1 - x_{n+1}x = (1 - x_nx)^2$, to znaczy $x_{n+1} = x_n(2 - x_nx)$ zadaje ciąg liczb x_n , które szybko zbiegają do odwrotności x : $v_p(x_n - 1/x) \geq 2^n$.*

2.2 Bezmyślne różniczkowanie

Metryka zadaje ciągłość. Niestety, w \mathbb{Q}_p nie można pracować z przedziałami (bo ich nie ma); można jednak definiować funkcje na kulach (otwar...niętych). Upośledzona definicja pozwoli nam udawać, że różniczkujemy, chociaż do przyszłego rozdziału nie będziemy tego potrafić.

Definicja 2.2.1. *Niech $U \subseteq \mathbb{Q}_p$ będzie zbiorem otwartym. Funkcja $f: U \rightarrow \mathbb{Q}_p$ jest ciągła w punkcie $y \in U$, jeśli dla każdego $\varepsilon > 0$ istnieje $\delta > 0$, że „ $|x - y| < \delta$ pociąga $|f(x) - f(y)| < \varepsilon$ ”.*

Pochodna takiej funkcji to granica ilorazów różnicowych, by zachować analogię z rzeczywistym przypadkiem. Użyteczność pochodnej jest jednak ograniczona. Wszystko przez fałszywość twierdzenia o wartości średniej w \mathbb{Q}_p .

Fakt 2.2.2 (fałszywy). *Jeśli funkcja f jest różniczkowalna na \mathbb{Q}_p i ma ciągłą pochodną, zaś $x, y \in \mathbb{Q}_p$, to istnieje taka liczba $z \in \mathbb{Q}_p$ postaci $\lambda x + (1 - \lambda)y$ z $|\lambda| \leq 1$, że $f(y) - f(x) = f'(z)(y - x)$.*

Dowód. Niech $f(t) = t^p - t$, $x = 0$, $y = 1$. Nie ma takiego $z_\lambda = 1 - \lambda$ z $\lambda \in \mathbb{Z}_p$, żeby $f'(z_\lambda) = 0$: w takiej sytuacji pochodna się odwraca (!) i nie może być zerem. \square

Fakt 2.2.3. *Istnieje różniczkowalna funkcja $\mathbb{Q}_p \rightarrow \mathbb{Q}_p$ o pochodnej wszędzie równej zero, która nie jest lokalnie stała („prawie stała”).*

Pewnym wyjaśnieniem tego, skąd biorą się takie funkcje jest poniższy fakt (w \mathbb{Q}_p prawdziwa jest reguła łańcucha).

Fakt 2.2.4. *Jeśli pochodna funkcji f wszędzie znika, zaś g jest ciągle różniczkowalna, to pochodne złożień $f \circ g$, $g \circ f$ są zerem (wszędzie). Funkcje o tej samej pochodnej nie muszą różnić się o stałą.*

Twierdzenie o wartości średniej uratujemy później, w ślad za Robertem (po delikatnym wzmocnieniu założeń).

2.3 Szeregi potęgowe

Będziemy rozważać szeregi potęgowe, $f(x) = \sum_n a_n x^n$. Dla $x \in \mathbb{Q}_p$ wyrażenie $f(x)$ ma sens, o ile $|a_n x^n| \rightarrow 0$. Nie mamy przy tym zamiaru odróżniać x od X !

Fakt 2.3.1. *Szereg $\sum_n a_n x^n$ zbiega na różnych dyskach, których promień zależy od R , odwrotności $\limsup |a_n|^{1/n}$.*

1. jeśli $R = 0$, to f zbiega tylko w $x = 0$.

2. jeśli $R = \infty$, to f zbiega wszędzie na \mathbb{Q}_p .
3. jeśli $R > 0$ i $\lim_{n \rightarrow \infty} |a_n| R^n = 0$, to f zbiega dla $|x| \leq R$.
4. w przeciwnym przypadku f zbiega dokładnie dla $|x| < R$.

Dowód. Wiadomo dobrze, jaki zbiór jest obszarem zbieżności: $\{x \in \mathbb{Q}_p : \lim_{n \rightarrow \infty} |a_n x^n| = 0\}$. Oczywiście $f(0)$ jest zbieżny. Jeśli $|x| < R$, to (rzeczywisty) szereg potęgowy $\sum_n |a_n| |x|^n$ jest zbieżny. Jeśli zaś $|x| > R$, to $|a_n| |x|^n$ nie może zbiegać do zera przy n dążącym do nieskończoności: nieskończenie często $|a_n|$ jest blisko R^{-n} , więc $(|x|/R)^n$ może być dowolnie duże. Przypadek $|x| = R$ jest konsekwencją faktu 2.1.2. \square

Szeregi p -adyczne szeregi zachowują się porządniej niż ich zespoleni koledzy. Tam zbieżność na brzegu dysku $\{|x| = R\}$ jest nieprzewidywalna, tutaj brzegu po prostu nie ma.

Formalne szeregi potęgowe można dodawać i mnożyć.

Fakt 2.3.2. Jeżeli szeregi potęgowe f, g nad \mathbb{Q}_p zbiegają w punkcie x , to $f + g$ oraz fg również – odpowiednio do $f(x) + g(x)$ i $f(x)g(x)$.

Przyjrzymy się teraz formalnym złożeniom, które (o dziwo) zachowują się zaskakująco często gorzej niż źle. Będziemy więc pracować z szeregami: $f(x) = \sum_n a_n x^n$ i $g(x) = \sum_n b_n x^n$, przy czym $b_0 = 0$, by napis $f(g(x))$ miał sens (niezależnie od topologii). Przez formalne złożenie rozumiemy

$$h(x) = (f \circ g)(x) = \sum_{n=0}^{\infty} a_n g(x)^n = \sum_{n=0}^{\infty} c_n x^n.$$

Współczynniki c_n są jawnie opisane przez wielomiany Bella, ale te akurat nie będą dla nas przesadnie przydatne.

Fakt 2.3.3 (złoty). Jeśli $g(x)$ zbiega, $f(g(x))$ zbiega i dla każdego n jest $|b_n x^n| \leq |g(x)|$, to $h(x)$ też zbiega, do $f(g(x))$.

Dowód. Podamy dowód za [3], książką Hassego (rozdział 17). Niech $g(x)^m = \sum_{n=m}^{\infty} d_{m,n} x^n$. Pozwala to na napisanie $h(x)$ jawnie: $h(x) = a_0 + \sum_{n=1}^{\infty} \sum_{m=1}^n a_m d_{m,n} x^n$.

Niestety, ale musimy: $d_{m,n} = \sum_{i_1+\dots+i_m=n} \prod_{k=1}^m b_{i_k}$.

Szereg $g(x)$ jest zbieżny, więc fakt 2.3.2 pozwala powiedzieć, że $g(x)^m$ zbiega do $g(x)^m$ (jeden szereg jest formalny, drugi nie!). Co ciekawsze, dla każdego n mamy $|d_{m,n} x^n| \leq |g(x)^m|$. Jeżeli $n \geq m$, to nierówność ultrametryczna daje

$$|d_{m,n} x^n| \leq \max_{i_1, \dots, i_m} \prod_{k \leq m} |b_{i_k} x^{i_k}| \leq \prod_{k \leq m} |g(x)| = |g(x)^m|,$$

kiedy $i_1 + \dots + i_m = n$ (dzięki $|b_{ij} x^{ij}| \leq |g(x)^m|$). Jeżeli $n < m$, to nie ma czego dowodzić: $d_{m,n} x^n = 0$. Wiemy już, że $g(x)$, $g(x)^m$ oraz $f(g(x))$ zbiegają. Zapiszmy w takim razie

$$\begin{aligned} f(g(x)) &= a_0 + \sum_{m \geq 1} \sum_{n \geq m} a_m d_{m,n} x^n, \\ h(x) &= a_0 + \sum_{n \geq 1} \sum_{m \geq 1} a_m d_{m,n} x^n. \end{aligned}$$

Aby uzasadnić poprawność zamiany kolejności sumowania powołamy się na fakt 2.1.6 i oszacujemy $a_m d_{m,n} x^n$.

Wiemy przede wszystkim, że $|a_m d_{m,n} x^n| \leq |a_m g(x)^m|$: prawa strona nie zależy od n . Ustalmy $\varepsilon > 0$. Możemy wybrać indeks N , taki że $m \geq N$ pociąga $|a_m g(x)^m| < \varepsilon$. To pokazuje, że $a_m d_{m,n} x^n \rightarrow_m 0$ jednostajnie względem n .

Z drugiej strony, dla każdego m szereg $g(x)^m$ jest zbieżny, zatem jego wyraz ogólny zbiega do zera: $a_m d_{m,n} x^n \rightarrow 0$. \square

Leniwi mogą nie sprawdzić założeń i nadepnąć na minę, co świetnie ilustruje poniższy przykład. To ciekawe, że zwykła analiza łatwiej radzi sobie z tym problemem: jeśli promieniem zbieżności $f(x)$ jest R i $|g(x)| < R$, to $h(x)$ zbiega do $f(g(x))$.

Przykład 2.3.4. Niech $g(x) = 2x^2 - 2x$ i $h(x) = (f \circ g)(x)$, gdzie $f(x) = \sum_{k \geq 0} \frac{1}{k!} x^k$. Można pokazać, że f zbiega dokładnie na $4\mathbb{Z}_2$, zaś g wszędzie (gdyż jest wielomianem). Mamy oczywiście $f(g(1)) = 1$. Niech $h(x) = \sum_n a_n x^n$.

Jeżeli $n \geq 2$, to $v_2(a_n)$ wynosi co najmniej $1 + n/4$, czyli h zbiega na \mathbb{Z}_2 . Niestety, $h(1) \equiv 3 \pmod{4}$ i $h(1) \neq f(g(1))$.

Fakt 2.3.5. Formalna pochodna (czyli $\sum a_n x^n \mapsto \sum_n n a_n x^{n-1}$) współpracuje z dodawaniem, mnożeniem i składaniem: jest operatorem liniowym, prawdziwe są dla niej reguły: Leibniza oraz łańcuchowa.

Przy pomocy szeregów potęgowych można zdefiniować na ich obszarze zbieżności funkcje. Dowód poniższego lematu jest analogiczny do przypadku „ \mathbb{R} ”.

Lemat 2.3.6. Jeśli szereg potęgowy $f(x) \in \mathbb{Q}_p[[x]]$ jest zbieżny na $D \subseteq \mathbb{Q}_p$, to funkcja $f: D \rightarrow \mathbb{Q}_p$, $x \mapsto f(x)$, jest ciągła.

Niestety, nie istnieje p -adyczny odpowiednik analitycznego przedłużania. Obszar zbieżności można zwiększyć (dla funkcji $\mathbb{R} \rightarrow \mathbb{R}$) przez rozwinięcie w innym miejscu; tutaj ta sztuczka się nie uda.

Fakt 2.3.7. Funkcje od szeregów potęgowych f i g mają ten sam obszar zbieżności, jeśli $f(x) = \sum_n a_n x^n \in \mathbb{Q}_p[[x]]$ istnieje dla $x = x_0$.

$$g(x) = \sum_{m \geq 0} \sum_{n \geq m} \underbrace{C_m^n a_n x_0^{n-m}}_{b_m} \cdot (x - x_0)^m$$

Dowód. Liczby b_m są dobrze określone: dla ustalonego m mamy

$$\left| \binom{n}{m} a_n x_0^{n-m} \right| \leq |a_n x_0^{n-m}| = \frac{|a_n x_0^n|}{|x_0|^m} \rightarrow 0.$$

Niech x leży w obszarze zbieżności $f(x)$. Wtedy zachodzi $f(x) = f(x - x_0 + x_0)$, co daje się rozpisać:

$$\sum_{n \geq 0} a_n x^n = \sum_{n \geq 0} \sum_{m \leq n} a_n \binom{n}{m} x_0^{n-m} (x - x_0)^m$$

Ostatnia suma wygląda jak częściowa $g(x)$ po przegrupowaniu. Sprawdzimy założenia faktu 2.1.6.

Niech $\beta_{n,m} = 0$ dla $m > n$ i $(n \text{ nad } m)a_n x_0^{n-m}(x-x_0)^m$ dla $m \leq n$. Trzeba ograniczyć $|a_n x_0^{n-m}(x-x_0)^m| \geq |\beta_{nm}|$.

Skoro x, x_0 leżą w kole zbieżności o jakimś promieniu R , to obszar ten zawiera domknięty dysk o promieniu r , równym co najmniej $\max\{|x|, |x_0|\}$.

Z konstrukcji wynika nierówność $|x_0|^{n-m} \leq r^{n-m}$ oraz $|x-x_0|^m \leq \max\{|x|, |x_0|\}^m \leq r^m$. Kluczową obserwacją jest niearchimedesowość ciała.

Podsumowując, $|\beta_{mn}| \leq |a_n|r^n$, co nie zależy od m i daje jednostajną zbieżność. \square

Nasze życie nie jest usłane różami tak bardzo jak w analizie zespolonej. Indykator \mathbb{Z}_p w \mathbb{Q}_p jest lokalnie analityczny, jednak czujemy opory przed nazwaniem go analitycznym. Te i inne problemy można obejść, lecz wymaga to wiele wysiłku. Chodzi tu o podstawy *szttywnej geometrii analitycznej*, której fundamenty wyłożył Tate.

Zamiast tego zajmmy się innymi, prostszymi rzeczami. Zbieżny ciąg nazwiemy stacjonarnym, jeśli jest od pewnego miejsca stały. Jeśli funkcja jest zadana rozwinięciem w szereg potęgowy, to przedstawienie jest jednoznaczne.

Fakt 2.3.8. *Istnienie niestacjonarnego ciągu $x_m \in \mathbb{Q}_p$ zbieżnego do zera dla formalnych szeregów potęgowych f, g , że $f(x_m) = g(x_m)$, pociąga ich równość: $f \equiv g$.*

Dowód. Bez straty ogólności $x_m \neq 0$. Popatrzmy na różnicę, $h(x) = f(x) - g(x) = \sum_n a_n x^n$. Wiemy, że $h(x_m) = 0$, ale czy $a_n = 0$? Załóżmy, że nie, niech r będzie najmniejszym indeksem, dla którego $a_r \neq 0$, by $h(x) = x^r h_1(x)$. Przy tym $h_1(0) = a_r \neq 0$ i funkcja h_1 jest ciągła, więc $h_1(x_m) \rightarrow a_r$ gdy $m \rightarrow \infty$, w szczególności $h_1(x_m)$ jest niezerem dla dużych m . Wtedy $h(x_m) = x_m^r h_1(x_m)$ nie jest zerem, sprzeczność. \square

Jeżeli funkcja jest zdefiniowana jako szereg potęgowy, to niech lepiej jej pochodna odpowiada „formalnej” pochodnej dla formalnego szeregu potęgowego.

Fakt 2.3.9. *Formalne różniczkowanie szeregu nie zmniejsza jego promienia zbieżności, a przy tym pokrywa się z „analityczną” definicją pochodnej (jako granicy ilorazów): $f(x) = \sum_n a_n x^n$.*

$$f'(x) = \lim_{h \rightarrow 0} \frac{f(x+h) - f(x)}{h}.$$

Dowód. Pokażemy najpierw, że granica nie jest bez sensu. Gdy $x = 0$, to każde h z $|h| < R$ jest w porządku. Jeżeli tak nie jest, to $|h| < |x|$ też nie będzie takie złe.

Założmy, że $f(x)$ zbiega, zatem $a_n x^n \rightarrow 0$. Jeżeli $x \neq 0$, to $|na_n x^{n-1}| \leq |a_n x^{n-1}| = |a_n x^n|/|x|$ – co wystarcza do zbieżności pochodnej.

Szereg $f(x)$ zbiega w domkniętej lub otwartej kuli $\mathcal{B}(0, R)$. W pierwszym przypadku niech $r = R$; w drugim bierzemy dowolne r , że $|x| \leq r < R$. Możemy do tego założyć, że jeśli $x \neq 0$, to $|h| < |x| \leq r$, bo interesują nas tylko h bliskie zera. W przeciwnym razie, $x = 0$ i po prostu $|h| \leq r$. Teraz,

$$\begin{aligned} f(x+h) &= \sum_{n=0}^{\infty} a_n \sum_{m=0}^n \binom{n}{m} x^{n-m} h^m \\ \frac{f(x+h) - f(x)}{h} &= \sum_{n=1}^{\infty} \sum_{m=1}^n a_n \binom{n}{m} x^{n-m} h^{m-1}. \end{aligned}$$

Wiemy dobrze, że $|x|, |h| \leq r$, zatem:

$$\left| a_n \binom{n}{m} x^{n-m} h^{m-1} \right| \leq |a_n| r^{n-1},$$

Dzięki $|a_n| R_1^n \rightarrow 0$ możemy wywnioskować jednostajną zbieżność względem h , co pozwala wzięcie granicy wyraz po wyrazie (to znaczy: $h = 0$). \square

Otrzymany wynik ma „efekty uboczne”, gdyż wynika z niego ciekawe twierdzenie o pochodnych. Dwie p -adyczne funkcje mogą mieć tę samą pochodną i nie różnić się o stałą. Szeregi nigdy nas jednak nie zawiodą.

Fakt 2.3.10. *Jeśli szeregi potęgowe $f(x)$ oraz $g(x)$ są zbieżne dla $|x| < R$ oraz $f'(x) = g'(x)$ dla $|x| < R$, to istnieje stała $c \in \mathbb{Q}_p$, że $f(x) = g(x) + c$ jako szeregi potęgowe (więc oba mają jeden obszar zbieżności).*

Dowód. Jeżeli $f(x) = \sum_{n=0}^{\infty} a_n x^n$ i $g(x) = \sum_{n=0}^{\infty} b_n x^n$ mają formalne pochodne $f'(x)$ i $g'(x)$, to z faktów 2.3.8 oraz 2.3.9 wnioskujemy równości $a_n = b_n$ dla $n \geq 1$. \square

Twierdzenie 4 (Strassman, 1928). *Jeżeli niezerowy ciąg $a_n \in \mathbb{Q}_p$ zbiega do zera, to funkcja od szeregu $f(x) = \sum_{n \geq 0} a_n x^n$ ma za dziedzinę co najmniej \mathbb{Z}_p , gdzie ma co najwyżej N zer: N to ostatni indeks n , dla którego $|a_n|$ jest maksymalne.*

Dowód. Dla dowodu warto znać p -adyczne tw. Weierstraśa o preparacji, ale nie trzeba. Indukcja względem N . Jeżeli $N = 0$, to $|a_0| > |a_n|$ dla $n \geq 1$, z tego chcemy wywnioskować, że nie ma zer w \mathbb{Z}_p . Rzeczywiście, nie może być $f(x) = 0$, bo

$$|a_0| = |f(x) - a_0| \leq \max_{n \geq 1} |a_n x^n| \leq \max_{n \geq 1} |a_n| < |a_0|$$

prowadzi do sprzeczności. Krok indukcyjny. Jeżeli znaleźliśmy już N i $f(y) = 0$ dla $y \in \mathbb{Z}_p$, możemy wybrać dowolne $x \in \mathbb{Z}_p$. Wtedy

$$f(x) = f(x) - f(y) = (x - y) \sum_{n \geq 1} \sum_{m < n} a_n x^m y^{n-1-m}$$

Lemat 2.1.6 pozwala na przegrupowanie:

$$f(x) = (x - y) \sum_{m \geq 0} b_m x^m \bullet b_m = \sum_{k \geq 0} a_{m+1+k} y^k$$

Widać, że $b_m \rightarrow 0$, nawet $|b_m| \leq \max_{k \geq 0} |a_{m+k+1}| \leq |a_N|$ dla każdego m , zatem $|b_{N-1}| = |a_N + a_{N+1}y + \dots| = |a_N|$ i wreszcie dla $m \geq N$ zachodzi

$$|b_m| \leq \max_{k \geq 0} |a_{m+k+1}| \leq \max_{m \geq N+1} |a_m| < |a_N|.$$

Liczba z twierdzenia dla $(x - y)^{-1} f(x)$ to $N - 1$, koniec. \square

Twierdzenie Strassmana jest pierwszym potężnym o zerach szeregów potęgowych na \mathbb{Q}_p . Jeśli $f(x) = \sum_n a_n x^n$ nie jest zerem i zbiega na $p^m \mathbb{Z}_p$ dla pewnego m , to ma tam skończenie wiele zer (dowód: $g(x) = f(p^m x)$). Dwa szeregi zbieżne w $p^m \mathbb{Z}_p$ i pokrywające się dla ∞ -wielu wartości są sobie równe (dowód: patrz na $f(x) - g(x)$). Niespodzianka!

Fakt 2.3.11. Okresowa funkcja $p^m \mathbb{Z}_p \rightarrow \mathbb{Q}_p$ określona zbieżnym na $p^m \mathbb{Z}_p$ szeregiem potęgowym $\sum_n a_n x^n$ jest stała.

Dowód. Niech $t \in p^m \mathbb{Z}_p$ będzie okresem. Szereg $f(x) - f(0)$ ma zera w nt dla $n \in \mathbb{Z}$. To daje nieskończenie wiele zer, więc różnica musi być zerem, czyli $f(x)$ jest stały. \square

To zupełnie nie przypomina przypadku \mathbb{R} : sinus i kosinus są okresowe i entières! Powodem jest to, że w \mathbb{R} nie może być tak, że wszystkie wielokrotności okresu leżą w przedziale (ale w \mathbb{Q}_p już tak). Chociaż okresowość w \mathbb{R} nie pokrywa się z tą w \mathbb{Q}_p , to zera entières są podobnie rozłożone.

Fakt 2.3.12. Zbieżny na \mathbb{Q}_p szereg potęgowy $f(x) = \sum_n a_n x^n$ ma co najwyżej przeliczalnie wiele zer. Tworzą one ciąg x_n z $|x_n| \rightarrow \infty$, jeśli jest ich nieskończenie wiele.

Dowód. Liczba zer w każdym ograniczonym dysku $p^m \mathbb{Z}_p$ jest skończona. \square

2.4 Wielozbieżność

Czy istnieje szereg o wymiernych wyrazach, który jest zbieżny w \mathbb{Q}_p dla każdej $p \leq \infty$? Pytanie to zadali Edward Burger oraz Thomas Struppeck w pracy [2]. Okazuje się, że tak:

$$\sum_{n=0}^{\infty} n! \rightsquigarrow \sum_{n=0}^{\infty} \frac{n!}{(n!)^2} \rightsquigarrow \sum_{n=0}^{\infty} \frac{n!}{(n!)^2 + 1}.$$

Naturalne pytanie o algebraiczność granicy szeregu jest trudne. Przeprowadzimy teraz pomimo to konstrukcję, która pozornie stanowi dużo większe wyzwanie: wskażemy szereg zbieżny do liczby wymiernej w każdym z ciał \mathbb{Q}_p (dla $p \leq \infty$).

Definicja 2.4.1. $X_m = \{ \frac{1+am}{1+bm} : a, b \in \mathbb{Z} \} \subseteq \mathbb{Q}$ dla $m \geq 2$.

Lemat 2.4.2 (III). Zbiór X_m leży gęsto na prostej \mathbb{R} .

Dowód. Niech $\varepsilon > 0$, $a/b \in \mathbb{Q}$. Gdy $b^2 mn\varepsilon > |a - b|_{\infty} - b\varepsilon$, $|\frac{a}{b} - \frac{1+amn}{1+bmn}|_{\infty} < \varepsilon$. \square

Każdej ze skończenie wielu liczb pierwszych $p \in P$ niech odpowiada $\delta_p \in \mathbb{Q}_p^{\times}$ równa $\sum_n d_{p,n} p^n$ dla $n \geq l_p$, gdzie cyfra początkowa jest niezerem, a kolejne leżą między 0 oraz $p - 1$. Niech $\Upsilon = \prod_p |\delta_p|_p^{-1}$.

Lemat 2.4.3 (IV). Przy tych oznaczeniach istnieje całkowita $M > 0$, że $|\delta_p - M\Upsilon|_p < |\delta_p|_p$ dla wszystkich $p \in P$.

Dowód. Dla każdej $p \in P$ definiujemy $\Upsilon_p = \Upsilon |\delta_p|_p = m_p/n_p$, gdzie całkowite m_p, n_p są względnie pierwsze z p . Rozpatrzmy jednocześnie wszystkie kongruencje $m_p x \equiv n_p d_{p,l_p} \pmod{p}$. Chińskie twierdzenie o resztach daje nam jakieś rozwiązanie $M > 0$. Każdemu $p \in P$ odpowiada całkowita t_p , że

$$\frac{m_p}{n_p} M = d_{p,l_p} + p \frac{t_p}{n_p},$$

co pociąga $M\Upsilon = d_{p,l_p} p^{l_p} + p^{1+l_p} \cdot t_p/n_p$.

Skoro $n_p \not\equiv 0 \pmod{p}$, to pierwszy człon rozwinięcia dla $M\Upsilon$ to $d_{p,l_p} p^{l_p}$, dokładnie taki sam jak dla δ_p . To kończy dowód. \square

Wniosek 2.4.4 (V). $|\delta_p - M\Upsilon x|_p < |\delta_p|_p$, jeśli $p \in P$ i $x \in X_p$.

Dowód. Silna nierówność trójkąta razem z lematem pokazują, że

$$\begin{aligned} \dots &= |\delta_p - M\Upsilon x|_p = |\delta_p - M\Upsilon + M\Upsilon - M\Upsilon x|_p \\ &\leq \max\{|\delta_p - M\Upsilon|_p, |M\Upsilon - M\Upsilon x|_p\} \\ &< \max\{|\delta_p|_p, |M\Upsilon|_p|1 - x|_p\} \\ &\leq \max\{|\delta_p|_p, |\delta_p|_p/p\} = |\delta_p|_p, \end{aligned}$$

co uzasadnia żadaną nierówność. \square

Twierdzenie 5. Dane są liczby $x_p \in \mathbb{Q}_p$ dla wszystkich $p \leq \infty$. Istnieje szereg $\sum y_n$ o wymiernych wyrazach, $y_n > 0$ dla $n \geq 1$, którego granicą w \mathbb{Q}_p jest x_p .

Dowód. Definiujemy y_n rekursywnie: $y_0 = [x_\infty - 1]$. Niechaj P_n będzie zbiorem pierwszych n liczb pierwszych. Zakładamy, że mamy już y_0, \dots, y_n i spełnione są dla $p \in P_n$:

1. $y_n \in \mathbb{Q}_+$ dla $n > 0$, $y_0 \in \mathbb{Q}$
2. jeśli $S_n := \sum_{k=0}^n y_k$, to $0 < x_\infty - S_n < 2^{1-n}$
3. $S_{n-1} = x_p$ albo $|x_p - S_n|_p < |x_p - S_{n-1}|_p$.

Łatwo widać, że założenia są spełnione w kroku bazowym. Dla każdej liczby pierwszej $p \in P_{n+1}$ napiszmy $\delta_p = x_p - S_n$, $P_{n+1}^\delta = \{p \in P_{n+1} : \delta_p \neq 0\}$.

Gdy $P_{n+1}^\delta = \emptyset$, to kładziemy $M\Upsilon := 1$. W przeciwnym razie lemat IV daje całkowitą $M > 0$, że $|\delta_p - M\Upsilon|_p < |\delta_p|_p$ dla wszystkich $p \in P_{n+1}^\delta$. Niechaj Π będzie produktem pierwszych $n+1$ liczb pierwszych.

Lemat III orzeka o istnieniu takiej dodatniej $u \in X_\Pi$, dla której $u < (x_\infty - S_n)/(M\Upsilon)$, a przy tym

$$\left| \frac{x_\infty - S_n}{M\Upsilon} - u \right|_\infty < \frac{|S_n - x_\infty|_\infty}{2M\Upsilon}.$$

Zauważmy, że $X(\Pi) = \bigcap_p X_p$ (przekrój po $p \in P_{n+1}$). To pozwala *wyciągnąć z wniosku V: $|\delta_p - uM\Upsilon|_p < |\delta_p|_p$. Teraz kładziemy $y_{n+1} := uM\Upsilon$, wszystkie warunki są spełnione.

Pokażemy, że szereg $\sum_n y_n$ zbiega do x_p w \mathbb{Q}_p . Z założenia drugiego wynika, że jest tak dla $p = \infty$. A jeśli $p < \infty$? Wtedy S_n jest monotonicznie rosnącym ciągiem liczb wymiernych, $x_p = S_i$ dla co najwyżej jednego i . Razem z *-nierównością daje nam to informację, że $0 < |x_p - S_{n+1}|_p < |x_p - S_n|_p$ (dla dużych n). Ciąg $|x_p - S_n|$ od pewnego miejsca jest ściśle malejący, więc dąży do zera (gdyż składa się z potęg p), zatem sam szereg zbiega w \mathbb{Q}_p do x_p . \square

Spostrzeżenie: przez zmianę górnego ograniczenia w IV lemacie (z $|\delta_p|_p$) a także w drugim założeniu (o 2^{1-N}) uzyskać można szeregi zbieżne dużo szybciej.

2.5 Przestępnosć

Definicja 2.5.1 (lokalna). $h(a/b) := \max\{|a|_\infty, |b|_\infty\}$ dla względnie pierwszych a, b .

Definicja 2.5.2. Dla $X \subseteq \mathbb{Q}$, $h(X) := \max\{h(x) : x \in X\}$.

Przypomnimy teraz twierdzenie, które jest użyteczne samo w sobie.

Twierdzenie 6 (Liouville'a). Dla każdej liczby pierwszej $p \leq \infty$ i algebraicznej $x \in \mathbb{Q}_p$ stopnia $d \geq 1$ nad \mathbb{Q} istnieje stała $c > 0$, że dla wymiernych liczb $a/b \neq x$ mamy

$$\frac{c}{h(a/b)^d} \leq \left| x - \frac{a}{b} \right|_p.$$

Wyberzemy taki ciąg $\beta_i \in \mathbb{Q}$, że spełnione są nierówności

$$0 < |\beta_n|_p \cdot n^n \cdot h(\{\beta_0, \dots, \beta_{n-1}\})^{n^2-2n+1} \leq 1$$

i $\gamma \in \mathbb{Q}^\times$, przy czym te pierwsze chyba mogą być prawdziwe prawie zawsze.

Definicja 2.5.3. Niech $q_n = \sum_{k=0}^n \beta_k \gamma^k \in \mathbb{Q}$.

Definicja 2.5.4. Niech $f(x) = \sum_{k \geq 0} \beta_k x^k$.

Jeśli $m = h(\gamma)$, to $h(q_n) \leq (n+1)h(\{\beta_0, \dots, \beta_n\})^{n+1}m^n$. Z pierwszej nierówności mamy dla $\lambda_k = 1 : h(\{\beta_0, \dots, \beta_k\})$, $n > m$ i $\Delta = |f(\gamma) - q_n|_p$:

$$\begin{aligned} \Delta &\leq \sum_{k=n+1}^{\infty} |\beta_k|_p |\gamma|_p^k \leq \sum_{k=n+1}^{\infty} \frac{m^k}{k^k} \cdot \lambda_{k-1}^{(k-1)^2} \leq \sum_{k=n+1}^{\infty} \lambda_{k-1}^{(k-1)^2} \leq \sum_{k=n+1}^{\infty} \lambda_n^{(k-1)^2} \\ &\leq \lambda_n^{n \cdot n} \sum_{k=0}^{\infty} \lambda_n^k \leq \lambda_n^{n \cdot n} \sum_{k=0}^{\infty} 2^{-n} = 2\lambda_n^{n \cdot n}. \end{aligned}$$

Jeżeli założymy teraz, że $f(\gamma)$ jest algebraiczna, stopnia d , to twierdzenie Liouville'a zapewnia nam stałą $c > 0$, taką że $ch(q_n)^{-d} \leq |f(\gamma) - q_n|_p$. Stąd ciąg nierówności

$$\begin{aligned} 0 < c/2 &\leq h(q_n)^d \lambda_n^{n \cdot n} \leq (n+1)^d m^{dn} \lambda_n^{-dn-d} \lambda_n^{n \cdot n} \\ &= [(n+1)^d \lambda_n^{n^2:3}] [m^{dn} \lambda_n^{n^2:3}] \lambda_n^{n^2:3-dn-d}. \end{aligned}$$

Im większe n , tym bliższa zeru prawa strona, ale to nie jest możliwe, gdyż ogranicza ją $c/2$. Zatem $f(\gamma)$ jest przestępna w \mathbb{Q}_p i pozostało wskazać stosowne β_i . Przez $S_p(n)$ (tylko lokalnie?) oznaczmy sumę cyfr $n \in \mathbb{N}$ w rozwinięciu przy podstawie p .

Lemat 2.5.5 (VI). Gdy n jest naturalna, zaś p pierwsza, to

$$v_p(n!) = \frac{n - S_p(n)}{p-1}.$$

Wniosek 2.5.6 (VII). Dla pierwszej p oraz prawie każdej n mamy $v_p(n!) \geq n/(2p-2)$.

Dowód. Niech $n = a_0 + \dots + a_k p^k$, gdzie $a_k \neq 0$, zaś same cyfry a_i spełniają $0 \leq a_i \leq p-1$. Wtedy $n \geq p^k$ i $k \leq \log n / \log p$, zatem

$$S_p(n) \leq (p-1) \left(1 + \frac{\log n}{\log p} \right),$$

co dla dużych n daje $S_p(n) \leq n/2$. Lemat VI z wcześniejszą nierównością kończą dowód. \square

Fakt 2.5.7. Jeśli $q \in \mathbb{Q}^\times$, to dla każdego $p \leq \infty$ liczba $f(q) \in \mathbb{Q}_p$ jest przestępna:

$$f(x) = \sum_{n=0}^{\infty} \left(\frac{n!}{n!^2 + 1} \right)^{n! \cdot n! \cdot n!} x^n.$$

Dowód. Zdefiniujmy wreszcie ciąg β :

$$\beta_n = \left[\frac{n!}{(n!)^2 + 1} \right]^{n!^3}$$

Wystarczy sprawdzić, że dla dużych wartości n stosowne nierówności są spełnione. Jeśli $p = \infty$, to $|\beta_n|_\infty \leq (n!)^{-n!^3}$. Z drugiej strony, dla n odpowiednio dużych (i $m = n - 1$) mamy ciąg nierówności

$$\frac{\lambda_m^{m \cdot m}}{n^n} = \frac{1}{n^n (1 + m!^2)^{m^2 \cdot m!^3}} \geq \diamond (n!)^{-n - m^2 \cdot m!^3} \geq (n!)^{-n!^3} \geq |\beta_n|_\infty.$$

Z wniosku VII wnioskujemy, że dla dużych n : $v_p(\beta_n) = v_p(n!^i) \geq in/(2p-2)$, $i = n!^3$. Jak już zauważyliśmy, mamy („ \diamond ”, wyciągnięte z przypadku $p = \infty$):

$$\frac{\lambda_m^{m \cdot m}}{n^n} \geq \left(\frac{1}{n!} \right)^{n + m^2 m!^3}.$$

Prawa strona przekracza $p^{-in/(2p-2)}$, koniec. □

2.6 Lemat o podnoszeniu wykładnika

Przytoczymy teraz mało znany, użyteczny lemat z pracy [4].

Lemat 2.6.1. Załóżmy, że liczby x, y (całkowite), n (naturalna) i p (pierwsza) zostały dobrane tak, by $p \nmid nxy$ oraz $p \mid x \pm y$. Wtedy $v_p(x^n \pm y^n) = v_p(x \pm y)$.

Podamy teraz pierwsze dwie formy lematu, w zależności od znaku w „ $p \mid x \pm y$ ”.

Fakt 2.6.2. Załóżmy, że liczby x, y (całkowite), n (naturalna) i $p > 2$ (pierwsza) zostały dobrane tak, by $p \mid x \pm y$ i $p \nmid xy$. Wtedy $v_p(x^n \pm y^n) = v_p(x \pm y) + v_p(n)$.

Przypadek $p = 2$ jak zwykle wymaga więcej uwagi.

Fakt 2.6.3. Niech nieparzyste liczby całkowite x, y dają tę samą resztę z dzielenia przez 4. Wtedy

$$v_2(x^n - y^n) = v_2(x - y) + v_2(n).$$

Fakt 2.6.4. Niech dane będą nieparzyste liczby całkowite x, y oraz parzysta $n > 0$. Wtedy

$$v_2(x^n - y^n) = v_2(x - y) + v_2(x + y) + v_2(n) - 1.$$

Rozdział 3: Analiza z plusem

Jakie własności mają ciągle funkcje określone na podzbiorach p -adycznego ciała \mathbb{Q}_p o wartościach w rozszerzeniach \mathbb{Q}_p ? To pytanie, na które spróbujemy odpowiedzieć. \mathbb{Q}_p rozbija się na otwarte kule $x + \mathbb{Z}_p$ dla $x \in \mathbb{Q}_p/\mathbb{Z}_p = \mathbb{Z}[1/p]/\mathbb{Z}$, można ograniczyć się do ciągłych funkcji określonych na \mathbb{Z}_p .

W \mathbb{R} -analizie ciągle funkcje na odcinku są jednostajnymi granicami wielomianów. W analizie p -adycznej wielomiany te można kanonicznie wybrać (to zasługa Mahlera). Van Hamme zastąpił współczynniki dwumianowe innymi wielomianami, tak zrodził się rachunek cienisty.

Ziarnista struktura \mathbb{Z}_p sprawia, że lokalnie stałe funkcje są gęstą podprzestrzenią $\mathcal{C}(\mathbb{Z}_p, \mathbb{C}_p)$ i zastępują funkcje skokowe z \mathbb{R} -analizy.

3.1 Ciągi, różnice, sploty

Wielomian $f \in \mathbb{Q}[x]$ może spełniać zależność $f[\mathbb{N}] \subseteq \mathbb{Z}$, nawet gdy nie ma całkowitych współczynników. Taki jest na przykład $\frac{1}{p}(x^p - x)$.

Definicja 3.1.1. $(\nabla f)(x) = f(x+1) - f(x)$ określa operator skończonej różnicy.

Elementarne rachunki pokazują, że $\nabla(x \text{ nad } 0) = 0$ oraz $\nabla(x \text{ nad } i) = (x \text{ nad } i-1)$. Przypomina to zwykłą pochodną i wielomiany $f_n = x^n/n!$, $f'_n = f_{n-1}$, $f'_0 = 0$. Analogię ze wzorem Taylora rozwija następujący fakt.

Fakt 3.1.2. Jeśli $f: \mathbb{N} \rightarrow M$ jest funkcją w grupę abelową (czyli \mathbb{Z} -moduł), to istnieje dokładnie jeden ciąg $m_i \in M$, że

$$f(x) = \sum_{i \geq 0} m_i \binom{x}{i} = \sum_{i \geq 0} \frac{\nabla^i f(0)}{i!} \cdot (x)_i$$

Dowód. Łatwo widzieć, że $m_k = \nabla^k f(0)$ są w porządku. Choć nieskończenie wiele z nich będzie niezerami, to ustalenie x czyni sumę skończoną. \square

Nadmieńmy: $\Delta^k f(0) = \sum_{i \leq k} (-1)^{k-i} (k \text{ nad } i) f(i)$ jest formułą odpowiadającą funkcjom tworzącym:

$$\sum_{k=0}^{\infty} \Delta^k f(0) \frac{x^k}{k!} = e^{-x} \sum_{n=0}^{\infty} f(n) \cdot \frac{x^n}{n!}.$$

Fakt 3.1.3. \mathbb{Z} -moduł $\mathcal{L} \subseteq \mathbb{Q}[x]$ wszystkich funkcji spełniających warunek $f[\mathbb{N}] \subseteq \mathbb{Z}$ jest wolny, ma bazę złożoną z $(\cdot \text{ nad } i)$.

Powinniśmy rozpatrzyć przypadek, gdzie \mathbb{Z} -moduł M jest przestrzenią wektorową nad ciałem \mathbb{F}_p .

Lemat 3.1.4. Przestrzeń funkcji $\mathbb{Z} \rightarrow \mathbb{F}_p$, których okres to $T = p^t$, ma bazę złożoną z $x \mapsto (x \text{ nad } i) \bmod p$ dla $0 < i < T$.

Fakt 3.1.5. Każda p^t -okresowa funkcja $f: \mathbb{Z} \rightarrow \mathbb{F}_p^n$ zapisuje się jednoznacznie jako $f(x) = \sum_{i \leq T} (x \text{ nad } i) m_i$ dla $m_i \in \mathbb{F}_p^n$.

Jeżeli \mathcal{R} jest przemiennym pierścieniem, zaś $f, g: \mathbb{N} \rightarrow \mathcal{R}$ funkcjami, to ich przesuniętym splotem jest $(f \oslash g)(0) = 0$, $(f \oslash g)(n) = \sum_{i=0}^{n-1} f(i)g(n-i-1)$. Iterowaną różnicę splotu opisuje: $\nabla^n(f \oslash g) = f \oslash \nabla^n g + \sum_{k=0}^{n-1} \nabla^k f \nabla^{n-k-1} g(0)$.

Skoro operator różnicy udaje pochodną, to co może być dobrym kandydatem na całkę? Dla każdej funkcji $f: \mathbb{N} \rightarrow \mathcal{R}$ istnieje jedyna pierwotna $F: \mathbb{N} \rightarrow \mathcal{R}$, że $\nabla F = f$, $F(0) = 0$.

Definicja 3.1.6. Operator sumy nieoznaczonej \mathfrak{Z} to $f \mapsto 1 \oslash f$, to znaczy $(\mathfrak{Z} f)(0) = 0$ oraz $(\mathfrak{Z} f)(n) = \sum_{i=0}^{n-1} f(i)$.

Przykład 3.1.7. $\mathfrak{Z}(x \text{ nad } i) = (x \text{ nad } i + 1)$.

Jeżeli przez $P_0: A^{\mathbb{N}} \rightarrow A$ oznaczmy rzut na funkcje stałe ($f \mapsto f(0) \cdot 1$), to będziemy mogli zapisać trzy nowe zależności.

Fakt 3.1.8. $\nabla \circ \mathfrak{Z} = \text{id}$, $\mathfrak{Z} \circ \nabla = \text{id} - P_0$, $\nabla \circ \mathfrak{Z} - \mathfrak{Z} \circ \nabla = P_0$.

Druga tożsamość przepisana do $f(x) = f(0) + \mathfrak{Z} \nabla f(x)$ daje nam ograniczone rozwinięcie f pierwszego rzędu. Właśnie tak van Hamme uzyskał następujący wynik.

Twierdzenie 7 (van Hamme). Funkcje f zmiennej całkowitej mogą zostać rozwinięte (dla całkowitego $n \geq 0$) z resztą van Hamme'a, $R_{n+1}f(x) = \nabla^{n+1} f \oslash (x \text{ nad } n)$.

$$f(x) = f(0) \cdot 1 + R_{n+1}f(x) + \sum_{k=1}^n \nabla^k f(0) \cdot \binom{x}{k}.$$

3.2 Ciągłość na \mathbb{Z}_p

Przed lekturą tego ustępu warto przypomnieć sobie definicję i podstawowe własności jednostajnej zbieżności.

Punktowa granica ciągłych funkcji z X (topologicznej) w M (zupełną metryczną) jest ciągła, jeśli jednostajna.

Jeśli ustalimy ciągłą injekcję $\varphi: \mathbb{Z}_p \rightarrow \mathbb{R}$ (choćby liniowy model \mathbb{Z}_p), to możemy przybliżać jednostajnie wielomianami od φ ciągłą $f: \mathbb{Z}_p \rightarrow \mathbb{R}$. Istotnie, algebra wielomianów od φ jest podalgebrą wszystkich ciągłych $\mathbb{Z}_p \rightarrow \mathbb{R}$, która rozdziela punkty (\mathbb{Z}_p jest zwarta). Tw. Stone'a-Weierstraßa orzeka, że ta podalgebra jest gęsta z jednostajną zbieżnością.

Niech $f: \mathbb{Z}_p \rightarrow \mathbb{C}_p$ będzie ciągłą. Funkcja $|f|: \mathbb{Z}_p \rightarrow \mathbb{R}$ też jest ciągła i osiąga supremum. Dokładniej, zbiór $f[\mathbb{Z}_p] \subseteq \mathbb{C}_p$ jest zwarty, zaś $\{|f(x)| \neq 0 : x \in \mathbb{Z}_p\} \subseteq \mathbb{R}_+$ dyskretny.

Definicja pierścienia topologicznego \mathcal{R} pokazuje, że każdy wielomian $f \in \mathcal{R}[x]$ zadaje ciągłą funkcję $\mathcal{R} \rightarrow \mathcal{R}$. Kolejnymi źródłami ciągłych funkcji są:

1. wielomiany z $\mathbb{C}_p[x]$ po obcięciu do \mathbb{Z}_p
2. szeregi potęgowe $\sum_{i \geq 0} a_i x^i$ z $a_i \in \mathbb{C}_p, |a_i| \rightarrow 0$.

Definicja 3.2.1. Dla ciągłej funkcji $f: \mathbb{Z}_p \rightarrow \mathbb{C}_p$ przyjmijmy, że $\|f\| = \sup_{x \in \mathbb{Z}_p} |f(x)| = \max_{x \in \mathbb{Z}_p} |f(x)|$.

Jest jasne, że wielomiany dwumianowe wyznaczają ciągłe funkcje $f_k: \mathbb{Z}_p \rightarrow \mathbb{Z}_p, x \mapsto (x \text{ nad } k)$. Zbiór \mathbb{N} jest gęsty w \mathbb{Z}_p , zatem $\|f_k\| = \sup_{\mathbb{N}} |(n \text{ nad } k)| \leq 1$. Ponieważ $(k \text{ nad } k) = 1$, mamy nawet równość.

Zanim pójdziemy śladami Mahlera, żeby odwrócić proste spostrzeżenie sprzed akapitu, określimy użyteczne szeregi, które nazwano zresztą jego nazwiskiem.

Definicja 3.2.2. Szereg Mahlera dla $a_k \in \mathbb{C}_p$ (Ω_p), że $|a_k| \rightarrow 0$ to $\sum_{k \geq 0} a_k (x \text{ nad } k)$.

Jeśli szereg dwumianowy zbiega dla wszystkich $x \in \mathbb{Z}_p$ (lub dla samego $x = -1$), to czyni to jednostajnie. Ze zbieżności w -1 wynika, że $a_k(-1 \text{ nad } k) = \pm a_k \rightarrow 0$ i $|a_k| \rightarrow 0$.

Twierdzenie 8 (Mahler). Niech funkcja $f: \mathbb{Z}_p \rightarrow \mathbb{C}_p$ będzie ciągła, $a_k = \nabla^k f(0)$. Wtedy $|a_k| \rightarrow 0$, zaś szereg $\sum_{k \geq 0} a_k (x \text{ nad } k)$ zbiega jednostajnie do $f(x)$. Co więcej, $\|f\| = \sup_{k \geq 0} |a_k|$.

Dowód. Bez straty ogólności, zastąpmy $f \neq 0$ przez $f/f(x_0)$, gdzie $x_0 \in \mathbb{Z}_p$ maksymalizuje $|f(x)|$. Teraz obraz f leży w \mathcal{O} .

Rozważmy iloraz $E = \mathcal{O}/p\mathcal{O}$ jako przestrzeń liniową nad ciałem prostym \mathbb{F}_p . Złożenie $\varphi = f \bmod p: \mathbb{Z}_p \rightarrow \mathcal{O}_p \rightarrow E$, jest ciągle (przyjmuje skończenie wiele wartości, jest lokalnie stałe), ale nie jest stałe zerem. Jest jednostajnie ciągłe, a także jednostajnie lokalnie stałe (\mathbb{Z}_p jest zwarte).

To oznacza, że φ jest stała na warstwach modulo $p^t \mathbb{Z}_p$ dla dużych t , czyli p^t -okresowa na \mathbb{Z} . Skorzystamy więc z faktu 3.1.4. Niech $T = p^t$. Zapiszmy φ tak, jak niżej, przy czym znaczenie sztyletu \dagger jest nieznane: $\varphi(x) = \sum_{k < T} \alpha_k (x \text{ nad } k)^\dagger$.

Weźmy reprezentantów $a_k^0 \in \mathcal{O}$ dla α_k . Przynajmniej raz $|a_k^0| = 1$, gdyż różnica $\sum_{k < T} a_k^0 f_k - f$ przyjmuje wartości w $p\mathcal{O}$. Wiemy, że $|a_k^0| \leq 1$. Z naszej konstrukcji wynika, że jest $\|f(x) - \sum_{k < T} a_k^0 (x \text{ nad } k)\| = r \leq |p|$. Jeśli różnica nie jest 0, możemy powtórzyć proces: znaleźć $S > T$ i współczynniki a_k^1 , że $|a_k^1| \leq r$, $\max |a_k^1| = r$. Drobne nagięcie oznaczeń prowadzi przez $a_k^0 = 0$ dla $k \geq T$ do

$$\left| f(x) - \sum_{k=0}^{S-1} (a_k^0 + a_k^1) \cdot \binom{x}{k} \right| = r' \leq |p|^2.$$

Jest jasnym, że po nieskończeniu wielu krokach otrzymamy zbieżne szeregi $a_k = a_k^0 + a_k^1 + \dots \in \mathbb{C}_p$, że $|a_k^n| \leq |p|^n \rightarrow 0$. Zachodzi przy tym $\sup_{k > 0} |a_k| = \sup_{k < T} |a_k| = 1 = \|f\|$ i to już koniec: $\|f(x) - \sum_{k \geq 0} a_k (x \text{ nad } k)\| < |p|^m, m \in \mathbb{N}$. \square

Wniosek 3.2.3. Ciągłe funkcje $\mathbb{Z}_p \rightarrow \mathbb{C}_p$ to dokładnie jednostajne granice wielomianów z $\mathbb{C}_p[X]$.

Znajomość jednostajnej zbieżności, zwartych przestrzeni metrycznych, funkcji ciągłych i twierdzenia Mahlera pozwala przeprowadzić częściowo indukcyjny dowód następującego faktu.

Fakt 3.2.4. Następujące warunki są sobie równoważne dla funkcji $f: \mathbb{N} \rightarrow \mathbb{C}_p$ oraz $a_k = \nabla^k f(0)$: $|a_k| \rightarrow 0$; $\|\nabla^k f\| \rightarrow 0$; f ma ciągłe przedłużenie do $\mathbb{Z}_p \rightarrow \mathbb{C}_p$; f jest jednostajnie ciągła (na \mathbb{N} z topologią od \mathbb{Z}_p); szereg Mahlera dla f zbiega jednostajnie.

Twierdzenie Mahlera ma ciekawe zastosowania dla spłotów (przesuniętych). Okazuje się, że dzięki temu można oszacować resztę w skończonym rozwinięciu Mahlera. Przypomnijmy,

$$|(f \circ g)(n)| \leq \max |f(i)g(n-i-1)| \leq \|f\| \cdot \|g\|$$

Fakt 3.2.5. *Przesunięty spłot $f \circ g$ ciągłych funkcji $\mathbb{Z}_p \rightarrow \mathbb{C}_p$ daje się przedłużyć do ciągłej funkcji $\mathbb{Z}_p \rightarrow \mathbb{C}_p$.*

Dowód. Pokażemy, że $\nabla^k(f \circ g)(0) \rightarrow 0$. Wróćmy do

$$\nabla^{2n+1}(f \circ g) = \sum_{i+j=2n} \nabla^i f \cdot \nabla^j g(0) + f \circ \nabla^{2n+1} g$$

Dla ograniczonej funkcji h ultrametryka daje $\|\nabla h\| \leq \|h\|$. Rozbijemy lewą stronę powyższego równania na trzy człony.

$$\begin{aligned} \left| \sum_{i=n}^{2n} \nabla^i f(0) \cdot \nabla^{2n-i} g(0) \right| &\leq \|\nabla^n f\| \cdot \|g\| \\ \left| \sum_{i=0}^{n-1} \nabla^i f(0) \cdot \nabla^{2n-i} g(0) \right| &\leq \|f\| \cdot \|\nabla^n g\| \\ |(f \circ \nabla^{2n+1} g)(0)| &\leq \|f\| \cdot \|\nabla^{2n+1} g\| \\ &\leq \|f\| \cdot \|\nabla^n g\| \end{aligned}$$

Prawe strony nierówności dążą do 0, gdy n rośnie. Można podać podobne oszacowania dla ∇^{2n} miast ∇^{2n+1} . \square

Wniosek 3.2.6. *Twierdzenie van Hamme'a jest prawdziwe także dla $f: \mathbb{Z}_p \rightarrow \mathbb{C}_p$, z oszacowaniem $\|R_{n+1}f\| \leq \|\nabla^{n+1} f\| \rightarrow 0$.*

Wniosek 3.2.7. *Jedyną liniową formą $C(\mathbb{Z}_p, \mathcal{K}) \rightarrow \mathcal{K}$, która jest odporna na przesuwanie, jest forma zerowa: $\varphi \equiv 0$.*

Dowód. Ustalmy $f \in C(\mathbb{Z}_p, \mathcal{K})$ z pierwotną $F = \mathfrak{z} f$. Wtedy $\varphi(f(x)) = \varphi(F(x+1)) - \varphi(F(x)) = 0$. \square

Przykład 3.2.8. *Funkcja $f: \mathbb{Z}_p \setminus \{1\} \rightarrow \mathbb{Q}_p$ jest nieograniczona, ale ciągła: $f(x) = \sum_{n \geq 0} (x \text{ nad } p^{2n}-1)p^{-n}$.*

Człowiek może się zastanawiać, dlaczego w definicje szeregu Mahlera pojawiają się symbole Newtona, a nie zwykłe potęgi x .

Fakt 3.2.9. *Funkcje $f_n(x) = x^n$ nie tworzą ortonormalnej bazy p. funkcji ciągłych, ograniczonych z $\mathcal{O} \subseteq \mathcal{K}$ (zupełnego) w L , „BC”.*

Dowód. Liniowo niezależne funkcje f_n mają normę 1. Jeśli L nie jest lokalnie zwarta, zbiór $\{f_n\}$ jest ortonormalny, ale jego L -liniowa powłoka nie jest gęsta w „BC”.

Jeśli jednak jest, to f_n nie są zbiorem ortogonalnym (!), choć ich L -powłoka jest gęsta wśród ciągłych $X \rightarrow L$. \square

3.3 Lokalna stałość

Definicja 3.3.1. Funkcja $X \rightarrow Y$ jest stała lokalnie, jeśli jest ciągła (z dyskretną topologią na Y).

Funkcje $X \rightarrow \mathcal{K}$ (w ciało) tworzą przestrzeń wektorową nad \mathcal{K} , $\mathcal{F}(X)$. Jeżeli X jest zwarta i ultrametryczna, to lokalnie stałe $X \rightarrow \mathcal{K}$ stanowią podprzestrzeń $\mathcal{F}^{lc}(X)$, generowaną przez indykatory otwartych kul w X .

Przyjrzyjmy się lokalnie stałym funkcjom $f: \mathbb{Z}_p \rightarrow \mathcal{G}$ (w grupę abelową), takim że $|x - y| \leq p^{-j}$ pociąga $f(x) = f(y)$ dla ustalonej liczby całkowitej $j \geq 0$. Na domkniętych kulach o promieniu p^{-j} są one stałe. Ponieważ to są warstwy $p^j \mathbb{Z}_p$ w \mathbb{Z}_p , wybrane przez nas funkcje należą do $F_j = \mathcal{F}(\mathbb{Z}_p / p^j \mathbb{Z}_p)$. Tak naprawdę mamy partycję $\mathbb{Z}_p = \coprod_{i < p^j} (i + p^j \mathbb{Z}_p)$ na kule. Indykatory kul $\mathcal{B}(i, p^{-j})$ dla $0 \leq i < p^j$ tworzą bazę F_j , która jest p. wektorową skończonego wymiaru. Choć zwiększenie j zwiększa F_j : $\mathcal{F}^l(\mathbb{Z}_p, \mathcal{K}) = \bigcup_{j \geq 0} F_j$, to bazy dla F_j i F_{j-1} nie mają ze sobą wiele wspólnego.

Van der Put był sprytniejszy w szukaniu baz. Zdefiniujmy funkcję $\psi_i = \varphi_{i,j}$ jako indykator $i + p^j \mathbb{Z}_p$, gdy $p^{j-1} \leq i < p^j$.

Wartości bezwzględne elementów \mathbb{Z}_p to potęgi p , zatem $|x| < 1/i$, wtedy i tylko wtedy gdy $|x| \leq p^{-j}$. Długością liczby całkowitej $i \geq 1$ jest liczba $v \geq 1$, że w rozwinięciu i w systemie o podstawie p „ostatnia” cyfra to $i_{v-1} \neq 0$.

Fakt 3.3.2 (i definicja). Ciąg van der Puta $\{\psi_i\}_{i=0}^{p^j-1}$ jest bazą F_j , gdzie $j \geq 1$ i $\psi_i = \varphi_{i,v(i)}$.

Można powiedzieć więcej o takiej bazie. Mianowicie jeżeli $f = \sum_i a_i \psi_i \in F_j$, to $a_0 = f(0)$ i dla każdego $n \geq 1$ zachodzi $a_n = f(n) - f(n_-)$. Tutaj przez n_- rozumiemy $n - n_{v-1} p^{v-1}$, liczbę powstałą z n przez wymazanie najstarszej cyfry. Zanim przejdziemy do dużego twierdzenia, podsumujmy to, co mamy.

Fakt 3.3.3. Niech $f: \mathbb{Z}_p \rightarrow \mathcal{K}$ będzie lokalnie stałą funkcją. Połóżmy $a_n = f(n) - f(n_-)$ i $a_0 = f(0)$. Wtedy $\|f\| = \sup_i |a_i|$, zaś samą f można zapisać jako skończoną sumę $\sum_i a_i \psi_i$.

Twierdzenie, do którego małymi krokami się zbliżyliśmy, podałoby reprezentację każdej funkcji w zupełne rozszerzenie \mathbb{Q}_p , gdyby nie luki wielkie jak kanion.

Twierdzenie 9 (van der Put). Funkcja $f: \mathbb{Z}_p \rightarrow \mathcal{K}$ niechaj będzie ciągła. Jeśli $a_0 = f(0)$, $a_n = f(n) - f(n_-)$, to ciąg $|a_n|$ dąży do zera, szereg $\sum_i a_i \psi_i$ zbiega jednostajnie do f i $\|f\| = \sup_i |a_i|$.

3.4 Rachunek cienisty

Niech ciało \mathcal{K} ma charakterystykę 0. Będziemy teraz pracować w $\mathcal{V} = \mathcal{K}[x]$. Określmy $\mathcal{V}_n = \{f \in \mathcal{K}[x] : \deg f \leq n\} \leq \mathcal{V}$.

Definicja 3.4.1. Translacje to liniowe operatory w $\mathcal{K}[x]$ dane wzorem $(\tau_a f)(x) = f(x + a)$.

Definicja 3.4.2. Operator dorzecza to liniowy endomorfizm δ dla $\mathcal{K}[x]$, który komutuje z translacjami i spełnia $\delta(x) = c \in \mathcal{K}^\times$.

Fakt 3.4.3. Operatory dorzecza spełniają $\delta[\mathcal{K}] = \{0\}$. Jeśli f jest niestałym wielomianem, to $\deg f - \deg(\delta f) = 1$.

Dowód. Mamy $c = \tau_a c = \tau_a \delta x = \delta \tau_a x = \delta(x + a) = c + \delta a$, więc $\delta a = 0$ dla stałych $a \in \mathcal{K}$. Pokażemy, że $\deg \delta x^n = n - 1$ dla $n \geq 1$. Niech $\delta x^n = f(x)$. Wtedy

$$\begin{aligned} f(x + a) &= \tau_a f(x) = \delta \tau_a (x^n) = \delta(x + a)^n \\ &= \sum (n \text{ nad } k) a^k \delta x^{n-k}. \end{aligned}$$

Podstawmy w tym wzorze najpierw $x = 0$, a potem $a = x$.

Tak otrzymamy $f(x) = \sum (n \text{ nad } k) \delta(x^{n-k})(0) \cdot x^k$. Widać, że stopień f nie przekracza n , zaś współczynnik przy x^n to $\delta(1)(0) = 0$. Kolejny, wiodący, to $n\delta x(0) = nc \neq 0$, gdyż \mathcal{K} było charakterystyki zero. \square

Wniosek 3.4.4. Mamy $\delta[\mathcal{V}_n] = \mathcal{V}_{n-1}$.

Tuż za rogiem czai się cała gromadka operatorów dorzecza.

Przykład 3.4.5. Operator różniczkowania \mathfrak{D} , ogólniej $\tau_a \mathfrak{D}$.

Przykład 3.4.6. Operator różnicy $\tau_a \nabla$ (w szczególności $a = 0$).

Przykład 3.4.7. Formalny szereg od \mathfrak{D} rzędu 1, $\sum_i c_i \mathfrak{D}^i \in \mathcal{K}[[\mathfrak{D}]]$: na przykład $\log 1 + \mathfrak{D}$, $-1 + \exp \mathfrak{D}$ albo $\mathfrak{D}^2 / (\exp \mathfrak{D} - 1)$.

Definicja 3.4.8. Układ podstawowy dla operatora dorzecza δ to ciąg wielomianów, że $\deg p_n = n$, $\delta p_n = n p_{n-1}$, $p_n(0) = [n = 0]$.

Prosty argument indukcyjny pokazuje, że jest wyznaczony jednoznacznie. Pozwala to na napisanie „wzoru Taylora”.

Fakt 3.4.9. Dla operatora dorzecza δ z ciągiem podstawowym p_n w $\mathcal{K}[X]$ mamy rozwinięcie dla $f \in \mathcal{K}[X]$:

$$f(x + y) = \sum_{k=0}^{\infty} \frac{\delta^k f(x)}{k!} \cdot p_k(y).$$

To pierwsza inkarnacja rachunku ciernistego, z jaką się spotykamy. Jeśli za f wstawimy p_n , dostaniemy:

$$p_n(x + y) = \sum_{k=0}^n \binom{n}{k} p_k(x) \cdot p_{n-k}(y)$$

Definicja 3.4.10. Operator kompozytowy to endomorfizm $\mathcal{K}[x]$, który komutuje z translacjami.

Fakt 3.4.11. Operatory kompozytowe wśród endomorfizmów T dla $\mathcal{K}[x]$ scharakteryzowane są przez następujące równoważne warunki: T komutuje z translacją jednostkową, każdą translacją, derywacją \mathfrak{D} , operatorami dorzecza; jest formalnym szeregiem potęgowym od \mathfrak{D} lub operatora dorzecza δ (nad \mathcal{K}).

Niech T będzie ciągłym endomorfizmem $C(\mathbb{Z}_p, \mathcal{K})$, gdzie \mathcal{K} to zupełne rozszerzenie \mathbb{Q}_p . Jeśli komutuje z translacjami, to nie rusza $\ker \nabla^n \subseteq C(\mathbb{Z}_p)$.

Lemat 3.4.12. $\ker \nabla^n \subseteq C(\mathbb{Z}_p)$ to wielomiany stopnia $\leq n$.

Z trochę większą wiedzą można uogólnić wynik Mahlera tak, jak zrobił to van Hamme. Zapiszmy

$$T = \sum_{n \geq v} \alpha_n \nabla^n \in \mathcal{K}[[\nabla]].$$

Fakt 3.4.13. Ciągły endomorfizm T dla $C(\mathbb{Z}_p)$ komutujący z ∇ z $T(1) = 0$ i $\|T\| = |\alpha_1| = 1$ indukuje operator dorzeczca na $\mathcal{K}[x]$ z układem p_n : $\deg p_n = n$, $T(p_n) = np_{n-1}$, $p_n(0) = [n = 0]$, a przy tym $\|p_n\| = n!$.

Dowód. Po normalizacji układu $q_n = p_n/n!$ chcemy pokazać, że $\|q_n\| = 1$. Być może T też wymaga zmiany na T/α_1 , ale i tak ostatecznie napiszemy (z $\alpha_1 = 1$):

$$1 = \|q_0\| = \|Tq_1\| \leq \|q_1\| = \|Tq_2\| \leq \dots$$

Z założenia, $T = \nabla + \alpha_2 \nabla^2 + \dots = \nabla U$, kompozytowy operator U odwraca się ($V = U^{-1}$) i $\|U\| = 1$. Twierdzimy, że istnieje S , odwracalny i ciągły operator kompozytowy, $\|S\| = 1$, że $q_n = SV^n(f_n)$, gdzie przez f_n tymczasowo oznaczamy współczynniki dwumianowe nad n ($\nabla f_n = f_{n-1}$).

Niezależnie od S (jeśli jest rzędu 0), ta definicja prowadzi do wielomianów stopnia $\deg q_n = n$ i $Tq_n = \nabla U \circ SV^n(f_n)$, a skoro $UV = 1$ i operatory komutują, $Tq_n = q_{n-1}$.

Pozostało znaleźć takie S , by $q_n(0) = 0$ dla $n \geq 1$. Niech $S = I - \nabla V'U$, gdzie V' jest formalną pochodną V . Wtedy

$$\begin{aligned} SV^n(f_n) &= (I - \nabla(V'/V)) \circ V^n(f_n) \\ &= (V^n - \nabla V^{n-1}V')(f_n). \end{aligned}$$

Operatory są szeregiami formalnymi w ∇ i $\nabla^k f_n = f_{n-k}$ znika w początku dla $k < n$. Jedyny interesujący człon to w takim razie jednomian zawierający $\nabla^n f_n$. Ale jeśli $\varphi(t)$ jest formalnym szeregiem, to współczynnik w $\varphi^n - t\varphi^{n-1}\varphi'$ (czyli $\varphi^n - (t/n)(\varphi^n)'$) przy t^n jest zerem. Wynika stąd, że zerem jest też wyraz wolny $SV^n(f_n)$ i $q_n(0) = 0$.

Operatory z definicji S miały normy ≤ 1 , zatem $\|S\| \leq 1$ i $\|q_n\| \leq \|S\|\|V^n\|\|f_n\| = 1$. \square

Fakt 3.4.14. Przy założeniach z poprzedniego faktu, każda ciągła funkcja f z $C(\mathbb{Z}_p)$ daje się rozwinąć w uogólniony szereg Mahlera z $c_n = (T^n f)(0) \rightarrow 0$ i $\|f\| = \sup_{n \geq 0} |c_n|$: $f(x) = \sum_n c_n q_n$.

Dowód. Przy oznaczeniach z poprzedniego faktu, $T = \nabla U$ pociąga $|T^n f(0)| \leq \|U^n \nabla^n f\| \leq \|\nabla^n f\|$ (na mocy tw. Mahlera). Wystarczy ograniczyć się do wielomianów, ogólny przypadek wynika z gęstości i ciągłości. Wzór Taylora dla f przybiera postać $f = \sum_{n \geq 0} (T^n f)(0) q_n$. Skoro $\|q_n\| = 1$, to $\|f\| \leq \sup |c_n|$. Prawdziwa jest również nierówność w drugą stronę: $|c_n| \leq \|T^n f\| \leq \|T^n\|\|f\| \leq \|T\|^n \|f\| \leq \|f\|$. \square

Uogólnione rozwinięcie Mahlera nie jest prawdziwe dla \mathfrak{D} (różniczkowania): operator ten nie rozszerza się ciągle na całe $C(\mathbb{Z}_p)$. Cokolwiek to nie znaczy, wygląda niepokojąco. Nawet jeśli $f(x) = \sum_n c_n x^n/n!$ zbiega jednostajnie, zazwyczaj $\|f\|, \sup |f(x)|$ nie jest równe $\sup |c_n|$.

Zilustrujemy teraz ważną zasadę, o której to mowa będzie dopiero później.

Przykład 3.4.15. Ciąg podstawowy dla $\tau_a \mathfrak{D}$ to $p_n: x(x - an)^{n-1}$.

Lemat 3.4.16. Jeżeli $T = \varphi(\mathfrak{D})$ jest kompozytowym operatorem, zaś M_x mnoży przez x , to $TM_x - M_xT = \varphi'(D)$.

Pochodna Pincherle, khm.

Fakt 3.4.17. Dla operatora dorzecza $\delta = \mathfrak{D}\varphi(\mathfrak{D})$ (z odwracalnym szeregiem potęgowym φ) ciągiem podstawowym (wielomianów) jest $p_n = x\varphi(\mathfrak{D})^{-n}(x^{n-1})$.

Dowód. Skoro $\varphi(\mathfrak{D})$ i $\varphi(\mathfrak{D})^{-n}$ są odwracalne, $\varphi(\mathfrak{D})^{-n}(x^{n-1})$ jest wielomianem stopnia $n-1$ i $\deg p_n = n$. Oczywiście $p_n(0) = 0$. Pozostało sprawdzić, czy $\delta p_n = np_{n-1}$.

Z definicji, $\delta p_n = \mathfrak{D}\varphi(\mathfrak{D})M_x\varphi(\mathfrak{D})^{-n}(x^{n-1})$, więc teraz użyjemy lematu.

$$\begin{aligned} \dots &= M_x\varphi(\mathfrak{D})^{-n}(x^{n-1}) \\ &= \varphi(\mathfrak{D})^{-n}M_x(x^{n-1}) - [\varphi(\mathfrak{D})]'(x^{n-1}) \\ &= \varphi(\mathfrak{D})^{-n}(x^n) + n[\varphi(\mathfrak{D})^{-n-1}](x^{n-1}). \end{aligned}$$

Zatem

$$\begin{aligned} \delta p_n &= \mathfrak{D}\varphi(\mathfrak{D})M_x\varphi(\mathfrak{D})^{-n}(x^{n-1}) \\ &= \mathfrak{D}\varphi(\mathfrak{D})[\varphi(\mathfrak{D})^{-n}(x^n) + n[\varphi(\mathfrak{D})^{n-1}](x^{n-1})] \\ &= \varphi(\mathfrak{D})^{1-n}(\mathfrak{D}x^n) + n\varphi(\mathfrak{D})^{-n}(\mathfrak{D}x^{n-1}) \\ &= \varphi(\mathfrak{D})^{1-n}(nx^{n-1}) + (n^2 - n)\varphi(\mathfrak{D})^{-n}(x^{n-2}) \\ &= [n\varphi(\mathfrak{D})^{1-n}M_x + (n^2 - n)\varphi(\mathfrak{D})^{-n}](x^{n-2}). \end{aligned}$$

Teraz lemat wyciągnię M_x z opresji.

$$\begin{aligned} \delta p_n &= [M_x n\varphi(\mathfrak{D})^{1-n} + (n\varphi(\mathfrak{D})^{1-n})' \\ &\quad + (n^2 - n)\varphi(\mathfrak{D})^{-n}](x^{n-2}) \\ &= nM_x\varphi(\mathfrak{D})^{-(n-1)}(x^{n-2}) = np_{n-1} \end{aligned} \quad \square$$

Fakt 3.4.18 (doktryna tłumacza). Układ podstawowy dla operatora dorzecza $\tau_a\delta$ to $p_0 = 1$, $\hat{p}_n(x) = xp_n(x - na)/(x - na)$.

Dowód. Niech $\delta = \mathfrak{D}\varphi(\mathfrak{D})$, wtedy $\hat{p}_n = x[\tau_a\varphi(\mathfrak{D})]^{-n}(x^{n-1}) = x\tau_{-na}\varphi(\mathfrak{D})^{-n}(x^{n-1}) = x\tau_{-na}[p_n/x]$ \square

3.4.1 Funkcje tworzące

Ustalamy raz na zawsze operator dorzecza δ , którego układ podstawowy to p_k .

Definicja 3.4.19. Ciąg Sheffera dla δ to taki ciąg wielomianów s_n stopni n , że (od $n = 1$) prawdą jest $\delta s_n = ns_{n-1}$.

$$\text{Wzór Taylora daje } s_n(x + y) = \sum \binom{n}{k} p_k(x) s_{n-k}(y)$$

Definicja 3.4.20. Ciąg Appella to ciąg Sheffera p_n dla operatora \mathfrak{D} .

Fakt 3.4.21. Endomorfizm S dla $\mathcal{K}[x]$ jest odwracalnym operatorem kompozytowym, wtedy i tylko wtedy gdy posyła bazę (p_n) na (s_n) .

Ustalmy taki endomorfizm S . Układ wielomianów $S^{-1}p_n(s_n)$ jest ciągiem Sheffera, a my wyznaczmy jego wykładniczą funkcję tworzącą: $F_s(x, z) = \sum_{n \geq 0} s_n(x) z^n / n!$

Niech $\delta = \varphi(\mathfrak{D})$, $S = \psi(\mathfrak{D})$ będą elementami $\mathcal{K}[[\mathfrak{D}]]$, że $\varphi(0) = 0$, $\varphi'(0) \neq 0$, $\psi(0) \neq 0$. Rozwińmy szereg dla

$$\begin{aligned}\tau_x S^{-1} &= \sum \tau_x S^{-1}(p_n)(0) \frac{\delta^n}{n!} = \sum S^{-1}(p_n)(x) \frac{\delta^n}{n!} \\ &= \sum s_n(x) \frac{\delta^n}{n!} = F_s(x, \delta).\end{aligned}$$

Po pierwsze wiemy, że $\tau_x = \sum p_n(x) \delta^n / n! = \sum x^n \mathfrak{D}^n / n!$, czyli $\exp(x\mathfrak{D})$. Z drugiej strony, $\tau_x S^{-1} S = F_s(x, \delta) \circ \psi(\mathfrak{D})$. Te dwa wyrażenia są sobie równe. Podstawmy $\mathfrak{D} = \varphi^{-1}(\delta)$:

$$F_s(x, z) = \frac{\exp(x\varphi^{-1}(z))}{\psi(\varphi^{-1}(z))}$$

Stąd dla $s_n = p_n$ ($S = \text{id}$) mamy $\psi \equiv 1$, a to pozwala nam wygodnie szukać ciągu p_n .

Przykład 3.4.22. Niech $\nabla = -1 + \exp \mathfrak{D} = \varphi(\mathfrak{D})$, wtedy

$$\exp(x\varphi^{-1}(z)) = \exp(x \log 1 + z) = (1 + z)^x,$$

co ze wzorem Newtona daje $p_n(x) = x \cdot \dots \cdot (x - n + 1)$.

3.5 Różniczk i pochodne

Niech $X \subseteq \mathcal{K}$ będzie pozbawiony izolatorów, zaś \mathcal{K} stanowi zupełne rozszerzenie \mathbb{Q}_p (jak Rbrt \mathbb{C}_p lub Ω_p). 5.1.1

Definicja 3.5.1. Funkcja $f: X \rightarrow \mathcal{K}$ jest różniczkowalna w punkcie a , gdy istnieje granica

$$\lim_{x \rightarrow a} \frac{f(x) - f(a)}{x - a} =: f'(a)$$

Równoważnie: $f(x) = f(a) + (x - a)f'(a) + (x - a)\phi(x)$ dla pewnej funkcji ϕ gdy $\phi(x) \rightarrow 0$ dla $x \rightarrow a$.

Przykład 3.5.2. Niech otwarta kula $\mathcal{B}_n \subseteq \mathbb{Z}_p$ ma swój środek w p^n i promień $|p^{2n}|$. Funkcja $f: \mathbb{Z}_p \rightarrow \mathbb{Z}_p$ dana wzorem

$$f(x) = \sum_{n=1}^{\infty} p^{2n} \cdot 1_{x \in \mathcal{B}_n}$$

jest stała na otwartych kulach, zatem lokalnie stała poza zerem. Jej pochodna zeruje się, ale ilorazy różnicowe $[f(y) - f(x)] : (y - x)$ dla $x = p^n$, $y = p^n - p^{2n}$ są stale równe jeden!

Przykład 3.5.3. Ciągła funkcja $f: \mathbb{Z}_p \rightarrow \mathbb{Q}_p$ zadana wzorem

$$f(x) = x - \sum_{n \geq 1} p^{2n} \cdot [|x - p^n|_p < p^{-2n}]$$

jest różniczkowalna dla wszystkich $x \in \mathbb{Z}_p$ z $f'(x) = 1$; pomimo to f nie jest iniekcją, albowiem dla $x = p^n$ i $x = p^n - p^{2n}$ przyjmuje tę samą wartość.

Przykład 3.5.4. Ciągła funkcja $f: \mathbb{Z}_p \rightarrow \mathbb{Z}_p$ zadana wzorem

$$x = \sum_{n=0}^{\infty} a_n p^n \mapsto f(x) = \sum_{n=0}^{\infty} a_n p^{2n}$$

jest różniczkowalna dla wszystkich $x \in \mathbb{Z}_p$ z $f'(x) = 0$; pomimo to f nie jest lokalnie stała (przez injektywność).

Przykład 3.5.5. Niech $x = \sum_{n \geq 0} a_n p^n \in \mathbb{Z}_p$. Jeśli $|x|_p = p^{-m}$, niech $f(x)$ powstaje z x przez przestawienie a_{2m} i a_{2m+1} , $f(0) := 0$. Funkcja f jest różniczkowalną bijekcją $\mathbb{Z}_p \rightarrow \mathbb{Z}_p$, $f' = 1$, ale w zerze nie jest lokalną izometrią.

Powyższy przykład można poprawić tak, żeby funkcja f nie była wcale Lipschitza.

Przykład 3.5.6. Istnieje C^∞ -bijekcja $\mathbb{Z}_p \rightarrow \mathbb{Z}_p$ o pochodnej jeden, która nie jest izometrią.

Klasyczna definicja bycia różniczkowalnym (ciągle) nie jest więc przystosowana do liczb p -adycznych.

Definicja 3.5.7. Funkcja $f: X \rightarrow \mathcal{K}$ jest ściśle różniczkowalna w punkcie a („ $f \in \mathcal{S}^1(a)$ ”), jeśli dla $(x, y) \rightarrow (a, a)$ istnieje granica

$$\lim_{(x,y)} (\Phi f)(x, y) := \lim_{(x,y)} \frac{f(x) - f(y)}{x - y}$$

Jeżeli pochodna funkcji $f: (a, b) \rightarrow \mathbb{R}$ istnieje i jest ciągła, to f jest ściśle różniczkowalna w każdym $x \in (a, b)$. Nie jest to ultrametryczną prawdą: tu interesujące wyniki wymagają równie interesujących założeń.

Fakt 3.5.8. Niech funkcja $f: X \rightarrow \mathcal{K}$ będzie ściśle różniczkowalna w punkcie a i ma tam niezerową pochodną. Funkcja $f/f'(a)$ obcięta do pewnego otoczenia V dla a jest izometrią.

Dowód. Skoro $f \in \mathcal{S}^1(a)$, dla każdego $\varepsilon > 0$ istnieje otoczenie V_ε dla a , że $x \in V_\varepsilon, y \in V_\varepsilon$ daje $|\Phi f(x, y) - f'(a)| < \varepsilon$. Weźmy $\varepsilon = |f'(a)|$. Wtedy dla $x, y \in V$ zachodzi równość $|\Phi f(x, y)| = |f'(a)|$, a to pociąga $|f(x) - f(y)| = |f'(a)| \cdot |x - y|$. \square

Podamy teraz zaskakujące uogólnienie lematu Hensela: funkcja $f - c$ ma zero $x \in \mathcal{B}$, $f(x) = c$, gdy tylko $|f(b) - c|$ jest małe dla pewnego $b \in \mathcal{B}$, nie tylko dla wielomianów!

Fakt 3.5.9. Niech funkcja f z otoczenia punktu $a \in \mathcal{K}$ będzie ściśle różniczkowalna w a , $f'(a) \neq 0$. Wybierzmy otwartą kulę \mathcal{B} , w której leży a , że

$$\sigma := \sup_{x \neq y \in \mathcal{B}} \left| \frac{f(x) - f(y)}{x - y} - f'(a) \right| < |f'(a)|.$$

Wtedy f przerzuca otwarte kule na otwarte kule: obrazem $\mathcal{B}(b, \varepsilon)$ jest kula $\mathcal{B}(f(b), |f'(a)|\varepsilon)$.

Dowód. Niech $s = f'(a) \neq 0$. Funkcja f/s jest izometrią, więc $f[\mathcal{B}(b, \varepsilon)] \subseteq \mathcal{B}(f(b), |s|\varepsilon)$.

Dla dowodu drugiej inkluzji wybierzmy c z drugiej kuli: że $|f(b) - c| < |s|\varepsilon$. Pokażemy, że równanie $f(x) = c$ ma pewne rozwiązanie z $|x - b| < \varepsilon$ (funkcja $\varphi(x) = x - (f(x) - c)/s$ ma punkt stały). Zauważmy, że $\varphi[\mathcal{B}(b, \varepsilon)] \subseteq \mathcal{B}(b, \varepsilon)$.

Funkcja φ jest kontrakcją ze stałą $\sigma/|s| < 1$ na lewej kuli (domkniętej w zupełnym \mathcal{K}), zatem ma tam dokładnie jeden punkt stały. \square

Jeżeli funkcja f spełnia któryś z poniższych warunków, to powiemy o niej, że jest ściśle różniczkowalna (symbolicznie $f \in S^1(X)$).

Fakt 3.5.10. Dla funkcji $f: X \rightarrow \mathcal{K}$ te warunki są równoważne:

1. $f \in S^1(a)$ dla $a \in X$.
2. funkcja Φf przedłuża się ciągle z $X^2 \setminus \Delta_X$ do X^2 .
3. f jest różniczkowalna w $a \in X$, istnieje ciągła funkcja α na X^2 , która znika na Δ_X z

$$f(y) = f(x) + (y - x)(f'(x) + \alpha(x, y)).$$

Twierdzenie o przerzucaniu kul staje się wyjątkowo ciekawe dla lokalnie zwartych ciał \mathcal{K} (skończonych rozszerzeń \mathbb{Q}_p). Tam mamy klasyczne oznaczenia: $\mathfrak{p} = \pi\mathcal{O}$, $\mathcal{O}/\mathfrak{p} = \mathbb{F}_q$.

Jeśli $r \in |\mathcal{K}^\times|$, każda kula $\mathcal{B}[a, r]$ jest rozłączną sumą q otwartych kul \mathcal{B}_i (o promieniach r), czyli domkniętych kul \mathcal{B}_i (o promieniach θr z $\theta = |\pi| < 1$). Dowolny zbiór zawierający q różnych punktów $x_i \in \mathcal{B}[a, r]$, że $i \neq j$ implikuje $|x_i - x_j| \geq r$ zawiera co najwyżej po jednym punkcie z \mathcal{B}_i , zatem dokładnie po jednym.

Fakt 3.5.11. Izometria f z G , zwartego, otwartego podzbioru \mathcal{K} , w \mathcal{K} , skończone rozszerzenie \mathbb{Q}_p , Rbrt 5.1.2
przerzuca kule na kule.

Dowód. Jeśli $\mathcal{B}[a, r] \subseteq G$, to $f[\mathcal{B}[a, r]] \subseteq \mathcal{B}[f(a), r]$, pokażemy drugie zawieranie.

Rozbijmy $\mathcal{B}[a, r]$ na mniejsze rozłączne kule o środkach w a_i oraz promieniach $\varepsilon = |\pi|^v r$. Obrazy punktów $x_i = f(a_i)$ tworzą układ q^v punktów spełniający $|x_i - x_j| > \varepsilon$ dla $i \neq j$, zatem obraz $f[\mathcal{B}[a, r]]$ zawiera punkt z każdej z mniejszych kul rozkładu (czyli kroi wszystkie kule domknięte dodatniego promienia). Wynika stąd, że $f[\mathcal{B}[a, r]]$ leży gęsto w $\mathcal{B}[f(a), r]$; jest też zwarty, przez co domknięty. \square

Definicja 3.5.12. Granulat otwarto-zwartego $G \subseteq \mathcal{K}$ to skończone rozbiecie na domknięte kule tego samego promienia.

Granulaty są porównywalne (kule są rozłączne lub zawarte jedna w drugiej). Kula w uboższej jest sumą rozłączną pewnej potęgi q^v kul z bogatszej. Zauważmy, że $q^v \equiv 1 \pmod{p-1}$, więc liczba kul w dwóch granulatach różni się o wielokrotność $p-1$. To uzasadnia poprawność takiej definicji:

Definicja 3.5.13. Typ otwarto-zwartego $G \subseteq \mathcal{K}$ to $\tau(G)$, liczba kul w dowolnym granulacie modulo $p-1$.

Dopuszczamy rozbiecia na kule o różnych promieniach, gdyż $\tau(G \sqcup G') = \tau(G) + \tau(G')$, typ rozłącznej sumy jest addytywny. Podsumujmy.

Fakt 3.5.14. Otwarty i zwarty $G \subset \mathcal{K}$ oraz jego obraz przez ściśle różniczkowalną injekcję $f: G \rightarrow \mathcal{K}$ o nieznikającej pochodnej mają ten sam typ.

Dowód. Z $f \in S^1(a)$ i $f'(a) \neq 0$ wnioskujemy, że punkt a ma otoczenie V w G , takie że f przerzuca otwarte kule na kule w $f[V]$. \square

Wniosek 3.5.15. Dla $p \neq 2$ nie istnieje ściśle różniczkowalna bijekcja $\mathbb{Z}_p \rightarrow \mathbb{Z}_p^\times$, której pochodna nie znika.

Zajmiemy się teraz funkcjami bardziej różniczkowalnymi. Przyjmijmy

Rbrt
5.1.3+4

$$\Phi_2 f(x, y, z) = \frac{\Phi f(x, z) - \Phi f(y, z)}{x - y}.$$

Definicja 3.5.16. Jeśli dla $(x, y, z) \rightarrow (a, a, a)$ istnieje granica $\Phi_2 f(x, y, z)$, to funkcja $f: X \rightarrow \mathcal{K}$ jest dwukrotnie różniczkowalna (ściśle) w punkcie a , co zapisujemy $f \in \mathcal{S}^2(a)$.

Fakt 3.5.17. Jeśli $f \in \mathcal{S}^2(a)$, to $f \in \mathcal{S}^1(a)$.

Definicja 3.5.18. Funkcję $\Phi_2 f$ można przedłużyć ciągle do X^3 , wtedy i tylko wtedy gdy $f \in \mathcal{S}^2(a)$ dla każdego a .

Fakt 3.5.19. Jeśli $f \in \mathcal{S}^2$, to $f' \in \mathcal{S}^1$.

Uwaga: twierdzenie odwrotne nie jest prawdziwe (choćby dla niektórych funkcji z $f' \equiv 0$).

Rbrt Spróbujemy teraz zróżniczkować szereg Mahlera. Ustalmy f , ciągłą funkcję na \mathbb{Z}_p oraz
5.1.5+6 $y \in \mathbb{Z}_p$. Możemy wtedy rozwinąć: $f(x + y) = \sum_{k \geq 0} c_k(y)(x \text{ nad } k)$, $c_k(y) = (\nabla^k f)(y)$ dąży do zera.

Fakt 3.5.20. Ciągła funkcja f na \mathbb{Z}_p jest różniczkowalna w y , wtedy i tylko wtedy gdy dla $k \rightarrow \infty$ jest $|(\nabla^k f)(y)/k| \rightarrow 0$. Wtedy

$$f'(y) = - \sum_{k=1}^{\infty} \frac{(-1)^k}{k} \cdot (\nabla^k f)(y).$$

Dowód. Bez straty ogólności, $y = 0$, gdyż funkcję $f(x)$ możemy zastąpić przez $f(x + y)$. Wtedy $c_0 = f(0)$ i

$$\frac{f(x) - f(0)}{x} = \sum_{k=1}^{\infty} \frac{c_k}{k} \binom{x}{k} = \sum_{k=1}^{\infty} \frac{c_k}{k} \binom{x-1}{k-1}.$$

Jeśli $|c_k/k|$ zbiega do zera, szereg Mahlera zadany przez $g(y) = \sum_{k \geq 1} \frac{1}{k} (y \text{ nad } k-1) c_k$ reprezentuje ciągłą funkcję na \mathbb{Z}_p i w szczególności $f'(0)$ istnieje, jest równe $g(-1)$, czyli $\sum_{k \geq 1} (-1)^{k-1} c_k/k$.

Odwrotnie, gdy $f'(0)$ istnieje, to funkcja g równa $f'(0)$ w zerze i $(f(x) - f(0))/x$ poza nim jest ciągła. Współczynniki Mahlera dla niej to $\gamma_k = \nabla^k g(0)$ (dążą do zera). Zapiszmy więc g jako $\sum_{k \geq 0} \gamma_k (x \text{ nad } k)$. Mamy $x(x \text{ nad } k) = (k+1)(x \text{ nad } k+1) + k(x \text{ nad } k)$ (jak łatwo sprawdzić bezpośrednim rachunkiem), co upoważnia do zapisania

$$f(x) = f(0) + xg(x) = c_0 + \sum_{k \geq 1} k(\gamma_{k-1} + \gamma_k)(x \text{ nad } k).$$

Współczynniki Mahlera są jednoznaczne, więc $\frac{1}{k} c_k = \gamma_k + \gamma_{k-1}$ dąży do zera. □

Fakt 3.5.21. Dla ciągłej funkcji $f(x) = \sum_{k \geq 0} c_k \binom{x}{k}$ klasy $\mathcal{C}(\mathbb{Z}_p)$, ograniczoność liczb $k|c_k|$ jest równoważna lipschitzowskości f .

Wniosek 3.5.22. $\|\Phi f\| := \sup_{x \neq y} |\Phi f(x, y)| = \sup_{n \geq 1} \kappa_n |c_n|$ jest skończona, gdzie κ_n to największa potęga p nie większa od n .

Wielkość $\|\Phi f\|$ nie jest normą, lecz półnormą, gdyż znika na stałych. Aby dostać normę możemy położyć $q_0 = 1$ i napisać $\|f\|_* = \sup(|f(0)|, \|\Phi f\|)$.

Wniosek 3.5.23. Gdy f jest Lipschitza, to $\|f\|_* \leq \|\mathfrak{L} f\|_* \leq p\|f\|_*$, więc $\mathfrak{L} f$ też jest Lipschitza.

Wniosek 3.5.24. $(\text{Lip}(\mathbb{Z}_p), \|\cdot\|_*)$ oraz ℓ^∞ są izomorficzne dzięki f . Funkcje 1 i $\kappa_n(x \text{ nad } n)$ odpowiadają „kanonicznej bazie” ℓ^∞ .

$$f: \sum_{n=0}^{\infty} c_n \binom{x}{n} \mapsto \left(\frac{c_n}{\kappa_n} \right).$$

Fakt 3.5.25. Ustalmy $f(x) = \sum_{k \geq 0} c_k(x \text{ nad } k) \in \mathcal{C}(\mathbb{Z}_p)$. Ciąg $k^n |c_k|$ dąży do zera, wtedy i tylko wtedy gdy f jest klasy \mathcal{S}^n .

Fakt 3.5.26. Funkcja $\sum_{k \geq 0} c_k(x \text{ nad } k) \in \mathcal{C}(\mathbb{Z}_p)$ jest analityczna, wtedy i tylko wtedy gdy $c_n/n!$ Schik dąży do zera. 54

Następne stwierdzenie jest szokujące.

Przykład 3.5.27. Suma $(\mathfrak{L} f)$ analitycznej funkcji na \mathbb{Z}_p nie musi taka być!

Schik
54.C

Podobne charakteryzacje istnieją także w terminach bazy van der Puta. Przypomnijmy, $e_0 \equiv 1$, zaś dla $n \geq 1$ funkcja e_n jest indykátorem kuli $\mathcal{B}(n, 1/n) \subseteq \mathbb{Z}_p$.

Niech $f = \sum_{n \geq 0} a_n e_n \in \mathcal{C}(\mathbb{Z}_p, \mathcal{K})$.

Fakt 3.5.28. Funkcja f jest a -lipschitzowska, wtedy i tylko wtedy gdy $\sup_n |a_n| n^a < \infty$, $a > 0$. Schik 63

Fakt 3.5.29. Funkcja f jest a -lipschitzowska, wtedy i tylko wtedy gdy $\sup_n |a_n| n^a < \infty$. Jeśli $a > 1$, pociąga to zerowanie pochodnej, ale implikacja w drugą stronę jest fałszywa.

Fakt 3.5.30. Funkcja f ma zerową pochodną, wtedy i tylko wtedy gdy $|a_n| n$ (albo $a_n/(n - n_-)$) dąży do zera.

Fakt 3.5.31. Funkcja f ma zerową pochodną i jest \mathcal{C}^n , wtedy i tylko wtedy gdy $|a_m| m^n$ dąży do zera.

Zajmiemy się teraz ratowaniem twierdzenia o wartości średniej, które nie zawsze jest prawdziwe.

Fakt 3.5.32. Niech szereg $f \in \mathcal{K}\{x\}$ wyznacza funkcję f na kuli $\mathcal{B}[0, 1]$. Ustalmy $h, t \in \mathcal{K}$, takie Rbrt że $|t| \leq 1$ i $|h| \leq r_p = |p|^{1/(p-1)}$. Wtedy $|f(t+h) - f(t)| \leq |h| \cdot \|f'\|$. 5.3

Wynika z niego inne, o punkcie stałym.

Fakt 3.5.33. Niech \mathcal{K} będzie skończonym rozszerzeniem \mathbb{Q}_p , zaś \mathcal{B} jednostkową kulą domkniętą. Ustalmy szereg $f \in \mathcal{K}\{x\}$, że $\|f\| \leq 1$, $\|f'\| < 1$ oraz $\inf_{x \in \mathcal{B}} |f(x) - x| \leq r_p$. Wtedy f ma punkt stały na kuli \mathcal{B} .

Skaczemy w nieznane.

Twierdzenie 10 (Łuzin). Niech funkcja $f: \mathbb{Z}_p \rightarrow \mathbb{Q}_p$ posiada pochodną. Wtedy to obrazem zbioru Schik zerowego jest zbiór zerowy, zaś $\{f(x) : f'(x) = 0\}$ jest zerowy. 73

Istnieje jednak ciągła funkcja $\mathbb{Z}_p \rightarrow \mathbb{Z}_p$, obrazem przez którą pewnego zbioru zerowego jest całe \mathbb{Z}_p .

Przykład 3.5.34. Niech $X := \{\sum_n a_n p^n : a_1 = a_3 = \dots = 0\}$, zaś $t(x)$ będzie najmniejszym nieparzystym indeksem n , że $a_n \neq 0$. Wtedy dla $g(x) = \sum_{j < t(x)} a_j p^{j:2}$ (suma po parzystych j) mamy równość $g[X] = \mathbb{Z}_p$.

Skończymy na izometriach.

Schik **Fakt 3.5.35.** Jeśli ciało residuów jest nieskończone, to „domknięta” kula jednostkowa oraz sfera są izometrycznie izomorficzne.

Wniosek 3.5.36. Wtedy istnieje izometria $\mathcal{K} \rightarrow \mathcal{K}$ nie „na”.

Fakt 3.5.37. Każda izometria $\mathcal{K} \rightarrow \mathcal{K}$ jest „na”, wtedy i tylko wtedy gdy \mathcal{K} jest sferycznie zupełne i ma skończone ciało residuów.

Fakt 3.5.38. Każda funkcja 1-Lipschitza z $X \subseteq \mathcal{K}$ w ciało \mathcal{K} jest \mathcal{K} -liniową kombinacją dwóch izometrii.

Dowód. Jedną z nich jest identyczność. □

Fakt 3.5.39. Jeśli zbiory $A, B \subseteq \mathbb{Z}_p$ są przeliczalne i gęste, to istnieje izometria f dla \mathbb{Z}_p , taka że $f[A] = B$.

Fakt 3.5.40. Ciągły endomorfizm \mathbb{C}_p jest surjektywną izometrią.

3.6 Algebra Tate’a

Definicja 3.6.1. $\mathcal{K}\{x\} = \{\sum_n a_n x^n : \lim_{n \rightarrow \infty} a_n = 0\}$ jest podprzestrzenią $\mathcal{K}[[x]]$.

Fakt 3.6.2. Zbiór $\mathcal{K}\{x\}$ jest izomorficzny z p -Banacha $c_0(\mathcal{K})$ i stanowi uzupełnienie $\mathcal{K}[x]$ z normą Gaußa (supremum współczynników).

Zachodzi nierówność $\|fg\| \leq \|f\| \cdot \|g\|$, z której wynika (jednostajna) ciągłość mnożenia w $\mathcal{K}[x]$ i jego ciągłość w $\mathcal{K}\{x\}$.

Fakt 3.6.3. Przestrzeń $\mathcal{K}\{x\}$ jest nawet algebrą Banacha, algebrą Tate’a jednej zmiennej.

Algebra Tate’a pozostaje chwilowo poza naszym zasięgiem.

3.7 Całka Volkenborna

Rbrt Zdefiniujemy całkę z funkcji $f: \mathbb{Z}_p \rightarrow \mathcal{K}$, gdzie \mathcal{K} to zupełne rozszerzenie \mathbb{Q}_p . Niestety, fakt 5.5.1 3.2.7 pokazuje, że nie można zdefiniować formy liniowej φ na przestrzeni $\mathcal{C}(\mathbb{Z}_p)$, ciekawej i niezmienniczej na przesunięcia.

Można tego dokonać dla $\mathcal{F}^{lc}(\mathbb{Z}_p)$. Przyjmijmy, że $\varphi(1) = 1$. Odporność na przesuwanie wymusza tę samą wartość p^{-n} dla indyktorów warstw $p^n \mathbb{Z}_p$. Supremum tych funkcji wynosi 1, ale $|\varphi(f)|$ jest dowolnie duże, gdyż równe p^n , co odbiera formie φ ciągłość.

Zdefiniujmy „objętość” kuli $\mathcal{B}[j, |p^n|]$ w \mathbb{Z}_p jako $p^{-n} \in \mathbb{Q}_p$. Przedstawiona za moment konstrukcja nie jest niezmiennicza na przesunięciu i wymaga istnienia co najmniej $(\mathfrak{Z} f)'(0)$, choć nie ma nic złego w ograniczaniu się do $f \in S^1(\mathbb{Z}_p)$. Zacznijmy od wyrażenia

$$S(f, n) := \frac{1}{p^n} \sum_{j=0}^{p^n-1} f(j) = \sum_{j=0}^{p^n-1} f(j) m(j + p^n \mathbb{Z}_p).$$

Reprezentuje ono sumę Riemanna dla f .

Nieoznaczona suma F dla funkcji f była zdefiniowana tak, by $\nabla F = f$ ($F(0) = 0$). Zachodzi wtedy

$$S(f, n) = \frac{F(p^n) - F(0)}{p^n}.$$

Widać więc, że jeśli F różniczkuje się w początku, to granica z $n \rightarrow \infty$ istnieje. Kiedy f ma współczynniki Mahlera c_n , współczynniki $\mathfrak{Z} f$ są „przesunięte”, zaś różniczkowalność w początku ma miejsce dokładnie gdy $|c_{n-1}/n| \rightarrow 0$ (ale tak jest dla $f \in S^1(\mathbb{Z}_p)$).

Definicja 3.7.1. Całką Volkenborna dla funkcji $f \in S^1(\mathbb{Z}_p)$ jest:

$$\int_{\mathbb{Z}_p} f(x) dx = \lim_{n \rightarrow \infty} \frac{1}{p^n} \sum_{j=0}^{p^n-1} f(j) = (\mathfrak{Z} f)'(0)$$

Przykład 3.7.2. Jeśli b_k są liczbami Bernoulliego, to

$$\int_{\mathbb{Z}_p} x^k dx = b_k.$$

Fakt 3.7.3. Jeśli $\|f_n - f\|_*$ dąży do 0, to $\int_{\mathbb{Z}_p} f_n$ zbiega do $\int_{\mathbb{Z}_p} f$. Dla $f \in S^1(\mathbb{Z}_p)$ prawdziwe jest poniższe oszacowanie.

$$I = \left| \int_{\mathbb{Z}_p} f(x) dx \right| \leq p \|f\|_1.$$

Dowód. $I = |(\mathfrak{Z} f)'(0)| \leq \|\mathfrak{Z} f\|_* \leq p \|f\|_*$ (patrz ??). □

Przypomnijmy, że ∇f to dyskretny gradient funkcji f , to jest: $\nabla f(x) = f(x+1) - f(x)$.

Fakt 3.7.4. Dla $f \in S^1(\mathbb{Z}_p)$ mamy $I := \int_{\mathbb{Z}_p} \nabla f(x) dx = f'(0)$.

Dowód. $I = (\mathfrak{Z} \nabla f)'(0) = (f - f(0))'(0) = f'(0)$. □

Znamy nieoznaczone sumy dla funkcji dwumianowych, a zatem scałkowanie szeregu Mahlera nie sprawi trudności.

Fakt 3.7.5. Niech $\sum_{k \geq 0} c_k \binom{x}{k}$ będzie szeregiem Mahlera dla f , funkcji klasy S^1 . Wtedy

Rbrt
5.5.2

$$\int_{\mathbb{Z}_p} f(x) dx = \sum_{k=0}^{\infty} \frac{(-1)^k c_k}{k+1}.$$

Dowód. Skoro $f_n(x) = \sum_{k \leq n} c_k \binom{x}{k}$ dążą do $f(x)$ w $\|\cdot\|_*$, to wolno nam całkować wyraz po wyrazie, by otrzymać kolejno: $\sum_{k \geq 0} c_k \int (x \text{ nad } k) dx$, $\sum_{k \geq 0} c_k (x \text{ nad } k+1)'(0)$, a potem $\sum_{k \geq 0} c_k \lim_{x \rightarrow 0} (x-1 \text{ nad } k)/(k+1)$ i prawą stronę. \square

Przykład 3.7.6. Ustalmy $t \in \mathbb{C}_p$, że $0 < |t| < 1$. Wtedy

$$\int_{\mathbb{Z}_p} (1+t)^x dx = \int_{\mathbb{Z}_p} \sum_{k=0}^{\infty} t^k \binom{x}{k} dx = \sum_{k=0}^{\infty} \frac{(-t)^k}{k+1},$$

a to jest po prostu $\frac{1}{t} \log(1+t)$.

Rbrt Przyda nam się więcej wzorów z tą całką. Przypomnijmy, że \mathfrak{D} komutuje z translacją, 5.5.3 zatem także z $\nabla = \tau - \text{id}$.

Fakt 3.7.7. Niechaj $P_0: f \mapsto f(0) \cdot 1$ rzutuje $S^1(\mathbb{Z}_p)$ na stałe. Wtedy \mathfrak{D} \mathfrak{Z} komutuje z translacjami τ_x , a dodatkowo $\mathfrak{Z} \tau = \tau \mathfrak{Z} - P_0$, $\mathfrak{Z} \mathfrak{D} = \mathfrak{D} \mathfrak{Z} - P_0 \mathfrak{D} \mathfrak{Z}$.

Dowód. Z definicji, dla $n \geq 1$ mamy

$$\begin{aligned} \dots &= \mathfrak{Z}(\tau f)(n) = \sum_{j=0}^{n-1} \tau f(j) = \sum_{j=0}^{n-1} f(j+1) \\ &= \sum_{j=1}^n f(j) = \mathfrak{Z} f(n+1) - f(0) = \tau \mathfrak{Z} f(n) - f(0), \end{aligned}$$

co dowodzi pierwszego stwierdzenia (całkowite $n \geq 1$ w \mathbb{Z}_p leżą gęsto, ciągłość funkcji). Z drugiej strony, różniczkowanie $\mathfrak{Z} \tau f = \tau \mathfrak{Z} f - f(0)$ uzasadnia $\mathfrak{D} \mathfrak{Z} \tau f = \mathfrak{D} \tau \mathfrak{Z} f = \tau \mathfrak{D} \mathfrak{Z} f$. Do tego, ponieważ $\nabla \mathfrak{Z} f = f$, ale $S \nabla f = f - f(0)$, to $\nabla \mathfrak{Z} = \text{id}$ oraz $\mathfrak{Z} \nabla = \text{id} - P_0$. Wnioskujemy, że $\mathfrak{Z} \mathfrak{D}$ to $\mathfrak{Z} \mathfrak{D} \nabla \mathfrak{Z}$, czyli $\mathfrak{Z} \nabla \mathfrak{D} \mathfrak{Z} = \mathfrak{D} \mathfrak{Z} - P_0 \mathfrak{D} \mathfrak{Z}$. \square

Fakt 3.7.8. Niech $f \in S^1(\mathbb{Z}_p)$. Wtedy

$$\begin{aligned} (\mathfrak{Z} f)'(x) &= \int_{\mathbb{Z}_p} \tau_x f(t) dt \\ \mathfrak{Z}(f')(x) &= \int_{\mathbb{Z}_p} f(x+t) - f(t) dt \end{aligned}$$

Dowód. Całka z f to pochodna $(\mathfrak{Z} f)'(0)$, więc

$$\begin{aligned} \dots &= \int_{\mathbb{Z}_p} f(t+1) dt = \int_{\mathbb{Z}_p} \tau f(t) dt = (\mathfrak{Z} \tau f)'(0) \\ &= \mathfrak{D} \mathfrak{Z} \tau f(0) = \tau \mathfrak{D} \mathfrak{Z} f(0) = \mathfrak{D} \mathfrak{Z} f(1) = (Sf)'(1). \end{aligned}$$

Ogólny wzór dla $x = n$ otrzymujemy przez iterację, natomiast dla dowolnego $x \in \mathbb{Z}_p$ z ciągłości i gęstości.

Skorzystamy teraz z 3.7.4: $\int_{\mathbb{Z}_p} \nabla f(x+t) dt = f'(x)$. Stąd wynika, że $\mathfrak{Z}(f')(n)$ jest sumą teleskopową:

$$\mathfrak{Z}(f')(n) = \int_{\mathbb{Z}_p} f(t+n) - f(t) dt$$

Ponownie odwołujemy się do ciągłości i gęstości, by powyższy wzór był prawdziwy nie tylko dla $n \in \mathbb{N}$, ale też $n \in \mathbb{Z}_p$. \square

Fakt 3.7.9. Jeżeli $f \in \mathcal{S}^2(\mathbb{Z}_p)$, to $F \in \mathcal{S}^1(\mathbb{Z}_p)$ i

$$F'(x) := \left[\int_{\mathbb{Z}_p} f(x+t) dt \right]' = \int_{\mathbb{Z}_p} f'(x+t) dt.$$

Dowód. Skoro $f \in \mathcal{S}^2$, to $f' \in \mathcal{S}^1$, więc prawa strona równania z faktu definiuje funkcję $G(x)$ klasy \mathcal{S}^1 równą $(\mathfrak{Z} f')'(x)$, czyli $(\mathfrak{D} \mathfrak{Z} \mathfrak{D} f)(x)$, więc $G = \mathfrak{D} \mathfrak{Z} \mathfrak{D} f$. Zauważmy przy tym, że $\mathfrak{Z} \mathfrak{D}$ to $\mathfrak{D} \mathfrak{Z} - P_0 \mathfrak{D} \mathfrak{Z}$, zatem $G = \mathfrak{D} \mathfrak{D} \mathfrak{Z} f = (\mathfrak{Z} f)'' = F'$. \square

Fakt 3.7.10. Jeśli σ jest inwolucją $x \mapsto -1 - x$ dla \mathbb{Z}_p , to

$$\int_{\mathbb{Z}_p} (f \circ \sigma) dx = \int_{\mathbb{Z}_p} f dx.$$

Dzięki temu możemy podać wzór na całkę Volkenborna z dowolnej funkcji nieparzystej: to po prostu $-f'(0)/2$.

3.8 Antypochodna

Fakt 3.8.1. Dla każdej ciągłej funkcji $f: X \rightarrow \mathcal{K}$ ($X \subseteq \mathcal{K}$) i $\varepsilon > 0$ istnieje lokalnie stała Schik $g: X \rightarrow \mathcal{K}$, że $|f(x) - g(x)| < \varepsilon$. 26.1

Dowód. Relacja $x \simeq y$, gdy $|f(x) - f(y)| < \varepsilon$, rozбивa X na otwarte klasy abstrakcji U_i . Wybierzmy z każdej po jednym elemencie a_i . Niech $g(x) = f(a_i)$, jeśli $x \in U_i$. \square

Wniosek 3.8.2. Jeśli X nie ma izolatorów, to można żądać $g' = 0$.

Twierdzenie 11 (Kaplansky). Jeżeli zbiór $X \subseteq \mathcal{K}$ jest zwarty, zaś $f: X \rightarrow \mathcal{K}$ ciągła, to istnieje Schik wielomian $P: \mathcal{K} \rightarrow \mathcal{K}$, że dla każdego $x \in X$, $|P(x) - f(x)| < \varepsilon$. 43.3

Twierdzenie Kaplansky'ego nie jest wybredne co do ciała \mathcal{K} , natomiast twierdzenie Weierstraßa (o jednostajnej granicy wielomianów) staje się fałszywe (!) dla \mathbb{C} zamiast \mathbb{R} .

Dowód. Fakt połączony ze zwartością X pokazują, że można ograniczyć się do indykatorów kul. Bez straty ogólności założymy, że $0 \in X$, $f(0) = 1$. Wybierzmy $c_1, \dots, c_m \in X$, by $|c_1| \leq \dots \leq |c_m|$ i $X \subseteq \bigsqcup_{k \leq m} \mathcal{B}[c_k, \delta]$ ($c_0 = 0$). Wtedy $\delta < |c_1|$. Dla pewnego s mamy $(\delta/|c_1|)^s < \varepsilon$. Indukcyjnie wskażemy n_1, \dots, n_m , by funkcja

$$P(x) = \prod_{j=1}^m \left[1 - \frac{x^s}{c_j^s} \right]^{n_j}$$

miała potrzebne własności: $|P(x) - 1| < \varepsilon$ dla $x \in \mathcal{B}[0, \delta]$ i $|(x)| < \varepsilon$ dla x z kolejnych kul. Niech $x \in \mathcal{B}[0, \delta]$. Wtedy $1 - (x/c_j)^s \in \mathcal{B}[1, \varepsilon]$ dla każdego j . Skoro $\mathcal{B}[1, \varepsilon]$ jest grupą

z mnożeniem (co najmniej dla $\varepsilon < 1$), wnioskujemy, że $|P(x) - 1| < \varepsilon$ niezależnie od n_1, \dots, n_m . Niech teraz $x \in \mathcal{B}[c_i, \delta]$ dla $i \geq 1$. Wtedy $|x - c_i| \leq \delta$ i $|x| = |c_i|$, zatem

$$|1 - (x/c_j)^s| \leq \begin{cases} \max(1, |x/c_j|^s) \leq |c_i/c_j|^s & j < i \\ |1 - x/c_j| \leq \delta/|c_1| & j = i \\ \max(1, |x/c_j|^s) \leq 1 & j > i \end{cases}$$

Chcemy, żeby $|P(x)| < \varepsilon$, czyli

$$\left| \frac{c_i}{c_1} \right|^{sn_1} \cdot \dots \cdot \left| \frac{c_i}{c_{i-1}} \right|^{sn_{i-1}} \cdot \left(\frac{\delta}{|c_1|} \right)^{n_i} < \varepsilon$$

dla ustalonych n_1, \dots, n_{i-1} . Dobre n_i zawsze znajdziemy. \square

Rozpatrujemy funkcje $f: \mathbb{Z}_p \rightarrow \mathbb{Q}_p$.

Schik **Fakt 3.8.3.** *Zbiór antypochodnych f jest gęsty w zbiorze $\mathcal{C}(\mathbb{Z}_p, \mathbb{Q}_p)$.*

z 26.3

Dowód. Jeśli $g' = 0$ (z wniosku) i $F' = f$, to $(F + g)' = f$. \square

Funkcja $\sum_{n \geq 0} p^n x^{p^n - 1}$ jest analityczna, ale dla $x = 1$ jej antypochodna nie zbiega. Natomiast antypochodna dowolnej funkcji lokalnie analitycznej też jest taka.

Schik **Fakt 3.8.4.** *Antypochodna funkcji lokalnie analitycznej jest lokalnie analityczna, jednak rzędu o jeden 30.A wyżej.* *Lokalności nie można pominąć.*

Zastanowimy się teraz, czy każda ciągła funkcja $f: \mathbb{Z}_p \rightarrow \mathbb{Q}_p$ ma antypochodną.

Schik **Fakt 3.8.5.** *Niech funkcje f_1, f_2, \dots będą ograniczone na \mathbb{Z}_p , tak by szereg $f = \sum_{n \geq 1} f_n$ zbiegał 30.1 jednostajnie. Jeśli F_n jest antypochodną f_n i $\|F_n\|_\Delta := \max(\|F_n\|, \|\Phi_1 F_n\|) \leq \|\tilde{f}_n\|$, to szereg $\sum_n F_n$ także zbiega jednostajnie, do antypochodnej f .*

Dowód. Z jednostajnej zbieżności $\|f_n\|$ dąży do zera, więc $\|F_n\|$ także. Oznacza to, że F jest dobrze określoną i ciągłą funkcją. Ustalmy $\varepsilon > 0$ i N , takie że $\|f_n\| < \varepsilon$ dla $n > N$.

Wtedy $|\Phi_1 F_n(s, t) - f_n(t)|_p \leq \max(\|\Phi_1 F_n\|, \|f_n\|) < \varepsilon$ jednostajnie w $s \neq t \in \mathbb{Z}_p$. Dla x bliskich a , lewa strona jest mniejsza od ε również dla $n \leq N$ (x, a zamiast s, t), można zatem „zgubić” indeksy n . \square

Jeżeli funkcje F_n są klasy \mathcal{C}^1 , dowód daje się poprawić tak, by F też była.

Schik **Twierdzenie 12** (Dieudonné). *Każda ciągła $f: \mathbb{Z}_p \rightarrow \mathbb{Q}_p$ posiada antypochodną.*

30.2

Dowód. Lemat ze spostrzeżeniem pokazują, iż wystarczy ograniczyć się do lokalnie stałych f i pokazać antypochodną F klasy \mathcal{C}^1 , $\|F\|_\Delta \leq \|f\|$.

Niech $f = \sum_{m=0}^q \lambda_m [x \in m + p^n \mathbb{Z}_p]$ dla $q = p^n - 1$. Wtedy naturalnym kandydatem na funkcję F jest $\sum_m \lambda_m (x - m) [x \in m + p^n \mathbb{Z}_p]$. Jej pochodna to f , zaś $\|F\| \leq \|f\|$.

Pokażemy, że $|\Phi_1 F(x, y)|_p \leq \|f\|$ dla różnych $x, y \in \mathbb{Z}_p$.

Niech $x \in \langle m \rangle_n, y \in \langle m' \rangle_n$. Jeśli $m = m'$, to $F(x) - F(y) = \lambda_m (x - y)$. Jeśli nie, to $|x - y|_p$ można szacować z dołu przez większą z $|x - m|_p, |y - m'|_p$, ale wtedy kończymy dowód przez $|F(x) - F(y)|_p = |\lambda_m (x - m) + \lambda_{m'} (y - m')|_p \leq \|f\| \cdot |x - y|_p$. \square

Schik **Fakt 3.8.6.** Funkcja $f: X \rightarrow \mathcal{K}$ jest pierwszej klasy Baire'a (jest punktową granicą f ciągłych),
70.1 wtedy i tylko wtedy gdy posiada ona antypochodną.

Twierdzenie to nie ma rzeczywistego odpowiednika, ale wiadomo, że tylko implikacja w lewo jest prawdziwa. Dowód w lewo (ultrametryczny) również jest prosty. W prawo trzeba skorzystać z kilku lematów.

Lemat 3.8.7. Jeśli $f: X \rightarrow \mathcal{K}$ jest pierwszej klasy Baire'a, to jest sumą przeliczalnie wielu lokalnie Schik
stałych $f_n: X \rightarrow \mathcal{K}$, takich że $\|f_n\| \leq \|f\|$ (dla ograniczonych f). 70.3

Lemat 3.8.8. Ustalmy $\varepsilon > 0$ oraz domkniętą kulę $\mathcal{B} \subseteq X$. Istnieje wtedy liniowe odwzorowanie Schik
 $F: X \rightarrow \mathcal{K}$, antypochodna indykatora \mathcal{B} , normy co najwyżej ε , takie że $|F(x - y)| \leq |x - y|$ (dla 70.4
 $x, y \in \mathcal{B}$) i lub „ $\leq |x - y|$ ” (w pozostałych przypadkach), zerowe poza kulą \mathcal{B} .

Lemat 3.8.9. Dla lokalnie stałej funkcji $f: X \rightarrow \mathcal{K}$ i ustalonego $\varepsilon > 0$ istnieje lokalnie liniowa Schik
antypochodna $F: X \rightarrow \mathcal{K}$, że $\|F\| \leq \varepsilon$ i $|F(x) - F(y)| \leq \max(|f(x)|, \varepsilon)|x - y|$. 70.5

3.9 Dyfeomorfizmy

Definicja 3.9.1. Dyfeomorfizmem otwarniętych zbiorów jest każdy dwustronnie różniczkowalny
homeomorfizm.

Fakt 3.9.2. Niepuste otwarnięte podzbiory \mathbb{C}_p są dyfeomorficzne. Schik
74.1

Dowód. Jako że \mathbb{C}_p nie jest lokalnie zwarte, ale jest ośrodkowe, wystarczy zapisać obydwie
jako unię przeliczalnie wielu dysków „domkniętych” i skleić liniowe mapy między nimi. \square

Fakt 3.9.3. Każde nieograniczone i otwarnięte podzbiory p . lokalnie zwartej są dyfeomorficzne. Jeśli Schik
jeden z homeomorficznych podzbiorów jest nieograniczony, to drugi też. 74.A

Fakt 3.9.4 („Peano”). \mathbb{Q}_p i \mathbb{Q}_p^2 , \mathbb{Z}_p i \mathbb{Z}_p^2 są homeomorficzne. Schik
74.3

Fakt 3.9.5. \mathbb{Z}_p i $\mathbb{Z}_p \setminus p\mathbb{Z}_p$ są dyfeomorficzne tylko dla $p = 2$.

Rozdział 4: Imperium topologii

4.1 Klasyfikacja lokalnie zwartych ciał

Podjmiemy się klasyfikacji czegoś więcej niż samych tylko ciał ultrametrycznych: lokalnie zwartych ciał charakterystyki zero. Rbrt
2.App

Zakładamy po cichu, że do dyspozycji mamy miarę Haara: na każdej lokalnie zwartej grupie G istnieje dodatnia miara Radona μ , która jest niezmiennicza na lewe przesunięcia. Na taką miarę patrzymy jak na dodatni ciągły funkcjonal liniowy na przestrzeni zwarcie niesionych funkcji ciągłych $G \rightarrow \mathbb{R}$ (lub inaczej). Brzmi niezłe i pozwala na udowodnienie, że lokalnie zwarte ciała są metryzowalne. Ich klasyfikacja: \mathbb{R} , \mathbb{C} , skończone rozszerzenia \mathbb{Q}_p (chyba?).

4.2 Zbiór Cantora jako pierścień \mathbb{Z}_p

Liczby p -adyczne to formalne szeregi $\sum_{i=0}^{\infty} a_i p^i$, o współczynnikach $a_i \in [0, p) \cap \mathbb{Z}$. Takie szeregi można utożsamiać z ciągiem (a_i) . Kartezjański produkt $X_p = \{0, \dots, p-1\}^{\mathbb{N}}$ ma topologię produktową (czynniki są dyskretne), zatem jest zwarty. Jest też całkowicie rozłączny. Topologia na X_p pochodzi od wielu metryk, na przykład

$$d(x, y) = \sup_{i \geq 0} \delta(x_i, y_i) p^{-i} = p^{-v_p(x-y)}$$

albo $\sum_{i \geq 0} \delta(x_i, y_i) p^{-i-1}$, ale nie tylko. Wszystkie metryka na zwartej p -metryzowalnej są jednostajnie równoważne, ale my będziemy sobie cenić te, które dają wierny obraz warstwowej struktury \mathbb{Z}_p : dla każdej $k \in \mathbb{N}$, warstwy $p^k \mathbb{Z}_p$ mają być izometryczne.

Fakt 4.2.1. *Z p -adyczną metryką mnożenie jest kontrakcją, zatem ciągle: $d(px, py) = \frac{1}{p} d(x, y)$.*

Zbiór Cantora $C \subseteq [0, 1]$ składa się z punktów, w których trójkowych rozwinięciach nie znajdziemy cyfr(y) jeden. Jest homeomorficzny z \mathbb{Z}_2 za sprawą ciągłej bijekcji $\psi: \mathbb{Z}_2 \rightarrow C$, $\sum_i a_i 2^i \mapsto \sum_i 2a_i/3^{i+1}$ między zwartymi zbiorami.

Fakt 4.2.2. *Całkowicie niespójna, zwarta p -metryczna bez izolatorów jest homeomorficzna z \mathbb{Z}_2 . Engel*
Zwarta przestrzeń metryczna jest obrazem \mathbb{Z}_2 .

W przestrzeni \mathbb{Z}_2 nie ma zatem nic niezwykłego.

Ciekawa jest też funkcja $\varphi: \mathbb{Z}_2 \rightarrow [0, 1]$ zadana przez $\sum_i a_i 2^i \mapsto \sum_i a_i/2^{1+i}$. Diagram przemienności $\varphi = g \circ \psi$ (funkcja g zszywa krańcowe punkty zbioru Cantora) zachęca nas do rozważenia liniowych modeli \mathbb{Z}_p .

Fakt 4.2.3. Funkcje $\psi_b: \mathbb{Z}_p \rightarrow [0, 1]$ określone dla $b > 1$ są ciągłe. Dla $b > p$, są injektywnym homeomorfizmem na obraz. Kiedy $b = p$, ψ_b jest tylko nieróżnowartościową surjekcją:

$$\psi_b\left(\sum_{i=0}^{\infty} a_i p^i\right) = \frac{b-1}{p-1} \sum_{i=0}^{\infty} \frac{a_i}{b^{i+1}}.$$

4.3 Grupy topologiczne

Rbrt Przypomnijmy: grupa topologiczna to zwykła grupa \mathcal{G} z topologią, przy której „dzielenie”,
1.3 czyli funkcja $\mathcal{G} \times \mathcal{G} \rightarrow \mathcal{G}$, $(x, y) \mapsto xy^{-1}$, jest ciągłe.

Fakt 4.3.1. Grupy $(\mathbb{Z}_p, +)$ oraz $(\mathbb{Z}_p^\times, \cdot)$ są topologiczne.

Dowód. Istnieje fundamentalny układ otoczeń z podgrup dla 1 w \mathbb{Z}_p^\times : to $1 + p^k \mathbb{Z}_p$. Jeżeli $\alpha, \beta \in \mathbb{Z}_p$, to $(1 + p^n \beta)^{-1} = 1 + p^n \beta'$ (tu $\beta' \in \mathbb{Z}_p$), a zatem (dla $a = 1 + p^n \alpha$ i $b = 1 + p^n \beta$) mamy $ab^{-1} = 1 + p^n \gamma$ dla pewnego $\gamma \in \mathbb{Z}_p$. Konsekwencją tego faktu dla $a' \in a(1 + p^n \mathbb{Z}_p)$, $b' \in b(1 + p^n \mathbb{Z}_p)$ jest $a'b'^{-1} \in ab^{-1}(1 + p^n \mathbb{Z}_p)$, $n \geq 1$ i ciągłość „dzielenia”.

Indeks $1 + p\mathbb{Z}_p$ w \mathbb{Z}_p^\times to $p-1$; podgrupa ta jest otwarta (i topologiczna).

Jeżeli $a' \in a + p^n \mathbb{Z}_p$ i $b' \in b + p^n \mathbb{Z}_p$, to $a' - b'$ należy do $a - b + p^n \mathbb{Z}_p$ dla $n \geq 0$. Innymi słowy, gdy $|x - a|, |y - b| \leq |p^n|$, to $|(x - y) - (a - b)| \leq p^{-n}$, zatem odejmowanie $x - y$ jest ciągłe w każdym punkcie (a, b) . \square

Podamy teraz bez dowodu kilka najważniejszych faktów o grupach topologicznych. Wszystko można znaleźć w dobrym podręczniku poświęconym tym obiektom.

Fakt 4.3.2. Grupa topologiczna jest metryzowalna, wtedy i tylko wtedy gdy jest Hausdorffa i posiada przeliczalny fundamentalny układ otoczeń elementu neutralnego.

Od metryki można wtedy wymagać, by była niezmiennicza na lewe przesunięcia.

Fakt 4.3.3. Każdą grupę \mathcal{G} można uzupełnić do $\widehat{\mathcal{G}}$: zupełnej, w którą \mathcal{G} zanurza się gęsto, że morfizmy $\mathcal{G} \rightarrow \mathcal{G}'$ (w zupełną) pochodzą od złożeń $\mathcal{G} \rightarrow \widehat{\mathcal{G}}$ i $\widehat{\mathcal{G}} \rightarrow \mathcal{G}'$ (jednoznacznie).

Fakt 4.3.4. Jeżeli $H \leq \mathcal{G}$ jest podgrupą grupy topologicznej \mathcal{G} oraz zawiera otoczenie elementu neutralnego, to jest otwarta w \mathcal{G} .

Przykład 4.3.5. $p^n \mathbb{Z}_p \leq \mathbb{Z}_p$ lub $1 + p^{n+1} \mathbb{Z}_p \leq 1 + p \mathbb{Z}_p$ dla $n \geq 0$.

Gdy przez $\pi: \mathcal{G} \rightarrow \mathcal{G}/H$ oznaczmy kanoniczny rzut (tutaj $H \triangleleft \mathcal{G}$), to dla otwartego $U \subseteq \mathcal{G}$ mamy $\pi^{-1}(\pi U) = \bigcup_{h \in H} U h$ (również otwarty). Zatem rzut jest ciągły i otwarty, lecz nie musi być domknięty.

Fakt 4.3.6. Iloraz \mathcal{G}/H jest skończony, $T_2 \Leftrightarrow H$ jest domknięta oraz skończonego indeksu \Rightarrow iloraz jest dyskretny $\Leftrightarrow H$ jest otwarta \Rightarrow iloraz jest $T_2 \Leftrightarrow H$ domknięta.

Dyskretne podgrupy \mathbb{R} są postaci $a\mathbb{Z}$, więc iloraz \mathbb{R} przez dyskretną (nietrywialną) jest zwarty. Niedyskretne podgrupy \mathbb{R} leżą gęsto na prostej.

Fakt 4.3.7. Domknięte podgrupy \mathbb{Z}_p to ideały $(\{0\}, p^m \mathbb{Z}_p)$.

Dowód. Abelową grupą to \mathbb{Z} -moduł. Jeśli grupa $H \leq \mathbb{Z}_p$ jest domknięta, to dla $h \in H$ mamy implikację: gdy $\mathbb{Z}H \subseteq H$, to $\mathbb{Z}_p a \subseteq \text{cl } \mathbb{Z}a \subseteq \text{cl } H = H$. Czyli domknięta podgrupa to ideał \mathbb{Z}_p (lub \mathbb{Z}_p -modułu). \square

Uwaga! Poniższa pułapka może okazać się wyjątkowo niebezpieczna.

Rbrt

1.3.6

Fakt 4.3.8. Grupa \mathcal{R}^* elementów odwracalnych pierścienia topologicznego nie musi być topologiczna.

Tak jest, gdy \mathcal{R}^* dziedziczy topologię z \mathcal{R} . Ale można na niej zadać inną topologię, od włożenia $x \mapsto (x, x^{-1})$ dla \mathcal{R}^* w \mathcal{R}^2 . Wtedy $\mathcal{R}^* \hookrightarrow \mathcal{R}$ jest ciągle, chociaż być może nie jest homeomorfizmem na obraz.

Oto przykład pokazujący, że przezorność nie była niepotrzebna.

Przykład 4.3.9. Niech H będzie zespoloną p . Hilberta z ortonormalną bazą e_i . Rozpatrzmy ciąg Rbrt ciągłych operatorów T_n przerzucających e_i na e_i (jeśli $i \neq n$) lub $\frac{1}{n}e_n$ (jeśli nie). Dla każdego $x \in H$, 1.Ex.20 $\|T_n x - x\|^2 \rightarrow 0$, więc oraz $T_n \rightarrow I$ w silnej topologii na pierścieniu ograniczonych operatorów. Ale $T_n^{-1} \not\rightarrow I$, ze względu na argument

$$x = \sum_{n=1}^{\infty} \frac{e_n}{n}.$$

Fakt 4.3.10. Ciągły morfizm $\mathbb{Z}_p^\times \rightarrow \mathbb{Q}_p^\times$ jest postaci $\zeta u \mapsto \zeta^v u^x$ dla $\zeta \in \mu_{p-1}$, $u \in 1 + p\mathbb{Z}_p$, Rbrt $v \in \mathbb{Z}/(p-1)\mathbb{Z}$ i $x \in \mathbb{Z}_p$. 5.Ex.12

4.4 Cewka

Ciała \mathbb{R} i \mathbb{Q}_p połączyć można w interesującą grupę topologiczną, solenoid. Przedstawimy Rbrt jej konstrukcję i własności. 1.App

Definicja 4.4.1. Solenoid p -adyczny \mathbb{S}_p to rzutowa granica układu grup $\mathbb{R}/p^n\mathbb{Z}$ z kanonicznymi morfizmami $\varphi_n: \mathbb{R}/p^{n+1}\mathbb{Z} \rightarrow \mathbb{R}/p^n\mathbb{Z}$, $x \bmod p^{n+1}\mathbb{Z} \mapsto x \bmod p^n\mathbb{Z}$

\mathbb{S}_p jest zwartą grupą abelową z kanonicznymi rzutami $\psi_n: \mathbb{S}_p \rightarrow \mathbb{R}/p^n\mathbb{Z}$, morfizmami (grup), które są ciągłymi surjekcjami. W szczególności ($\psi = \psi_0$) solenoid jest nakryciem okręgu. Krótki ciąg dokładny $0 \rightarrow \mathbb{Z}_p \rightarrow \mathbb{S}_p \rightarrow \mathbb{R}/\mathbb{Z} \rightarrow 0$ przedstawia okrąg jako iloraz solenoidu, zaś solenoid jako nakrycie okręgu o włóknie \mathbb{Z}_p .

Powszechnie wiadomo, że każdej liczbie całkowitej $m \geq 1$ odpowiada jedyna cykliczna Rbrt podgrupa rzędu m w okręgu, czyli $m^{-1}\mathbb{Z}/\mathbb{Z} \subseteq \mathbb{R}/\mathbb{Z}$. Prawdą jest też: 1.App.2

Fakt 4.4.2. Jeśli $m \geq 1$ nie jest krotnością p , to dokładnie jedna cykliczna podgrupa \mathbb{S}_p ma rząd m .

Dowód. Oznaczmy przez C_m^n cykliczną podgrupę rzędu m w okręgu $\mathbb{R}/p^n\mathbb{Z}$.

Funkcje przejścia φ_n mają jądra rzędu p względnie pierwszego z m , indukują więc izomorfizmy $C_m^{n+1} \cong C_m^n$. Rzutową granicą tego stałego ciągu jest cykliczna podgrupa $C_m \subseteq \mathbb{S}_p$. Aby udowodnić jedyność, rozpatrzmy dowolny homomorfizm $\sigma: \mathbb{Z}/m\mathbb{Z} \rightarrow \mathbb{S}_p$. Złożenie $\psi_n \circ \sigma$ ma obraz w jedynej cyklicznej podgrupie C_m^n okręgu $\mathbb{R}/p^n\mathbb{Z}$. Zatem σ ma obraz w C_m , a to kończy dowód. \square

Można ją rzutować na okrąg: $\psi(C_m) = m^{-1}\mathbb{Z}/\mathbb{Z}$. Skoro $C_m \times \mathbb{Z}_p$ jest izomorficzny z $\psi^{-1}(m^{-1}\mathbb{Z}/\mathbb{Z})$, C_m jest maksymalną skończoną podgrupą przeciwobrazu (ψ).

Fakt 4.4.3. Solenoid p -adyczny \mathbb{S}_p nie ma p -torsji.

Dowód. Ustalmy morfizm $\sigma: \mathbb{Z}/p\mathbb{Z} \rightarrow \mathbb{S}_p$. Wtedy poniższe złożenia są trywialne.

$$\varphi_n \circ \psi_{n+1} \circ \sigma: \mathbb{Z}/p\mathbb{Z} \rightarrow \mathbb{S}_p \rightarrow \mathbb{R}/p^{n+1}\mathbb{Z} \rightarrow \mathbb{R}/p^n\mathbb{Z}$$

Obraz złożenia $\psi_{n+1} \circ \sigma$ leży w jedynej cyklicznej podgrupie okręgu $\mathbb{R}/p^{n+1}\mathbb{Z}$ rzędu p . Podgrupa ta jest jądrem morfizmu φ_n oraz $\psi_n \circ \sigma = \varphi_n(\psi_{n+1} \circ \sigma)$. Zatem nie istnieje element rzędu p^k , $k \geq 1$, w \mathbb{S}_p . \square

Rbrt **Fakt 4.4.4.** Solenoid p -adyczny zawiera podgrupę izomorficzną z \mathbb{R} (gęstą), podobnie dla \mathbb{Q}_p .
1.App.3

Dowód. Projekcje $f_n: \mathbb{R} \rightarrow \mathbb{R}/p^n\mathbb{Z}$ są zgodne z funkcjami przejścia układu rzutowego, definiującym solenoid ($f_n = \varphi_n \circ f_{n+1}$). Istnieje więc jedyna faktoryzacja $f: \mathbb{R} \rightarrow \mathbb{S}_p$. Jeśli $x \neq 0 \in \mathbb{R}$ to $p^n > x$, pociąga $f_n(x) \neq 0 \in \mathbb{R}/p^n\mathbb{Z}$ oraz $f(x) \neq 0 \in \mathbb{S}_p$. To pokazuje, że homomorfizm f jest injekcją (poza tym, $\bigcap_n \ker f_n = \bigcap_n p^n\mathbb{Z} = \{0\}$).

Obraz f jest gęsty jak obrazy surjekcji f_n . Rozpatrzmy podgrupy $\psi^{-1}(p^{-k}\mathbb{Z}/\mathbb{Z}) \leq \mathbb{S}_p$, H_k . Podgrupa $H_0 = \mathbb{Z}_p$ ma indeks p^k w $H_k = \lim_n p^{-k}\mathbb{Z}/p^n\mathbb{Z} \cong p^{-k}\mathbb{Z}_p$. Zatem

$$\mathbb{Q}_p \cong \psi^{-1}(\mathbb{Z}[1/p]/\mathbb{Z}) = \bigcup_k \psi^{-1}(p^{-k}\mathbb{Z}/\mathbb{Z}) = \bigcup_k H_k \subsetneq \mathbb{S}_p,$$

Gęstość tej podgrupy wynika z gęstości $\psi_n(\mathbb{Q}_p) = \mathbb{Z}[1/p]/p^n\mathbb{Z} \subset \mathbb{R}/p^n\mathbb{Z}$. \square

Dzięki temu mamy prosty wniosek:

Fakt 4.4.5. Solenoid jest continuum (zwarty i spójny).

Dowód. Wiemy z topologii, że gdy $A \subseteq X$ jest spójny, to każdy $B \subseteq X$, że $A \subseteq B \subseteq \text{cl } A$, też. Weźmy za A podprzestrzeń (spójną) $f(\mathbb{R}) \subseteq \mathbb{S}_p$, która jest gęsta w solenoidzie. \square

Rbrt Na zakończenie przedstawimy solenoid jako bardzo skręconą linię. Ciąg morfizmów
1.App.4 ciągłych $f_n: \mathbb{R} \times \mathbb{Q}_p \rightarrow \mathbb{R}/p^n\mathbb{Z}$, $f_n(t, x) = t + \sum_{i < n} a_i p^i \pmod{p^n\mathbb{Z}}$ nie psuje układu rzutowego, więc faktoryzujemy go do $f(t, x) = t + x: \mathbb{R} \times \mathbb{Q}_p \rightarrow \mathbb{S}_p$.

Lemat 4.4.6. Jądrem f jest dyskretna podgrupa $\Gamma = \{(a, -a) : a \in \mathbb{Z}[1/p]\} \leq \mathbb{R} \times \mathbb{Q}_p$.

Dowód. Jeśli $f(t, x) = 0$, to $f_n(t, x) = (\psi_n \circ f)(t, x) = 0$, zatem $t + \sum_{i < n} a_i p^i \in p^n\mathbb{Z}$ dla $n \geq 1$ i $t = -x$. Zawieranie $\Gamma \subseteq \ker f$ jest oczywiste.

Dla pokazania dyskretności wystarczy wskazać otoczenie zera w produkcie $\mathbb{R} \times \mathbb{Q}_p$, które kroiliby trywialnie Γ . Jeśli para $(-a, a)$ leży w otwartym zbiorze $(-1, 1) \times \mathbb{Z}_p$ i Γ , to $a \in \mathbb{Z}[1/p]$ jest postaci $\sum_{i \geq 0} a_i p^i$. Ale $\mathbb{Z}[1/p] \cap \mathbb{Z}_p$ to \mathbb{Z} , więc $a \in \mathbb{Z} \cap (-1, 1) = \{0\}$ i dowód jest zakończony. \square

Fakt 4.4.7. $f': \mathbb{R} \times \mathbb{Q}_p/\Gamma \rightarrow \mathbb{S}_p$ jest izomorfizmem (algebraicznie i topologicznie)/.

Dowód. Funkcje f_n są „na”, zaś ich granica f ma gęsty obraz. Dodatkowo $f(t, x) = f(s, y)$, gdzie $s = t + \langle x \rangle \in \mathbb{R}$ i $y = [x] \in \mathbb{Z}_p$. Pójdźmy o krok dalej, $f(s, y) = f(s - [s], y + [s])$. Wiemy, że $s - [s] \in [0, 1)$, zatem obraz $f, f[[0, 1) \times \mathbb{Z}_p]$, jest zwarty, domknięty.

Funkcja f jest surjekcją, f' zaś bijekcją (ciągłą). Jest izomorfizmem na mocy zwartości obrazu i dziedziny. \square

Solenoid to też iloraz topologicznej przestrzeni $[0, 1] \times \mathbb{Z}_p$ przez $(1, x) \simeq (0, x + 1)$. Wyobrażamy sobie walec $[0, 1] \times \mathbb{Z}_p$, o skręcających przy zszywaniu końcach.

Rbrt 1.App.5 **Fakt 4.4.8.** Domknięte podgrupy \mathbb{S}_p to C_m , $C_m \times p^k \mathbb{Z}_p$ i \mathbb{S}_p , gdzie $p \nmid m$ i $k \in \mathbb{Z}$.

Fakt 4.4.9. Solenoid jest nierozkładalnym continuum.

4.5 Topologia teoriomnogościowa

Twierdzenie 13 (Sierpiński). Przeliczalna przestrzeń metryczna bez izolatorów jest homeomorficzna z \mathbb{Q} .

Stąd bierze się zaskakująca własność \mathbb{Q} .

Wniosek 4.5.1. Topologia na \mathbb{Q} „nie zależy” od normy.

Twierdzenie 14 (Vaughan, 1937). Przestrzeń metryczną X można zmetryzować tak, by zwarte były dokładnie domknięte i ograniczone podzbiory, wtedy i tylko wtedy gdy X jest ośrodkowa i lokalnie zwarta.

Przykład 4.5.2. $X = \mathbb{Q}_p$.

Wymiar zupełnej przestrzeni metrycznej X to najmniejsza liczba całkowita n , że w Wład. każde pokrycie X można wpisać inne pokrycie krotności $n + 1$ (krotność to największa ??? całkowita m , dla której można wybrać m zbiorów o niepustym przekroju). Przykładowo $\dim \mathbb{R}^n = n$.

Fakt 4.5.3. Przestrzeń \mathbb{Q}_p jest zerowymiarowa.

Dowód. Każdy otwarty podzbiór $X \subseteq \mathbb{Q}_p$ jest przeliczalną unią rozłącznych dysków. \square

Rozdział 5: Kalifat algebry

5.1 Algebraiczne spojrzenie na $\|\cdot\|$

Niech \mathcal{K} będzie ciałem, na którym mamy niearchimedesowską wartość bezwzględną $\|\cdot\|$.

Definicja 5.1.1. Pierścień waluacji \mathcal{K} to $\mathcal{O} = \mathcal{B}[0, 1]$, ideałem zaś jest $\mathfrak{p} = \mathcal{B}(0, 1)$.

Fakt 5.1.2. Ideał $\mathfrak{p} \triangleleft \mathcal{O}$ jest maksymalny, podpierścień $\mathcal{O} \leq \mathcal{K}$ też.

Rbrt

2.1.4

Dowód. Jeżeli podpierścień \mathcal{R} zawiera element x , taki że $|x| > 1$, to sam jest całym ciałem, gdyż $\mathcal{K} = \bigcup_{n \geq 1} x^n \mathcal{O}$. Pokazaliśmy nie wprost, że \mathcal{O} jest maksymalny. Każdy ideał większy od \mathfrak{p} musi zawierać jedność, a przez to pokrywać się z pierścieniem \mathcal{O} . \square

Definicja 5.1.3. Ciało $\mathfrak{K} = \mathcal{O}/\mathfrak{P}$ to ciało reszduów.

Pierścienie, w których ideał maksymalny jest tylko jeden, nazywamy lokalnymi.

Fakt 5.1.4. Dla ciała $\mathcal{K} = \mathbb{Q}$ i p -adycznej wartości bezwzględnej, $\mathcal{O} = \mathbb{Z}_{(p)}$, $\mathfrak{p} = p\mathbb{Z}_{(p)}$, zaś $\mathfrak{K} = \mathbb{F}_p$ (ciało o p elementach), gdzie $\mathbb{Z}_{(p)}$ to $\{\frac{a}{b} \in \mathbb{Q} : p \nmid b\}$.

Fakt 5.1.5. Niech \mathcal{K} będzie zupełnym ciałem z ultrametryką. Ustalmy element $\xi \in \mathfrak{p}$ i reprezentantów $S \subseteq \mathcal{O}$ (z zerem) dla klas $\mathcal{O}/\xi\mathcal{O}$. Każdy $x \in \mathcal{K}^*$ jest sumą $\sum_{i \geq m} a_i \xi^i$, gdzie $a_m \neq 0$ oraz ($m \geq 0$ dla $x \in \mathcal{O}$), więc \mathcal{O} jest izomorficzne z $\varprojlim \mathcal{O}/\xi^n \mathcal{O}$.

Dowód. Możemy znaleźć dokładnie jeden $a_0 \in S$, taki że $x - a_0$ leży w $\xi\mathcal{O}$. Indukcja daje $x = a_0 + \dots + a_{n-1}\xi^{n-1} + x_n\xi^n$, gdzie $a_i \in S$, $x_n \in \mathcal{O}$. Ciąg $x - x_n\xi^n$ jest Cauchy'ego, zaś dla $x \in \mathcal{K}$ mamy $|\xi^k x| \leq 1$ (k : jakieś). \square

Izomorfizm z faktu staje się tylko zanurzeniem w uzupełnienie \mathcal{O} dla niezupełnych \mathcal{K} .

Fakt 5.1.6. Dla niedyskretnego ciała \mathcal{K} z ultrametryką albo ideał \mathfrak{p} jest główny, albo składa się z Rbrt samych kwadratów ($\mathfrak{p} = \mathfrak{p}^2$) i \mathcal{O} nie jest noetherowski. 3.2.1

Dowód. Z założeń wiemy, że $\Gamma = |\mathcal{K}^\times| \neq \{1\}$ i albo $\Gamma \cap (0, 1)$ zawiera element maksymalny θ , albo ciąg zbieżny do jedynki. W pierwszym przypadku wybieramy taki $\pi \in \mathfrak{p}$, że $|\pi| = \theta$, wtedy ideał $\mathfrak{p} = \pi\mathcal{O}$ jest główny. W drugim, dla każdego $x \in \mathfrak{p}$ znajdujemy element y , że $|x| < |y| < 1$, wtedy $x = y(x/y) \in \mathfrak{p}^2$ i $\mathfrak{p} = \mathfrak{p}^2$. Podgrupa Γ leży gęsto w \mathbb{R}_+ , zaś ideały $B[0, r]$ dla $r \in \Gamma \cap (0, 1)$ są parami różne, więc \mathcal{O} nie jest noetherowski. \square

5.2 Logarytm i eksponens

Zajmijmy się grupą \mathbb{Z}_p^\times . Lemat Hensela pokazał, że zawiera $(p-1)$ -sze pierwiastki z jedynki. Gouv Dla prostoty „ $q_2 = 4$ i $q_p = p$ ”. Podzbiory $U = 1 + p\mathbb{Z}_p$ i $U_1 = 1 + q\mathbb{Z}_p$ są podgrupami \mathbb{Z}_p^\times ,^{4,5} $U_1 \subset U$. Jeśli $p = 2$, to $U = \mathbb{Z}_p^\times$, jeśli nie, to $U_1 = U$. Niech $W = (q\mathbb{Z}_p, +)$.

Definicja 5.2.1. Elementy U nazywa się *jeden-jednościami*.

Fakt 5.2.2. Logarytm p -adyczny zadaje homomorfizm $U \rightarrow \mathbb{Z}_p^+$ oraz izomorfizm $U_1 \rightarrow W$ (funkcja odwrotna: eksponens). Wtedy $U_1 \cong W \cong \mathbb{Z}_p^+$ są beztorsyjne, $\log_p(U) \subseteq p\mathbb{Z}_p$.

Dowód. Oczywiście po ustępie 7. □

Wniosek 5.2.3. Mamy $\mathbb{Z}_p^\times \cong V \times U$, gdzie $U \cong \mathbb{Z}_p^+$ to beztorsyjna pro- p -grupa, zaś $V \leq \mathbb{Z}_p^\times$ składa się z pierwiastków jedności w \mathbb{Q}_p (część torsyjna). Jest cykliczna, rzędu $\varphi(q)$.

Dowód. Łatwo widać, że istnieje ciąg dokładny $1 \rightarrow U_1 \rightarrow \mathbb{Z}_p^\times \xrightarrow{\pi} (\mathbb{Z}/q\mathbb{Z})^\times \rightarrow 0$ (jest to definicja U). Chcemy pokazać, że się „rozdziela”. Lemat Hensela z twierdzeniem Straßmana mówią, że \mathbb{Z}_p^\times zawiera grupę V pierwiastków jedności, cykliczną i rzędu $\varphi(q)$. Elementy V są różne modulo q (lemat Hensela dla $p > 2$). Jeżeli $\pi(\zeta_1) = \pi(\zeta_2)$, to $\zeta_1/\zeta_2 = 1 + qx \in U$ dla $x \in \mathbb{Z}_p$, czyli $\zeta_1 = \zeta_2 \bmod q$, a jedyny przypadek, kiedy to jest możliwe, to $\zeta_1 = \zeta_2$.

Strzałka π indukuje izomorfizm $V \cong (\mathbb{Z}/q\mathbb{Z})^\times$. Reszta jest prosta: dla $u \in \mathbb{Z}_p^\times$ istnieje $\zeta \in V$, takie że $\pi(\zeta) = \pi(u)$, wtedy $u \mapsto (\zeta, u\zeta^{-1})$ uzasadnia $\mathbb{Z}_p^\times \cong V \times U$. □

5.3 Charakter Teichmüllera

Z faktu 5.2.3 możemy wywnioskować dla pierwszej $p \neq 2$ istnienie $\omega: \mathbb{F}_p^\times \cong V \hookrightarrow \mathbb{Z}_p^\times$ przedłużonej przez $\omega(0) = 0$.

Definicja 5.3.1. Charakter Teichmüllera to funkcja ω .

Czasem tej nazwy używa się dla charakteru Dirichleta, to jest złożenia ω z redukcją mod $p: \mathbb{Z} \rightarrow \mathbb{F}_p \rightarrow \mathbb{Z}_p$.

Żeby nie było zbyt łatwo, często przez ω oznacza się rzut z \mathbb{Z}_p^\times na V , by każdy $x \in \mathbb{Z}_p^\times$ zapisywał się jednoznacznie jako $x = \omega(x) \cdot x_1$ z $x_1 \in 1 + q\mathbb{Z}_p$. Taka definicja jest sensowna: rozszerzając rzut na \mathbb{Z}_p (do zera na niejednościach) i obcinając do \mathbb{Z} , dostaniemy charakter Dirichleta. Niech „ $(x) = x_1$ ”.

Fakt 5.3.2. Jeżeli $p \neq 2$ i $x \in \mathbb{Z}_p^\times$, to $\omega(x)$ dane jest wzorem

$$\omega(x) = \lim_{n \rightarrow \infty} x^{p^n}.$$

Dowód. Skoro $\omega(x)^{p-1} = 1$, to $\omega(x)^{p^n} = \omega(x)$ dla każdego n . Z drugiej strony, $x_1 = 1 + qy$, więc $(1 + qy)^p = 1 + pqy + q^2 \cdot \text{reszta}$, a stąd wynika $x_1^p \in 1 + p^2\mathbb{Z}_p$. Można to powtórzyć: indukcyjnie pokazuje się, że $x_1^r \in 1 + p^{n+1}\mathbb{Z}_p$ i $x_1^r \rightarrow 1$ ($r = p^n$). □

Jeżeli $p = 2$, to część odkryć trzeba poprawić: $\mathbb{F}_2^\times = \{1\}$.

5.4 Pierścień \mathbb{Z}_p

Rbrt **Fakt 5.4.1.** Pierścień \mathbb{Z}_p nie ma dzielników zera.

1.1.4 *Dowód.* Ustalmy liczby $a, b \in \mathbb{Z}_p$ różne od zera. Wtedy p nie dzieli iloczynu $a_v b_w$, gdzie $v = v_p(a)$, $w = v_p(b)$, ale to jest właśnie pierwszy niezerowy współczynnik w rozwinięciu ab , zatem $ab \neq 0$. \square

Niech $\mathbb{F}_p = \mathbb{Z}/p\mathbb{Z}$. Odwzorowanie $\sum_i a_i p^i \mapsto a_0 \pmod{p}$ jest homomorfizmem Rbrt pierścieni, redukcją modulo p . Iloraz jest ciałem, więc jądro $p\mathbb{Z}_p$ jest ideałem maksymalnym 1.1.5 w \mathbb{Z}_p .

Fakt 5.4.2. Grupa \mathbb{Z}_p^\times składa się z p -adycznych liczb całkowitych rzędu zero ($a_0 \neq 0$).

Dowód. Jeśli p -adyczna l. całkowita odwraca się, to jej redukcja w \mathbb{F}_p również. Ustalmy więc $x \in \mathbb{Z}_p$ rzędu zero.

Skoro redukcja x w ciele \mathbb{F}_p nie jest zerem, to odwraca się i możemy wskazać $0 < y_0 < p$, że $x_0 y_0 = 1 + kp$ dla pewnej liczby k . Przyjmijmy, że $x = x_0 + p\alpha$, wtedy $x y_0 = 1 + p\beta$ (gdzie $\beta \in \mathbb{Z}_p$), a taką liczbę łatwo odwrócić, co jakoś kończy rozumowanie.

$$(1 + p\beta)^{-1} = 1 - \beta p + \beta^2 p^2 - \dots$$

\square

Pierścień \mathbb{Z}_p ma jeden ideał maksymalny, $p\mathbb{Z}_p = \mathbb{Z}_p \setminus \mathbb{Z}_p^\times$. Dokładniej, zbiór $\mathbb{Z}_p \setminus \{0\}$ Rbrt jest unią rozłączną $\coprod_{k \geq 0} p^k \mathbb{Z}_p^\times$. Ideały główne pierścienia \mathbb{Z}_p , $p^k \mathbb{Z}_p$, kroją się do $\{0\}$. 1.1.6

Fakt 5.4.3. Pierścień \mathbb{Z}_p jest dziedziną ideałów głównych (sklasyfikowaliśmy jego ideały).

Dowód. Ustalmy niezerowy ideał $I \leq \mathbb{Z}_p$ z elementem $x \in I$ o minimalnym rzędzie, k . Wtedy $x = p^k u$, gdzie u to jedność i $(p^k) \subseteq I$, gdyż $p^k = u^{-1}x$. Niechaj $y \in I$ będzie rzędu $l \geq k$. Wtedy druga inkluzja wynika z $y = p^l u' = p^k p^{l-k} u'$. \square

5.5 Granice rzutowe

Homomorfizm $\varepsilon_n: \mathbb{Z}_p \rightarrow \mathbb{Z}/p^n \mathbb{Z}$ uogólnia redukcję. Przeniesiemy zbieżność $\sum_{i < n} a_i p^i$ Rbrt do liczby p -adycznej $\sum_{i \geq 0} a_i p^i$ na pierścienie $\mathbb{Z}/p^n \mathbb{Z}$ i \mathbb{Z}_p . Nic trudnego. 1.4.1

Umożliwi nam to kanoniczny homomorfizm $\varphi_n: \mathbb{Z}/p^{n+1} \mathbb{Z} \rightarrow \mathbb{Z}/p^n \mathbb{Z}$ z przemianym diagramem „ $\varepsilon_n = \varphi_n \circ \varepsilon_{n+1}$ ”.

Definicja 5.5.1. Układ rzutowy to ciąg funkcji $\varphi_n: E_{n+1} \rightarrow E_n$ (oraz samych zbiorów E_n). Jego Rbrt granicą jest zbiór E z funkcjami $\psi_n: E \rightarrow E_n$, że $\psi_n = \varphi_n \circ \psi_{n+1}$, o ile jest uniwersalny: 1.4.2 dla drugiej „granicz” E' z funkcjami f_n mamy funkcję f , by $f_n = \psi_n \circ f: E' \rightarrow E \rightarrow E_n$ („faktoryzacja”). $E_0 \leftarrow E_1 \leftarrow \dots \leftarrow E_n \leftarrow \dots \leftarrow \varprojlim E_n = E$

Możemy iterować $f_n = \psi_n \circ f_{n+1}$, by uzyskać $f_n = \psi_n \circ f$:

$$\begin{aligned} f_n &= \varphi_n \circ f_{n+1} = \varphi_n \circ \varphi_{n+1} \circ f_{n+2} \\ &= (\varphi_n \circ \varphi_{n+1} \circ \dots \circ \varphi_{n+k}) \circ f_{n+k+1} = \psi_n \circ f, \end{aligned}$$

f zachowuje się jak granica f_j , zaś ψ_n to granica złożenia funkcji przejścia. Łatwo zauważyć, że granica rzutowa nie zależy od początkowych wyrazów (w skończonej ilości), więc można je pominąć.

Fakt 5.5.2. *Każdy układ rzutowy $(E_n, \varphi_n)_{n \geq 0}$ ma granicę.*

Rbrt
1.4.3

Jeśli funkcje przejścia są „na”, to rzuty ψ_n też i granica jest niepusta. Granice rzutowe istnieją dla wielu obiektów, nie tylko grup, ale także przestrzeni topologicznych.

1.4.4 **Fakt 5.5.3.** *Klasa niepustych, zwartych przestrzeni topologicznych jest zamknięta na branie granic odwrotnych.*

Fakt 5.5.4. *Jeśli A jest podzbiorem granicy E dla E_n , to $\text{cl } A = \bigcap_{n=0}^{\infty} \psi_n^{-1}(\text{cl } \psi_n(A))$.*

Rbrt **Fakt 5.5.5.** *Jeśli \mathcal{G} jest granicą rzutową grup \mathcal{G}_n z homomorfizmami $\psi_n: \mathcal{G} \rightarrow \mathcal{G}_n$, to przekrój ich 1.4.5 jąder jest trywialny. Istnieje kanoniczny izomorfizm $\mathcal{G} \cong \varprojlim (\mathcal{G} / \ker \psi_n)$.*

Pierścień szeregów formalnych \mathbb{Z}_p można opisać w języku granic rzutowych.

Rbrt **Fakt 5.5.6.** *Odwzorowanie, które wiąże liczbę p -adyczną z ciągiem jej częściowych sum modulo p^n , 1.4.7 $\mathbb{Z}_p \rightarrow \varprojlim_n \mathbb{Z}/p^n\mathbb{Z}$, jest izomorfizmem topologicznych pierścieni.*

Dowód. Z definicji, $\varphi_n(\sum_{i \leq n} a_i p^i \bmod p^{n+1}) = \sum_{i < n} a_i p^i \bmod p^n$, więc konsekwentne ciągi w $\prod \mathbb{Z}/p^n\mathbb{Z}$ są dokładnie ciągami sum częściowych szeregu $\sum_{i \geq 0} a_i p^i$ ($0 \leq a_i \leq p-1$), czyli liczbami p -adycznymi. Relacje $x_n = \sum_{i < n} a_i p^i$, $a_0 = x_1$, gdzie $a_n = (x_{n+1} - x_n)p^{-n}$ pokazują nam, że faktoryzacja $\mathbb{Z}_p \rightarrow \varprojlim_n \mathbb{Z}/p^n\mathbb{Z}$ jest bijekcją, czyli izomorfizmem, a jako ciągła bijekcja między p . zwartymi, jednocześnie homeomorfizmem. \square

Homomorfizmy $\mathbb{Z} \rightarrow \mathbb{Z}/p^{n+1}\mathbb{Z} \rightarrow \mathbb{Z}/p^n\mathbb{Z}$ są źródłem granicznego homomorfizmu $\mathbb{Z} \rightarrow \varprojlim_n \mathbb{Z}/p^n\mathbb{Z}$, który można utożsamić z kanonicznym włożeniem $\mathbb{Z} \rightarrow \mathbb{Z}_p$. Funkcja $\sum_{i < n} a_i p^i \bmod p^n \mapsto \sum_{i < n} a_i p^i \bmod p^n \mathbb{Z}_p$ definiuje izomorfizm $\mathbb{Z}/p^n\mathbb{Z} \rightarrow \mathbb{Z}_p/p^n\mathbb{Z}_p$, a w szczególności $\mathbb{Z}_p/p\mathbb{Z}_p \cong \mathbb{Z}/p\mathbb{Z} = \mathbb{F}_p$. Ogólniej $\mathbb{Z}_p/p^n\mathbb{Z}_p \cong \mathbb{Z}/p^n\mathbb{Z}$. Obcięcie redukcji $\mathbb{Z}_p \rightarrow \mathbb{Z}/p^n\mathbb{Z}$ do $\mathbb{Z}_{(p)} \subseteq \mathbb{Q}$ jest (z drugiej strony) „na” i ma jądro $p^n\mathbb{Z}_{(p)}$. Zyskaliśmy tak

Fakt 5.5.7. *Uzupełnienie $\mathbb{Z}_{(p)}$ to \mathbb{Z}_p , rzutowa granica $\varprojlim \mathbb{Z}_{(p)}/p^n\mathbb{Z}_{(p)}$.*

Granica rzutowa to konstrukcja z teorii kategorii, z powodu jej dużej ogólności nie będzie nam więcej potrzebna. Na zakończenie prostsza, choć bezużyteczna definicja.

Rbrt **Fakt 5.5.8.** *Homomorfizm pierścieni $\mathbb{Z}[[x]] \rightarrow \mathbb{Z}_p$, ewaluacja w punkcie $x = p$, zadaje kanoniczny 1.4.8 izomorfizm $\mathbb{Z}[[x]]/(x - p) \cong \mathbb{Z}_p$.*

5.6 Ciało \mathbb{Q}_p

Rbrt Pierścień \mathbb{Z}_p jest dziedziną całkowitości, więc można z niego zbudować ciało ułamków 1.5.1 $\mathbb{Q}_p = \text{Frac } \mathbb{Z}_p$. Gdy $x = p^m u$ (u : jedność w \mathbb{Z}_p), to $1/x = p^{-m} u^{-1}$, wynika stąd, że ciało to jest pierścieniem generowanym przez \mathbb{Z}_p i ujemne potęgi p : $\mathbb{Q}_p = \mathbb{Z}_p[1/p]$. Poniższa obserwacja wynika z reprezentacji $1/x = p^{-m} u^{-1}$.

Fakt 5.6.1. $\mathbb{Q}_p = \bigcup_{m \geq 0} p^{-m} \mathbb{Z}_p = \{0\} \cup \coprod_{m \in \mathbb{Z}} p^m \mathbb{Z}_p^\times$.

Rbrt Struktura ultrametryczna na \mathbb{Q}_p jest na tyle ciekawa, że możemy poświęcić jej chwilę. 1.5.2 Jeśli to zrobimy, możemy dojść na przykład do takiej obserwacji.

Fakt 5.6.2. *Ciało \mathbb{Q}_p indukuje na \mathbb{Z}_p topologię p -adyczną. Jest ono lokalnie zwarte, charakterystyki 0. Utożsamia się je z uzupełnieniem \mathbb{Q} lub $\mathbb{Z}[1/p]$ względem metryki p -adycznej.*

Rbrt Liczby wymierne pośród p -adycznych zlokalizować nie jest trudno, co trochę szokuje.
1.5.3 Analogia z \mathbb{R} jest oczywista.

Fakt 5.6.3. *Niech $x = \sum_i a_i p^i \in \mathbb{Q}_p$ ($0 \leq a_i \leq p-1$). Liczba x jest wymierna, wtedy i tylko wtedy gdy ciąg cyfr a_i jest od pewnego miejsca okresowy.*

Dowód. Przedstawimy samą ideę prostego, ale trochę nużącego dowodu. Mnożąc liczbę x przez wysoką potęgę p można założyć, że $x \in \mathbb{Z}_p$. Jeżeli ciąg cyfr jest okresowy od pewnego miejsca, to x jest sumą liczby całkowitej i kombinacji liniowej (nad \mathbb{Z}) szeregów postaci $\sum_{i \geq 0} p^{s+it} = p^s / (1 - p^t) \in \mathbb{Q}$, czyli sam x jest wymierny.

W drugą stronę można założyć, że $x = a/b$ jest dodatni, a, b są względnie pierwsze i p nie dzieli b . W języku rozwinięć, $\sum_{i \leq \beta} b_i p^i \cdot \sum_{i \geq 0} x_i p^i = \sum_{k \leq \alpha} a_k p^k$. Zaczynając od krotki $(x_{l-1}, \dots, x_{l-\beta}, r_l)$ o wyrazach z $\mathbb{Z}/p\mathbb{Z}$ pewien bliżej nieokreślony algorytm znajdzie inną krotkę $(x_l, \dots, x_{l-\beta+1}, r_{l+1})$. Przestrzeń krotek jest skończona, więc kiedyś wpadniemy na cykl. Wiemy, że ten opis jest mętny, ale nic nie zrobimy. \square

Definicja 5.6.4. *Liczby postaci $x = \sum_{i \geq m} x_i p^i \in \mathbb{Q}_p$ rozbijają się na część całkowitą $[x] \in \mathbb{Z}_p$ oraz ułamekową $\langle x \rangle \in \mathbb{Z}[1/p] \subseteq \mathbb{Q}$:* Rbrt 1.5.4

$$x = [x] + \langle x \rangle = \sum_{i \geq 0} x_i p^i + \sum_{i < 0} x_i p^i.$$

Fakt 5.6.5. *Ze zwykłymi cyframi mamy $0 \leq \langle x \rangle < 1$.*

Dowód. $\langle x \rangle < (p-1) \sum_{i \geq 1} |p^i| = 1$. \square

Przyjrzyjmy się teraz reprezentantom mod 1, to znaczy w $\mathbb{Z}[1/p]/\mathbb{Z} \subset \mathbb{R}/\mathbb{Z}$. Okrąg \mathbb{R}/\mathbb{Z} można zanurzyć w płaszczyźnie zespolonej: $\mathbb{R} \rightarrow \mathbb{R}/\mathbb{Z} \rightarrow \mathbb{C}^\times : t \mapsto \exp(2\pi i t)$.

John Tate (to jemu zawdzięczamy notację) badał kiedyś funkcję $\tau: \mathbb{Q}_p \rightarrow \mathbb{C}^\times$ określoną wzorem $\tau(x) = \exp(2\pi i \langle x \rangle)$. Na przykład gdy $v(x) = -1$, czyli $x = k/p + y$, $0 < k \leq p-1$, $y \in \mathbb{Z}_p$, to $\tau(x) = \zeta^k$, gdzie ζ to pierwotny p -ty pierwiastek jedności w \mathbb{C} . Obrazem $p^{-1}\mathbb{Z}_p$ przez τ jest $\mu_p \subseteq \mathbb{C}^\times$, przy czym użyliśmy tu notacji: $\mu_m = \{z \in \mathbb{C} : z^m = 1\}$. Niech

$$\mu = \bigcup_{m \geq 1} \mu_m = \{z \in \mathbb{C} : \exists m \geq 1, z^m = 1\}.$$

Po ustaleniu pierwszej p mamy rozkład $\mu = \mu_{(p)} \cdot \mu_{p^\infty}$, gdzie $\mu_{(p)}$ to grupa pierwiastków jedności rzędu względnie pierwszego z p , zaś μ_{p^∞} to grupa pierwiastków rzędu p^i ; ta ostatnia jest p -podgrupą Sylowa w torsyjnej abelowej μ . Użyty tu produkt jest oczywiście prosty. Zauważmy jeszcze, że ciąg grup cyklicznych $\mu_p \subset \mu_{p^2} \subset \dots$ jest wstępujący i

$$\mu_{p^\infty} = \bigcup_{k \geq 0} \mu_{p^k} \subset \mathbb{C}^\times.$$

Fakt 5.6.6. *Funkcja τ jest homomorfizmem. Definiuje izomorfizm addytywnej grupy $\mathbb{Q}_p/\mathbb{Z}_p$ oraz multiplikatywnej μ_{p^∞} .*

Dowód. Różnica $\langle x + y \rangle - \langle x \rangle - \langle y \rangle$ jest równa $[x] + [y] - [x + y]$, zatem należy do $\mathbb{Z}[1/p] \cap \mathbb{Z}_p = \mathbb{Z}$. Wartość τ dla tejże różnicy to 1 i $\tau(x + y) = \tau(x)\tau(y)$. Funkcja τ to homomorfizm, którego jądro składa się z tych $x \in \mathbb{Q}_p$, że $\langle x \rangle \in \mathbb{Z}$: $\ker \tau = \mathbb{Z}_p$.

Do obrazu τ należą liczby postaci $\exp(2\pi i k/p^m)$, równe po prostu $\exp(2\pi i/p^m)^k$. Grupa μ_{p^∞} jest generowana przez p^m -te pierwiastki jedności otrzymane po położeniu $k = 1$. \square

Rozłożymy teraz \mathbb{Q} „niezależnie” od liczb p -adycznych. Każda liczba wymierna zapisuje się jako $x = p^v \frac{a}{b}$, gdzie $v \in \mathbb{Z}$, zaś a, b są względnie pierwsze z p . Gdy $v = -m < 0$, mamy prawo użyć twierdzenia Bézout: $1 = \alpha p^m + \beta b$. Zatem $x = \alpha a/b + \beta b p^{-m}$: pierwszy składnik żyje w $\mathbb{Z}_{(p)}$, drugi w $\mathbb{Z}[1/p]$. Wynika stąd, że $\mathbb{Q} = \mathbb{Z}_{(p)} + \mathbb{Z}[1/p]$.

Rbrt 1.5.5 Niestety suma $\mathbb{Q}_p = \mathbb{Z}_p + \mathbb{Z}[1/p]$ nie jest prosta, ponieważ składniki kroją się do \mathbb{Z} . Jeżeli włożymy \mathbb{Z} w $\mathbb{Z}_p \oplus \mathbb{Z}[1/p]$ poprzez funkcję $m \mapsto (m, -m)$ z obrazem Γ , to homomorfizmy dodawania $\mathbb{Z}_{(p)} \oplus \mathbb{Z}[1/p] \rightarrow \mathbb{Z}_{(p)} + \mathbb{Z}[1/p] = \mathbb{Q}$ oraz $\mathbb{Z}_p \oplus \mathbb{Z}[1/p] \rightarrow \mathbb{Z}_p + \mathbb{Z}[1/p] = \mathbb{Q}_p$ mają to samo jądro, Γ . Podzielenie przez Γ daje nam odpowiednio \mathbb{Q} i \mathbb{Q}_p .

Podgrupa $\mathbb{Z}_p \leq \mathbb{Q}_p$ nie ma prostego dopełnienia. Istotnie, jeżeli $\Gamma \leq \mathbb{Q}_p$ jest dowolną podgrupą, taką że $\Gamma \cap \mathbb{Z}_p = \{0\}$, to jest ona dyskretna w \mathbb{Q}_p , a co za tym idzie jest trywialna. W pewnym sensie $\mathbb{Z}[1/p]$ jest najlepszym, na co możemy liczyć; mamy jednoznaczny rozkład na $x \in \mathbb{Z}_p$ i $y \in [0, 1) \cap \mathbb{Z}[1/p]$. Problem w tym, że drugi zbiór nie jest podgrupą.

Poszukamy automorfizmów \mathbb{Q}_p nad \mathbb{Q} .

Lemat 5.6.7. Liczba $x \in \mathbb{Q}_p^\times$ leży w \mathbb{Z}_p^\times , wtedy i tylko wtedy gdy x^{p-1} ma n -te pierwiastki dla ∞ wielu wartości n .

Dowód. (\Leftarrow) Jeśli $x^{p-1} = y_n^n$, to $(p-1)v(x) = nv(y_n)$, więc liczba n dzieli lewą stronę nieskończenie często. Skoro x nie jest zerem, to $v(x) = 0$.

(\Rightarrow) $x \not\equiv 0 \pmod{p\mathbb{Z}_p}$ i $x^{p-1} \equiv 1 \pmod{p\mathbb{Z}_p}$. Rozważmy równanie $P(X) = X^n - x^{p-1} = 0$. Przybliżony pierwiastek to $1 \pmod{p}$, a kiedy n nie jest krotnością p , to $P'(1) = n$ nie znika \pmod{p} . Lemat Hensela daje dokładne rozwiązanie $\xi \in \mathbb{Z}_p$. \square

Fakt 5.6.8. Ciało \mathbb{Q}_p ma tylko jeden automorfizm, $\psi: x \mapsto x$.

Dowód. Niech φ będzie automorfizmem ciała \mathbb{Q}_p . Trzyma on jedności w \mathbb{Q}_p^\times , co wynika z ich charakterystyki. Jeśli $x \in \mathbb{Q}_p^\times$ zapiszemy jako $x = p^n u$, gdzie $n = v(x)$ oraz $u \in \mathbb{Z}_p^\times$ jest jednością, to $\varphi(x) = \varphi(p^n u) = \varphi(p^n)\varphi(u) = p^n \varphi(u)$.

Oznacza to, że $v(\varphi(x)) = n = v(x)$, zaś sam automorfizm zachowuje p -adyczny rząd i jest ciągły. Ustalmy $y \in \mathbb{Q}_p$ i ciąg $y_n \in \mathbb{Q}$ zbieżny do y , na przykład ciąg obciętych rozwinięć p -adycznych dla y . Automorfizm φ jest trywialny na liczbach wymiernych, co kończy dowód, gdyż $\varphi(y) = \varphi(\lim_n y_n) = \lim_n \varphi(y_n) = \lim_n y_n = y$. \square

Jest to p -adyczny odpowiednik twierdzenia mówiącego, że jedynym automorfizmem algebraicznym \mathbb{R} jest identyczność. W tych przypadkach algebraiczne automorfizmy nad \mathbb{Q} okazują się być ciągłe i przez to trywialne.

Istnieje jednak nieskończenie wiele automorfizmów \mathbb{C} , choć tylko dwa z nich są ciągłe. Skoro $\mathbb{Q}(\sqrt{2}) \subset \mathbb{C}$, to funkcję $a + b\sqrt{2} \mapsto a - b\sqrt{2}$ można przedłużyć do całego \mathbb{C} .

5.7 Pierścień adeli

Cnrnd W rozdziale poświęconym mechanice kwantowej pojawiają się charaktery ciała \mathbb{Q}_p . Można ??? je analogicznie określić na przykład dla \mathbb{Q} i tym właśnie się zajmiemy – a dokładniej ich klasyfikacją. Do tego celu użyjemy pierścienia adelicznego.

Definicja 5.7.1. *Pierścień adeli $A_{\mathbb{Q}} \subsetneq \mathbb{R} \times \prod_p \mathbb{Q}_p$ składa się z tych ciągów, których wyrazy od pewnego miejsca leżą w (stosownych) \mathbb{Z}_p . Działania (dodawanie i mnożenie) określone są punktowo.*

Adele leżą między sumą $\bigoplus_p \mathbb{Q}_p$ i produktem $\prod_p \mathbb{Q}_p$. Ich elementy oznaczamy przez $(a_{\infty}, a_2, a_3, \dots)$. Ciała \mathbb{Q} wkłada się w $A_{\mathbb{Q}}$ przekątniowo, $r \mapsto (r, r, r, \dots)$.

Definicja 5.7.2. *Jeśli a jest adelem, to $\Psi_a(r) = \chi_{\infty}(ra_{\infty}) \prod_p \chi_p(ra_p)$ jest charakterem \mathbb{Q} .*

Fakt 5.7.3. *Odwzorowanie $a \mapsto \Psi_a$ jest surjekcją, którego jądro to wymierne adele.*

Dowód. „The character group of \mathbb{Q} ”, Keith Conrad. □

5.8 Wektory Witta

Ernst Witt pokazał w 1936 jak zadać strukturę pierścienia na zbiorze nieskończonych ciągów o wyrazach z przemiennego pierścienia \mathcal{R} , by z $\mathcal{R} = \mathbb{F}_p$ otrzymać liczby p -adyczne, \mathbb{Z}_p .

Dodawanie liczb p -adycznych jako szeregów potęgowych sprawia ból przez problemy podczas przenoszenia klasycznych cyfr $\{0, 1, \dots, p-1\}$. Teichmüller proponował, by zastąpić je rozwiązaniami $x^p = x$ w \mathbb{Z}_p (które można opuszczać do \mathbb{F}_p i podnosić charakterem $\omega: \mathbb{F}_p^{\times} \rightarrow \mathbb{Z}_p^{\times}$). To zmienia elementy \mathbb{Z}_p w nieskończone ciągi o wyrazach z $\omega(\mathbb{F}_p^{\times}) \cup \{0\}$.

Chociaż z punktu widzenia teorii mnogości, \mathbb{Z}_p to $\prod_{\mathbb{N}} \mathbb{F}_p$, zbiory te różnią się jako pierścienie. Przypomnijmy, że ω nie jest addytywny, ale pomimo to $\omega(k) = \omega(i) + \omega(j) \pmod p$ w \mathbb{Z}_p pociąga $i + j = k$ w \mathbb{F}_p . Skrótowno zapisujemy to jako $m \circ \omega = \text{id}_{\mathbb{F}_p}$, gdzie $m: \mathbb{Z}_p \rightarrow \mathbb{Z}_p/p\mathbb{Z}_p \cong \mathbb{F}_p$.

Każdy element \mathbb{Z}_p zapisuje się jako szereg potęgowy od p ze współczynnikami od Teichmüllera. Teraz $a_j^p = a_j$ i możemy po drętowych rachunkach (patrz: Wikipedia) dojść do

$$\sum_{j=0}^m c_j^{p^{m-j}} \cdot p^j \equiv \sum_{j=0}^m (a_j^{p^{m-j}} + b_j^{p^{m-j}}) \cdot p^j \pmod{p^{m+1}}$$

To jakoś motywuje nasze postępowanie. Ustalmy pierwszą liczbę p .

Definicja 5.8.1. *Wektor Witta nad przemiennym pierścieniem \mathcal{R} to ciąg z $\mathcal{R}^{\mathbb{N}}$.*

Definicja 5.8.2. *Wielomian Witta W_n to $\sum_j p^j x_j^{p^{n-j}}$.*

Definicja 5.8.3. *Ciąg (W_0, W_1, \dots) to składowa-duch wektora Witta, oznacza zazwyczaj przez $(x^{(0)}, x^{(1)}, x^{(2)}, \dots)$*

Na zbiorze wektorów (Witta) jest dokładnie jedna struktura pierścienia, tak by suma i produkt były zadane wielomianami o całkowitych współczynnikach (niezależnych od \mathcal{R}), zaś każdy wielomian (Witta) był homomorfizmem w \mathcal{R} :

$$1. \quad X^{(i)} + Y^{(i)} = (X + Y)^{(i)},$$

$$2. X^{(i)}Y^{(i)} = (XY)^{(i)}.$$

Jeżeli p w \mathcal{R} jest odwracalne, to dostajemy $\mathcal{R}^{\mathbb{N}}$, dla \mathbb{F}_n – liczby p -adyczne, zaś dla $\mathbb{F}(p^n)$ – nierozgałęzione rozszerzenie stopnia n dla \mathbb{Z}_p .

Definicja 5.8.4. Uniwersalny wielomian Witta to $W_n = \sum_{d|n} dx_d^{n:d}$.

5.9 Problem Waringa

Dla $n > 1$ i przemiennego pierścienia z jedynką \mathcal{R} określamy funkcję $g(n, \mathcal{R})$ jako najmniejszą liczbę s , że każdy element \mathcal{R} jest sumą s n -tych potęg elementów \mathcal{R} (jeśli istnieje) lub ∞ (jeśli nie). Problem Waringa polega na oszacowaniu wartości tej funkcji.

Definicja 5.9.1. $W(\mathcal{K})$ to pierścień wektorów Witta nad \mathcal{K} , czyli (jedyne) zupełne i nierozgałęzione rozszerzenie \mathbb{Z}_p o ciele reszduów \mathcal{K} algebraicznym nad \mathbb{F}_p .

Mam nadzieję, że definicja ta nie jest na wojnie z sekcją poświęconą wektorom Witta w kalifacie algebry.

Niech $n = p^t d$, gdzie $(p, d) = 1$, $\varepsilon = 1$, $p \neq 2$ albo $\varepsilon, p = 2$. Lemat Hensela wystarcza do pokazania

Wniosek 5.9.2. Jeśli $a \equiv x_1^n + \dots + x_s^n \pmod{p^{t+\varepsilon}}$, zaś któryś z $x_i \in W(\mathcal{K})$ jest jednością, to a jest sumą pewnych s potęg n -tych elementów $W(\mathcal{K})$.

Przyjmijmy $p \neq 2$. Jeśli a jest jednością, to w dowolnym przedstawieniu jako n -te potęgi jeden z x_i musi być jednością. Zatem jedności w $W(\mathcal{K})$ są sumą co najwyżej $g(n, W_{t+1}(\mathcal{K}))$ n -tych potęg, gdzie pierścień $W_{t+1}(\mathcal{K}) = W(\mathcal{K})/p^{t+1}$ składa się z przyciętych wektorów Witta.

Jeśli a nie jest jednością, to jest nią $a-1$. Wtedy zachodzi nierówność $g(n, W(\mathcal{K})) \leq g(n, W_{t+1}(\mathcal{K}))$. Oczywiście jest, że $g(n, W(\mathcal{K})) \geq g(n, W_{t+1}(\mathcal{K}))$, choć nie musi być tu równości ($\mathcal{K} = \mathbb{F}_p$, $p = 3$, $n = 2$).

Przez $g(n, r, W(\mathcal{K}))$ rozumiemy najmniejszą liczbę s , dla której istnieją x_1, \dots, x_s w $W(\mathcal{K})$, że $v(x_1^n + \dots + x_s^n) = r$. Tutaj v była p -adyczną waluacją na $W(\mathcal{K})$. Oczywiście jest, że $g(n, 0, W(\mathcal{K})) = 1$. Jeżeli $n = p^t d$, $(p, d) = 1$ i $r \leq t$, a przy tym $v(x_1^n + \dots + x_s^n) = r$, to któryś x_i jest odwracalny: gdyby tak nie było, mielibyśmy $v(\dots) \geq n \geq p^t > t$. To spostrzeżenie jeszcze okaże się przydatne.

Bovey „udowodnił” fakt mocniejszy od poniższego dla \mathbb{Z}_p : niestety błędnie. My podamy ogólniejsze stwierdzenie.

Lemat 5.9.3. Jeśli $n = p^t d$ i $(p, d) = 1$, to

$$g(n, W_{t+1}(\mathcal{K})) \leq g(n, \mathcal{K}) \sum_{r=0}^t g(n, r, W(\mathcal{K}))$$

Dowód. Indukcja względem t . Przypadek $t = 0$, jest oczywisty, niech $t > 0$. Jeżeli $a \in W_{t+1}(\mathcal{K})$, to z założenia indukcyjnego wiemy, że istnieją x_1, \dots, x_s w $W_{t+1}(\mathcal{K})$, gdzie

$$s \leq g(n, \mathcal{K}) \sum_{r=0}^{t-1} g(n, r, W(\mathcal{K})),$$

że $x_1^{n/p} + \dots + x_s^{n/p} = a$. Uwaga: $x^{n/p} \equiv (\sigma x)^n \pmod{p^t}$, gdzie σ jest odwrotnością automorfizmu Frobeniusa dla $W(\mathcal{K})$. Dostajemy $(\sigma x_1)^n + \dots + (\sigma x_s)^n = a - bp^t$. Istnieją także y_1, \dots, y_u , że $\sum y_i^n = cp^t$, $u \leq g(n, t, W(\mathcal{K}))$ i c nie dzieli się przez p . Wreszcie istnieją takie z_1, \dots, z_v , że $\sum z_i^n \equiv b/c \pmod{p}$ (oraz $v \leq g(n, \mathcal{K})$). Wynika stąd, że

$$\begin{aligned} \sum (\sigma x_i)^n + \sum y_i^n \sum z_i^n &\equiv a - bp^t + cp^t b/c \\ &\equiv a \pmod{p^{t+1}}. \end{aligned}$$

Oznacza to, że a jest sumą co najwyżej $s + uv$ n -tych potęg w pierścieniu W_{t+1} . \square

Wniosek 5.9.4. Jeżeli \mathcal{K} jest algebraicznie domknięte, to zachodzi nawet $g(n, r, W(\mathcal{K})) \leq 2r + 1$ dla $1 \leq r \leq t$. Przy tych samych założeniach, $g(n, W(\mathcal{K})) \leq (t + 1)^2 + 1$.

Dowód. Rozmaitości algebraiczne i Teichmüller: / . \square

Fakt 5.9.5. Jeśli $n = pd$, $(p, q) = 1$ i $q = p \geq 27d^6, 13$ albo też $p \neq q \geq 4d^4$, to $g(n, 1, W(\mathbb{F}_q)) \leq 3$ i $g(n, W(\mathbb{F}_q)) \leq 9$.

Ostrzejsze oszacowania można znaleźć w pracy Volocha [6], naprawia ona usterki ze wcześniejszej pracy Boveya [1]. W pewnych przypadkach znamy dokładne wartości $g(\cdot, \mathbb{Z}_p)$ dla $p \neq 2$: $g((p-1)p^t) = p^{t+1}$, $g(\frac{1}{2}(p-1)p^t) = \frac{1}{2}(p^{t+1} - 1)$.

Fakt 5.9.6. $g(p, \mathbb{Z}_p) \leq 4$, dla $p \leq 211$ różnych od 3, 7, 11, 17, 59 nawet $g = 3$.

Fakt 5.9.7. $g(p^2, 2, W(\mathbb{F}_q)) \leq 5$ dla $q = p^a \geq p^7$ i dużych p .

Rozdział 6: Rozszerzenia ciał

6.1 Rozszerzenia kwadratowe

Rozszerzymy teraz \mathbb{Q}_p o pierwiastek z $\varepsilon \notin \mathbb{Q}_p^\times$. Otrzymany tak zbiór, $\mathbb{Q}_p(\sqrt{\varepsilon})$, jest ciałem Vlad. równym $\{x + y\sqrt{\varepsilon} : x, y \in \mathbb{Q}_p\}$. 1.4

Lemat 6.1.1. *Równanie $x^2 = a \in \mathbb{Z}_p^\times$, ma rozwiązanie $x \in \mathbb{Q}_p$, wtedy i tylko wtedy gdy a_0 jest kwadratem w \mathbb{F}_p (dla $p \neq 2$) lub a_1 i a_2 są zerami (dla $p = 2$): $a = a_0 + a_1p + a_2p^2 + \dots$*

Volovich z kolegami podaje nie do końca właściwy dowód, jako że nie chce skorzystać z lematu Hensela. Ustalmy jedność η , która nie jest kwadratem.

Wniosek 6.1.2. *Dla $p \neq 2$, liczby $\eta, p, p\eta$ nie są kwadratami.*

Wniosek 6.1.3. *Liczby p -adyczne są postaci εy^2 , gdzie $y \in \mathbb{Q}_p$, zaś $\varepsilon = 1, \eta, p$ lub $p\eta$ ($p \neq 2$). Istnieją trzy nieizomorficzne rozszerzenia stopnia dwa dla \mathbb{Q}_p : o pierwiastek z η, p i $p\eta$.*

Wniosek 6.1.4. *Liczby 2-adyczne są postaci εy^2 , gdzie $y \in \mathbb{Q}_p$, zaś $\varepsilon = \pm 1, \pm 2, \pm 3$ lub ± 6 . Istnieje zatem siedem nieizomorficznych rozszerzeń kwadratowych: o pierwiastki z $-1, \pm 2, \pm 3$ lub ± 6 .*

Wniosek 6.1.5. *Dla $p = 4k + 3$, $|x^2 + y^2|_p = \max\{|x|_p^2, |y|_p^2\}$.*

Definicja 6.1.6. *Współrzędne kartezjańskie to para $(x, y) \in \mathbb{Q}_p \times \mathbb{Q}_p$ dla $x + y\sqrt{\varepsilon}$.*

Definicja 6.1.7. *Pseudookrąg to zbiór punktów z spełniających $z\bar{z} = c$.*

Niech $\mathbb{Q}_p^\varepsilon \leq \mathbb{Q}_p^\times$ składa się z liczb postaci: r^2 lub κr^2 , gdzie $r \in \mathbb{Q}_p^\times$, $\kappa \in \mathbb{Q}_p^\varepsilon$ nie jest kwadratem.

Definicja 6.1.8. *Współrzędne biegunowe to para (ρ, σ) , gdzie $\rho = r$ lub $\rho = \nu r$, $\nu \neq 0$, $z = \rho\sigma$ i Vlad. $\sigma\bar{\sigma} = 1$.* 1.5

„Okrąg” $z\bar{z} = 1$ to $\{(1 + \varepsilon t^2, 2t)/(1 - \varepsilon t^2) : t \in \mathbb{Q}_p\}$, jest on zbiorem zwartym.

Fakt 6.1.9. *Obraz funkcji $\varphi: \mathbb{Q}_p \rightarrow \mathbb{R}_+$, $\varphi(x) = |x|_p \sum_{k=0}^{\infty} x_k p^{-2k}$ jest przeliczalną unią Vlad. rozłącznych, nigdzie gęstych zbiorów o mierze Lebesgue'a zero, które są doskonałe.* 1.6

6.2 Przestrzenie unormowane

Przyjmujemy, że mamy jakieś ciało \mathcal{K} z wartością bezwzględną, z którą (to ciało \mathcal{K}) jest zupełne. Dla świętego spokoju do listy założeń dopisujemy „charakterystyka ciała to zero”. Weźmy przestrzeń wektorową \mathcal{V} nad \mathcal{K} .

Definicja 6.2.1. *Norma to funkcja $\|\cdot\|: \mathcal{V} \rightarrow \mathbb{R}_+$ spełniająca:*

1. $\|v\| = 0$, wtedy i tylko wtedy gdy $v = 0$.
2. jeśli $v, w \in \mathcal{V}$, to $\|v + w\| \leq \|v\| + \|w\|$.
3. jeśli $v \in \mathcal{V}$, $\lambda \in \mathcal{K}$, to $\|\lambda v\| = |\lambda| \cdot \|v\|$.

Nie wprowadzamy pojęcia niearchimedesowej przestrzeni liniowej, gdyż taka definicja byłaby równie skomplikowana co bezużyteczna.

Każda \mathcal{V} przestrzeń nad niearchimedesowym ciałem \mathcal{K} sama taka jest.

Definicja 6.2.2. *Dwie normy na jednej przestrzeni są równoważne, gdy istnieją rzeczywiste stałe C i D , że $\|v\|_1 \leq C\|v\|_2 \leq CD\|v\|_1$.*

Fakt 6.2.3. *Dwie normy są równoważne, wtedy i tylko wtedy gdy zadają tę samą topologię. Wtedy ciągi Cauchy'ego względem nich pokrywają się.*

Dowód. Dla dowodu implikacji w prawo wystarczy pokazać, że kula otwarta względem jednej normy jest też otwarta względem drugiej. Można ograniczyć się do jednej kuli, bo to wektorowa przestrzeń z normą.

Dla $x \in \mathcal{B} = \{x \in \mathcal{V} : \|x\|_1 < 1\}$ przyjmijmy, że $r = \|x\|_1$ i weźmy $R < (1 - r)/C$. Zbiór $N = \{y \in \mathcal{V} : \|y - x\|_2 < R\}$, otwarta względem $\|\cdot\|_2$ kula, zawiera się w \mathcal{B} , która (dzięki temu) jest otwarta względem $\|\cdot\|_2$.

W drugą stronę można zaszałec. Identyczność $i: \mathcal{V} \rightarrow \mathcal{V}$ (obie z różnymi normami) oraz odwrotna do niej są ciągłe i liniowe. \square

Fakt 6.2.4. *Przestrzeń wektorowa \mathcal{V} nad zupełnym ciałem z normą i bazą v_1, \dots, v_m jest zupełna (z normą supremum). Ciąg jej wektorów $w_n = \sum_{k=1}^m a_{kn} v_k$ jest Cauchy'ego, wtedy i tylko wtedy gdy takie są ciągi jego współczynników (a_{kn}) w ciele \mathcal{K} .*

Dowód. Norma to największy ze współczynników „bazowych”, zatem $\|w_{n_1} - w_{n_2}\|$ dąży do zera dokładnie wtedy, gdy do zera dążą wszystkie $a_{in_1} - a_{in_2}$. \square

Fakt 6.2.5. *Weźmy $\mathcal{V} = \mathbb{Q}_p[X]$ i ustalmy rzeczywiste $c > 0$. Wtedy $\|\cdot\|$ jest (multiplikatywną) normą na \mathcal{V} , z którą ta jest zupełna.*

$$\left\| \sum_{k=0}^n a_k X^k \right\| = \max_{0 \leq i \leq n} |a_i| c^i$$

Dowód. „Ciało \mathbb{C}_p ”. \square

6.3 Przestrzenie skończonego wymiaru

Pokażemy, że w pewnym sensie jeżeli przestrzeń wektorowa ma skończony wymiar, to wiemy o niej wszystko, co tylko można wiedzieć.

Fakt 6.3.1. *Wszystkie normy na \mathcal{V} , przestrzeni wektorowej nad zupełnym ciałem z normą skończonego wymiaru, są równoważne, a sama przestrzeń jest zupełna z metryką supremum.*

To nie takie proste w dowodzie, więc podzielimy go na kilka części. Niechaj v_1, \dots, v_n będzie bazą dla \mathcal{V} , $\|\cdot\|_0$ supremum normą, zaś $\|\cdot\|_1$ jakąś inną normą. Chcemy pokazać istnienie C, D , że $\|v\|_1 \leq C\|v\|_0$ oraz $\|v\|_0 \leq D\|v\|_1$.

Lemat 6.3.2. *Gdy $C = n \max_{1 \leq i \leq n} \|v_i\|_1$, to $\|v\|_1 \leq C\|v\|_0$ dla każdego $v \in V$.*

Dowód. Ustalmy wektor $v \in V$ i zapiszmy go w bazie:

$$\begin{aligned} \|v\|_1 &= \left\| \sum_{k=1}^n a_k v_k \right\|_1 \leq \sum_{k=1}^n \|a_k v_k\|_1 = \sum_{k=1}^n |a_k| \|v_k\|_1 \\ &\leq n \max |a_k| \max \|v_k\|_1 = C\|v\|_0 \end{aligned} \quad \square$$

Druga nierówność jest trudniejsza. Będziemy indukować po wymiarze \mathcal{V} .

Lemat 6.3.3. *Dla pewnej stałej $D > 0$ zachodzi nierówność $\|v\|_0 \leq D\|v\|_1$ dla każdego $v \in \mathcal{V}$, w szczególności: \mathcal{V} jest zupełna z $\|\cdot\|_1$.*

Dowód. Druga część wynika z pierwszej, która to jest trywialna, gdy $\dim \mathcal{V} = 1$. Pokażemy sam krok indukcyjny z $n - 1$ do n . Załóżmy, że teza jest fałszywa, wtedy iloraz $\|w\|_1/\|w\|_0$ dla $w \in \mathcal{V}$ jest dowolnie mały. Oznacza to, że dla całkowitej m można znaleźć $w_m \in \mathcal{V}$, żeby $\|w_m\|_1 < \|w_m\|_0/m$.

Zauważmy, że norma supremum $\|w_m\|_0$ to największy ze współczynników w bazie. Pewien indeks jest największy dla ∞ -wielu m . Możemy założyć, że jest to ostatni indeks. Weźmy ciąg $m_1 < m_2 < \dots$ „tych m ” właśnie, zaś przez β_k oznaczmy n -ty współczynnik w_{m_k} . Wektory $\beta_k^{-1} w_{m_k}$ mają dwie ładne własności: ich n -ta współrzędna to 1, więc są postaci $u_k + v_n$, gdzie u_k należy do podprzestrzeni rozpiętej przez v_1, \dots, v_{n-1} , \mathcal{W} . Po drugie,

$$\|u_k + v_n\| = |\beta_k|^{-1} \|w_{m_k}\|_1 = \frac{\|w_{m_k}\|_1}{\|w_{m_k}\|_0} < \frac{1}{m_k}.$$

Dostaliśmy ciąg wektorów u_k takich, że normy $\|u_k + v_n\|_1$ dążą do zera. Oczywiście tworzą ciąg Cauchy’ego (w \mathcal{W} , które jest zupełne), więc istnieje $u \in \mathcal{W}$, że $u_k \rightarrow u$. Problem w tym, że wtedy $\|u_k + v_n\|_1 \rightarrow \|u + v_n\|_1 = 0$, więc $u = -v_n \notin \mathcal{W}$. \square

Fakt 6.3.4. *Unormowana p. wektorowa \mathcal{V} o skończonym wymiarze nad lokalnie zwartym, zupełnym ciałem \mathcal{K} jest lokalnie zwarta (na \mathcal{K} jest wartość bezwzględna).*

Dowód. Weźmy $\mathcal{B} = \{v \in \mathcal{V} : \|v\| \leq 1\}$, zwarte otoczenie zera. Ustalmy bazę v_i dla \mathcal{V} . Normą jest supremum. Wektor v postaci $\sum_{k=1}^n a_k v_k$ należy do \mathcal{B} dokładnie wtedy, gdy a_k należą do domkniętej kuli jednostkowej w \mathcal{K} .

Chcemy pokazać, że \mathcal{B} jest zupełne (owszem: jest domknięte w zupełnej \mathcal{V}) i całkowicie ograniczone. Pokryjmy w \mathcal{K} jednostkową kulę N kulami (środkami w c_1, \dots, c_N , promień ε ustalony). Kule wokół n^N wektorów w \mathcal{V} o współrzędnych „z c_i ” o promieniu ε kryją \mathcal{B} . \square

Udowodnimy twierdzenie częściowo do powyższego faktu odwrotne (za Robertem, a nie Gouveą).

Rbrt **Fakt 6.3.5.** *Lokalnie zwarta p. unormowana \mathcal{V} nad \mathbb{Q}_p ma skończony wymiar.*
2.3.2

Dowód. Ustalmy zwarte otoczenie Ω dla zera w \mathcal{V} oraz skalar $a \in \mathbb{Q}_p^\times$, taki że $|a| < 1$ (na przykład $a = p$). Unia wszystkich wnętrzesz przesunięć $x + a\Omega$ dla $x \in \mathcal{V}$ kryje całą przestrzeń. Zbiór Ω można pokryć skończenie wieloma $a_i + a\Omega$.

Rozpatrzmy podprzestrzeń $L = \langle a_i \rangle$. Jest izomorficzna z \mathbb{Q}_p^d , a przez to zupełna. Dalej, L jest domknięta, zaś w ilorazie Hausdorffa V/L obraz A zbioru Ω jest zwartym otoczeniem zera, które spełnia $A \subseteq aA$. Prosta indukcja pokazuje, że dla $n \geq 1$ jest nawet $a^{-n}A \subseteq A$.

Stąd $A \subseteq V/L \subseteq \bigcup_{n \geq 1} a^{-n}A \subseteq A$ (gdyż $|a^{-n}| \rightarrow \infty$), $V/L = 0$ jest zwarty, zaś $V = L$ skończonego wymiaru. \square

Przy użyciu miary Haara można ominąć jedno z założeń (to, że topologia pochodzi od normy), po raz pierwszy pokazał to bodajże Weil.

Być może dowód można nieznacznie skomplikować tak, by był poprawny dla dowolnego ciała ultrametrycznego, nie tylko \mathbb{Q}_p . Zwartych przestrzeni nad \mathbb{Q}_p zbyt wiele nie ma: każdy niezerowy jej element rozpina prostą, na której norma nie jest ograniczona, więc jedyną (zwartą) jest $\{0\}$.

Wniosek 6.3.6. *W lokalnie zwartej p. unormowanej nad \mathbb{Q}_p , zbiory zwarte to dokładnie te, które są domknięte i ograniczone.*

Dowód. W każdej p. metrycznej zbiory zwarte są domknięte i ograniczone (ze względu na ciągłość metryki).

Odwrotnie, lokalnie zwarta p. unormowana nad \mathbb{Q}_p ma skończony wymiar, możemy więc założyć bez utraty ogólności, że normą jest supremum. Ale w \mathbb{Q}_p^n ograniczone zbiory leżą w produktach kul z \mathbb{Q}_p , a domkniętość pociąga zwartość. \square

6.4 Skończone rozszerzenia ciał

Nadciało \mathcal{K} dla \mathbb{Q}_p , które jest nad nim przestrzenią wymiarową i ma skończony wymiar (zwany stopniem) to właśnie skończone rozszerzenie.

Chcemy rozszerzyć wartość bezwzględną z \mathbb{Q}_p do całego \mathcal{K} . Będzie to jednocześnie niearchimedesowa norma („wektorowa”). Pokażemy, jakie jeszcze własności musiałaby mieć, gdyby istniała.

Fakt 6.4.1. *Gdyby funkcja $|\cdot|$ istniała, to \mathcal{K} byłoby z nią zupełne. Topologia na \mathcal{K} nie zależy od bazy, gdyż jest „jedyna”: to topologia unormowanej przestrzeni \mathbb{Q}_p -wektorowej. Granica ciągu o wyrazach z \mathcal{K} to granice współrzędnych w bazie (dowolnej).*

Pomijamy oczywisty dowód tego stwierdzenia. Z samego faktu wynika ważny wniosek:

Fakt 6.4.2. *Co najwyżej jedna wartość bezwzględna na \mathcal{K} przedłuża p-adyczną wartość bezwzględną na \mathbb{Q}_p .*

Dowód. Załóżmy, że mamy dwie. Pokażemy najpierw, że są równoważne (jako wartości bezwzględne) i identyczne. Chcemy pokazać, że dla $x \in \mathcal{K}$ zachodzi $|x| < 1 \Leftrightarrow \|x\| < 1$. Oznacza to, że $x^n \rightarrow 0$ w każdej z topologii. Wiemy już, że zarówno $|\cdot|$, jak i $\|\cdot\|$ są równoważne (jako normy na $\mathcal{K}!$), więc zadają tę samą topologię. Oznacza to, że istnieje liczba $\alpha > 0$, że $|x| = \|x\|^\alpha$. Wystarczy podstawić $x = p$, by przekonać się o równości $\alpha = 1$. \square

Przypuśćmy, że mamy dwa rozszerzenia, $\mathbb{Q}_p \subset \mathcal{L} \subset \mathcal{K}$. Gdy znajdziemy wartości bezwzględne na nich, które przedłużają p -adyczną wartość bezwzględną, to obcięcie $|\cdot|_{\mathcal{K}}$ do \mathcal{L} jest po prostu $|\cdot|_{\mathcal{L}}$, czyli wartość bezwzględna „nie zależy od kontekstu”.

Definicja 6.4.3. Rozszerzenie \mathcal{K}/\mathcal{F} jest normalne, jeśli wszystkie włożenia σ z \mathcal{K} w algebraiczne domknięcie \mathcal{F} , trzymające punktowo \mathcal{F} , spełniają $\sigma[L] = L$.

Automorfizmy rozszerzenia normalnego, charakterystyki zero tworzą skończoną grupę (grupę Galois), której rząd jest wymiarem rozszerzenia.

Każde skończone rozszerzenie \mathcal{K}/\mathcal{F} posiada normalne domknięcie: skończone oraz normalne rozszerzenie dla \mathcal{F} , które zawiera \mathcal{K} .

To, że istnieje funkcja $N_{\mathcal{K}/\mathcal{F}}: \mathcal{K} \rightarrow \mathcal{F}$, zwana normą z \mathcal{K} do \mathcal{F} , jest kluczem do sukcesu. Nazewnictwo troszkę niefortunne...

Funkcja nie jest byle jaka, a do tego można określić ją na kilka równoważnych sposobów. Oto trzy z nich.

Definicja 6.4.4. $N_{\mathcal{K}/\mathcal{F}}(\alpha)$ to wyznacznik \mathcal{F} -liniowego mnożenia przez α (jako endomorfizmu \mathcal{K} , przestrzeni wektorowej nad \mathcal{F} skończonego wymiaru).

Definicja 6.4.5. $N_{\mathcal{K}/\mathcal{F}}(\alpha) = (-1)^{nr} a_0^r$, gdzie r to stopień \mathcal{K} nad $\mathcal{F}(\alpha)$, zaś α ma wielomian minimalny równy $x^n + a_{n-1}x^{n-1} + \dots + a_0 \in \mathcal{F}[x]$.

Definicja 6.4.6. $N_{\mathcal{K}/\mathcal{F}}(\alpha)$ to produkt $\sigma(\alpha)$, przy czym σ przebiega automorfizmy \mathcal{K}/\mathcal{F} .

Zanim zajmiemy się ich równoważnością, zwróćmy uwagę na kilka ważnych rzeczy. Jeśli $\alpha \in \mathcal{F}$, to $N(\alpha) = \alpha^n$, gdzie $n = [\mathcal{K} : \mathcal{F}]$. „Norma” jest multiplikatywna, tzn. dla dowolnych $\alpha, \beta \in \mathcal{K}$ mamy: $N_{\mathcal{K}/\mathcal{F}}(\alpha\beta) = N_{\mathcal{K}/\mathcal{F}}(\alpha)N_{\mathcal{K}/\mathcal{F}}(\beta)$. „Norma” sumy nie ma wiele wspólnego z normami składników.

Lemat 6.4.7. Definicje A i B są równoważne dla $\mathcal{K} = \mathcal{F}(\alpha)$.

Dowód. Rozpatrz bazę dla \mathcal{K} postaci $\{1, \alpha, \dots, \alpha^{n-1}\}$. \square

A jeżeli \mathcal{K} jest większe od $\mathcal{F}(\alpha)$? W takiej sytuacji skorzystać można z: „gdy mamy trzy ciała $\mathcal{F} \subseteq \mathcal{L} \subseteq \mathcal{K}$, to dla $\alpha \in \mathcal{K}$ prawdą jest $N_{\mathcal{L}/\mathcal{F}}(N_{\mathcal{K}/\mathcal{L}}(\alpha)) = N_{\mathcal{K}/\mathcal{F}}(\alpha)$ ”. Także definicje B i C są równoważne. Rozpatruje się dwa przypadki: \mathcal{K}/\mathcal{F} jest normalne i $\mathcal{K} = \mathcal{F}(\alpha)$ albo nie. W tym pierwszym obrazu $\sigma(\alpha)$ dla różnych σ , automorfizmów \mathcal{K}/\mathcal{F} , to dokładnie pierwiastki wielomianu minimalnego.

Dla nienormalnego rozszerzenia \mathcal{K}/\mathcal{F} wzięcie produktu w normalnym domknięciu być może jest akceptowalne.

Dlaczego „norma” miałaby być ważna? Niech \mathcal{K}/\mathbb{Q}_p będzie normalnym rozszerzeniem, zaś σ automorfizmem. Weźmy więc wartość bezwzględną $|\cdot|$ na \mathcal{K} . Wtedy $x \mapsto |\sigma(x)|$

też jest wartością bezwzględną, więc $|\sigma(x)| = |x|$ dla $x \in \mathcal{K}$. Wiemy, że $|\prod_{\sigma} \sigma(x)| = |x|^n$, zatem

$$|x| = |N_{\mathcal{K}/\mathbb{Q}_p}(x)|^{1/n}.$$

Co prawda ograniczyliśmy się do rozszerzeń normalnych, ale nie jest tak źle, jak mogło się wydawać.

Lemat 6.4.8. Niech \mathcal{L}, \mathcal{K} będą skończonymi rozszerzeniami \mathbb{Q}_p , które tworzą wieżę: $\mathbb{Q}_p \subseteq \mathcal{L} \subseteq \mathcal{K}$. Ustalmy $x \in \mathcal{L}$. Jeżeli m, n to stopnie \mathcal{L}, \mathcal{K} nad \mathbb{Q}_p , to

$$\sqrt[m]{|N_{\mathcal{L}/\mathbb{Q}_p}(x)|_p} = \sqrt[n]{|N_{\mathcal{K}/\mathbb{Q}_p}(x)|_p}.$$

Dowód. Skoro zachodzi $N_{\mathcal{K}/\mathcal{F}}(x) = N_{\mathcal{L}/\mathbb{Q}_p}(N_{\mathcal{K}/\mathcal{L}}(x)) = N_{\mathcal{L}/\mathbb{Q}_p}(x^{[\mathcal{K}:\mathcal{L}]})$, to wystarczy zauważyć, że $[\mathcal{K}:\mathbb{Q}_p] = [\mathcal{K}:\mathcal{L}][\mathcal{L}:\mathbb{Q}_p]$. \square

Założenie o normalności rozszerzenia przestaje być nam już potrzebne: wystarczy przejść do normalnego domknięcia i zauważyć, że wartość pierwiastka „nie zależy” od ciała. Tym samym pokazaliśmy prawdziwość następującego:

Fakt 6.4.9. Przedłużenie p -adycznej bezwzględnej wartości z \mathbb{Q}_p do \mathcal{K} musi być dane wzorem

$$|x| = |N_{\mathcal{K}/\mathbb{Q}_p}(x)|_p^{1:[\mathcal{K}:\mathbb{Q}_p]}.$$

Dowód. Po pierwsze, $|x| = 0$ tylko wtedy, gdy $N_{\mathcal{K}/\mathbb{Q}_p}(x) = 0$, więc mnożenie przez x się nie odwraca, tzn. $x = 0$, bo \mathcal{K} to ciało. Multiplikatywność $|\cdot|$ jest oczywista. Jeśli wreszcie $x \in \mathbb{Q}_p$, to $N_{\mathcal{K}/\mathbb{Q}_p}(x) = x^n$, więc $|x| = |x|_p$.

Nierówność niearchimedesowa $|x + y| \leq \max\{|x|, |y|\}$ dla $x, y \in \mathcal{K}$: wystarczy, że pokażemy ją dla $y = 1$, a wynika wtedy z „jeśli $|x| \leq 1$, to $|x - 1| \leq 1$ ”. Dlaczego jednak wynika?

Mamy $x + 1 = -(-x - 1)$, więc jeśli implikacja wyżej jest prawdziwa, to dostajemy ciąg wynikań: $|x| \leq 1$; $|-x| \leq 1$, $|-x - 1| \leq 1$, $|x + 1| \leq 1$. Jeżeli $|x| \leq 1$, to $\max\{|x|, 1\} = 1$, jeśli nie, to $|1/x| < 1$, więc $|1 + 1/x| \leq 1$, czyli $|x + 1| \leq |x|$.

Nierówność $|x| \leq 1$ ma miejsce dokładnie wtedy, gdy $|N_{\mathcal{K}/\mathbb{Q}_p}(x)|_p \leq 1$. Pokazujemy więc wynikanie: jeśli $N_{\mathcal{K}/\mathbb{Q}_p}(x) \in \mathbb{Z}_p$, to $N_{\mathcal{K}/\mathbb{Q}_p}(x - 1) \in \mathbb{Z}_p$.

Z poniższego lematu wynika, że możemy przyjąć, że $\mathcal{K} = \mathbb{Q}_p(x)$ jest najmniejszym ciałem zawierającym x . Zawsze mamy $\mathbb{Q}_p(x) = \mathbb{Q}_p(x-1)$. Niech $f(x) = x^n + \dots + a_1x + a_0$ będzie wielomianem minimalnym dla x . Wtedy minimalnym dla $x-1$ jest $f(x+1)$. Zatem $N_{\mathcal{K}/\mathbb{Q}_p}(x) = (-1)^n a_0$ oraz $N_{\mathcal{K}/\mathbb{Q}_p}(x-1) = (-1)^n (1 + a_{n-1} + \dots + a_0)$. To, co chcemy pokazać, wynika z: jeśli $f(x)$ (jak wyżej) jest nierozkładalny i $a_0 \in \mathbb{Z}_p$, to $f(1) \in \mathbb{Z}_p$. \square

Lemat 6.4.10. Jeżeli $f(x) = x^n + a_{n-1}x^{n-1} + \dots + a_1x + a_0$ jest nierozkładalnym wielomianem (o współczynnikach z \mathbb{Q}_p) i $a_0 \in \mathbb{Z}_p$, to wszystkie współczynniki są w \mathbb{Z}_p .

Dowód. Załóżmy zatem nie wprost, że któryś $a_i \notin \mathbb{Z}_p$. Niech m będzie najmniejszym wykładnikiem, dla którego $p^m a_i \in \mathbb{Z}_p$ (dla każdego i), połóżmy $g(x) = p^m f(x)$. Mamy $b_n = p^m$ i $b_0 = p^m a_0$, wszystkie b_i należą do \mathbb{Z}_p , ale przynajmniej jeden nie dzieli się przez p . Niech k będzie najmniejszym i , że $p \nmid b_i$. Wtedy $g(x) \equiv (b_n x^{n-k} + \dots + b_k) x^k$ modulo p , łatwo widać, że czynniki są względnie pierwsze modulo p . Z drugiej formy lematu Hensela wnioskujemy, że $g(x)$ jest rozkładalny, więc $f(x)$ też (dowód za Neukirchem). \square

Prawdziwsze jest ogólniejsze stwierdzenie.

Twierdzenie 15 (Krull). *Niearchimedesowa norma z ciała \mathcal{K} przedłuża się na każde nadciało.*

Wszystkie jego znane dowody są trudne, ale my ominemy rozszerzenia i grupy Galois. Ideą przewodnią jest „wyglądanie dowolnej normy” na L .

Dowód. Lemat Zorna pokazuje, że bez straty ogólności możemy rozpatrywać $L = \mathcal{K}(z)$.

Jeżeli z nie jest algebraiczny nad \mathcal{K} , to ciała $\mathcal{K}(z)$ oraz $\mathcal{K}(x)$ są izomorficzne. Niech f będzie wielomianem $\sum_{i \leq n} a_i x^i$, wtedy kładziemy $\|f\| := \max\{|a_j| : 0 \leq j \leq n\}$.

Oczywiście przedłuża to naszą wartość bezwzględną. Pokażemy multiplikatywność. Jasnym jest to, że $\|fg\| \leq \|f\| \cdot \|g\|$. Dla dowodu nierówności w drugą stronę wystarczy nam sprawdzić w produkcie współczynnik c_{s+t} , gdzie $s = \min\{j : |a_j| = \|f\|\}$, t analogicznie.

Formuła $\|f : g\| = \|f\| \cdot \|g\|$ daje żądane przedłużenie.

Jeżeli zaś z jest algebraiczny, ustalamy bazę e_1, \dots, e_n dla L . Definiujemy dla $x \in L$: $\|\sum_{k=1}^n \xi_k e_k\|_1 = \max\{|\xi_k| : k \leq n\}$.

Funkcja ta ma własności normy, ale nie wiemy jeszcze, czy jest multiplikatywna. Weźmy zatem dwa elementy $x = \sum_{i \leq n} \xi_i e_i$, $y = \sum_{i \leq n} \eta_i e_i$ ($\xi, \eta \in \mathcal{K}$), wtedy $\|xy\|_1$, „norma” ich iloczynu, to $\|\sum_{i,j \leq n} \xi_i \eta_j e_i e_j\|_1 \leq \max_{i,j} |\xi_i| |\eta_j| \|e_i e_j\|_1$, oszacujemy z góry jeszcze przez $C \|x\|_1 \|y\|_1$.

Funkcja $\|x\|_2 = C \|x\|_1 : L \rightarrow \mathbb{R}$ to nadal za mało, zatem podrabiamy normę spektralną (z \mathbb{C} -algebry Banacha) $L \rightarrow \mathbb{R}$ wzorem $\nu(x)^n = \limsup_{n \rightarrow \infty} \|x^n\|_2$, a skoro $\|x^n\|_2 \leq \|x\|_2^n$, ma to ręce i nogi. Twierdzimy przy tym, że funkcja ν ma pewne własności dla $\lambda \in \mathcal{K}$ oraz $x, y \in L$: $\nu(1) = 1$, $\nu(x)^k = \nu(x)^k$, $\nu(xy) \leq \nu(x)\nu(y)$, $0 \leq \nu(x) \leq \|x\|_2$, $\nu(\lambda x) = |\lambda|\nu(x)$ oraz $0 \leq \nu(x) \leq \|x\|_2$. Ich dowody są łatwe i przyjemne.

Udowodnimy dwie kolejne, trudniejsze (patrz: najbliższe lematy). Pokazaliśmy dopiero, że zbiór S funkcji $\nu : L \rightarrow \mathbb{R}$, które spełniają powyższe warunki i dwa lematy, nie jest pusty. Porządkujemy go częściowo: $\nu_1 \leq \nu_2$, gdy $\nu_1(x) \leq \nu_2(x)$ dla każdego $x \in L$.

Jeżeli $T \subseteq S$ jest łańcuchem, to $x \mapsto \inf\{\nu(x) : \nu \in T\}$ jest znowu elementem S . Lemat Zorna zapewnia nas, że w S istnieje element minimalny τ , kandydat na przedłużenie.

$1 = \tau(1) = \tau(xx^{-1}) \leq \tau(x)\tau(x^{-1})$ dla $x \in L^\times$ pokazuje, że (wtedy) $\tau(x) > 0$. Niech $a \in L^\times$.

Funkcja $\rho(x) = \lim_n \tau(a^n x) \tau(a)^{-n}$ ma sens (istnieje dla każdego x) oraz $\rho \leq \tau$, gdyż $\tau(x) \geq \tau(a^k x) \tau(a)^{-k}$. Nadal posiada pożądane cechy, więc należy do S , z minimalności τ mamy równość $\rho = \tau$.

Ale to już koniec: $\tau(x) = \tau(ax) \tau(a)^{-1}$ równoważne jest $\tau(xy) = \tau(x) \tau(y)$ (wobec dowolności a). Nierówności trójkąta dowód przebiega prosto:

$$\begin{aligned} \tau(x+y) &= \tau(x(1+x^{-1}y)) = \tau(x)\tau(1+x^{-1}y) \\ &\leq \tau(x) \max(1, \tau(x^{-1}y)) = \max(\tau(x), \tau(y)). \end{aligned} \quad \square$$

Lemat 6.4.11. $\nu(x) = \lim_n \|x^n\|_2^{1:n} = \inf_n \|x^n\|_2^{1:n} =: a$

Dowód. Ustalmy $\varepsilon > 0$ i takie n , by $\|x^n\|_2 < (a + \varepsilon)^n$. Niech $m = qn + r$ (dzielenie z resztą). Wtedy $\|x^m\|_2 \leq \|x^n\|_2^q \|x^r\|_2 \leq (a + \varepsilon)^{nq} \|x\|_2^r = (a + \varepsilon)^m (\|x\|_2 : (a + \varepsilon))^r$, skąd wynika już, że granica górna (!) nie przekracza $a + \varepsilon$. \square

Lemat 6.4.12. $\nu(1+x) \leq \max(1, \nu(x))$.

Dowód. Nierówność $\|(1+x)^n\|_2 \leq \max_{0 \leq k \leq n} \|x^k\|_2$ jest prostym wnioskiem z rozwinięcia dwumianowego. Jeśli mamy $k = 0$, to $\|x^k\|_2 = \|1\|_2$. Dla $1 \leq k \leq m$ i $m^2 = n$ jest $\|x^k\|_2 \leq 1$ lub $\|x\|_2^m$. Jeśli $m < k \leq n^2$, $\|x^k\|_2 \geq 1$, to prawdziwe jest inne oszacowanie: $\|x^k\|_2 \leq \sup_{s^2 > n} \|x^s\|_2^{n:s}$. Połączenie tych przypadków mówi, że $\|(1+x)^n\|_2$ z góry jest ograniczony przez największy z: $\sup_{s^2 > n} \|x^s\|_2^{n:s}$, $\|x\|_2^m$, $\|1\|_2$, 1, co kończy dowód. \square

Fakt 6.4.13 (Gelfand, Mazur?). *Z dokładnością do izomorfizmu, nie ma żadnych zupełnych ciał z metryką archimedesową poza \mathbb{R} lub \mathbb{C} .*

Pokazaliśmy dla skończonych rozszerzeń \mathbb{Q}_p istnienie jedynej normy przedłużającej p -adyczną na \mathbb{Q}_p .

Zbudujemy teraz \mathbb{Q}_p^a , algebraiczne domknięcie \mathbb{Q}_p . Ciało to można je dostać w łatwy sposób: biorąc sumę skończonych rozszerzeń \mathbb{Q}_p .

Jeżeli $x \in \mathbb{Q}_p^a$, to rozszerzenie $\mathbb{Q}_p(x)$ jest skończone. Żyje w nim x , więc możemy określić $|x|$ dzięki jednoznaczemu przedłużeniu p -adycznej wartości bezwzględnej z \mathbb{Q}_p do $\mathbb{Q}_p(x)$. Wiemy, że $|x|$ nie zależy od ciała, tylko od x . Zatem p -adyczna wartość bezwzględna na \mathbb{Q}_p^a też jest jednoznaczna.

Niestety \mathbb{Q}_p^a nie jest skończonym rozszerzeniem \mathbb{Q}_p , albowiem istnieją nierozkładalne wielomiany nad \mathbb{Q}_p wysokiego stopnia. Potrzebny będzie lemat.

Lemat 6.4.14. *Jeżeli $f \in \mathbb{Z}_p[x]$ rozkłada się nietrywialnie: $f = gh$, $g, h \in \mathbb{Q}_p[x]$, to istnieją także dwa niestałe $g_0, h_0 \in \mathbb{Z}_p[x]$, że $f = g_0 h_0$.*

Dowód. Jeżeli $k(x) = \sum_i a_i x^i \in \mathbb{Q}_p[x]$ jest wielomianem, to przez $w(k)$ rozumiemy $\min_{i \leq n} v_p(a_i)$, największą potęgę p , która dzieli każdy współczynnik.

Jeżeli lemat jest prawdziwy dla $w(f(x)) = 0$, to jest prawdziwy zawsze (dla $w(f(x)) \geq 0$).

Istotnie, mamy równość $w(f(x)) = -v_p(a)$, gdzie a to odwrotność najmniejszego współczynnika dla $f(x)$. Wiemy, że $f \in \mathbb{Z}_p[x]$, zatem $a^{-1} \in \mathbb{Z}_p$. Jest oczywistym, że $w(af(x)) = 0$. Teraz wystarczy położyć $f^*(x) = af(x)$ oraz $g^*(x) = ag(x)$, wtedy $f^* = g^* h$ i $w(f^*) = 0$

Wiara w szczególny przypadek lematu pozwala rozłożyć $f^*(x)$ w pierścieniu $\mathbb{Z}_p[x]$, jeden z czynników musi teraz tylko wchłonąć a^{-1} .

Lemat jest prawdziwy dla $w(f(x)) = 0$.

Rozumując analogicznie można znaleźć liczby $b, c \in \mathbb{Q}_p$, że $w(bg(x)) = w(ch(x)) = 0$. Niech $g_1 = bg$, $h_1 = ch$, a do tego $f_1 = g_1 h_1$, zaś $k \mapsto k_r: \mathbb{Z}_p[x] \rightarrow \mathbb{F}_p[x]$ oznacza redukcję współczynników modulo p .

Z naszych założeń ($g_{1,r}$ i $h_{1,r}$ są niezerowe) wynika, że $f_{1,r}$ nie jest zerem. Zatem $w(f_1(x)) = w(f(x)) = 0$, czyli $v_p(bc) = 0$.

Można przyjąć $g_0(x) = (bc)^{-1} g_1(x)$, $h_0(x) = h_1(x)$. \square

Wniosek: gdy unormowany $f(x) \in \mathbb{Z}_p[x]$ ma nierozkładalną redukcję modulo p w $\mathbb{F}_p[x]$, to jest też nierozkładalny nad \mathbb{Q}_p . Gdyby tak nie było, to rozkładałby się nad \mathbb{Z}_p (lemat), a po zredukowaniu także nad \mathbb{F}_p .

Algebraicy wiedzą, że zawsze można znaleźć wielomian (stopnia $n \in \mathbb{N}$, nierozkładalny) w $\mathbb{F}_p[x]$, którego pierwiastki generują jedyne rozszerzenie stopnia n dla \mathbb{F}_p . Wielomian ten podnosi się naturalnie do $\mathbb{Z}_p[x]$. Zatem:

Fakt 6.4.15. *Dla każdego $n \geq 1$ istnieje rozszerzenie \mathbb{Q}_p stopnia n , które „pochodzi” od jedynego rozszerzenia stopnia n dla ciała \mathbb{F}_p . Są one normalne i mają taką samą grupę Galois jak rozszerzenia \mathbb{F}_p .*

Wniosek 6.4.16. \mathbb{Q}_p^a jest nieskończonym rozszerzeniem \mathbb{Q}_p .

Potrzeba nam lepszej znajomości skończonych rozszerzeń \mathbb{Q}_p zanim zajmiemy się algebraicznym domknięciem bliżej. Trochę wcześniej dowiemy się jednak, jak dostać jeszcze więcej skończonych rozszerzeń dla tego ciała.

Twierdzenie 16 (kryterium Eisensteina). *Jeżeli wielomian*

$$f(x) = \sum_{k=0}^n a_k x^k \in \mathbb{Z}_p[x],$$

spełnia: $|a_n| = 1$, $|a_i| < 1$ dla $0 \leq i < n$ i $|a_0| = 1/p$, to jest on nierozkładalny nad ciałem \mathbb{Q}_p .

Dowód. Załóżmy nie wprost, że $f(x)$ jednak jest rozkładalny. Z lematu wiemy, że rozkłada się nawet nad \mathbb{Z}_p . Weźmy więc $g(x), h(x) \in \mathbb{Z}_p[x]$, takie że $g(x)h(x) = f(x)$. Zapiszmy $g(x) = b_r x^r + \dots + b_0$, $h(x) = c_s x^s + \dots + c_0$, $r + s = n$. Jest $|b_r| = |c_s| = 1$, bo $|b_r c_s| = |a_n| = 1$.

Mamy $f^*(x) = g^*(x)h^*(x)$. Z drugiej strony, założenia pociągają $f^*(x) = a_n^* x^n$. W takim razie $g^*(x) = b_r^* x^r$ oraz $h^*(x) = c_s^* x^s$, a zatem b_0, c_0 dzielą się przez p i $|a_0| \leq 1/p^2$, sprzeczność. \square

6.5 Własności skończonych rozszerzeń

Tutaj \mathcal{K} jest skończonym rozszerzeniem stopnia n dla \mathbb{Q}_p . W \mathbb{Q}_p wartość bezwzględna niezerowego elementu była postaci p^v , $v \in \mathbb{Z}$. Teraz widzimy (gdyż norma to pierwiastek „normy”), że dla $x \in \mathcal{K} \setminus \{0\}$, wartość bezwzględna jest postaci p^v , gdzie $v \in \frac{1}{n}\mathbb{Z}$. To naprowadza nas na definicję.

Definicja 6.5.1. *Waluacja p -adyczna dla $x \in \mathcal{K}^\times$ jest jedyną liczbą wymierną, która spełnia $|x| = p^{-v_p(x)}$. Oprócz tego $v_p(0) = +\infty$ (\mathcal{K} to skończone rozszerzenie \mathbb{Q}_p).*

Jej znajomość wymaga tylko „normy”, gdyż

$$v_p(x) = \frac{1}{n} v_p(N_{\mathcal{K}/\mathbb{Q}_p}(x)).$$

Wiemy już, że obraz v_p jest zawarty w $\frac{1}{n}\mathbb{Z}$, ale wciąż nie znamy jego prawdziwego oblicza. Pora to zmienić.

Fakt 6.5.2. *Waluacja p -adyczna jest homomorfizmem z grupy \mathcal{K}^\times w \mathbb{Q} . Jego obraz to $\frac{1}{e}\mathbb{Z}$, gdzie e dzieli $n = [\mathcal{K} : \mathbb{Q}_p]$.*

Dowód. To, że v_p jest homomorfizmem, już wiemy (wiemy?). Zatem jego obraz to addytywna podgrupa \mathbb{Q} . Wiemy też, że obraz ten zawiera się w $(1/n)\mathbb{Z}$ i zawiera co najmniej \mathbb{Z} , gdyż obraz v_p w \mathbb{Q}_p^\times taki jest. Niech d/e (ułamek skrócony) należy do obrazu, zaś mianownik e będzie największy z możliwych. Możemy znaleźć takie r, s , że $rd = 1 + se$. To oznacza jednak, że

$$r \frac{d}{e} = \frac{1 + se}{e} = \frac{1}{e} + s$$

jest w obrazie, a skoro $s \in \mathbb{Z}$ tam jest, to $1/e$ także. Skoro e było największe z możliwych, to obrazem jest dokładnie $\frac{1}{e}\mathbb{Z}$. \square

Liczba e (wyznaczona przez $v_p(K^\times) = \frac{1}{e}\mathbb{Z}$) jest na tyle ważna, że ma specjalną nazwę. Do tego określamy $f = n/e$.

Definicja 6.5.3. Liczba e to indeks rozgałęzienia K nad \mathbb{Q}_p .

Rozszerzenie może być rozgałęzione (gdy $e > 1$, dla $e = n$: całkowicie) lub nie ($e = 1$).

W ciele \mathbb{Q}_p liczba p była ważna, gdyż jej waluacja $v_p(p) = 1$ była najmniejszą spośród dodatnich. Elementy $x \in \mathbb{Z}_p$, które spełniają $v_p(x) > 0$, są podzielne przez p . Zatem waluacja to „krotność”: każdy $y \in \mathbb{Q}_p$ zapisuje się jako $p^{v_p(y)}u$, gdzie $v_p(u) = 0$. Znowu potrzeba nam czegoś takiego.

Definicja 6.5.4. Jeżeli K/\mathbb{Q}_p jest skończonym rozszerzeniem, to $\pi \in K$ jest jednolitością, jeżeli $ev_p(\pi) = 1$.

Jest wiele jednolitości, tak jak jest wiele liczb w \mathbb{Z}_p , których waluacja to 1. Ustalmy jedną z nich (możemy wybrać $\pi = p$ w nierozgałęzionym przypadku). Mamy wszystko, co chcieliśmy mieć, by opisać algebraiczną strukturę K . Przypomnienie: \mathcal{O} to pierścień waluacji z ideałem maksymalnym \mathfrak{m} , $\mathfrak{K} = \mathcal{O}/\mathfrak{m}$ to ciało reszduów.

Fakt 6.5.5. Ustalmy jednolitość π w K i powyższe oznaczenia.

1. Ideał $\mathfrak{m} \subseteq \mathcal{O}$ jest główny, generuje go π .
2. Każdy element $x \in K$ można zapisać w postaci $u\pi^{ev_p(x)}$, gdzie $u \in \mathcal{O}^\times$ to jedność ($v_p(u) = 0$); więc $K = \mathcal{O}[1/\pi]$.
3. Ciało reszduów \mathfrak{K} to skończone rozszerzenie \mathbb{F}_p , którego stopień to co najwyżej $[K : \mathbb{Q}_p]$.
4. Elementy \mathcal{O} to dokładnie $x \in K$, zerujące (jakiś) unormowany wielomian o współczynnikach z \mathbb{Z}_p .
5. \mathcal{O} to zwarty pierścień topologiczny. Zbiory $\pi^n \mathcal{O}$, $n \in \mathbb{Z}$, to fundamentalny układ otoczeń zera w K (które jest T_2 całkowicie niespójną i lokalnie zwartą p. topologiczną).
6. Dla ustalonego zbioru reprezentantów A , $\{0, c_1, \dots, c_f\}$, warstw \mathfrak{m} w \mathcal{O} , każdy $x \in K$ jednoznacznie zapisuje się jako $\pi^{-m} \sum_{i=0}^{\infty} a_i \pi^i$ ($a_i \in A$).

Dowód. (3) Gdy zbiór elementów \mathcal{O} jest liniowo niezależny nad \mathbb{Q}_p , to jego redukcja jest liniowo niezależna nad \mathbb{F}_p . Następne punkty są oczywiste dla każdego, kto zna konstrukcję wartości bezwzględnej oraz \mathbb{Q}_p . \square

Okazuje się, że liczba f ma naturalną interpretację.

Fakt 6.5.6. Mamy $[\mathfrak{K} : \mathbb{F}_p] = n/e$, więc $|\mathfrak{K}| = p^f$.

Dowód. Niech $m = [\mathfrak{K} : \mathbb{F}_p]$; indeksem rozgałęzienia jest e . Wybierzmy $\alpha_1, \dots, \alpha_m \in \mathcal{O}$ tak, by ich obrazy w \mathfrak{K} były bazą (nad \mathbb{F}_p) tego ciała. Wtedy z pewnością α_i są liniowo niezależne nad \mathbb{Q}_p .

(Gdyby były zależne, moglibyśmy je przeskalować do całkowitych, niektóre stałyby się jednościami. Redukcja do \mathbb{F}_p daje relację zależności w tym ciele, sprzeczność.)

Musimy pokazać, jak dopełnić ten zbiór do bazy K nad \mathbb{Q}_p . Przyda się jednolitość π . Rozpatrzmy elementy $\pi^j \alpha_i$ dla $0 \leq j < e$, $1 \leq i \leq m$. Udowodnimy tezę, gdy pokażemy, że tworzą bazę, bo $n = e \cdot m$.

Jeśli każdy element \mathcal{O} jest \mathbb{Q}_p -liniową kombinacją $\pi^j \alpha_i$, to także każdy element K jest taki (każdy $x \in K$ ma takie r , że $p^r x \in \mathcal{O}$). Ustalmy $x \in \mathcal{O}$ i zredukujmy go do \bar{x} (modulo

π). Mamy $x = x_{0,1}\alpha_1 + \dots + x_{0,m}\alpha_m + \text{krotność } \pi$, przy czym $x_{0,j}$ leży w \mathbb{Z}_p . Powtarzając rozumowanie dostaniemy z kolei: $x = x_{0,1}\alpha_1 + \dots + x_{0,m}\alpha_m + x_{1,1}\pi\alpha_1 + \dots + x_{1,m}\pi\alpha_m + \text{krotność } \pi^2$. Po e powtórzeniach spostrzegamy, że π^e oraz p różnią się o jedność, bo mają tę samą waluację. Zatem:

$$x = px' + \sum_{l=0}^{e-1} \sum_{k=1}^m x_{l,k} \pi^l \alpha_k,$$

gdzie $x_{i,j} \in \mathbb{Z}_p$ oraz $x' \in \mathcal{O}$. Stosując tę samą technikę wobec x' dostaniemy nowe współczynniki $x_{j,i} + px'_{j,i}$, dla których równość jest prawdziwa modulo p^2 . Kontynuowanie prowadzi do ciągu Cauchy'ego w \mathbb{Q}_p dla każdego współczynnika. Biorąc granicę, dostaniemy wyrażenie x jako liniowa kombinacja $\pi^j \alpha_i$. Te ostatnie rozpinają więc naszą przestrzeń.

Ustalmy kombinację $\sum x_{j,i} \pi^j \alpha_i = 0$ dla $x_{j,i} \in \mathbb{Q}_p$. Po ewentualnym skalowaniu, wszystkie $x_{j,i}$ leżą w \mathbb{Z}_p , ale pewien nie jest podzielny przez p . Redukcja równania modulo π daje relację zależności dla $\bar{\alpha}_i$ nad \mathbb{F}_p . Musi być ona trywialna, $x_{j,0}$ redukują się do zer, więc są podzielne przez p . Cała relacja dzieli się przez π , podzielmy. Przez analogię uzasadnia się, że także $x_{j,1}$ (a także „wyższe”) współczynniki dzielą się przez p , co jest sprzeczne z założeniami (mamy liniową niezależność). \square

Rozszerzenie ciała o charakterystyce zero powstaje poprzez dołączanie pierwiastków nierozkładalnego wielomianu. Teoria ciał dostarcza nam tej wiedzy. Jaki dokładnie jest to wielomian, można powiedzieć na przykład w całkowicie rozgałęzionym przypadku.

Fakt 6.5.7. Jeżeli \mathcal{K}/\mathbb{Q}_p jest rozszerzeniem skończonym dla \mathbb{Q}_p , zaś $e = n = [\mathcal{K} : \mathbb{Q}_p]$ (całkowite rozgałęzienie), to $\mathcal{K} = \mathbb{Q}_p(\pi)$, gdzie π jest jednolitością. Jednolitość π jest pierwiastkiem $f(X)$, wielomianu $X^n + a_{n-1}X^{n-1} + \dots + a_1X + a_0$, który spełnia założenia dla kryterium Eisensteina (16).

Dowód. Niech $f(X)$ będzie minimalnym wielomianem dla π , jednolitości ($v_p(\pi) = 1/n$, $|\pi| = p^{-1/n}$) nad \mathbb{Q}_p . Bezwzględna wartość π można wyznaczyć na podstawie jej normy. Jeżeli stopień f to s (musi być $s \mid n$), zaś ostatni współczynnik to a_0 , to normą π jest $(-1)^n a_0^r$, gdzie $r = n/s$. Z tą wiedzą piszemy:

$$p^{-1/n} = |\pi| = \sqrt[n]{|a_0^r|} = \sqrt[r]{|a_0|}.$$

Skoro a_0 leży w \mathbb{Q}_p , to jego wartość bezwzględna jest całkowitą potęgą p . Wtedy musi być $s = n$ oraz $|a_0| = p^{-1}$.

Stopień f to n , zatem $\mathcal{K} = \mathbb{Q}_p(\pi)$. Fakt, że $|a_0| = p^{-1}$ mówi nam, że p^2 nie dzieli a_0 . Pozostało pokazać, że $p \mid a_i$ dla $1 \leq i < n$. Przez $\pi_1 = \pi, \pi_2, \dots, \pi_n$ oznaczymy pierwiastki $f(X)$. Wszystkie mają ten sam wielomian minimalny, zatem także tę samą normę (i wartość bezwzględną). Oznacza to, że $|\pi_i| < 1$. Współczynniki $f(X)$ to kombinacje pierwiastków, zatem $|a_i| < 1$ dla $1 \leq i \leq n$ i po wszystkim. \square

To całkiem ciekawy wynik, bo daje precyzyjny opis pewnej klasy rozszerzeń. Chcemy udowodnić coś podobnego, ale dla rozszerzeń nierozgałęzionych. Okazuje się, że to jeszcze prostsze, lecz wymaga dodatkowego narzędzia.

Twierdzenie 17 (lemat Hensela). Dane są: skończone rozszerzenie \mathcal{K}/\mathbb{Q}_p z jednolitością π , a także wielomian $F(X) \in \mathcal{O}[X]$. Gdy istnieje taka „całkowita” $\alpha_1 \in \mathcal{O}$, że $F(\alpha_1) \equiv 0 \pmod{\pi}$, zaś $F'(\alpha_1) \not\equiv 0 \pmod{\pi}$ (gdzie F' to formalna pochodna), to istnieje $\alpha \in \mathcal{O}$, że $\alpha \equiv \alpha_1$ i $F(\alpha) = 0$.

Dowód. Identyczny z dowodem zwykłego lematu Hensela. \square

Lemat Hensela pozwala uzyskać pierwiastki jedności w \mathcal{K} . Niezerowe elementy ciała residuów \mathfrak{K} (jest ich $p^f - 1$) tworzą grupę cykliczną. Oznacza to, że gdy m dzieli $p^f - 1$, wielomian $F(X) = X^m - 1$ ma dokładnie m pierwiastków w \mathfrak{K}^\times .

Wybór dowolnego podniesienia tychże do \mathcal{O}^\times daje m nieprzystających „przybliżonych pierwiastków”. Pochodna $F'_m(X) = mX^{m-1}$ nie jest zerem, jak w lemacie; daje on więc m różnych (bo nieprzystających) m -tych pierwiastków z jedności w \mathcal{O}^\times . To prawda dla dowolnego m dzielącego $p^f - 1$, udowodniliśmy więc

Fakt 6.5.8. *Jeżeli \mathcal{K} jest skończonym rozszerzeniem \mathbb{Q}_p , to grupa \mathcal{O}^\times ma w sobie cykliczną grupę $(p^f - 1)$ -ych pierwiastków jedności.*

Jeżeli m dzieli $p^f - 1$ i ciało \mathcal{K} zawiera $(p^f - 1)$ -e pierwiastki jedności, to ma w sobie także m -te. Można to odwrócić. Jeżeli p nie dzieli m , to istnieje f takie że $p^f \equiv 1 \pmod{m}$, to znaczy: m dzieli $p^f - 1$. Przechodząc do ciał z coraz większym f dostajemy wszystkie pierwiastki jedności o stopniu względnie pierwszym z p .

Poza pierwiastkami jedności stopnia p^i (i naturalne), opis jest już kompletny. Jeżeli \mathcal{K} zawiera jakieś inne (m -te dla m względnie pierwszego z $p^f - 1$), to muszą być 1-jednościami, gdyż ich redukcja modulo π musi być równa 1. Dokładniej: gdy $x \in \mathcal{K}$ spełnia $x^m = 1$, to $x \in \mathcal{O}^\times$ oraz $x \equiv 1 \pmod{\pi}$, czyli prawdą jest $x \in 1 + \mathcal{P}$.

Jak znam życie, 1-jedność może być m -tym pierwiastkiem jedności tylko wtedy, gdy m jest potęgą p . Pokażemy to wprost, ale poprzedzimy ciekawym spostrzeżeniem.

Lemat 6.5.9. *Jeżeli $x \equiv 1 \pmod{\pi}$, to $x^{p^r} \equiv 1 \pmod{\pi^{r-1}}$.*

Dowód. Proste użycie twierdzenia o dwumianie (dla $r = 1$) oraz indukcja (dla $r > 1$). \square

Teraz jest już łatwo. Gdy ζ jest 1-jednością i $\zeta^m = 1$ dla m względnie pierwszego z p , to zaczynamy od $\zeta \equiv 1 \pmod{\pi}$. Zauważyliśmy wcześniej, że istnieje liczba r , dla której $p^r \equiv 1 \pmod{m}$. Wykorzystamy ją teraz: $\zeta = \zeta^{p^r} \equiv 1 \pmod{\pi^{r-1}}$. Zastępując r przez jej wielokrotność widzimy, że ζ przystaje do 1 modulo dowolnie wysokie potęgi π , więc $\zeta = 1$ (gdyby nie, jaka byłaby waluacja $\zeta - 1$?).

Powyższe akapity pozwalają spojrzeć na nowo na strukturę 1-jedności, czyli elementów $U_1 = 1 + \pi\mathcal{O}$. To zdecydowanie grupa: $(1 + \pi x)^{-1} = 1 - \pi x + (\pi x)^2 - (\pi x)^3 + \dots$ zbiega i do U_1 należy, podobnie $(1 + \pi x)(1 + \pi y) = 1 + \pi(x + y) + \pi^2 xy$. Tak samo pokazuje się, że zbiory $U_n = 1 + \pi^n \mathcal{O}$ są podgrupami.

Wniosek 6.5.10. *Dla każdego n iloraz U_n/U_{n+1} jest p -grupą.*

Dowód. Lemat 6.5.9 pokazuje, że $x \in U_n$ pociąga $x^p \in U_{n+1}$. Wynika stąd, że każdy element abelowego ilorazu ma rząd p . Dlaczego jednak jest skończony? Bo funkcja $U_n \rightarrow \mathcal{O}$, $1 + \pi^n x \mapsto x$ dla ustalonej jednolitości π . \square

Mamy już prawie gotowy opis pierwiastków jedności. Ciało \mathcal{K} zawiera bowiem $p^f - 1$ nieprzystające $(p^f - 1)$ -e oraz jakieś p^i -sze, które są 1-jednościami.

Wracamy do nierozgałęzionych rozszerzeń \mathbb{Q}_p , naszego pierwotnego celu.

Fakt 6.5.11. *Dla każdej f istnieje nierozgałęzione rozszerzenie \mathbb{Q}_p stopnia f (dokładnie jedno!). Powstaje ono przez dołączenie do \mathbb{Q}_p pierwotnego $(p^f - 1)$ -ego pierwiastka jedności.*

Dowód. Niech $q = p^f$. Gdy $\bar{\alpha}$ generuje cykliczną grupę \mathbb{F}_q^\times , to $\mathbb{F}_q = \mathbb{F}_p(\bar{\alpha})$ jest rozszerzeniem stopnia f . Niech

$$\bar{g}(X) = X^f + \bar{a}_{f-1}X^{f-1} + \dots + \bar{a}_1X + \bar{a}_0$$

będzie minimalnym wielomianem dla $\bar{\alpha}$ nad \mathbb{F}_p . Podnosząc $\bar{g}(X)$ do $g(X) \in \mathbb{Z}_p[X]$ w taki sposób, w jaki się nam podoba, dostajemy nierozkładalny wielomian nad \mathbb{Q}_p . Jeżeli α zeruje $g(X)$, to $\mathcal{K} = \mathbb{Q}_p(\alpha)$ jest rozszerzeniem stopnia f . Residuów ciało \mathfrak{K} dla \mathcal{K} musi zawierać pierwiastek $\bar{g}(X)$ (redukcja $\alpha \bmod \mathfrak{P}$), zatem $[\mathfrak{K} : \mathbb{F}_p] \geq f$. Z drugiej strony stopień \mathfrak{K} nad \mathbb{F}_p nie przekracza stopnia \mathcal{K} nad \mathbb{Q}_p , f , więc jest równy dokładnie f . Ciało \mathcal{K}/\mathbb{Q}_p jest nierozgałęzione i $\mathfrak{K} = \mathbb{F}_{p^f}$.

Pokażemy jeszcze jedyność. Z faktu 6.5.8 wiemy, że w \mathcal{K} żyją $(p^f - 1)$ -sze pierwiastki jedności. Musimy pokazać, że najmniejsze rozszerzenie \mathbb{Q}_p o te pierwiastki jest już stopnia f i pokrywa się z \mathcal{K} . Niech β będzie takim pierwiastkiem.

Mamy $\mathbb{Q}_p \subseteq \mathbb{Q}_p(\beta) \subseteq \mathcal{K}$. Potęgi β są (różnymi modulo π) pierwiastkami jedności $(p^f - 1)$ -szymi). Ciało residuów $\mathbb{Q}_p(\beta)$ nad \mathbb{Q}_p zawiera $\mathfrak{K} = \mathbb{F}_{p^f}$. Z całą pewnością stopień tego ciała nie przekracza stopnia rozszerzenia, więc $[\mathbb{Q}_p(\beta) : \mathbb{Q}_p] \geq f$. Wiemy, że \mathcal{K}/\mathbb{Q}_p ma stopień f , skąd wynika $\mathcal{K} = \mathbb{Q}_p(\beta)$. \square

Definicja 6.5.12. \mathbb{Q}_p^{unr} to maksymalne nierozgałęzione rozszerzenie ciała \mathbb{Q}_p , unia wszystkich jego nierozgałęzionych.

Fakt 6.5.13. Jeżeli p nie dzieli m , to w \mathbb{Q}_p^{unr} istnieją m -te pierwiastki z jedności, przez dołączenie których do \mathbb{Q}_p to rozszerzenie powstaje.

Dowód. Dla każdego m istnieje r , że $m \mid (p^r - 1)$. \square

Fakt 6.5.14. Obrazem \mathbb{Q}_p^{unr} przez v_p jest \mathbb{Z} , gdyż nic się jeszcze nie rozgałęziło. Ciało residuów to algebraiczne domknięcie \mathbb{F}_p .

Fakt 6.5.15. $v_p[\mathbb{Q}_p^a] = \mathbb{Q}$.

Koblitz twierdzi, że wszystkie rozszerzenia powstają w dwóch krokach: przez wzięcie najpierw nierozgałęzionego, a następnie całkowicie rozgałęzionego.

Definicja 6.5.16. Rozszerzenie \mathcal{K}/\mathbb{Q}_p jest poskromione, gdy jest ono całkowicie rozgałęzione i p nie dzieli stopnia e .

Fakt 6.5.17. Poskromione rozszerzenia otrzymuje się z \mathbb{Q}_p poprzez dołączenie pierwiastka wielomianu postaci $x^e - pu$ dla $u \in \mathbb{Z}_p^\times$.

Fakt 6.5.18. Niech \mathcal{K} będzie niedyskretnym ciałem ultrametrycznym, które nie jest zupełne.

Uzupełnienie \mathcal{K}' jest topologiczną przestrzenią wektorową nad \mathcal{K} . Ustalmy liniowo niezależne $a, b \in \mathcal{K}'$. \mathcal{K}^2 oraz $\mathcal{K}a + \mathcal{K}b$ nie są izomorficzne jako liniowe p. topologiczne.

Dowód. \mathcal{K}^2 nie ma gęstej podprzestrzeni wymiaru jeden. \square

Fakt 6.5.19. Niech X będzie p. ultrametryczną, dla której każdy ze zbiorów $\{d(x, y) : y \in X\}$ jest gęsty w \mathbb{R}_+ . Rodzina domkniętych kul zamienia się w drzewo z częściowym porządkiem od zawierania. Dla ośrodkowej X , funkcja „średnica” ma przeliczalne włókna.

6.6 Analiza

Wiele z dotychczasowych osiągnięć przenosi się bez problemów na ogólny przypadek, bo nie korzystaliśmy z magicznych własności \mathbb{Q}_p . Jedyne zmiany, o których trzeba pamiętać, mają związek z rozgałęzieniem: być może trzeba będzie użyć jednolitości π zamiast p . Oto lista:

1. Ciąg (a_n) w \mathcal{K} jest Cauchy'ego, wtedy i tylko wtedy gdy $|a_{n+1} - a_n| \rightarrow 0$.
2. Jeśli ciąg zbiega, ale nie do zera, to jest stacjonarny.
3. Szereg $\sum_n a_n$ w \mathcal{K} zbiega, wtedy i tylko wtedy, gdy a_n zbiega do zera.
4. *Fakt 4.1.4 zachodzi dla podwójnych szeregów w \mathcal{K} . [X]*
5. Szereg potęgowy $\sum_n a_n X^n$ z $a_n \in \mathcal{K}$ jest ciągły w kuli otwartej o promieniu równym $1/\limsup |a_n|^{1/n}$ i przedłuża się do domkniętej, jeśli $|a_n| \rho^n \rightarrow 0$.
6. *Fakt 4.3.2 i twierdzenie 4.3.3 są prawdziwe dla szeregów z $\mathcal{K}[x]$.*
7. Szeregi potęgowe są różniczkowalne. [X]
8. Jeśli f i g są szeregami potęgowymi (współczynniki są z \mathcal{K}), x_m jest zbieżny, leży w przecięciu ich obszarów zbieżności i $f(x_m) = g(x_m)$, to $f \equiv g$.
9. Twierdzenie Strassmana działa dla K zamiast \mathbb{Q}_p i \mathcal{O}_k zamiast \mathbb{Z}_p . Wnioski z niego zachowują sens.
10. Zwykły szereg potęgowy definiuje p -adyczny logarytm, $\log_p: 1 + \pi\mathcal{O}_k \rightarrow K$. Ten spełnia nadal $\log_p(xy) = \log_p(x) + \log_p(y)$ dla $x, y \in B$.
11. Zwykły szereg potęgowy definiuje p -adyczną eksponensę, $\exp_p: D \rightarrow K$, gdzie D to te $x \in \mathcal{O}_k$, że $|x| < p^{1/(1-p)}$. Ta spełnia $\exp_p(x+y) = \exp_p(x)\exp_p(y)$ dla $x, y \in D$.
12. Jeśli $X \in D$, to $\exp_p(x) \in B$ i $\log_p(\exp_p(x)) = x$.
13. Jeśli $x \in 1 + D$, to $\log_p(x) \in D$ i $\exp_p(\log_p(x)) = x$.
14. Logarytm p -adyczny to homomorfizm z $B = 1 + \pi\mathcal{O}_K$ z mnożeniem w $\mathcal{P}_K = \pi\mathcal{O}_K$ z dodawaniem, a przy tym $\log_p: 1 + D \cong D$ (ta grupa jest izo-kopią \mathcal{O}_K).
15. Dla każdego $\alpha \in \mathbb{Z}_p$ i $|x| < 1$ szereg $(1+x)^\alpha$ zbiega.
16. Numeracja trochę kłamie!

6.7 Dołączanie p -tego pierwiastka

Wcześniejsze osiągnięcia teoretyczne tylko czekają, by użyć ich do czegoś konkretnego. Rozpatrujemy ciało $\mathcal{K} = \mathbb{Q}_p(\zeta)$, gdzie ζ to p -ty pierwiastek jedności, zaś p nie jest dwójką. Przypadek $p = 2$ jest, delikatnie mówiąc, trywialny. Zatem ζ zeruje

$$\Phi_p(X) = \frac{X^p - 1}{X - 1} = \sum_{k=0}^{p-1} X^k,$$

„ p -ty wielomian cyklotomiczny”.

Lemat 6.7.1. *Wielomian $\Phi_p(X)$ jest nierozkładalny nad \mathbb{Q}_p .*

Dowód. Niech $F(X) = \Phi_p(X+1)$. Jest on nierozkładalny tak samo jak $\Phi_p(X)$; sprawdzimy założenia kryterium Eisensteina. Mamy

$$F(X) = \frac{(X+1)^p - 1}{X} = \frac{X^p + 1 - 1}{X} \equiv X^{p-1},$$

więc wszystkie (poza pierwszym) współczynniki $F(X)$ dzielą się przez p .

Ostatni współczynnik to $F(0) = \Phi_p(1) = p$ i z pewnością nie dzieli się przez p^2 . \square

Możemy stąd wywnioskować kilka rzeczy.

1. $\mathcal{K} = \mathbb{Q}_p(\zeta)$ jest rozszerzeniem \mathbb{Q}_p stopnia $p - 1$.
2. $\mathfrak{N}_{\mathcal{K}/\mathbb{Q}_p}(\zeta) = 1$, więc $|\zeta| = 1$.
3. Wielomian $F(X) = \Phi_p(X + 1)$ jest minimalny dla $\zeta - 1$, zatem $\mathfrak{N}_{\mathcal{K}/\mathbb{Q}_p}(\zeta - 1) = p$ i $|\zeta - 1| = p^{1/(1-p)}$.
4. \mathcal{K} jest całkowicie rozgałęzione, z jednolitością $\pi = \zeta - 1$.
5. $\zeta \equiv 1 \pmod{\pi}$; tzn. ζ jest 1-jednością w $\mathcal{O}_{\mathcal{K}}$.
6. $\mathbb{Z}_p[\zeta] \subseteq \mathcal{O}_{\mathcal{K}}$.

Skoro \mathcal{K} jest całkowicie rozgałęzione, to $e = p - 1$, $f = 1$ i ciało reszduów $\mathcal{O}_{\mathcal{K}}/\pi\mathcal{O}_{\mathcal{K}}$ dla \mathcal{K} to \mathbb{F}_p . Wybieramy liczby $0, 1, \dots, p - 1$ jako reprezentantów warstw. Wynika stąd, że elementy \mathcal{K} mają π -adyczne rozwinięcia postaci

$$a_{-n}\pi^{-n} + a_{-n+1}\pi^{-n+1} + \dots + a_0 + a_1\pi + \dots,$$

gdzie $a_i \in [0, p - 1] \cap \mathbb{Z}$. Jest tylko jeden mały kłopot: jak z p -adycznego rozwinięcia $x \in \mathbb{Q}_p$ uzyskać rozwinięcie π -adyczne? Już $x = p$ zapewnia koszmarnie rachunki.

Fakt 6.7.2. *Tak naprawdę $\mathbb{Z}_p[\zeta] = \mathcal{O}_{\mathcal{K}}$.*

Dowód. Pokazaliśmy kiedyś, że elementy $\mathcal{O}_{\mathcal{K}}$ to \mathbb{Z}_p -liniowe kombinacje $\pi^l \alpha_i$ dla $0 \leq l < e$ oraz $1 \leq i \leq f$, gdzie α_i to elementy $\mathcal{O}_{\mathcal{K}}$, które redukują się do bazy dla \mathfrak{K} nad \mathbb{F}_p .

W naszym przypadku $f = 1$, więc wystarczy nam $\alpha_1 = 1$, a przy tym $e = p - 1$. Przypomnijmy sobie, że $\pi = \zeta - 1$, to koniec. \square

A teraz niespodzianka, własne uogólnienie dla $\zeta = 2$.

Fakt 6.7.3. $\sum_{n \geq 1} (1 - \zeta)^n : n = 0$.

Dowód. Skoro $|\zeta - 1| < 1$, szereg dla logarytmu zbiega. Z drugiej strony $\zeta^p = 1$, więc $p \log_p \zeta = \log_p 1 = 0$, co można zapisać w postaci

$$\sum_{n=1}^{\infty} (-1)^{n+1} \frac{(\zeta - 1)^n}{n} = 0. \quad \square$$

Co jeszcze dziwniejsze, w $\mathcal{O}_{\mathcal{K}}$ można doszukać się takiego π_1 , że $\pi_1^{p-1} + p = 0$. Jest to możliwe dzięki współpracy algebry z analizą.

6.8 Na drodze do \mathbb{C}_p

Dobrze jest znać teorię Galois, ale bez niej też można przeżyć.

Elementy $x, y \in \mathbb{Q}_p^a$ nazywamy sprzężonymi (nad podciałem $\mathcal{K} \subseteq \mathbb{Q}_p^a$), jeżeli zerują ten sam nierozkładalny wielomian z $\mathcal{K}[X]$, którego współczynnik wiodący to jeden. Lemat Krasnera powie nam, że jeśli b jest „bliski” a , to jest od niego bardziej „skomplikowany”.

Twierdzenie 18 (lemat Krasnera). *Gdy liczba $b \in \mathbb{Q}_p^a$ leży bliżej $a \in \mathbb{Q}_p^a$ niż jej sprzężenia ($|b - a| < |a - a_i|$ dla $i = 1, 2, \dots, n$, sprzężenia nad \mathbb{Q}_p^a), to $\mathbb{Q}_p(a) \subseteq \mathbb{Q}_p(b)$.*

Dowód. Niech $L = \mathbb{Q}_p(b)$, załóżmy, że $a \notin L$. W takim razie stopień $m = [L(a) : L]$ jest większy od jeden. Musi istnieć m homomorfizmów $\sigma : L(a) \rightarrow \mathbb{Q}_p^a$, które posyłają L na L (siebie). Załóżmy, że jeden z nich, σ_0 , nie przerzuca a na a . Z jednoznaczności rozszerzenia wartości bezwzględnej wiemy, że $|\sigma(x)| = |x|$ dla $x \in \mathbb{Q}_p^a$. Zatem $|\sigma_0(b) - \sigma_0(a)| = |b - a|$. Ale wiemy też, że σ_0 trzyma L , a z nim b , więc $|b - \sigma_0(a)| = |b - a|$. To początek końca, bo

$$\begin{aligned} |a - \sigma_0(a)| &\leq \max\{|a - b|, |b - \sigma_0(a)|\} \\ &= \max\{|b - a|, |a - b|\} = |a - b|, \end{aligned}$$

a to niedopuszczalne. □

Z powyższego lematu płynie ważny wniosek.

Fakt 6.8.1. *Jeżeli $f(X) = X^n + \dots + a_1X + a_0 \in \mathbb{Q}_p[X]$ jest nierozkładalny, $f(\lambda) = 0$ i $L = \mathbb{Q}_p(\lambda)$, to istnieje liczba rzeczywista $\varepsilon > 0$ o następującej własności: jeśli współczynniki $g(X) = X^n + \dots + b_1X + b_0$ leżą „blisko”: $|a_i - b_i| < \varepsilon$, to $g(X)$ jest nierozkładalny nad \mathbb{Q}_p i ma pierwiastek w L .*

Dowód. Niech $\lambda_1 = \lambda, \lambda_2, \dots, \lambda_n$ będą pierwiastkami $f(X)$ w domknięciu \mathbb{Q}_p^a . Określmy $r = \min_{i \neq j} |\lambda_i - \lambda_j|$. Weźmy $g(X)$ taki, jak w fakcie. Wtedy (jeżeli jego pierwiastki w \mathbb{Q}_p^a to μ_1, \dots, μ_m) ma on postać $g(X) = \prod (X - \mu_j)$. Przyjmijmy $D = \prod_i g(\lambda_i) = \prod_{i,j} (\lambda_i - \mu_j)$.

Jeśli $|D| < r^{n^2}$, to wielomian $g(X)$ jest nierozkładalny nad \mathbb{Q}_p i ma pierwiastek w $L = \mathbb{Q}_p(\lambda)$. Wtedy istnieje para i, j , że $|\lambda_i - \mu_j| < r$. Definicja r pozwala na użycie lematu Krasnera, by pokazać, że $\mathbb{Q}_p(\lambda_i) \subseteq \mathbb{Q}_p(\mu_j)$. Oznacza to, że $\mathbb{Q}_p(\mu_j)$ jest stopnia co najmniej n nad \mathbb{Q}_p . Tak może być tylko wtedy gdy wielomian jest nierozkładalny i stopnia dokładnie n (bo μ_j „taki” zeruje?). Wtedy oba ciała mają stopień n i są zawarte jedno w drugim, zatem równe sobie.

Mamy nierozkładalność $g(X)$ oraz to, że $\mathbb{Q}_p(\lambda_i) = \mathbb{Q}_p(\mu_j)$. Gdyby okazało się, że $i = 1$, to byłby już koniec dowodu. Jeśli nie, to istnieje automorfizm \mathbb{Q}_p^a , który posyła λ_i na λ , zaś μ_j na jakiś inny pierwiastek $g(X)$. Po nałożeniu tego automorfizmu na równość $\mathbb{Q}_p(\lambda_i) = \mathbb{Q}_p(\mu_j)$ daje $L = \mathbb{Q}_p(\mu)$. Wtedy $g(X)$ ma pierwiastek μ w L .

Istnieje liczba $\varepsilon > 0$, że gdy $|a_i - b_i| < \varepsilon$, to $|D| < r^{n^2}$. □

Z tym dowodem nie wszystko jest w porządku, dlatego warto zapoznać się z problemami 258 – 262.

Fakt 6.8.2. *Ciało \mathbb{Q}_p^a nie jest zupełne.*

Dowód. Wiemy, że nierozgałęzione rozszerzenie \mathbb{Q}_p powstaje przez dołączenie pierwiastka rzędu względnie pierwszego z p . Wybierzmy $\zeta_1 = 1$, a potem ciąg ζ_2, ζ_3, \dots , że: $\zeta_i^{m_i} = 1$ (i $p \nmid m_i$), $\mathbb{Q}_p(\zeta_{i-1}) \subseteq \mathbb{Q}_p(\zeta_i)$ oraz $[\mathbb{Q}_p(\zeta_i) : \mathbb{Q}_p(\zeta_{i-1})] > i$.

Niech $c_n = \sum_{i=0}^n \zeta_i p^i$ będą sumami częściowymi szeregu. Tworzą one w \mathbb{Q}_p^a ciąg Cauchy’ego bez granicy.

Założmy nie wprost, że jednak $c_n \rightarrow c \in \mathbb{Q}_p^a$. Liczba c to pierwiastek wielomianu nad \mathbb{Q}_p , powiedzmy, że stopnia d , który nie jest rozkładalny. Zatem $[\mathbb{Q}_p(c) : \mathbb{Q}_p] = d$. Rozważmy d -tą sumę częściową.

Skoro $c - c_d = \sum_{i=d+1}^{\infty} \zeta_i p^i$, zaś ζ_i są jednościami, to mamy $|c - c_d| \leq p^{-(d+1)}$. Ustalmy automorfizm $\sigma: \mathbb{Q}_p^a \rightarrow \mathbb{Q}_p^a$, który indukuje identyczność na \mathbb{Q}_p . Musi on zachować bezwzględną wartość, zatem $|\sigma(c) - \sigma(c_d)| \leq p^{-(d+1)}$.

Dążymy do sprzeczności, więc trzeba wybrać dobre σ . Pamiętając, że wybraliśmy ζ tak, by $[\mathbb{Q}_p(\zeta_i) : \mathbb{Q}_p(\zeta_{i-1})] > i$, możemy użyć tego dla $i = d$. Istnieje $d+1$ automorfizmów $\sigma_1, \dots, \sigma_{d+1}$, które obcięte do $\mathbb{Q}_p(\zeta_{d-1})$ są identycznościami (więc trzymają $\zeta_1, \dots, \zeta_{d-1}$), ale różnią się parami na ζ_d .

Teraz, jeśli $i \neq j$, to $\sigma_i(c_d) - \sigma_j(c_d) = (\sigma_i(\zeta_d) - \sigma_j(\zeta_d))p^d$. Zauważmy, że $\sigma_i(\zeta_d)$ oraz $\sigma_j(\zeta_d)$ to różne m_d -te pierwiastki z jedynki, nie mogą przystawać do siebie modulo p . To oznacza, że p nie może dzielić ich różnicy i $|\sigma_i(c_d) - \sigma_j(c_d)| = p^{-d}$.

Prawie koniec: nakładamy (wszystkie) σ na c :

$$\begin{aligned} |\sigma_i(c_d) - \sigma_i(c)| &\leq p^{-(d+1)} \\ |\sigma_j(c_d) - \sigma_j(c)| &\leq p^{-(d+1)} \\ |\sigma_i(c_d) - \sigma_j(c_d)| &= p^{-d}. \end{aligned}$$

Zatem $|\sigma_i(c) - \sigma_j(c)| = p^{-d}$ (trójkąty są równoramienne), czyli $\sigma_i(c) \neq \sigma_j(c)$.

Innymi słowy, znaleźliśmy $d+1$ automorfizmów σ_i dla \mathbb{Q}_p^a , które są identycznościami na \mathbb{Q}_p . Dodatkowo przerzucają c na różne elementy, zatem wielomian minimalny dla c ma $d+1$ (co najmniej) pierwiastków i nie może być stopnia d . Skoro c nie zeruje wielomianów z $\mathbb{Q}_p[X]$, to nie ma go w \mathbb{Q}_p^a . \square

Skoro wszystkie ζ_i są pierwiastkami jedności rzędu, który jest względnie pierwszy z p , to pokazaliśmy coś jeszcze:

Fakt 6.8.3. *Maksymalne nierozgałęzione rozszerzenie \mathbb{Q}_p^{unr} dla \mathbb{Q}_p nie jest zupełne.*

Ponieważ \mathbb{Q}_p^a nie jest zupełne, trzeba ponownie zbudować uzupełnienie, podobnie jak dla \mathbb{Q} i \mathbb{Q}_p . Wnioskujemy stąd, że „ciało \mathbb{C}_p istnieje”.

Definicja 6.8.4. \mathbb{C}_p to uzupełnienie \mathbb{Q}_p^a z normą $|\cdot|_p$.

Jeśli tylko mamy zbieżny ciąg $x_n \rightarrow x \neq 0$ w ciele, które nie jest archimedesowe, to $|x_n| = |x|$ dla odpowiednio dużych wartości n . Oznacza to, że zbiór wartości bezwzględnych w \mathbb{C}_p pokrywa się ze swoim odpowiednikiem w \mathbb{Q}_p^a : $v_p[\mathbb{C}_p^\times] = \mathbb{Q}$, zaś pojęcie jednolitości straciło wszelki sens.

Fakt 6.8.5. *Każdy element $x \in \mathbb{C}_p$ to iloczyn trzech liczb: ułamkowej potęgi p , pierwiastka jedności oraz 1-jedności.*

Dowód. Załóżmy, że $x \in \mathbb{C}_p$, zaś $v_p(x) = r = a/b$. Wybierzmy pierwiastek π dla $X^b - p^a$ w \mathbb{Q}_p^a ; wtedy $v_p(\pi) = a/b$ i $y = x/\pi$ jest jednością. \square

\mathbb{C}_p to ogromny obiekt. Wreszcie uzyskaliśmy ciało, które nie dość, że jest zupełne, to jeszcze algebraicznie domknięte. Nie jest niestety sferycznie domknięte (stąd bierze się potrzeba powiększania go do Ω_p , o czym mowa będzie później).

Fakt 6.8.6. \mathbb{C}_p jest algebraicznie domknięte.

Dowód. Ustalmy wielomian $f(X)$ o współczynnikach w \mathbb{C}_p , który nie jest rozkładalny. \mathbb{Q}_p^a jest gęste w \mathbb{C}_p , możemy zatem znaleźć wielomiany o tym samym stopniu i współczynnikach w \mathbb{Q}_p^a tak, by były bliskie „tym z \mathbb{C}_p ”.

Z faktu 6.8.1 wynika, że „odpowiednio bliski” $f_0(X)$ będzie nierozkładalny nad \mathbb{C}_p , nad \mathbb{Q}_p zatem też. To ciało jest jednak algebraicznie domknięte, więc stopień f_0 (a więc także f) to jeden. \square

Fakt 6.8.7. \mathbb{C}_p nie jest lokalnie zwarte.

Prawdą jest nawet: każde lokalnie zwarte (więc też zupełne) ciało charakterystyki zero jest izomorficzne z \mathbb{R} , \mathbb{C} lub skończonym rozszerzeniem \mathbb{Q}_p .

Ciało \mathbb{C}_p (mocy continuum) można traktować jak algebraiczne \mathbb{C} z egzotyczną metryką, a przez to także topologią. Nie znamy izomorfizmu $\mathbb{C}_p \rightarrow \mathbb{C}$ z powodu użycia (w dowodzie istnienia) Aksjomatu Wyboru.

Co ciekawe, można zacząć od „końca”: lokalnie zwartego ciała o charakterystyce zero i odtworzyć normę z miary Haara.

Fakt 6.8.8. Jeżeli $n = hp^m$, $p \nmid h$, to rozszerzeń \mathbb{Q}_p stopnia n w \mathbb{Q}_p^a jest dokładnie (przynajmniej dla $p \leq 5$)

$$\sum_{d|h} d \sum_{s=0}^m \frac{(p^{m+1} - p^s)(p^{n\varepsilon(s)} - p^{n\varepsilon(s-1)})}{(p-1)p^{-s}},$$

gdzie $\varepsilon(-1) = -\infty$, $\varepsilon(0) = 0$ i $\varepsilon(s) = \sum_{i=1}^s p^{-i}$, zaś

$$n \left(\sum_{s=0}^m p^s (p^{n\varepsilon(s)} - p^{n\varepsilon(s-1)}) \right)$$

jest totally ramified.

6.9 Konstrukcja uniwersalnego ciała Ω_p

Niech \mathcal{R} będzie pierścieniem $\ell^\infty(\mathbb{Q}_p^a)$ ograniczonych ciągów $x = (x_i)$ w \mathbb{Q}_p^a z normą $\|x\| = \sup_i |x_i|$. Ustalmy ultrafiltr \mathcal{U} na \mathbb{N} zawierający zbiory $[n, \infty)$ (n naturalne).

Każdy ograniczony ciąg liczb rzeczywistych ma granicę pośród \mathcal{U} , więc sensownie kładziemy $\varphi(x) = \lim_{\mathcal{U}} |x_i| \geq 0$. Krótkie powtórzenie wiadomości o filtrach znajduje się na końcu sekcji.

Fakt 6.9.1. Zbiór $\mathcal{I} = \varphi^{-1}(0)$ jest maksymalnym ideałem w \mathcal{R} . Ciało $\Omega_p = \mathcal{R}/\mathcal{I}$ stanowi więc rozszerzenie dla \mathbb{Q}_p^a .

Dowód. Pokażemy dla każdego $x \notin \mathcal{I}$ odwracalność modulo \mathcal{I} . Granica $r = \varphi(x)$ nie znika dla takiego x , więc istnieje zbiór $A \in \mathcal{U}$, że $r < 2|x_i| < 4r$ dla $i \in A$. Określamy ciąg y przez $y_i x_i = 1$ dla $i \in A$ i $y_i = 0$ w pozostałych przypadkach.

Jest on ograniczony: $|y_i| < 2/r$ dla $i \in A$, więc należy do \mathcal{R} . Z konstrukcji wynika, znikanie $1 - x_i y_i = 0$ na A , więc $1 - xy \in \mathcal{I}$. To pokazuje, że $x \bmod \mathcal{I}$ odwraca się w ilorazie Ω_p , więc ten jest ciałem, zaś ideał $\mathcal{I} \triangleleft \mathcal{R}$ jest maksymalny. Stałe ciągi dają zanurzenie $\mathbb{Q}_p^a \rightarrow \Omega_p$. \square

Funkcja φ zadaje na Ω_p wartość bezwzględną. Kładziemy $|\alpha| = \varphi(x)$ dla $\alpha = (x \bmod \mathcal{I})$.

Fakt 6.9.2. *Tak zdefiniowana wartość bezwzględna pokrywa się z normą ilorazową dla \mathcal{R}/\mathcal{I} , mamy bowiem dla $\alpha = (x \bmod \mathcal{I})$ równość*

$$|\alpha|_{\Omega} = \|x \bmod \mathcal{I}\|_{\mathcal{R}/\mathcal{I}} := \inf_{y \in \mathcal{I}} \|x - y\|.$$

Dowód. Mamy $\lim_{\mathcal{U}} |z_i| \leq \sup |z_i|$ dla każdego $z \in \mathcal{R}$, a zatem

$$\lim_{\mathcal{U}} |x_i| = \lim_{\mathcal{U}} |x_i - y_i| \leq \sup |x_i - y_i|$$

oraz $|\alpha|_{\Omega} \leq \|x - y\|$ dla $y \in \mathcal{I}$, co dowodzi nierówności $|\alpha|_{\Omega} \leq \|\alpha\|_{\mathcal{R}/\mathcal{I}}$.

Jeśli $\alpha = x \bmod \mathcal{I}$, to dla każdego podzbioru $A \in \mathcal{U}$ można określić ciąg y wzorem $y_i = x_i \cdot [i \notin A]$. Wtedy ciąg y leży w ideale \mathcal{I} oraz $\|x - y\| = \sup_{i \in A} |x_i|$, a do tego

$$\|\alpha\|_{\mathcal{R}/\mathcal{I}} \leq \inf_{A \in \mathcal{U}} \sup_{i \in A} |x_i| = \limsup |x_i| = |\alpha|_{\Omega}. \quad \square$$

Fakt 6.9.3. $|\Omega_p^{\times}| = \mathbb{R}_{>0}$.

Dowód. Wynika to z gęstości $|\mathbb{Q}_p^a|$ w $\mathbb{R}_{\geq 0}$. \square

Ciało Ω_p ma wiele intrygujących własności.

Fakt 6.9.4. *Ciało Ω_p jest algebraicznie domknięte.*

Dowód. Ustalmy $f \in \Omega_p[x]$ postaci $x^n + \alpha_{n-1}x^{n-1} + \dots + \alpha_0$ i rodziny reprezentantów współczynników: $\alpha_k = (a_{ki})_i \bmod \mathcal{I}$. Rozważmy $f_i(x) = x^n + \sum_{k < n} a_{ki}x^k \in \mathbb{Q}_p^a[X]$. Każdy z nich ma naturalnie pierwiastki w \mathbb{Q}_p^a . Oznacza to, że produkt (tych pierwiastków) jest równy (co do znaku) a_{0i} , więc istnieje taki pierwiastek ξ_i , który jest mniejszy od $|a_{0i}|^{1/n}$. Ciąg $\xi, (\xi_i)$, jest ograniczony: $\|\xi\| \leq \|\alpha_0\|^{1/n}$, $\xi \in \mathcal{R}$, klasa abstrakcji dla ξ zeruje f w Ω_p . \square

Rozważmy zstępujący ciąg kul $\mathcal{B}[a_n, r_n]$ ($d(a_i, a_n) \leq r_n$ dla $i \geq n$) w pewnej przestrzeni ultrametrycznej X . Zbieżność ciągu r_n do zera implikuje, że a_n jest Cauchy'ego i ma granicę (dla zupełnych X), zatem przekrój kul jest niepusty.

Definicja 6.9.5. *Przestrzeń ultrametryczną, w której nie istnieje ciąg zstępujący domkniętych kul o pustym przekroju, nazywamy sferycznie zupełną.*

Fakt 6.9.6. *Sferyczna zupełność pociąga zupełność.*

Dowód. Niech x_n będzie ciągiem Cauchy'ego. Jego granicą jest jedyny element przekroju zstępującego ciągu kul $\mathcal{B}[x_n, r_n]$; tu $r_n = \sup_{m > n} |x_m - x_n|$ maleje do zera. \square

Odwrotna implikacja jest fałszywa.

Przykład 6.9.7. \mathbb{C}_p jest zupełne, ale nie sferycznie zupełne.

Dowód. Niech r_n będzie ściśle malejącym ciągiem z $\Gamma = p^{\mathbb{Q}}$, którego granica nie jest zerem. W kuli $\mathcal{B}[0, r_0]$ znajdziemy dwie rozłączne kule domknięte o tym samym promieniu r_1 , \mathcal{B}_0 i \mathcal{B}_1 . W każdej z nich dwie następne (o promieniu r_2), $\mathcal{B}_{i0}, \mathcal{B}_{i1}$. Kule o różnych wieloindeksach tej samej długości są rozłączne, gdy przedłużymy indukcyjnie ten proces.

Kładziemy $\mathcal{B}_{(i_1, i_2, \dots)} = \bigcap_{n \geq 1} \mathcal{B}_{i_1 \dots i_n}$ (po lewej stronie (i_n) jest dowolnym ciągiem binarnym). Tak otrzymane kule są albo puste, albo domknięte, o promieniu $r = \lim_n r_n$. Skoro $r > 0$, to wszystkie są otwarte i parami rozłączne.

Przestrzeń \mathbb{C}_p jest ośrodkowa, więc tylko przeliczalnie wiele spośród nich może być niepusta. \square

Fakt 6.9.8. *Ciało Ω_p jest (sferycznie) zupełne.*

Dowód. Ustalmy zstępujący ciąg domkniętych kul $\mathcal{B}_n[\alpha_n, r_n]$, wtedy $|\alpha_{n+1} - \alpha_n| \leq r_n$, zaś ciąg r_n jest malejący (wynika to z ultranierówności).

Podnieśmy środki α_n do elementów $a_n \in \mathcal{R}$: skoro wartość bezwzględna jest normą ilorazową i $|a_{n+1} - a_n| \leq r_n < r_{n-1}$, wybieramy takie a_{n+1} , że $\|a_{n+1} - a_n\| < r_{n-1}$. Wtedy prawdą jest także $\|a_k - a_n\| < r_{n-1}$ oraz $|a_{ki} - a_{ni}| < r_{n-1}$ dla $k \geq n$ i i -tych składowych. Niech $\xi_i = a_{ii}$. Ciąg ξ leży w \mathcal{R} .

Oszacowanie $\|\xi - a_n\| \leq \sup_{i \geq n} |\xi_i - a_{ni}| \leq r_{n-1}$ wynika z należenia przedziałów $[n, \infty)$ do ultrafiltru \mathcal{U} . Zatem dla $x = \xi \bmod \mathcal{I}$, $n > 0$ zachodzą nierówności:

$$\begin{aligned} |x - a_n| &\leq \|\xi - \alpha_n\| \leq r_{n-1} \\ |x - a_{n-1}| &\leq \max(|x - a_n|, |a_n - a_{n-1}|) \leq r_{n-1}, \end{aligned}$$

czyli $x \in \mathcal{B}_{n-1}$ jest świadkiem niepustości zbioru $\bigcap_n \mathcal{B}_n$. \square

Mając Ω_p możemy określić \mathbb{C}_p inaczej, jako domknięcie \mathbb{Q}_p^a w Ω_p .

Fakt 6.9.9. *Ciało \mathbb{C}_p jest ośrodkową przestrzenią metryczną.*

Dowód. Algebraiczne domknięcie \mathbb{Q}_p^a dla \mathbb{Q}_p jest ośrodkową przestrzenią metryczną, gęstą w \mathbb{C}_p . Przeliczalny zbiór \mathbb{Q}^a jest ośrodkiem \mathbb{C}_p . \square

Fakt 6.9.10. *Z algebraicznego punktu widzenia, $\mathbb{C} \cong \mathbb{C}_p$.*

Skąd się biorą takie potwory jak niedomknięte sferycznie przestrzenie? Okazuje się, że wcale nie są nie z tego świata.

Fakt 6.9.11. *Każda zupełna p. ultrametryczna X z gęstą metryką ma podprzestrzeń, która jest zupełna, ale nie sferycznie.*

Dowód. Ustalmy ciąg zstępujących kul \mathcal{B}_n , których ciąg średnic dąży do niezera. Wycięcie otwartego zbioru $\bigcap_n \mathcal{B}_n$ z X nie zmienia jej zupełności. W tej podprzestrzeni „kule \mathcal{B}_i ” zstępują do zbioru pustego. \square

Fakt 6.9.12. *Zupełna przestrzeń z dyskretną metryką (ultra-) jest sferycznie zupełna.*

Przykład 6.9.13. *Unormowana przestrzeń skończonego wymiaru nad zupełnym ciałem z dyskretną waluacją (takie są lokalnie zwarte) albo $B(X \rightarrow \mathcal{K})$.*

To, że ciało \mathbb{C}_p nie jest sferycznie zupełne, wynika (inaczej) z następującego faktu.

Fakt 6.9.14. *Ośrodkowa p. ultrametryczna X z gęstą metryką nie jest zupełna sferycznie.*

Dowód. Ustalmy ośrodek $\{a_1, a_2, \dots\}$ dla X oraz l. rzeczywiste $r_0, r_1, \dots \in \mathbb{R}$, takie że $r_0 > r_1 > \dots > r_0/2$ i $r_0 = d(a, b)$ dla pewnych $a, b \in X$. Formuła $d(x, y) \leq r_1$ rozбивa X (przez relację równoważności) na co najmniej dwie kule. Niech B_1 nie zawiera a_1 , wtedy $d(B_1) = r_1$.

Metryka na tej kuli też jest gęsta, więc możemy (tak samo) dostać kulę $B_2 \subseteq B_1$ średnicy r_2 , która nie zawiera a_2 , i tak dalej. Gdyby przekrój $\bigcap_n B_n$ był niepusty, zawierałby kulę B dodatniej średnicy, w której nie leżałby żaden a_n . Ale te punkty tworzą ośrodek, sprzeczność. \square

Przypomnijmy że lokalnie zwarte albo zupełne przestrzenie są Baire'a: przeliczalna suma domkniętych zbiorów o pustym wnętrzu ma puste wnętrze. Przestrzeń \mathbb{Q}_p^a nie jest Baire'a.

Definicja 6.9.15. *Filtr to rodzina \mathcal{A} podzbiorów X , która zawiera X (ale nie \emptyset) oraz jest zamknięta na dopełnienia i skończone przekroje.*

Definicja 6.9.16. *Filtr wolny to taki, który pusto się kroi.*

Definicja 6.9.17. *Rodzina $\mathcal{B} \subseteq \mathcal{A}$ jest bazą filtru, gdy każdy $A \in \mathcal{A}$ zawiera $B \in \mathcal{B}$.*

Lemat 6.9.18. *Niech \mathcal{B} będzie rodziną niepustych podzbiorów X , taką że jeśli $A, B \in \mathcal{B}$, to istnieje $C \in \mathcal{B}$ zawarty w przekroju A i B . Nadzbiory elementów \mathcal{B} tworzą filtr, którego \mathcal{B} jest bazą.*

Filtr z lematu nazywamy generowanym przez \mathcal{B} .

Lemat 6.9.19. *Wolny filtr na nieskończonym X zawiera zbiory o skończonych dopełnieniach.*

Zbiory koskończone tworzą tak zwany filtr Frecheta.

Definicja 6.9.20. *Ultrafiltr to filtr maksymalny względem inkluzji.*

Fakt 6.9.21. *Filtr \mathcal{A} na X jest ultrafiltrem, wtedy i tylko wtedy gdy dla każdego $A \subseteq X$, $A \in \mathcal{A}$ lub $X \setminus A \in \mathcal{A}$.*

Definicja 6.9.22. *Filtr \mathcal{A} na przestrzeni topologicznej X zbiega do $x \in X$, gdy każde otoczenie x zawiera pewien $A \in \mathcal{A}$.*

Fakt 6.9.23. *Każdy ultrafiltr na zwartej przestrzeni zbiega.*

Przykład 6.9.24. *Ustalmy ograniczony ciąg liczb rzeczywistych a_n oraz ultrafiltr \mathcal{U} na \mathbb{N} . Wtedy $\inf_n a_n \leq \lim_{\mathcal{U}} a_n \leq \sup_n a_n$.*

Wrócimy do Ω_p . Przypomnijmy, że jego ciało residuów jest nieskończone, zaś $|\Omega_p^\times| = \mathbb{R}_+$. Każdej domkniętej kuli $B[a, r]$ zawartej w Ω_p przypiszemy teraz filtr okrężny \mathcal{F}_B (na Ω_p).

Jeśli B jest jednym punktem, za \mathcal{F}_B bierzemy filtr otoczeń generowany przez małe kule wokół a , $B(a, \varepsilon)$.

Jeśli jednak B ma dodatni promień, generatory to $B[a, r + \varepsilon] \setminus \bigcup_{i=1}^n B(a_i, r - \varepsilon)$. Im mniejszy $\varepsilon > 0$ lub większy n , tym mniejsze zbiory; istotnie stanowią one bazę pewnego filtru.

Łatwo widać, że generatory zawierają $x \in \Omega_p$, takie że jest $r < |x - a| < r + \varepsilon$. Jednocześnie każdy $b \in B$ ma $\delta > 0$, że $\{x : r - \delta < |x - b| < r\}$ leży w pewnym generatorze, skąd natychmiastowo dostajemy lemat:

Lemat 6.9.25. Niech \mathcal{B} oznacza jakąś kulę o dodatnim promieniu r , $a \in \mathcal{B}$. Poniższe zbiory są bazą filtru $\mathcal{F}_{\mathcal{B}}$, gdzie a_i brane są ze sfer $S_r(a) : |x - a| = r$, zaś $0 < \varepsilon < r$.

$$\{r - \varepsilon < |x - a| < r + \varepsilon\} \setminus \bigcup_{k=1}^n \mathcal{B}(a_i, r - \varepsilon)$$

Zastępując ε czymś mniejszym możemy nawet zakładać, że $i \neq j$ pociąga $|a_i - a_j| = r$.

Powyższe definicje przenoszą się na podzbiory $X \subseteq \Omega_p$. Załóżmy, że $X \cap A \neq \emptyset$ dla wszystkich $A \in \mathcal{F}_{\mathcal{B}}$. Wtedy $\mathcal{F}_{\mathcal{B}}$ indukuje filtr na X , nadal nazywany okrężnym.

Przykład 6.9.26 ($X = \mathbb{C}_p$). Jeśli domknięta kula \mathcal{B} w Ω_p nie tnie \mathbb{C}_p , zaś $\delta(\mathcal{B}) = d(\mathcal{B}, \mathbb{C}_p)$, to ślad $\mathcal{F}_{\mathcal{B}}$ na \mathbb{C}_p jest okrężnym filtrem bezśrodkowym.

Rozdział 7: Funkcje specjalne

W analizie nad \mathbb{R} funkcje specjalne można definiować na wiele sposobów, przez rozwinięcia w szereg, równania różniczkowe, całki parametryczne, równania funkcyjne i tak dalej.

Inną metodą jest wzięcie zwykłej funkcji f określonej na $[a, \infty) \subset \mathbb{R}$ o wymiernych wartościach dla całkowitych $n \geq a$ i patrzenie na ciągłą funkcję $\mathbb{Z}_p \rightarrow \mathbb{C}_p$ przedłużającą $n \mapsto f(n)$. $\mathbb{Z} \cap [a, \infty)$ jest gęste w \mathbb{Z}_p , więc nie może być dwóch przedłużeń.

Poszukiwanie p -adycznych wariantów funkcji określanych normalnie na podzbiorach \mathbb{C} zaczniemy właśnie od logarytmu i eksponenta.

7.1 Logarytm (\mathbb{Q}_p)

Definicja 7.1.1. *Logarytm to formalny szereg*

Gouv
4.5

$$f(x) = \log(1+x) = \sum_{n=1}^{\infty} -\frac{(-x)^n}{n}.$$

Logarytm zbiega „gorzej” niż funkcja $\log: \mathbb{R}_+ \rightarrow \mathbb{R}$.

Wypadałoby znać jego promień zbieżności: współczynniki tutaj nie maleją w normie.

Fakt 7.1.2. *Logarytm ma sens dla $x \in 1 + p\mathbb{Z}_p = \mathcal{B}(1, 1)$.*

Dowód. Skoro $0 \leq \frac{1}{n}v_p(n) \leq \frac{1}{n}\log_p n \rightarrow 0$ i $|a_n| = p^{v_p(n)}$, to $p^{-0} = 1$ jest szukanym promieniem. Łatwo widzieć, że nie ma dla $|x| = 1$ zbieżności. \square

Mamy nadzieję, że logarytm p -adyczny nie zostanie nigdy pomyłony ze zwykłym, przy podstawie p , rzeczywistym.

By funkcja $\log_p: \mathcal{B} \rightarrow \mathbb{Q}_p$ zasługiwała na bycie logarytmem, musi mieć jego własności. Tak rzeczywiście jest.

Fakt 7.1.3. *Dla $a, b \in 1 + p\mathbb{Z}_p$ jest $\log_p ab = \log_p a + \log_p b$.*

Dowód. Przyjmijmy $f(x) = \log_p(1+x)$ dla $x \in \mathbb{Z}_p$. Z naszą wiedzą o pochodnych szeregów potęgowych piszemy

$$f'(x) = \sum_{n \geq 0} (-1)^n x^n = \frac{1}{1+x}.$$

Ustalmy $y \in p\mathbb{Z}_p$ i określmy $g(x) = f(y + (1 + y)x)$. Jest to szereg potęgowy zbieżny dla $|x| < 1$. Reguła łańcucha pozwala policzyć pochodną:

$$g'(x) = (1 + y)f'(y + (1 + y)x) = \frac{(1 + y)}{1 + y + (1 + y)x} = \frac{1}{1 + x} = f'(x)$$

$$g(x) = f(x) + C.$$

Widać, że $g(0) = f(y)$, zatem $g(x) = f(x) + f(y)$, wystarczy przetłumaczyć to na język logarytmów. \square

Jeśli $p = 2$, to $-1 \in \mathcal{B}$, a to umożliwia obliczenie $\log_p(-1)$, 0, co nie powinno szokować.

Lemat Hensela pozwala określić, dla jakich m istnieją m -te pierwiastki jedności w \mathbb{Q}_p pod warunkiem, że $p \nmid m$. W \mathbb{Q}_p nie ma takich dla $m = p^n$, co można pokazać w trzech krokach (poza patologicznym przypadkiem $p = 2$ i $n = 1$).

Fakt 7.1.4. Logarytm p -adyczny ma dokładnie jedno ($x = 1$ jeśli $p > 2$) lub dwa ($x = \pm 1$ dla $p = 2$) miejsca zerowe.

Dowód. Twierdzenie Strassmana dla $\log(1 + px)$. \square

Wniosek 7.1.5. Dla $x \in 1 + p\mathbb{Z}_p$ oraz $p \neq 2$ ($p = 2$), które spełnia $x^p = 1$ ($x^4 = 1$), mamy $x = 1$ ($x = \pm 1$) – zatem p -te (czwarte) pierwiastki jedności w \mathbb{Q}_p nie istnieją.

Wniosek 7.1.6. W \mathbb{Q}_p żyje $\max\{2, p - 1\}$ pierwiastków jedności.

7.2 EkspONENTS (Klasyczny)

Gouv W \mathbb{R} szereg $\exp(x) = \sum_{n=0}^{\infty} x^n/n!$ zbiega wszędzie, bo $1/n!$ bardzo szybko maleje: ale nie 4.5 w \mathbb{Q}_p . Trzeba więc określić tempo wzrostu tych współczynników.

Lemat 7.2.1. Zachodzi $(p - 1)v_p(n!) < n$.

Dowód. Prawdziwość nierówności wynika z

$$v_p(n!) = \sum_{i=1}^{\infty} \left\lfloor \frac{n}{p^i} \right\rfloor \leq \sum_{i=1}^{\infty} \frac{n}{p^i} = \frac{n}{p - 1}.$$

\square

Lemat 7.2.2. Szeregowy protoplasta eksponensa zbiega, wtedy i tylko wtedy gdy $v_p(x) > 1/(p - 1)$.

Dowód. Promień zbieżności „protoplasty” to co najmniej $p^{-1/(p-1)}$, gdyż $|1/n!|$ wynosi $p^{v_p(n!)} < p^{n/(p-1)}$.

Z drugiej strony, gdy $n = p^m$, to $v_p(n!) = (n - 1)/(p - 1)$. Jeśli ustalimy x o waluacji równej $1/(p - 1)$, to $x^n/n!$ nie dąży do zera (a sam szereg nie jest zbieżny), gdyż wyrażenie $v_p(x^n : n!) = (p - 1)^{-1}$ nie zależy od m . \square

Nierówność z lematu jest trochę dziwna, przecież ekspONENTS zbiega na $p\mathbb{Z}_p$ dla $p \neq 2$ i $4\mathbb{Z}_2$. Lemat nie jest jednak bezsensowny, w szczególności dla rozszerzeń \mathbb{Q}_p takich jak \mathbb{C}_p .

Definicja 7.2.3. EkspONENTS $\exp_p : \mathcal{B} \rightarrow \mathbb{Q}_p$ jest określona na $p\mathbb{Z}_p$ (dla $p \neq 2$) lub $4\mathbb{Z}_2$ przez podany wcześniej szereg.

Fakt 7.2.4. Jeżeli $x, y, x + y \in \mathcal{B}(0, p^{-1/(p+1)})$, to $\exp(x + y)$ jest równe $\exp x \exp y$.

Dowód. Dowód to po prostu formalna manipulacja szeregów.

$$\begin{aligned} L = \exp_p(x + y) &= \sum_{n \geq 0} \frac{(x + y)^n}{n!} = \sum_{n \geq 0} \sum_{k \leq n} \frac{1}{n!} \frac{n!}{k!(n-k)!} x^{n-k} y^k \\ &= \sum_{n \geq 0} \sum_{k \leq n} \frac{x^{n-k}}{(n-k)!} \frac{y^k}{k!} = \sum_{m \geq 0} \frac{x^m}{m!} \cdot \sum_{k \geq 0} \frac{y^k}{k!} = \exp_p(x) \exp_p(y) = R \quad \square \end{aligned}$$

Zwykła eksponensa i logarytm są do siebie odwrotne, czy $\exp_p(\log_p(1 + x)) = 1 + x$ tam, gdzie jest zbieżność? Fakt 2.3.3 ma założenia, które trzeba sprawdzić.

Fakt 7.2.5. Załóżmy, że jest $|x| < p^{-1/(p-1)}$ ($x \in \mathbb{Z}_p$). Zachodzi wtedy $\log_p(\exp_p x) = x$ oraz $\exp_p(\log_p(1 + x)) = 1 + x$.

Dowód. Bez straty ogólności niech $x \neq 0$. Podczas składania $\log_p(\exp_p x)$, wstawiamy $\exp_p x - 1$ do wzoru na $\log_p(1 + x)$. Skoro tak, korzystamy z założenia i piszemy:

$$|\exp_p x - 1| = \left| \sum_{n=1}^{\infty} \frac{x^n}{n!} \right| < \frac{|x|^n}{p^{n/(p-1)}} < 1$$

Można jeszcze lepiej oszacować: $v_p(x^{n-1}/n!) > (n-1)/(p-1) - (n-s(n))(p-1) > 0$, gdzie s to suma cyfr n w rozwinięciu p -adycznym i $n \geq 2$. Stąd wynika, że $v_p(x) < v_p(x^n/n!)$ i korzystamy z lematu 2.3.3 dla $\log_p \circ \exp_p$, gdyż $1/(p-1) < v_p(\exp_p(x) - 1) = v_p(x)$.

Złożymy teraz szeregi w drugą stronę. Niech $n > 1$. Wtedy mamy

$$v_p(-(-x)^n/n) - v_p(x) = (n-1)v_p(x) - v_p(n) > (n-1) \left[\frac{1}{p-1} - \frac{v_p(n)}{n-1} \right].$$

Wykażemy nieujemność tego, co pozostało w nawiasach. Niech $n = p^v n'$ z $n' \nmid p$, czyli

$$\frac{v_p(n)}{n-1} = \frac{v}{p^v n' - 1} \leq \frac{v}{p^v - 1} = \frac{1}{p-1} \cdot \frac{v}{p^{v-1} + \dots + p + 1} \leq \frac{1}{p-1}.$$

A zatem $|(-1)^{n+1} x^n/n| < |x|$ i do akcji wkracza fakt 2.1.2: $|\log_p(x)| = |x| < p^{-1/(p-1)}$ daje żadaną równość. \square

Ostrożność była potrzebna: chociaż dla $p = 2, x = -2$ „wszystko” na pierwszy rzut oka zbiega, to i tak $\exp(\log_p(1 + x)) = \exp(0) = 1 \neq -1$.

W ciałach charakterystyki p dzieje się coś niedobrego.

Fakt 7.2.6. Analityczna f z wypukłego otoczenia zera spełniająca jeden z warunków: $f' = f$ lub Schik $f(x + y) = f(x)f(y)$ jest zerem. Ex.25.J

Szereg z definicji eksponensa wcale nie ma sensu, jako że $n!$ nie odwraca się dla $n \geq p$.

7.3 Szereg dwumianowy

Zajmiemy się wreszcie szeregami dwumianowymi (warto się zapoznać z treścią sekcji 5.2 i Gouv 5.3). W \mathbb{R} funkcję $(1+x)^\alpha$ można rozwinąć w szereg potęgowy zbieżny dla $|x| < 1$: 4.5

$$(1+x)^\alpha = B(\alpha, x) = \sum_{n=0}^{\infty} \binom{\alpha}{n} x^n.$$

Szereg ten jest kandydatem na p -adyczny wariant funkcji potęgowej, ciekawszy dla $\alpha \in \mathbb{Z}_p$ niż dla $\alpha \in \mathbb{Q}_p$. Ustalmy α . Co możemy powiedzieć o współczynnikach szeregu B ?

Fakt 7.3.1. *Jeśli $\alpha \in \mathbb{Z}_p$ i $n \geq 0$, to $(\alpha \text{ nad } n) \in \mathbb{Z}_p$. Jeżeli do tego $|x| < 1$, to szereg $B(\alpha, x)$ jest zbieżny.*

Dowód. Dla każdego n rozpatrzmy wielomian

$$P_n(x) = \prod_{k=0}^{n-1} \frac{x-k}{k+1} \in \mathbb{Q}[x].$$

Wielomiany określają ciągłe funkcje $\mathbb{Q}_p \rightarrow \mathbb{Q}_p$. Wiemy, że dla $\alpha \in \mathbb{Z}_+$ mamy $P_n(\alpha) \in \mathbb{Z}$. Obraz \mathbb{Z}_+ przez P_n leży w \mathbb{Z} , więc po domknięciu uzyskujemy upragnione $P_n[\mathbb{Z}_p] \subseteq \mathbb{Z}_p$. \square

Z równości formalnych szeregów potęgowych wynika, że dla $\alpha = a/b \in \mathbb{Z}_{(p)}$ i $|x| < 1$ prawdziwa jest równość między $(1+x)^\alpha$ oraz $(B(a/b, x))^b$, co nadaje sensu definicji:

Definicja 7.3.2. $(1+x)^{a/b} := B(a/b, x)$.

Nie możemy przyjąć takiej definicji dla dowolnej $\alpha \in \mathbb{Z}_p$, $x \in p\mathbb{Z}_p$, jako że p -adyczna funkcja $B(a/b, x)$ nie zachowuje się jak jej rzeczywisty odpowiednik, nawet gdy x jest wymierny i $1+x$ jest b -tą potęgą w \mathbb{Q} !

Przykład 7.3.3 (Koblitz). *Jeśli $p = 7$, $\alpha = 1/2$, $x = 7/9$, to w \mathbb{R} pierwiastek z $1+x$ jest równy $4/3$, ale w \mathbb{Q}_7 nie: $|x| = 1/7$, więc dla $n \geq 1$ jest $|(1/2 \text{ nad } n)x^n| \leq |x|^n = 7^{-n} < 1$. To pociąga za sobą $(1+x)^{1/2} \in 1+7\mathbb{Z}_7$, a także $|(1+x)^{1/2} - 1| < 1$, lecz $|4/3 - 1| = 1$, więc to $-4/3$ jest pierwiastkiem z $1+x$.*

Ten sam szereg o wymiernych wyrazach może zbiegać w \mathbb{R} i \mathbb{Q}_p , ale mieć różne granice (nawet, jeśli obie są wymierne), ponieważ topologie są znacząco różne. Na szczęście wartość $B(\alpha, x)$ nie zależy od wyboru ciała, gdy $x \in \mathbb{Q}$ oraz $\alpha \in \mathbb{Z}$.

Interesujący wynik dotyczący szeregów p -adycznych i ich zbieżności przedstawiony jest w sekcji 2.4 na podstawie pracy Burgera i Struppecka z 1996 roku.

Fakt 7.3.4. *Niech $1+x$ będzie kwadratem $\frac{a}{b}$, gdzie $a, b > 0$ są względnie pierwsze, zaś S to zbiór tych pierwszych liczb, dla których szereg $B(1/2, x)$ zbiega w \mathbb{Q}_p (lub $\mathbb{Q}_\infty = \mathbb{R}$).*

1. *Jeśli p jest nieparzystą pierwszą, to $p \in S$, wtedy i tylko wtedy gdy p dzieli $a+b$ (wtedy $B(1/2, x) = -a/b$) lub $a-b$ (a/b).*
2. *Dalej, $2 \in S$, wtedy i tylko wtedy gdy $2 \nmid ab$; granicą w \mathbb{Q}_2 jest a/b (gdy $4 \mid a-b$) lub $-a/b$ (jeśli $4 \mid a+b$).*

3. Wreszcie $\infty \in S$ wtedy i tylko wtedy, gdy $0 < a/b < \sqrt{2}$, suma w \mathbb{R} będzie zawsze równa a/b .
4. Zbiór S jest zawsze niepusty. Dla $x \in \{8, 16/9, 3, 5/4\}$ ma dokładnie jeden element.
5. Dla innych x zawsze znajdują się dwie $p, q \in S$, że suma w \mathbb{Q}_p jest różna od tej w \mathbb{Q}_p .

Dowód. Szczególny przypadek twierdzenia Bombieriego. □

Wygląda na to, że dwa poniższe stwierdzenia pochodzą od samego Koblitz, jednak brakuje im dowodu.

Fakt 7.3.5. Szeregu dwumianowy $B(\alpha, x)$ ma tę samą wartość w ciałach \mathbb{Q}_p i \mathbb{R} (między innymi) Kblitz
dla: 4.1.Ex.10

- $\alpha = -n \in -\mathbb{N}$ oraz $x = -p/(p+1)$.
- $\alpha = 1/2$ oraz $xm^2 = p^2 + 2mp, m > (\sqrt{2} + 1)p, p \nmid m$.

Fakt 7.3.6. Szereg dwumianowy $B(1/2, p/n^2)$ zbiega do różnych, ale wymiernych liczb w \mathbb{Q}_p i \mathbb{R} dla (na przykład) $p = 2n + 1 \geq 7$.

7.4 Logarytm (japoński)

Pracujemy w $\mathcal{K} = \mathbb{C}_p$.

Rbrt
5.4.5

Fakt 7.4.1. $\log \exp x = x, \exp \log(1+x) = 1+x$, o ile $|x| < r_p$.

(To było tylko przypomnienie).

Wniosek 7.4.2. Morfizm $\log: 1 + \mathfrak{p} \rightarrow \mathcal{K}$ jest „na”. Jego jądro to $\mu(p^\infty)$. Obcięty do $1 + \mathcal{B}(0, r_p)$ jest (iniektywną) izometrią.

Fakt 7.4.3. Dokładnie jeden morfizm $f: \mathcal{K}^\times \rightarrow \mathcal{K}$ ma poniższe własności (logarytm Iwasawy Log): $f(p) = 0$ (normalizacja), zaś obcięcie f do $\mathcal{B}(1, 1)$ pokrywa się ze zwykłym logarytmem (to znaczy szeregiem potęgowym).

Dowód. (Jednoznaczność) Podgrupy $p^{\mathbb{Q}}\mu_{(p)}$ i $1 + \mathfrak{p}$ generują całe \mathcal{K}^\times . Jest to oczywiste dla μ , gdyż ciało \mathcal{K} (charakterystyki 0) nie ma addytywnej torsji. Z drugiej strony, jeśli $x^a = p^b$, to $af(x) = bf(p) = 0$, co daje $f(x) = 0$.

(Istnienie) Niech f będzie zerem na $p^{\mathbb{Q}}\mu$, gdyż zgadza się to z logarytmem na przekroju $p^{\mathbb{Q}}\mu$ z $1 + \mathfrak{p}, \mu(p^\infty)$. Ale podgrupa $\mu(p^\infty)$ to dokładnie jądro logarytmu. □

Fakt 7.4.4. Logarytm Iwasawy jest lokalnie analityczny: dla $a \neq 0$ i $|x - a| < |a|$ mamy $\text{Log } x = \text{Log } a - \sum_{k \geq 1} [1 - x/a]^k / k$.

Fakt 7.4.5. Dla $x \in \mathbb{Z}_p^\times, (1-p) \text{Log } x = \sum_{k \geq 1} (1 - x^{p^{-1}})^k / k$.

Fakt 7.4.6. Dla zupełnych podciał $K \subseteq \mathbb{C}_p, \text{Log}[K^\times] \subseteq K$.

Fakt 7.4.7. Dla każdego ciągłego automorfizmu σ ciała \mathbb{C}_p prawdą jest $\text{Log}(x^\sigma) = (\text{Log } x)^\sigma$.

W swojej pracy doktorskiej („Prolongement de la fonction exponentielle en dehors de son cercle de convergence”) M. C. Sarment-Durix pokazała, że funkcja wykładnicza przedłuża się na całe \mathbb{C}_p . Robert zaś postanowił podążać za Schikhofem (ale nie widać tego tutaj).

Fakt 7.4.8. Ustalmy $a \in \mathbb{C}_p$, że $|1 - a|_p < 1$. Wtedy

$$\text{Log } a = \lim_{n \rightarrow \infty} \frac{a^{p^n} - 1}{p^n}.$$

Jeżeli $b \in \mathbb{C}_p$, $|b|_p = 1$ i ω jest charakterem Teichmüllera, to

$$\text{Log } b = \lim_{n \rightarrow \infty} \frac{b^{p^{n!}} - \omega_p(b)}{\omega_p(b)p^{n!}}.$$

7.5 Trygonometria van Hamme’a

Poniższe konstrukcje mogą działać w wielu ciałach, my jednak ograniczymy się do \mathbb{Q}_p (charakterystyki zero, ciało reszduów charakterystyki p).

Szeregami potęgowymi można określić funkcje \sin_p , \cos_p , ale nie będą okresowe (ze względu na fakt 2.3.11).

Schik **Fakt 7.5.1.** $\sin_p^2 x + \cos_p^2 x = 1$.

25

Fakt 7.5.2. $\cosh_p^2 x - \sinh_p^2 x = 1$.

Fakt 7.5.3. Sinus jest izometrią z $E = \mathcal{B}(0, p^{1/(1-p)})$ w $1 + E$.

Fakt 7.5.4. Kosinus nie jest lokalnie iniektywny w 0.

Gouvea **Fakt 7.5.5.** Jeśli p jest postaci $4k + 1$, to w \mathbb{Q}_p równanie $x^2 + 1 = 0$ ma rozwiązanie $x = i$ P. 169 spełniające $\exp_p(ix) = \cos_p(x) + i \sin_p(x)$.

Wniosek 7.5.6. Okrąg $\{(x, y) \in \mathbb{Q}_p^2 : x^2 + y^2 = 1\}$ jest zwarty dokładnie dla $p = 2$ lub $p = 4k + 3$.

Schik **Fakt 7.5.7.** Tangens (iloraz sinusa i kosinusa) jest analityczną funkcją $E \rightarrow \mathbb{C}_p$.

46

Dowód. Funkcja $\log_p \cos$ jest dobrze określona i analityczna, a razem z nią jej pochodna. \square

Definicja 7.5.8. Arkus tangens dla $x \in \mathbb{C}_p \setminus \{i, -i\}$ to

$$\arctan x = \frac{1}{2i} \log_p \frac{1 + ix}{1 - ix}.$$

Jest to oczywiście funkcja odwrotna do tangensa, bowiem w przeciwnym przypadku nie nazywałaby się tak. Znika (między innymi) w zerze i nieskończoności.

Fakt 7.5.9. Dla $|x|_p < 1$ mamy

$$\arctan x = \sum_{k=0}^{\infty} (-1)^k \frac{x^{2k+1}}{2k+1}.$$

Fakt 7.5.10. Dla $x \neq i, -i$ mamy

$$\arctan' x = \frac{1}{1 + x^2}.$$

Fakt 7.5.11. Jeśli $xy \neq 1$ oraz $x, y \neq i, -i$, to

$$\arctan \frac{x+y}{1-xy} = \arctan x + \arctan y.$$

Fakt 7.5.12. Jeśli $z \neq 0, i, -i$, to $0 = \arctan z + \arctan 1/z$.

Fakt 7.5.13. Jeśli $x \neq 0, x^2 + y^2 \neq 0$, to

$$\log_p(x+iy) = \frac{1}{2} \log_p(x^2+y^2) + i \arctan \frac{y}{x}.$$

Fakt 7.5.14. Dysk zbieżności \arctan wokół a to $\{x \in \mathbb{C}_p : |x-a|_p < \min(|a-i|_p, |a+i|_p)\}$.

Przez chwilę $p \neq 2$.

Definicja 7.5.15. Dla $|x|_p < 1$ i $x \in \mathbb{C}_p$ mamy

Schik
49

$$\arcsin x = \frac{1}{i} \log_p(ix + \sqrt{1-x^2}).$$

Fakt 7.5.16. Dla $|x|_p < 1$ mamy

$$\arcsin' x = \sqrt{1-x^2}^{-1}.$$

Fakt 7.5.17. Arkus sinus jest analityczną surjekcją na \mathbb{C}_p .

Definicja 7.5.18. Ustalmy $x \in \mathcal{B}(\sqrt{1-a^2}, |a^2|_p)$, niezerowe $a \in E$.

$$\arccos_a(x) = \frac{1}{i} \log_p(x + ia\sqrt{(1-x^2)/a^2}).$$

Fakt 7.5.19. Dla $|x - \cos a|_p < |a|_p^2$ mamy

$$\arccos' x = -\frac{1}{a} \sqrt{a^2/(1-x^2)}.$$

7.6 Logarytm (diamentowy)

Poznamy zaraz funkcję, która choć nie jest równa $\log_p \Gamma_p$, i tak zasługuje na swoją nazwę: Schik log gamma Diamonda.

60

Definicja 7.6.1. Dla $x \in \mathbb{C}_p \setminus \mathbb{Z}_p$ niech $G_p(x) = \int_{\mathbb{Z}_p} (x+u)(\log_p(x+u)-1) du$.

Fakt 7.6.2. $G_p(x+1) - G_p(x) = \log_p x$.

Dowód. Mamy $f(x+1, u) - f(x, u) = f(x, u+1) - f(x, u)$, jeśli $f(x, u)$ zdefiniujemy jako $(x+u)(\log_p(x+u)-1)$. Zatem $G_p(x+1) - G_p(x) = \partial_u f(x, 0) = \log_p(x)$. \square

Fakt 7.6.3. $G_p(1-x) = -G_p(x)$.

Dowód. Skoro $\log_p(-1) = 0$, to $f(-x, u) = -f(x, -u)$ i

$$-G_p(-x) = \int_{\mathbb{Z}_p} f(x, -u) \, du = \int_{\mathbb{Z}_p} -f(x, u+1) \, du = \int_{\mathbb{Z}_p} -f(x+1, u) \, du. \quad \square$$

Fakt 7.6.4. Dla $m \in \mathbb{N}$,

$$G_p(x) = \frac{2x-1}{2} \cdot \log_p m + \sum_{j=0}^{m-1} G_p \frac{x+j}{m}.$$

Dowód. Mamy $f(y, mu) = (y + mu) \log_p m + mf(y/m, u)$, a do tego równość

$$G_p(x) = \int_{\mathbb{Z}_p} f(x, u) \, du = \frac{1}{m} \sum_{j=0}^{m-1} \int_{\mathbb{Z}_p} f(x, j + mu) \, du.$$

Podkładając $y = x + j$ dostajemy

$$\int_{\mathbb{Z}_p} f(x, j + mu) \, du = (y - \frac{m}{2}) \log_p m + m G_p \frac{y}{m}.$$

Ala

$$\frac{1}{m} \sum_{j=0}^{m-1} (x + j - \frac{m}{2}) \log_p m = (x - \frac{1}{2}) \log_p m. \quad \square$$

Fakt 7.6.5. Funkcja G_p jest lokalnie analityczna.

Fakt 7.6.6. Związek z Γ_p Mority:

$$\log_p \Gamma_p(x) = \sum_{j=0}^{p-1} G_p \frac{x+j}{p},$$

ale sumujemy jedynie po tych j , że $|x+j|_p = 1$.

7.7 Gamma Mority

Rbrt Załóżmy najpierw, że $p \geq 3$. Funkcja $n \mapsto n!$ nie przedłuża się w ciągły sposób na \mathbb{Z}_p .

7.1.1 Gdybyśmy mieli ciągłą $f: \mathbb{Z}_p \rightarrow \mathbb{Q}_p$, taką że $f(n) = n f(n-1)$ dla całkowitych $n \geq 1$, to taka sama relacja zachodziłaby dla $n \in \mathbb{Z}_p$. Zatem

$$f(n) = n(n-1)(n-2) \cdots p^m f(p^m - 1)$$

dla całkowitych $n > p^m$, gdzie p^m jest ustaloną potęgą p . Skoro f jest ciągła na zwartej \mathbb{Z}_p , to jest ograniczona, czyli istnieje $C > 0$, że $|f(x)| \leq C$ tamże. Napisany wyżej rozkład pokazuje, że $|f(n)| \leq |p^m| \cdot C$ dla całkowitych $n > p^m$, ale one leżą gęsto w \mathbb{Z}_p , zatem $\|f\|_\infty \leq |p|^m \cdot C$. Liczba m była dowolna, więc musimy mieć $\|f\|_\infty = 0$.

To smutne. Problemy wzięły się stąd, że duże silnie są zbyt podzielne przez potęgi p . Zdefiniujmy więc obcięta silnię, $n!^*$. Kluczem do sukcesu jest uogólnienie przystawania Wilsona.

$$n!^* = \prod_{j=1}^n j \text{ (produkt po } p \nmid j \text{)}$$

Fakt 7.7.1. Niech a i $v \geq 1$ będą całkowite, wtedy

$$\prod_{j=a}^{a+p^v-1} j \equiv -1 \pmod{p^v}.$$

Dowód. Reprezentantów ilorazu $\mathbb{Z}/p^v\mathbb{Z}$ wyczerpują całkowite $a \leq j < a+p^v$. Niepodzielne przez p liczby odpowiadają za odwracalne elementy, tzn. elementy grupy $G = (\mathbb{Z}/p^v\mathbb{Z})^\times$. Łącząc dowolny element $g \in G$ z odwrotnym, g^{-1} , znosimy je wszystkie poza sytuacją, gdy $g^2 = 1$. W pierścieniu $\mathbb{Z}/p^v\mathbb{Z}$ jest tak wtedy i tylko wtedy, gdy $g = \pm 1$ lub $g \pm 1$ są jednocześnie dzielnikami zera. Tak jednak może być tylko wtedy, gdy p dzieli różnicę, 2, co nie zachodzi nigdy. \square

To pociąga dla funkcji $f(n) = (-1)^n \prod_{j=1}^{n-1} j$ (gdy $n \geq 2$) relację $f(a) \equiv f(a + mp^v)$ modulo p^v . Odwzorowanie $a \mapsto f(a): \mathbb{N} \setminus \{0, 1\} \rightarrow \mathbb{Z}$ jest jednostajnie ciągłe w topologii p -adycznej, zatem przedłuża się jednoznacznie do $\mathbb{Z}_p \rightarrow \mathbb{Z}_p$.

Definicja 7.7.2. Przedłużenie to Γ_p , funkcja gamma Mority.

Lemat 7.7.3. $\Gamma_p(\mathbb{Z}_p) \subseteq \mathbb{Z}_p^\times \subset \mathbb{Z}_p$

Oto własności tej funkcji. Przede wszystkim $\Gamma_p(2) = 1$ i $\Gamma_p(3) = -2$. Jeśli $n \leq p-1$ jest Rbrt nieparzyste, to $\Gamma_p(n+1) = n!$, jeśli jest parzyste, to $-n!$. Z definicji widać, że $\Gamma_p(n) \in \mathbb{Z}_p^\times$ 7.1.2 jest dana przez

$$\Gamma_p(n+1) = \frac{(-1)^{n+1}n!}{\prod_{1 \leq k \leq n} kp} = \frac{(-1)^{n+1}n!}{[n/p]!p^{[n/p]}}$$

gdy całkowita n jest większa lub równa 2. Z definicji mamy też, że $\Gamma_p(n+1)$ to $-n\Gamma_p(n)$ (jeśli $p \nmid n$) lub $-\Gamma_p(n)$ (jeśli nie) i (z ciągłości) ogólniej

$$\Gamma_p(x+1) = \begin{cases} -x\Gamma_p(x) & \text{dla } x \in \mathbb{Z}_p^\times \\ -\Gamma_p(x) & \text{dla } x \in p\mathbb{Z}_p \end{cases}$$

Dla wygody wprowadzamy pomocniczą $h_p(x)$ równą $-x$ dla $x \in \mathbb{Z}_p^\times$ ($|x| = 1$) lub -1 (dla $x \in p\mathbb{Z}_p$, $|x| < 1$).

Fakt 7.7.4. Jeśli $p > 2$, to funkcja Γ_p jest ciągła. Poza tym,

1. $\Gamma_p(0) = 1$ i $\Gamma_p(n+1) = (-1)^{n+1}n!$ dla $1 \leq n < p$.
2. $|\Gamma_p(x)| = 1$
3. $|\Gamma_p(x) - \Gamma_p(y)| \leq |x - y|$
4. $\Gamma_p(x+1) = h_p(x)\Gamma_p(x)$
5. $\Gamma_p(x)\Gamma_p(1-x) = (-1)^R(x)$, gdzie $1 \leq R(x) \leq p$ oraz $R(x) \equiv x \pmod{p}$.

Dowód. Punkt trzeci wynika z przystawiania $\Gamma(a + mp^v)$ do $\Gamma(a)$ modulo p^v oraz ciągłości. Dla dowodu piątego połóżmy $f(x) = \Gamma_p(x) \cdot \Gamma_p(1-x) \dots$ szczegóły zna Robert. \square

Zwykła funkcja Γ spełnia dla $m \geq 2$ tożsamość:

Rbrt
7.1.3

$$\prod_{j=0}^{m-1} \Gamma\left(z + \frac{j}{m}\right) = (2\pi)^{(m-1)/2} m^{1/2-mz} \cdot \Gamma(mz).$$

Fakt 7.7.5 (mnożnikowy wzór Gaußa). Niech funkcja f_m będzie określona dla $m \geq 1$ niepodzielnych przez p :

$$f_m : x \mapsto \prod_{j=0}^{m-1} \Gamma_p \left(x + \frac{j}{m} \right).$$

Niech $s(y) = \frac{1}{p}(R(y) - y)$, przy czym $1 \leq R(y) \leq p$ przystaje do $y \bmod p$. Wtedy

$$f_m(x) = \frac{m^{1+(p-1)s(mx)}}{m^{R(mx)}} \cdot \Gamma_p(mx) \underbrace{\prod_{j=0}^{m-1} \Gamma_p \left(\frac{j}{m} \right)}_{\varepsilon_m}.$$

Dowód. Policzmy czynnik Gaussa $G_m(x) = f(x)/\Gamma_p(mx)$.

$$\begin{aligned} G(x + 1/m) &= \frac{\prod_{j=1}^m \Gamma_p(x + j/m)}{\Gamma_p(mx + 1)} = \frac{1}{h_p(mx)\Gamma_p(mx)} \cdot \frac{\Gamma_p(x + 1)}{\Gamma_p(x)} \prod_{j=0}^{m-1} \Gamma(x + j/m) \\ &= \frac{h_p(x)}{h_p(mx)} G(x) = \lambda(x) G(x) \end{aligned}$$

Lokalnie stały mnożnik λ wyznacza kolejne wartości, gdyż $G(1/m)$ to $\lambda(0)G(0)$, $G(2/m)$ to $\lambda(0)\lambda(1/m)G(0)$, i tak dalej. Skoro m, p są względnie pierwsze, $\prod_{i=0}^{j-1} \lambda(i/m) = (1/m)^u$, gdzie u to ilość względnie pierwszych z p tych i , że $0 < i < j$, czyli $j - 1 - [(j - 1)/p]$. Rozwijając p -adycznie $j - 1$:

$$j = \underbrace{(j - 1)_0 + 1}_{R(j)} + p \left\lfloor \frac{j - 1}{p} \right\rfloor,$$

gdzie $R(j) \equiv j \pmod{p}$ jest dobre. To dowodzi

$$j - 1 - \left\lfloor \frac{j - 1}{p} \right\rfloor = R(j) - 1 + (p - 1) \left\lfloor \frac{j - 1}{p} \right\rfloor,$$

więc $\prod_{i=0}^{j-1} \lambda(i/m) = m^{1-R(j)}(m^{p-1})^{s(j)}$ z $s(j) = \frac{1}{p}(R(j) - j)$, które ciągle przedłuża się do \mathbb{Z}_p . Pokazaliśmy, że

$$G(j/m) = \prod_{i=0}^{j-1} \lambda(i/m) G(0) = m^{1-R(j)}(m^{p-1})^{s(j)} \cdot G(0),$$

ale tylko dla całkowitych $x = j/m$. Z ciągłości wzór prawdziwy jest dla wszystkich $x \in \mathbb{Z}_p$. (KhM: $\varepsilon_m = G(0)$). \square

Lemat 7.7.6. Mamy równość $\varepsilon_m^4 = 1$, a nawet $\varepsilon_m^2 = 1$, chyba że m jest parzyste, zaś p postaci $4k + 1$ (wtedy -1).

Dowód. Gdy $2 \nmid m$, to ε_m wynosi $\Gamma_p(1/m) \cdot \dots \cdot \Gamma_p((m-1)/m)$, bo $\Gamma_p(0) = 1$. Pogrupujmy czynniki z „ j ” i „ $m - j$ ” do ± 1 ; okaże się, że $\varepsilon_m = \pm 1$. Dla parzystego m pozostanie jeden czynnik: $\varepsilon_m = \pm \Gamma_p(1/2)$, więc $\varepsilon_m^2 = \Gamma_p(1/2)^2$. Tę liczbę znamy: jest równa -1 , wtedy i tylko wtedy gdy $p = 4k + 1$. \square

Rbrt Ciągła funkcja na \mathbb{Z}_p to szereg Mahlera: mamy $f(x) = \sum_{k=0}^{\infty} (\nabla^k f)(0) \cdot (x \text{ nad } k)$.
 7.1.4 Współczynniki $a_k = (\nabla^k f)(0)$ można związać z wartościami f (jak wcześniej!):

$$\sum_{k=0}^{\infty} a_k \frac{x^k}{k!} = \exp(-x) \sum_{n=0}^{\infty} f(n) \frac{x^n}{n!}.$$

Fakt 7.7.7. Niech $\Gamma_p(x+1) = \sum_{k=0}^{\infty} a_k \binom{x}{k}$ jako szereg Mahlera. Wtedy jego współczynniki spełniają zależność:

$$\sum_{k=0}^{\infty} (-1)^{k+1} a_k \frac{x^k}{k!} = \frac{1-x^p}{1-x} \exp\left(x + \frac{x^p}{p}\right).$$

Dowód. Obliczymy $\varphi(x)/e^x$, gdzie $\varphi(x)$ jest zadana szeregiem $\sum_{n=0}^{\infty} \Gamma_p(n+1)x^n/n!$. Po wysumowaniu przez warstwy mod p :

$$\varphi(x) = \sum_{j=0}^{p-1} \sum_{m=0}^{\infty} \Gamma_p(mp+j+1) \frac{x^{mp+j}}{(mp+j)!}.$$

Tutaj możemy zaś (dla $n = mp + j$, $m = [n/p]$) użyć równości

$$\Gamma_p(n+1) = \frac{(-1)^{n+1}n!}{[n/p]!p^{[n/p]}}$$

Otrzymujemy tak $\Gamma_p(mp+j+1) = (-1)^{mp+j+1} \cdot (mp+j)!/(m!p^m)$ i

$$-\varphi(x) = \sum_{m=0}^{\infty} \frac{(-x)^{mp}}{p^m m!} \sum_{j=0}^{p-1} (-x)^j = \frac{1-(-x)^p}{1-(-x)} \exp \frac{(-x)^p}{p}. \quad \square$$

Chcemy rozwinąć $\log \Gamma_p$ w szereg potęgowy. Skorzystamy z poniższego wzoru dla całki Rbrt
 Volkenborna: 7.1.5

$$\mathfrak{Z}(f')(x) = \int_{\mathbb{Z}_p} [f(x+y) - f(y)] dy$$

oraz funkcji $f(x) = x \log x - x$ dla $|x| = 1$ i 0 dla $|x| < 1$, więc $f'(x) = \log h_p(x)$. Jako że logarytm Iwasawy znika na pierwiastkach jedności, $\log(-x) = \log x$. Zatem f jest nieparzysta i całka z niej jest zerem (to ważne).

$$\nabla \log \Gamma_p(x) = \log \Gamma_p(x+1) - \log \Gamma_p(x) = \log h_p(x).$$

Równości $\mathfrak{Z} \nabla f = f - f(0)$ i $\log \Gamma_p(0) = 0$ implikują $\log \Gamma_p(x) = \mathfrak{Z} \log h_p(x)$. Powyższy wzór dla całki Volkenborna z $f' = \log h_p$ daje

$$\log \Gamma_p(x) = \int_{\mathbb{Z}_p^\times} [(x+y) \log(x+y) - (x+y)] dy.$$

Jak zachowuje się $\log \Gamma_p$?

Fakt 7.7.8. Dla $x \in p\mathbb{Z}_p$ mamy

$$\begin{aligned}\operatorname{Log} \Gamma_p(x) &= \lambda_0 x - \sum_{m=1}^{\infty} \frac{\lambda_m x^{2m+1}}{2m(2m+1)}, \\ \lambda_0 &= \int_{\mathbb{Z}_p^\times} \operatorname{Log} t \, dt \quad \lambda_m = \int_{\mathbb{Z}_p^\times} \frac{dt}{t^{2m}}.\end{aligned}$$

Wniosek 7.7.9. Zachodzi

$$\begin{aligned}\frac{\Gamma'_p}{\Gamma_p}(x) &= \int_{\mathbb{Z}_p^\times} \operatorname{Log}(x+t) \, dt \\ (\operatorname{Log} \Gamma_p)''(x) &= \int_{\mathbb{Z}_p^\times} \frac{dt}{x+t}.\end{aligned}$$

Rbrt Z Kazandzidisem jeszcze lepiej poznamy $\log \Gamma_p$.

7.1.6 **Twierdzenie 19** (Kazandzidis). Wzór niżej zachodzi dla pierwszych $p \geq 3$, ale jeśli $p = 3$, to zamiast p^3 należy wpisać p^2 .

$$\binom{pn}{pk} \equiv \binom{n}{k} \pmod{p^3 nk(n-k)} \binom{n}{k} \mathbb{Z}_p$$

Fakt 7.7.10. Funkcja $x \mapsto \log \Gamma_p(px)$ ($\mathbb{Z}_p \rightarrow ?$) zadana jest przez obcięty szereg o współczynnikach z $p\mathbb{Z}_p$ i $|f(x+y) - f(x) - f(y)| \leq |p^3 xy(x+y)|$.

Rbrt Pokażemy, że funkcję Γ Mority można określić dla $p = 2$.

7.1.7 **Fakt 7.7.11.** Dla $v \geq 3$, jądro homomorfizmu „redukcja modulo 4” $(\mathbb{Z}/2^v\mathbb{Z})^\times \rightarrow (\mathbb{Z}/4\mathbb{Z})^\times$ jest cykliczne, generowane przez 5.

Określmy ciąg: $f(1) = 1$, $f(n) = \prod_{j=1}^{n-1} j$ (tutaj $p = 2$). Spełnia on między innymi nierówność $|f(m) - f(n)| \leq |m - n|$ dla $m, n \geq 1$ i $|m - n| \leq 1/8$. Dzięki jednostajnej ciągłości f przedłuża się jednoznacznie do $\mathbb{Z}_2 \rightarrow 1 + 2\mathbb{Z}_2$.

Funkcję tę nadal oznaczamy przez f .

Definicja 7.7.12. $\Gamma_2(n) = (-1)^n f(n)$ (to zachowa własności Γ_p).

Poniższe stwierdzenie pochodzi z książki Koblitz.

Fakt 7.7.13. Niech $a = 2 + \Gamma_5(1/4)^2$, zaś $3b = 1 - 2\Gamma_7(1/3)^2$. Wtedy $a^2 = -1$ oraz $b^2 = -3$ (choć $\Gamma(1/3)$ jest przestępna!).

Dowód. Kohomologia p -adyczna. □

7.8 Eksponens (Artina-Hassego)

Rbrt Zwykła eksponensa ma promień zbieżności mniejszy niż jeden, ponieważ $a_n = 1/n!$, jej 7.2.1 współczynnikom, zbyt szybko rosną mianowniki. Zanim to naprawimy, powtórka z teorii liczb.

Lemat 7.8.1. Jeśli n ma k różnych dzielników pierwszych, to $\sum_{d|n} |\mu(d)| = 2^k$ i $\sum_{d|n} \mu(d) = 0$.

Fakt 7.8.2. Dla dowolnej liczby pierwszej p zachodzi

$$\sum_{n=1}^{\infty} -\frac{\mu(n)}{n} \log(1-x^n) = x$$

$$\sum_{n \geq 1} -\frac{\mu(n)}{n} \log(1-x^n) = x + \frac{x^p}{p} + \frac{x^{p^2}}{p^2} + \dots$$

Dowód. Ponieważ $\sum_{m=1}^{\infty} t^m : m = -\log(1-t)$, to

$$x = \sum_{m=1}^{\infty} \frac{x^m}{m} \sum_{n|m} \mu(n) = \sum_{n=1}^{\infty} \mu(n) \sum_{m=1}^{\infty} \frac{x^{nm}}{nm} = \sum_{n=1}^{\infty} -\frac{\mu(n)}{n} \log(1-x^n)$$

$$\sum_{m=1}^{\infty} \frac{x^m}{m} \sum_{n \nmid m} \mu(n) = \sum_{n \geq 1} \mu(n) \sum_{m=1}^{\infty} \frac{x^{nm}}{nm} = \sum_{n \geq 1} -\frac{\mu(n)}{n} \log(1-x^n).$$

Warunki $n \mid m$ i $p \nmid n$ prowadzą do $n \mid mp^{-v}$, gdzie $v = v_p m$. Pierwsza część lematu sprawia, że stosowna suma znika zawsze z wyjątkiem sytuacji, gdy $m = p^v$. \square

Nażenie ekspansu na obie strony drugiej równości jest tak ważne, że otrzymany szereg dostał własną nazwę.

Definicja 7.8.3. Ekspans Artina-Hassego to

$$E_p(x) := \exp\left(\sum_{k=0}^{\infty} \frac{1}{p^k} \cdot x^{p^k}\right).$$

Fakt 7.8.4. Ekspans E_p leży w $1 + x\mathbb{Z}_p[[x]]$, zbiega na $\mathcal{B}(0, 1)$ i spełnia tam $|E_p(x)| = 1$, Rbrt $|E_p(x) - 1| = |x|$. 7.2.2

Dowód. Dowód lepiej podać później, po twierdzeniu 20. \square

Fakt 7.8.5. Promień zbieżności $\exp(x + x^p : p)$ wynosi $r_p^\alpha = r_f < 1$, zatem $r_p < r_f$, gdzie r_p to promień zbieżności $\exp x$ i $\alpha = (2p - 1) : p^2$.

Podamy teraz inny dowód faktu, że współczynniki szeregu potęgowego Artina-Hassego leżą w \mathbb{Z}_p . To, jak bardzo podniesienie $f(x^p)$ przypomina $f(x)^p$ jest miarą całkowitości współczynników f . Dokładniej:

Twierdzenie 20 (Dieudonné, Dwork). Formalny szereg potęgowy $f(x) \in 1 + x\mathbb{Q}_p[[x]]$ ma Rbrt współczynniki w \mathbb{Z}_p , wtedy i tylko wtedy gdy spełniony jest warunek 7.2.3

$$\frac{f(x)^p}{f(x^p)} \in 1 + px\mathbb{Z}_p[[x]].$$

Dowód. Dowód implikacji \Rightarrow : jeżeli $f(x) \in 1 + x\mathbb{Z}_p[[x]]$, to mamy $f(x)^p \equiv f(x^p) \pmod{p}$. Oba szeregi leżą w $1 + x\mathbb{Z}_p[[x]]$, $f(x^p)$ jest odwracalny.

W drugą stronę: napiszmy $f(x) = \sum_{i=0}^{\infty} a_i x^i$ (gdzie a_0 to 1, $a_i \in \mathbb{Q}_p$) i założmy, że

$$f(x)^p = f(x^p) \left[1 + p \sum_{i=1}^{\infty} b_i x^i \right] b_j \in \mathbb{Z}_p.$$

Widać, że $b_1 = a_1 \in \mathbb{Z}_p$. Założmy (dla kroku indukcyjnego), że $a_i \in \mathbb{Z}_p$ dla $i < n$ i porównajmy współczynniki przy x^n po obu stronach. Po lewej stronie stoi

$$\left[\sum_{i \leq n} a_i x^i \right]^p = \sum_{i \leq n} a_i^p x^{ip} + p(\dots).$$

Niezapisane jednomiany to iloczyny $a_{i_1} \dots a_{i_p} x^{\sum i_k}$. Mają (przynajmniej) dwa różne indeksy i_k . Wyznamy je mod \mathbb{Z}_p , a zatem wszystkie jednomiany bez a_n nie będą grały wielkiej roli: z założenia indukcyjnego mają współczynniki w \mathbb{Z}_p . Jedyne interesujące wielomiany z a_n mają pojedynczy czynnik $a_n x^n$ i pozostałe $a_0 = 1$. Zatem po lewej stronie przy x^n stoi a_i^p (jeśli $ip = n$) $+ pa_n$ i rzeczy z $p\mathbb{Z}_p$. Umówmy się, że $a_{n/p} = 0$ dla $p \nmid n$. Po prawej stronie,

$$\sum_{i \leq n/p} a_i x^{pi} \cdot \left(1 + p \sum_{i \leq n} b_i x^i \right),$$

współczynnik przy x^n to $a_{n/p} +$ gruz z $p\mathbb{Z}_p$. Ale mamy $n/p < n$, więc założenie indukcyjne daje $a_{n/p} \in \mathbb{Z}_p$, zatem $a_{n/p}^p \equiv a_{n/p}$ modulo $p\mathbb{Z}_p$, $pa_n \in p\mathbb{Z}_p$ i $a_n \in \mathbb{Z}_p$. \square

Przykład 7.8.6. Eksponens E_p spełnia równość formalnych szeregów $E_p(x)^p = \exp(px)E_p(x^p)$. Spójrz niżej.

Fakt 7.8.7. Mamy $e^{px} \in 1 + px\mathbb{Z}_p[[x]]$, a dla nieparzystego p nawet $e^{px} \in 1 + px\mathbb{Z}_p\{x\}$.

Dowód. Mamy $v_p(n!) = (n - S_p(n)) : (p - 1)$, zatem dla $n \geq 1$ jest $v_p(p^n : n!) \geq 1$. Dla $p = 2$ równość zachodzi dokładnie dla $S_2(n) = 1$, czyli $n = 2^v$.

Jeśli $p \geq 3$, to $v_p(p^n : n!) \geq (p - 2)(p - 1) \cdot n \rightarrow \infty$. \square

7.9 Eksponens (Dworka)

Rbrt Pierwiastkami równania $x + x^p : p = 0$ są zero i pierwiastki $x^{p-1} + p = 0$, „ π ” Problem w 7.2.4 tym, że nie możemy dokonać tu podstawienia: $\exp(\pi + \pi^p : p) \neq \exp(0) = 1!$

W klasycznym \mathbb{C} -przypadku pierwiastki jedności dają się określić jako specjalne wartości eksponensy. Okazuje się, że tutaj również, poniższa obserwacja pochodzi od Dworka.

Fakt 7.9.1. Niech $\pi^{p-1} + p = 0$ oraz $\zeta_\pi := \exp(\pi + \pi^p : p)$. Wtedy ζ_π jest p -tym pierwiastkiem jedności równym $1 + \pi \pmod{\pi^2}$.

Zauważmy, że zazwyczaj takie π żyje w \mathbb{Q}_p^a .

Definicja 7.9.2. Szereg Dworka to $E_\pi(x) := \exp(\pi(x - x^p))$, jest elementem $\mathbb{Q}_p(\pi)[[x]]$.

Twierdzenie 21 (Dworka). Rozszerzenie $\mathbb{Q}_p(\pi)$ jest całkowicie oraz poskromienie rozgałęzione, stopnia $p - 1$, Galois: to $\mathbb{Q}_p(\mu_p)$.

Dokładniej: dokładnie jeden element $\zeta_\pi \in \mathbb{Q}_p(\pi)$ jest p -tym pierwiastkiem jedności, że $\zeta_\pi \equiv 1 + \pi \pmod{\pi^2}$, promień zbieżności $E_\pi(x)$ to $p^\beta > 1$, $\beta = 1/p - 1/p^2$, a jeśli $a \in \mathbb{Q}_p$ i $a^p = a$, to $E_\pi(a)^p = 1$, $E_\pi(a) \equiv 1 + a\pi \pmod{\pi^2}$.

Nastąpił czas sum Gaußa.

Rbrt

7.2.5

Definicja 7.9.3. Morfizm $\psi: \mathbb{F}_q \rightarrow \mathcal{K}^\times$ to addytywny charakter \mathbb{F}_q . Morfizm $\chi: \mathbb{F}_q^\times \rightarrow \mathcal{K}^\times$, $\chi(0) = 0$ to multiplikatywny charakter \mathbb{F}_q , gdzie q jest potęgą p . Nazewnictwo jest tradycyjne.

Fakt 7.9.4. Każda rodzina homomorfizmów $\mathcal{G} \rightarrow \mathcal{K}^\times$ jest liniowo niezależna w \mathcal{K} -liniowej p . funkcji $\mathcal{G} \rightarrow \mathcal{K}$ (grupa, ciało).

Fakt 7.9.5. Jeśli $\tau: \mathbb{F} \rightarrow \mathcal{K}^\times$ to nietrywialny charakter (addytywny) skończonego ciała, nie ma innych charakterów niż $\psi(x) = \tau(ax)$ dla różnych $a \in \mathbb{F}$.

Przejdźmy do tw. Grossa-Koblitz. Wybierzmy pierwotny p -ty pierwiastek jedności Rbrt $\zeta_p \in \mathbb{C}_p$, niech $\mathcal{K} = \mathbb{Q}_p(\zeta_p)$. Jak widzieliśmy, ideał \mathfrak{p} jest maksymalny w \mathcal{O}_p . Istnieje 7.2.6 generator (jedyne!) π dla \mathfrak{p} , że $\pi^{p-1} = -p$ oraz $\pi \equiv \zeta_p - 1 \pmod{(\zeta_p - 1)^2}$. Odwrotnie, wybór π , pierwiastka $\pi^{p-1} = -p$ w \mathbb{C}_p , daje ciało $\mathcal{K} = \mathbb{Q}_p(\pi)$, czyli rozszerzenie Galois dla \mathbb{Q}_p , ze wszystkimi pierwiastkami jedności rzędu p . Tylko jeden z nich spełnia $\zeta_p \equiv 1 + \pi \pmod{\pi^2}$ (szereg Dworka $E_\pi(1) = \zeta_p$).

Addytywny charakter \mathbb{F}_p jest określony przez $\psi(1) \in \mu_p$. Wybierzmy $\psi(1) = \zeta_\pi$, wtedy $\psi(v) = \zeta_\pi^v$ dla $v \in \mathbb{F}_p$. Od tej chwili rozpatrywać możemy sumy Gaußa postaci

$$G(\chi, \psi) = \sum_{x \in \mathbb{F}_p} \chi(x) \zeta_\pi^x, \chi(0) = 0,$$

χ jest multiplikatywnym charakterem \mathbb{F}_p z wartościami w \mathcal{K} . Dokładniej, wartości χ to pierwiastki jedności rzędu dzielącego $p - 1$ (i 0): $G(\chi, \psi) \in \mathbb{Q}(\mu_p, \mu_{p-1}) = \mathbb{Q}(\mu_{p(p-1)})$. Interesujące są sumy Gaußa postaci

$$\sum_{x \in \mathbb{F}_p^\times} \omega(x)^{-a} \psi(x) = \sum_{x \in \mathbb{F}_p} \omega(x)^{-a} \zeta_\pi^x, \omega(0) = 0$$

gdzie $\omega(x) \in \mu_{p-1}$ to jedyny pierwiastek jedności w \mathcal{K} mający redukcję x w ciele reszduów \mathcal{O}/\mathfrak{p} dla \mathcal{K} . Tutaj, całkowita a liczy się tylko mod $p - 1$: lepiej wziąć $\alpha \in \frac{1}{p-1} \mathbb{Z}/\mathbb{Z}$ i położyć

$$G_\alpha = - \sum_{x \in \mathbb{F}_p} \omega(x)^{-(p-1)\alpha} \zeta_\pi^x, \omega(0) = 0$$

Wybieramy taki znak, by G_0 było równe 1. Warto nadmienić, że te sumy Gaußa związane są z p -adyczną funkcją Γ Mority: kiedy $\alpha = a/(p - 1)$ dla $0 \leq a < p - 1$, możemy napisać wprost: $G_\alpha = \pi^a \Gamma_p(\alpha)$ (szczególny przypadek tw. Grossa-Koblitz).

Wartości Γ_p są jednościami w \mathbb{Z}_p , poprzedni wzór daje więc dokładny rząd $|G_\alpha| = |\pi|^a$, czyli $r_p^\alpha = |p|^{a/(p-1)}$. Przytoczone wyżej twierdzenie pokaże $\Gamma_p(a/(p - 1)) \in \mathbb{Q}(\pi, \mu_{p^2-p})$, a ta wartość jest algebraiczna, bo $\pi^{p-1} = -p$.

Spróbujemy uogólnić to wszystko.

Niech p nie dzieli n , mianownika $\alpha \in \mathbb{Z}_{(p)} = \mathbb{Q} \cap \mathbb{Z}_p$. Dla wysokiej potęgi $q = p^f$ rozszerzenie \mathbb{F}_q stopnia f swego prostego ciała zawiera n -ty pierwiastek jedności, więc będziemy pracować w poskromionym rozszerzeniu rozgałęzionym $\mathcal{K} = \mathbb{Q}_p(\pi, \mu_{q-1}) \subset \mathbb{C}_p$ o indeksie rozgałęzienia $e = p - 1$, stopniu residuum f i przez to stopnia $m = ef$ nad \mathbb{Q}_p .

Dla $\alpha \in \frac{1}{N}\mathbb{Z}/\mathbb{Z} \subset \frac{1}{q-1}\mathbb{Z}/\mathbb{Z}$ wybieramy reprezentację $0 \leq \langle \alpha \rangle = a/(q-1) < 1$ oraz piszemy p -adyczne rozwinięcie licznika $a = a_0 + a_1p + \dots < q-1 < q$. Niech $S_p(a)$ oznacza sumę cyfr a , zaś całkowite $a^{(i)}$ za rozwinięcie mają cykliczną permutację $a = a^{(0)}$. Przykładowo $a^{(1)} = a_{f-1} + a_0p + \dots + a_{f-2}p^{f-1}$.

Z drugiej strony, jeśli nietrywialny addytywny charakter ψ ciała prostego \mathbb{F}_p jest nadal taki sam, to złożenie ψ ze śladem $\text{Tr}: \mathbb{F}_q \rightarrow \mathbb{F}_p, x \mapsto x + x^p + \dots + x^*$, (gdzie $*$ = p^{f-1}) jest nietrywialnym addytywnym charakterem \mathbb{F}_q .

Nietrywialność śladu wynika z tego, że rozszerzenie $\mathbb{F}_q/\mathbb{F}_p$ jest rozdzielcze (\mathbb{F}_q jest skończone).

Czas na niespodziankę.

Twierdzenie 22 (Gross-Koblitz, 1979). Suma Gaussa G_α dla $0 \leq \alpha = a/(q-1) < 1$ to

$$-\sum_{\substack{x \neq 0 \\ x \in \mathbb{F}_p}} \omega(x)^{-a} \psi(\text{Tr}(x)) = \pi^{S_p(a)} \prod_{j=0}^{f-1} \Gamma_p \left(\frac{a^{(j)}}{q-1} \right).$$

7.10 Funkcja ζ Riemanna

Kbltz Rozpatrzmy zbiór liczb

2.1

$$f(2k) = 2 \cdot \frac{\zeta(2k)}{\pi^{2k}} \cdot (1 - p^{2k-1}) \cdot \frac{(2k-1)!}{(-4)^k},$$

gdy $2k$ przebiega wszystkie dodatnie liczby parzyste w tej samej klasie abstrakcji modulo $p-1$. Okazuje się, że $f(2k)$ zawsze jest wymierna. Co więcej, jeśli dwie wartości $2k$ są p -adycznie bliskie, to $f(2k)$ też są bliskie sobie (zakładając, że $2k$ nie dzieli się przez $p-1$). Oznacza to, że funkcję f można jednoznacznie przedłużyć do $\mathbb{Z}_p \rightarrow \mathbb{Q}_p$.

Lemat 7.10.1. Niech $n = 2k + 1 > 0$ będzie liczbą nieparzystą. Wtedy możemy napisać

$$\sin(nx) = P_n(\sin x) \bullet \cos(nx) = Q_{n-1}(\sin x) \cdot \cos x,$$

gdzie wielomian P_n (Q_{n-1}) ma całkowite współczynniki oraz stopień co najwyżej n ($n-1$).

Dowód. Będziemy dowodzić indukcyjnie względem k . Lemat trywializuje się dla $k = 0$ ($n = 1$). Załóżmy, że zachodzi dla $k-1$. Wtedy

$$\begin{aligned} \sin[(2k+1)x] &= \sin[(2k-1)x + 2x] = \sin(2k-1)x \cos 2x + \cos(2k-1)x \sin 2x \\ &= P_{2k-1}(\sin x)(1 - 2\sin^2 x) + \cos x Q_{2k-2}(\sin x) 2 \sin x \cos x. \end{aligned}$$

Dowód dla kosinusa jest bardzo podobny. □

Fakt 7.10.2. Mamy $\pi x \prod_{n \geq 1} (1 + x^2/n^2) = \sinh(\pi x) = \frac{1}{2}(\exp(\pi x) - \exp(-\pi x)), x \in \mathbb{R}$.

Dowód. Podręcznik rzeczywistego analizy. □

Fakt 7.10.3. *Zachodzi równość*

$$\zeta(2k) = (-1)^k \pi^{2k} \frac{2^{2k-1}}{(2k-1)!} \left(-\frac{B_{2k}}{2k} \right).$$

Dowód. Zlogarytmujmy „fakt” 7.10.2. Po prawej mamy $\log(1 - \exp(-2\pi x)) + \pi x - \log 2$, natomiast po lewej $\log \pi + \log x - \sum_{k \geq 1} (-1)^k x^{2k} \zeta(2k)/k$, dla $x \in (0, 1)$. Różniczkujemy wyraz po wyrazie względem x , mnożymy przez x i zamieniamy x na $x/2$:

$$\frac{\pi x}{e^{\pi x} - 1} + \frac{\pi x}{2} = 1 + \sum_{k=1}^{\infty} \frac{(-1)^{k+1} \zeta(2k)}{2^{2k-1}} x^{2k}$$

Wystarczy przyrównać współczynniki parzystych potęg x . □

7.10.1 Interpolacja funkcji $s \mapsto a^s$

Później chętnie podamy dobrą motywację dla osobliwych kroków, które inaczej mogłyby Kbltz wydać się dziwaczne, ale jeszcze nie teraz. Zajmiemy się interpolacją funkcji wykładniczej.^{2.2}

Niech $a = n$ będzie ustaloną liczbą naturalną zanurzoną w \mathbb{Q}_p . Dla każdej naturalnej s , n^s należy do \mathbb{Z}_p . Liczby naturalne tworzą gęsty zbiór w \mathbb{Z}_p , więc można próbować przedłużyć $f(s) = n^s$ (w oparciu o ciągłość), ale napotkamy na problemy.

Niech m będzie dużą potęgą p .

Czy n^s i n^t są sobie bliskie dla bliskich s i t , przykładowo: $t = s + m$ dla dużego m ? Niekoniecznie. Jeżeli $n = p$, $s = 0$, to $|n^s - n^t|_p = |1 - p^{t-s}|_p = 1$, niezależnie od wyboru m . Małe twierdzenie Fermata orzeka, że $n \equiv n^p \pmod p$ dla $1 < n < p$, co pociąga $n \equiv n^p \equiv \dots \equiv n^m \pmod p$, a to z kolei implikuje $n^s - n^{s+m} = n^s(1 - n^m) \equiv n^s(1 - n) \pmod p$ i znowu $|n^s - n^t|_p = 1$ niezależnie od m .

Na szczęście nie jest aż tak tragicznie. Wybierzmy n takie, by przystawało do 1 modulo p , na przykład $n = 1 + kp$. Niech $|t - s|_p \leq m^{-1}$, czyli $t = s + qm$ dla $q \in \mathbb{Z}$. Załóżmy, że $t > s$. Zachodzi $|n^s - n^t|_p = |1 - n^{t-s}|_p = |1 - (1 + kp)^{qm}|_p$. Ale rozwinięcie $(1 + kp)^{qm}$ w newtonowską sumę

$$1 + (qm)kp + \frac{qm(qm-1)}{2}(kp)^2 + \dots + (kp)^{qm}$$

pokazuje, że wartość bezwzględna $n^s - n^t$ można szacować z góry przez małą wielkość $|m|/p$.

Okazuje się, że p wcale nie musi dzielić $n - 1$, by $s \mapsto a^s$ była ciągłą funkcją $\mathbb{Z}_p \rightarrow \mathbb{Z}_p$. Zažadajmy mianowicie, by s i t przystawały modulo $p - 1$ oraz modulo wysoka potęga p , zaś n niech nie będzie krotnością p . Dokładniej, ustalmy $s_0 \in \{0, 1, \dots, p - 2\}$.

Zamiast brać n^s dla naturalnych s , ograniczmy się do tych (s) , które przystają do s_0 modulo $p - 1$. Teraz $s = s_0 + (p - 1)s_1$ dla nieujemnej s_1 i badamy $n^{s_0 + (p-1)s_1}$. Możemy, gdyż $n^s = n^{s_0} (n^{p-1})^{s_1}$, a przy tym $n^{p-1} \equiv 1 \pmod p$. Wracamy do początku z n^{p-1} zamiast n , s_1 zamiast s (z dodatkowym czynnikiem n^{s_0}).

Przejdźmy do funkcji zeta Riemanna określonej dla $s > 1$. Naiwna interpolacja sumy przez interpolację składników nie zadziała, gdyż nawet wyrazy, które można interpolować ($p \nmid n$) tworzą rozbieżny szereg w \mathbb{Z}_p . Zapomnijmy jednak o tym na chwilę.

$$\zeta(s) = \sum_{n=1}^{\infty} \frac{1}{n^s}$$

Pozbądźmy się wyrazów, którym odpowiadają n podzielne przez p .

$$\zeta(s) = \sum_{n \geq 1} \frac{1}{n^s} + \sum_{n \geq 1} \frac{1}{n^s} = \sum_{n \geq 1} \frac{1}{n^s} + \frac{\zeta(s)}{p^s} = \frac{1}{1 - p^{-s}} \sum_{n \geq 1} \frac{1}{n^s} = \prod_{q \in \mathbb{P}} \frac{1}{1 - q^{-s}}.$$

Później zajmiemy się ostatnim członem, $\zeta^*(s) = (1 - p^{-s})\zeta(s)$. Proces ten zwie się „wyjmowaniem p -czynnikiem Eulera”, gdyż funkcja ζ ma słynne przedstawienie (iloczyn zapisany liniijkę wyżej).

Na zakończenie zapowiadamy $(1 - p^{2k-1})(-B_{2k}/2k) \equiv (1 - p^{2l-1})(-B_{2l}/2l) \pmod{p^{n+1}}$, kongruencję dla dobrych k, l , która została odkryta jeszcze przez Kummera, ale jej ważność dla p -adycznego odpowiednika funkcji ζ Riemanna została dostrzeżona dopiero przez Kubotę i Leopolda w 1964.

7.10.2 Dystrybucje

Kbtz Dystrybucje zdefiniowane niżej mają mało wspólnego z analizą funkcjonalną, ale ta nazwa 2.3 nie jest w ostateczności taka zła. Otwarty podzbiór \mathbb{Q}_p jest zwarty, wtedy i tylko wtedy gdy jest skończoną unią przedziałów. To wiele tłumaczy.

Zbiory $x + p^n \mathbb{Z}_p$ ($x \in \mathbb{Q}_p$, $n \in \mathbb{Z}$) nazwiemy *przedziałami* lub *dyskami* i oznaczymy $\langle x \rangle_n$.

Definicja 7.10.4. Dystrybucja na zwarto-otwartym $X \subseteq \mathbb{Q}_p$ jest \mathbb{Q}_p -liniowym morfizmem μ z „ p -lokalnie stałych $X \rightarrow \mathbb{Q}_p$ ” w \mathbb{Q}_p .

Skrótowno $\oint f \mu := \mu(f)$. Okazuje się, że można podać inną definicję dystrybucji:

Definicja 7.10.5. Addytywna funkcja z rodziny zwarto-otwartych $Y \subseteq X$ w \mathbb{Q}_p .

Przejsie między nimi zapewniają indykatory.

Fakt 7.10.6. Każda funkcja μ ze zbioru „przedziałów” z X w \mathbb{Q}_p , dla której prawdziwa jest poniższa równość, przedłuża się jednoznacznie do dystrybucji na X : $\sum_{k=0}^{p-1} \mu(\langle x + kp^n \rangle_{n+1}) = \mu(\langle x \rangle_n)$.

Dowód. Jeśli zwarto-otwarty zbiór $U \subseteq X$ jest unią U_s , trzeba zdefiniować $\mu(U)$ jako $\sum_s \mu(U_s)$. Mając dwie partycje, $\bigcup_s I_s = \bigcup'_s I_s$, możemy znaleźć drobniejszą: $I_s = \bigcup_t I_{st}$. Zbiory I_{st} przebiegają przez dyski $\langle y \rangle_m$ dla ustalonego $m > n$ i zmiennej $y \equiv x \pmod{p^n}$, gdy I_s jest postaci $\langle x \rangle_n$.

Wykorzystamy wielokrotnie wzór z założenia do pokazania, że dystrybucja nie zależy od partycji: $\mu(I_s)$, czyli $\mu(\langle x \rangle_n)$, to $\sum_k \mu(\langle x + kp^n \rangle_m)$ (suma od $k = 0$ do $p^{m-n} - 1$), jednak to jest po prostu $\sum_t \mu(I_{st})$. Addytywność jest oczywista. \square

Podamy teraz kilka przykładów dystrybucji dla $\alpha \in \mathbb{Z}_p$.

1. Haara: $\mu(\langle a \rangle_n) := |p^n|$. Przedłuża się do całego \mathbb{Z}_p i jest jedyną niezmienniczą na przesunięcia.
2. Diraca: $\mu_\alpha(U) = 1$, wtedy i tylko wtedy gdy $\alpha \in U$.
3. Mazura: $\mu_{\text{Mazur}}(\langle a \rangle_n) = a|p^n| - 1/2$, jeśli a leży między 0 , $p^n - 1$ i jest wymierną całkowitą.

Pisząc (teraz) $\langle a \rangle_n$ zakładamy, że $0 \leq a \leq p^n - 1$.

Fakt 7.10.7. Funkcja μ_B^i przedłuża się do dystrybucji na \mathbb{Z}_p , „ i -tej Bernoulliego” (dla $i \in \mathbb{N}$): $\mu_B^i(\langle x \rangle_n) = p^{n(i-1)} B_i(x|p^n|)$.

Dowód. Lewa strona z faktu 7.10.6 ma wartość $p^{(n+1)(i-1)} \sum_{k=0}^{p-1} B_i(x|p^{n+1}| + k|p|)$, więc po przemnożeniu przez $p^{n(1-i)}$ okazuje się, że tak naprawdę pokazujemy prostszą równość $B_i(\lambda p) = p^{i-1} \sum_{k=0}^{p-1} B_i(\lambda + k|p|)$, gdzie podłożyliśmy $\lambda = xp^{-n-1}$.

Wyrażenie po prawej stronie to, z definicji, i !-krotność dla współczynnika przy z^i w

$$p^{i-1} \sum_{k=0}^{p-1} \frac{z \exp((x + k|p|)z)}{\exp z - 1} = \frac{p^{i-1} i \exp(\lambda i)}{\exp(i|p|) - 1},$$

przy czym jest to równe dokładnie

$$\frac{p^i (|p|z) \exp[(\lambda p)|p|z]}{\exp(|p|z) - 1} = p^i \sum_{k=0}^{\infty} B_k(\lambda p) \frac{(|p|z)^k}{k!}.$$

W ten sposób doszliśmy do równości kończącej dowód: $p^i B_i(\lambda p) p^{-i} = B_i(\lambda p)$. □

Warto zauważyć, że takiej wielomianowej dystrybucji nie można zdefiniować z czymś istotnie innym (innymi wielomianami) – przyjmujemy to jednak bez dowodu.

7.10.3 Miary i całki

Definicja 7.10.8. Dystrybucja p -adyczna μ na X , której wartości są ograniczone przez stałą na Kbltz zwarto-otwartych $U \subseteq X$, to miara. 2.4

Dystrybucja Diraca μ_α dla ustalonego $\alpha \in \mathbb{Z}_p$ jest miarą, ale dystrybucje Bernoulliego nie. Dzięki „regularyzacji” można to naprawić. Dla $x \in \mathbb{Z}_p$ niech $\{x\}_n$ będzie wymierną całkowitą między 0 , $p^n - 1$, która przystaje do $x \bmod p^n$, natomiast $\lambda \neq 1$ pewną całkowitą wymierną niepodzielną przez p ; $\mu_{k,\lambda}$ będzie zregularyzowaną dystrybucją Bernoulliego na \mathbb{Z}_p : $\mu_{k,\lambda}(U) = \mu_B^k(U) - \lambda^{-k} \mu_B^k(\lambda U)$.

Fakt 7.10.9. $|\mu_{1,\lambda}(U)|_p \leq 1$ dla zwarto-otwartych $U \subseteq \mathbb{Z}_p$.

Dowód. Zauważmy, że $(1/\lambda - 1) \in 2\mathbb{Z}_p$, jeżeli $p \neq 2$. Kiedy $p = 2$, to $1/\lambda - 1 \equiv 0 \bmod 2$ i wszystko w porządku. Skoro $[\lambda x|p^n|] \in \mathbb{Z}$, ze wzoru $2\lambda \mu_{1,\lambda}(\langle x \rangle_n) = 2[\lambda x|p^n|] + 1 - \lambda$ wynika $\mu_{1,\lambda}(\langle x \rangle_n) \in \mathbb{Z}_p$, co kończy dowód. □

Zatem $\mu_{1,\lambda}$ jest miarą i gra pierwsze skrzypce w p -adycznej teorii całki, jest niemalże tak ważna, jak dx w \mathbb{R} -analizie.

Udowodnimy teraz kluczową kongruencję wiążącą $\mu_{k,\lambda}$ z $\mu_{1,\lambda}$. Wydaje się, że dowód ten jest nieprzyjemnie obliczeniowy, ale staje się zrozumiały, kiedy pomyśli się o podobnej sytuacji w zwykłej analizie.

Jeśli walczymy z całką $\int f(x^{1:k}) dx$ i podstawimy $x \mapsto x^k$, to (skoro $d(x^k) : dx = kx^{k-1}$) $d(x^k)$ udaje miarę μ_k wzorem $\mu_k[a, b] = b^k - a^k$. Nasza relacja przyjmuje postać

$$\lim_{b \rightarrow a} \frac{\mu_k([a, b])}{\mu_1([a, b])} = ka^{k-1}.$$

Fakt 7.10.10. Niech d_k oznacza najmniejszy wspólny mianownik dla współczynników $B_k(x)$. Wtedy $d_k \mu_{k,\lambda}(\langle a \rangle_n) \equiv d_k ka^{k-1} \mu_{1,\lambda}(\langle a \rangle_n) \pmod{p^n}$.

Dowód. Prosto z definicji wynika, że wielomian $B_k(x)$ zaczyna się od $x^k - (k : 2)x^{k-1} + \dots$, więc teraz $d_k \mu_{k,\lambda}(\langle a \rangle_n) = d_k p^{n(k-1)} (B_k(ap^{-n}) - \lambda^{-k} B_k(\{\lambda a\}_n p^{-n}))$.

Wielomian $d_k B_k(x)$ ma całkowite współczynniki i stopień k . Wystarczy więc zająć się dwoma wiodącymi członami, to jest $d_k x^k - d_k (k : 2)x^{k-1}$, ponieważ nasz x ma mianownik p^n (tu niższe człony zostają zjedzone przez $p^{n(k-1)}$). Skorzystamy teraz z $\beta \equiv \{\beta\}_n \pmod{p^n}$, a także $\{\beta\}_N |p^n| = \beta p^{-n} - \lfloor \beta p^{-n} \rfloor$ (podłoga). Niech $\beta = \lambda a$ i $I = d_k \mu_{k,\lambda}(\langle a \rangle_n)$.

$$\begin{aligned} I &\equiv d_k p^{n(k-1)} \left(\frac{a^k}{p^{nk}} - \frac{\{\beta\}_n^k}{\lambda^k p^{nk}} - \frac{k}{2} \left(\frac{a^{k-1}}{p^{n(k-1)}} - \frac{1}{\lambda^k} \frac{\{\beta\}_n^{k-1}}{p^{n(k-1)}} \right) \right) \\ &= d_k \left(\frac{a^k}{p^n} - \frac{p^{n(k-1)}}{\lambda^k} \left(\frac{\beta}{p^n} - \left\lfloor \frac{\beta}{p^n} \right\rfloor \right)^k - \frac{k}{2} \left(a^{k-1} - \frac{p^{n(k-1)}}{\lambda^k} \left(\frac{\beta}{p^n} - \left\lfloor \frac{\lambda}{p^n} \right\rfloor \right)^{k-1} \right) \right) \\ &\equiv d_k \left(\frac{a^k}{p^n} - \frac{1}{\lambda^n} \left(\frac{\beta^k}{p^n} - k \lambda^{k-1} a^{k-1} \left\lfloor \frac{\beta}{p^n} \right\rfloor \right) - \frac{k}{2} (a^{k-1} - \lambda^{-k} \beta^{k-1}) \right) \\ &= d_k ka^{k-1} \left(\frac{1}{\lambda} \left\lfloor \frac{\beta}{p^n} \right\rfloor + \frac{\lambda^{-1} - 1}{2} \right) = d_k ka^{k-1} \mu_{1,\lambda}(\langle a \rangle_n). \end{aligned}$$

przy czym wszystkie przystawania są $\pmod{p^n}$. □

Wniosek 7.10.11. $\mu_{k,\lambda}$ jest miarą dla $k \geq 1$ i $\lambda \in \mathbb{Z} \setminus (p\mathbb{Z} \cup \{1\})$.

Dowód. Dla $Y = \langle a \rangle_n$, $|\mu_{k,\lambda}(Y)|_p \leq \max(|p^n d_k^{-1}|_p, |ka^{k-1} \mu_{1,\lambda}(Y)|_p)$, co można dalej ograniczyć przez $\max(|d_k^{-1}|_p, |\mu_{1,\lambda}(Y)|_p) \leq 1 + |d_k|_p^{-1}$. □

Po co w ogóle zmieniać dystrybucje Bernoulliego na miary? Dla nieograniczonych dystrybucji μ , $\oint f \mu$ jest zdefiniowana tylko dla lokalnie stałych f , zaś już ciągłe stanowią dla niej problem. „Miarą” μ jest do niczego, jeśli nie można całkować względem niej ciągłych. Na przykład sumy Riemanna dla dystrybucji Haara i $\text{id} : \mathbb{Z}_p \rightarrow \mathbb{Z}_p$ zależą od partycji pierścienia \mathbb{Z}_p . Pokażemy, że dla ograniczonych dystrybucji nic się jednak nie psuje, jeśli X jest zwarto-otwartym podzbiorem \mathbb{Z}_p .

Fakt 7.10.12. Niech μ będzie p -adyczną miarą na X , zaś f ciągłą funkcją $X \rightarrow \mathbb{Q}_p$. Wtedy sumy Riemanna zbiegają do granicy w \mathbb{Q}_p gdy $n \rightarrow \infty$, niezależnie od wyboru $x_{a,n} \in \langle a \rangle_n$ (ale sumujemy tylko po tych a , że $\langle a \rangle_n \subseteq X$):

$$S_{n, \{x_{a,n}\}} = \sum_{a=0}^{p^n-1} f(x_{a,n}) \mu(\langle a \rangle_n).$$

Dowód. Niech $\mu(U) \leq B$ dla zwarto-otwartych $U \subseteq X$. Rozpiszmy X jako skończoną unię dysków i weźmy tak duże n , że zbiory $\langle a \rangle_n$ leżą w X lub są z nim rozłączne, aby móc oszacować $|S_{n,\{x(a,n)\}} - S_{m,\{x(a,m)\}}|_p$ dla $m > n$.

Bez straty ogólności przyjmujemy, że $|f(x) - f(y)|_p < \varepsilon$ dla $x \equiv y \pmod{p^n}$. Wtedy (druga suma po $\langle a \rangle_m \subseteq X$):

$$\begin{aligned} \dots &= |S_{n,\{x(a,n)\}} - S_{m,\{x(a,m)\}}|_p = \left| \sum_{a=0}^{p^m-1} (f(x_{\bar{a},n}) - f(x_{a,m})) \mu(\langle a \rangle_m) \right|_p \\ &\leq \max(|f(x_{\bar{a},n}) - f(x_{a,m})|_p \cdot |\mu(\langle a \rangle_m)|_p) \leq \varepsilon B, \end{aligned}$$

bo $x_{\bar{a},n} \equiv x_{a,m} \pmod{p^n}$ (lewa strona jest bowiem z definicji najmniejszą nieujemną klasą abstrakcji). Sumy Riemanna mają jakąś granicę.

Bardzo podobnie pokazuje się to, że jest niezależna ona od wyboru ciągu $x_{a,n}$. \square

Definicja 7.10.13. Całką (Koblitz) z ciągłej funkcji $f: X \rightarrow \mathbb{Q}_p$ względem miary μ jest granica sum Riemanna, o ile istnieje.

Definicja zgadza się z poprzednią dla lokalnie stałych f .

Fakt 7.10.14. Jeśli ciągła funkcja $f: X \rightarrow \mathbb{Q}_p$ spełnia $|f(x)|_p \leq A$ dla $x \in X$ i $\mu(U) \leq B$ dla zwarto-otwartych $U \subseteq X$, to $|\oint f \mu|_p \leq AB$.

Wniosek 7.10.15. Jeżeli $f, g: X \rightarrow \mathbb{Q}_p$ są ciągłymi funkcjami, dla których $|f(x) - g(x)|_p \leq \varepsilon$ dla wszystkich $x \in X$ i $\mu(U) \leq B$ dla zwarto-otwartych $U \subseteq X$, to $|\oint f \mu - \oint g \mu|_p \leq \varepsilon B$.

7.10.4 Transformacja Mellina-Mazura

Jeśli $X \subseteq \mathbb{Z}_p$ jest zwarty i otwarty, to można do niego obciąć miarę μ z \mathbb{Z}_p : wtedy całka z Kbltz f nad X to całka nad \mathbb{Z}_p funkcji $f \cdot 1_X$. Chcieliśmy interpolować $-B_k/k$. Mamy prosty ^{2.5} związek $\oint 1 \cdot \mu_B^k = \mu_B^k(\mathbb{Z}_p) = B_k$. Dla różnych k dystrybucje μ_B^k nie są ze sobą związane, ale ich regularne odpowiedniki tak!

Wniosek 7.10.16. Niech funkcja $X \subseteq \mathbb{Z}_p$ będzie zwarto-otwarty. Określmy funkcję $f: \mathbb{Z}_p \rightarrow \mathbb{Z}_p$ wzorem $f(x) = x^{k-1}$. Wtedy

$$\oint_X 1 \cdot \mu_{k,\lambda} = k \oint_X f \mu_{1,\lambda}$$

Dowód. Z faktu 7.10.10 możemy wywnioskować $\mu_{k,\alpha}(\langle a \rangle_n) \equiv k a^{k-1} \mu_{1,\alpha}(\langle a \rangle_n) \pmod{p^m}$ dla $m = n - v_p(d_k)$. Biorąc n tak duże, by X było unią dysków postaci $\langle a \rangle_n$, mamy

$$\oint_X 1 \mu_{k,\lambda} = \sum_{a=0}^{p^n-1} \mu_{k,\lambda}(\langle a \rangle_n) \equiv \sum_{a=0}^{p^n-1} k a^{k-1} \mu_{1,\lambda}(\langle a \rangle_n) = k \sum_{a=0}^{p^n-1} f(a) \mu_{1,\lambda}(\langle a \rangle_n).$$

Idziemy z n do nieskończoności. \square

Prawa strona wygląda dużo lepiej, ponieważ k nie pojawia się magicznie w indeksie μ , ale wykładniku (f). Wiemy już, jak wygląda interpolacja x^{k-1} dla ustalonego x : wystarczy nam, by $x \not\equiv 0 \pmod p$. Aby wszystkie argumenty miały tę własność, weźmy $X = \mathbb{Z}_p^\times$.

Twierdzymy, że całkę z x^{k-1} nad \mathbb{Z}_p^\times względem $\mu_{1,\lambda}$ można interpolować. Połączymy teraz odkrycia ustępu o przedłużaniu $s \mapsto a^s$ z wnioskami poprzedniej podsekcji. Wnioski te mówią nam, że jeśli $|f(x) - x^{k-1}|_p \leq \varepsilon$ dla $x \in \mathbb{Z}_p^\times$, to

$$\left| \oint_{\mathbb{Z}_p^\times} f \mu_{1,\lambda} - \oint_{\mathbb{Z}_p^\times} x^{k-1} \mu_{1,\lambda} \right|_p \leq \varepsilon.$$

Wyberźmy za f funkcję x^{l-1} , gdzie $l \equiv k \pmod{p-1}$ oraz p^n . Wtedy pasujący ε to na przykład p^{-n-1} . Tak oto dochodzimy do wniosku, że dla ustalonego $0 \leq s_0 \leq p-2$ i k biegnącego przez $S(s_0) := [s_0 + (p-1)\mathbb{Z}] \cap \mathbb{N}_+$ możemy przedłużyć funkcję do p -adycznych całkowitych:

$$\oint_{\mathbb{Z}_p^\times} x^{k-1} \mu_{1,\lambda} \rightsquigarrow \oint_{\mathbb{Z}_p^\times} x^{s_0+s(p-1)-1} \mu_{1,\lambda}$$

Trochę zabłądziliśmy! Interpolowaliśmy $\oint_{\mathbb{Z}_p^\times} x^{k-1} \mu_{1,\lambda} = \frac{1}{k} \oint_{\mathbb{Z}_p^\times} 1 \mu_{k,\lambda}$. Zwiążemy teraz te dwie liczby.

$$\begin{aligned} \frac{1}{k} \oint_{\mathbb{Z}_p^\times} 1 \mu_{k,\lambda} &= \frac{\mu_{k,\lambda}(\mathbb{Z}_p^\times)}{k} = \frac{B_k}{k} (1 - \lambda^{-k}) (1 - p^{k-1}) \\ &= (\lambda^{-k} - 1) (1 - p^{k-1}) \cdot \oint_{\mathbb{Z}_p} \frac{-1}{k} \mu_B^k. \end{aligned}$$

Wyraz $1 - p^{k-1}$ pojawił się, ponieważ obcieliśmy całkę z \mathbb{Z}_p do \mathbb{Z}_p^\times . Ten fenomen został przewidziany wcześniej: nie można przedłużyć n^s , gdy $p \mid n$ – konieczne jest pozbycie się p -czynnika Eulera. Zajmiemy się więc

$$(1 - p^{k-1}) (-B_k/k) = \frac{1}{\lambda^{-k} - 1} \oint_{\mathbb{Z}_p^\times} x^{k-1} \mu_{1,\lambda}$$

Wystąpienie $k-1$ zamiast $-k$ zaskakuje tylko początkowo, za sprawą funkcyjnego równania wiążącego coś z czymś innym.

Definicja 7.10.17. Jeżeli $k \in \mathbb{N}_+$, to $\zeta_p(1-k) := -(1 - p^{k-1}) \cdot B_k/k$.

Powinniśmy w tym miejscu wyprowadzić pewne klasyczne fakty o liczbach Bernoulliego. Uznawano je za eleganckie, ale i tajemnicze niezwykłości, zanim związano je z ζ_p Kuboty i Leopolda oraz miarą Mazura $\mu_{1,\alpha}$. Clausen z van Staudtem też maczali w tym palce.

Fakt 7.10.18. $k\zeta(1-k) + B_k = 0$.

Dowód. Niech \mathfrak{D} oznacza (lokalnie) $(d/dt)^{k-1} \dots|_{t=0}$.

$$\begin{aligned} \zeta(1-k) &= \sum_{n \geq 1} n^{k-1} = \sum_{n \geq 1} \mathfrak{D} \exp nt = \mathfrak{D} \sum_{n \geq 1} \exp nt = \mathfrak{D} \left[\frac{1}{1 - \exp t} - 1 \right] \\ &= -\mathfrak{D} \frac{1}{t} \sum_{n=1}^{\infty} B_n \frac{t^n}{n!} = \mathfrak{D} \sum_{n=0}^{\infty} -\frac{B_n}{n} \frac{t^{n-1}}{(n-1)!} = -\frac{B_k}{k}. \end{aligned}$$

□

Głębsze przemyślenia sprawiają, że dla $s \in \mathbb{Z}_p$ i ustalonego $s_0 \in \{0, 1, \dots, p-2\}$ ($s \neq 0$, gdy $s_0 = 0$) określamy:

$$\zeta_{p,s_0}(s) := (\lambda^{-(s_0+(p-1)s)} - 1)^{-1} \oint_{\mathbb{Z}_p^\times} x^{s_0+(p-1)s-1} \mu_{1,\lambda}.$$

Jeżeli k jest postaci $s_0 + (p-1)k_0$, to $\zeta_p(1-k)$ i $\zeta_{p,s_0}(k_0)$ są tym samym, więc myślimy o ζ_{p,s_0} jak o p -adycznych „gałęziach” dla ζ_p (interesują nas parzyste s_0 !). Uwaga: prawa strona nie zależy (!) od λ .

Pominęliśmy przypadek $s = s_0 = 0$, bo wtedy mianownik znika, co odpowiada $\zeta_p(1)$. Tak więc p -adyczna funkcja ζ też ma „biegun” w 1.

Fakt 7.10.19. Dla ustalonych p i s_0 funkcja $\zeta_{p,s_0}(s)$ jest ciągła.

Pozostaje wytłumaczyć, skąd wzięła się nazwa podsekcji. Otóż transformatą Mellina funkcji f jest

$$(\mathcal{M}f)(s) = \int_0^\infty x^{s-1} f(x) dx.$$

W \mathbb{R} -analizie transformatą $(\exp x - 1)^{-1}$ jest $\Gamma(s)\zeta(s)$, zaś ζ_p możemy traktować jako transformatę Mellina-Mazura dla zregulowanej miary $\mu_{1,\lambda}$.

Fakt 7.10.20. Funkcje $\exp x$, $\cos x$, $\frac{1}{x} \sin x$, $\frac{1}{x} \log 1+x$ są tam, gdzie $\exp x$ jest określona, kwadratami funkcji p -adycznych.

7.11 Stałe matematyczne

Fakt 7.11.1. W żadnym z ciał \mathbb{Q}_p nie ma stałej Nepera.

Schik

45.E

Dowód. Szereg dla $\exp_p(1)$ jest rozbieżny w \mathbb{Q}_p , zaś znalezienie pierwiastka dla $\exp_2(4)$ lub $\exp_p(p)$ ($p \geq 3$) wymaga wyboru (niestety, niekanonicznego). \square

Fakt 7.11.2. Kosinus nie ma zera, sinus ma tylko jedno (0), w dodatku nie istnieje takie $t \in \mathcal{K}$, że $\sin(x) = \cos(x+t)$ (w ciele zerowej charakterystyki)

25.I

Nie określimy więc tak odpowiednika $\pi \approx 3,1415926535$. Warto zwrócić uwagę na punkt piąty faktu 7.7.4 dla $x = 1/2$.

Fakt 7.11.3. Zwykła funkcja Γ spełnia $\Gamma(z)\Gamma(1-z) = \pi : \sin \pi z$, a stąd $\Gamma(1/2) = \sqrt{\pi}$.

Schik

37

Zatem odpowiednikiem π w \mathbb{Q}_p powinna być $\Gamma_p(1/2)^2$, -1 (w \mathbb{Q}_{4k+1}) lub 1 (w \mathbb{Q}_{4k+3}). Różniczkując $\Gamma_p(x+1) = \Gamma_p(x)h_p(x)$ dostaniemy

$$\frac{\Gamma'_p(x+1)}{\Gamma_p(x+1)} - \frac{\Gamma'_p(x)}{\Gamma_p(x)} = \frac{h'_p(x)}{h_p(x)}.$$

Istnieje stała c , że dla każdego $x \in \mathbb{Z}_p$ jest

$$\frac{\Gamma'_p(x)}{\Gamma_p(x)} = c + L_p(x),$$

gdzie $L_p(x)$ to nieoznaczona suma poprzedniej prawej strony. Po wstawieniu do wzoru $x = 1$ mamy (dla $m \in \mathbb{N}$):

$$\frac{\Gamma'_p(m)}{\Gamma_p(m)} = \frac{\Gamma'_p(1)}{\Gamma_p(1)} + \sum'_{j < m} \frac{1}{j}.$$

To przypomina wzór, który jest prawdziwy też dla zwykłej funkcji Γ i zachęca do zdefiniowania nowej stałej.

Schik **Definicja 7.11.4.** Stała (p -adyczna) Eulera to $\gamma_p := -\Gamma'_p(0)$.

36

Schikhof nie wie nic na temat jej (nie)wymierności.

Fakt 7.11.5. $|\gamma_p|_p \leq 1$, a w \mathbb{Q}_p

$$\gamma_p = \lim_{n \rightarrow \infty} \frac{1}{p^n} \left[1 - \frac{(-1)^p p^n!}{p^{n-1}! p^{p^n-1}} \right].$$

Rozdział 8: Analiza funkcjonalna

Ktoś kiedyś powiedział, że teoria przestrzeni unormowanych nad ciałami innymi niż \mathbb{R} (p. Banacha) czy \mathbb{C} (algebry Banacha, operatory) jest ekscentryczna. Wprawdzie istnieje, ale nigdy nawet nie otarła się o główny nurt matematyki. Nie szkodzi.

8.1 Najlepsza aproksymacja, średnia Banacha

Sferyczna zupełność (zdefiniowana na końcu rozdziału 6.) służy zaspokojeniu potrzeb analizy funkcjonalnej i nie jest poza nią przesadnie ważnym pojęciem.

Fakt 8.1.1. Niech X będzie przestrzenią ultrametryczną. Połóżmy $\rho(x, y) = \exp[\log d(x, y)]$ dla $x \neq y$, $\rho(x, x) = 0$. Funkcja ρ jest dyskretną metryką na X , która spełnia nierówności $\rho \leq d \leq e\rho$. 20.D

Wniosek 8.1.2. Sferyczna zupełność zależy od metryki, a nie samej topologii.

Definicja 8.1.3. Punkt $b \in Y \subseteq X$ to najlepsza aproksymacja $a \in X$ w Y , gdy $d(a, b) = d(a, Y)$. Schik 21

Fakt 8.1.4. Jeśli $Y \subseteq X$ nie jest pusty i jest sferycznie zupełny, to każdy punkt $a \in X$ ma najlepszą aproksymację w Y .

Dowód. Zbiory $\mathcal{B}_n = \{y \in Y : d(y, a) \leq d(a, Y) + 1/n\}$ dla $n \in \mathbb{N}$ tworzą malejący ciąg niepustych kul w Y , za najlepszą aproksymację służą elementy przekroju $\bigcap_n \mathcal{B}_n$. \square

Jeśli Y nie jest sferycznie zupełna, można wskazać taką przestrzeń $Y \cup \{a\}$, że a nie ma najlepszej aproksymacji w Y . Punkty przestrzeni Hilberta mają dokładnie jedną najlepszą aproksymację w domkniętym i wypukłym zbiorze, ale (prawie zawsze) nie tutaj. Niestety, piękne twierdzenia się psują.

Fakt 8.1.5. Jeżeli $Y \subseteq X$ nie jest pusty i brak mu izolatorów, zaś $a \in X \setminus Y$ ma najlepszą aproksymację $b \in Y$, to ma ich ∞ wiele (też w Y).

Dowód. Każdy punkt $\mathcal{B}[b, d(a, Y)] \cap Y$ dobrze przybliża. \square

Nie ma też średniej Banacha dla ograniczonych ciągów w przestrzeni ultrametrycznej:

Fakt 8.1.6. Nie można określić odwzorowania $\lim: \ell^\infty \rightarrow \mathcal{K}$, które byłyby \mathcal{K} -liniowe, pokrywałyby Schik się z granicą ciągu (jeśli ta istnieje) i $\lim(\xi_1, \xi_2, \dots) = \lim(0, \xi_1, \xi_2, \dots)$. 23.R

Dowód. Wskazówka: ciąg $a_n = n$ jest ograniczony. \square

8.2 Grupa Pontriagina

Niech \mathcal{K} będzie skończonym rozszerzeniem \mathbb{Q}_p . Implikuje to jego lokalną zwartość.

Definicja 8.2.1. Charakter to ciągły morfizm $\mathcal{K} \rightarrow S^1 \leq \mathbb{C}^\times$ (patrz definicja 11.1.1). Wszystkie charaktery tworzą grupę $\mathcal{K}^\#$ z punktowym mnożeniem i niejasną zwarto-otwartą topologią, którą można wprowadzić układem otoczeń dla charakteru $\chi \in \mathcal{K}^\#$, $\varepsilon > 0$ i zwartego $A \subseteq \mathcal{K}$: otoczeniem jest rodzina $\{\chi' \in \mathcal{K}^\# : x \in A \implies |\chi'(x) - \chi(x)| \leq \varepsilon\}$.

Grupa $G^\#$ zbudowana z dowolnej lokalnie zwartej grupy \mathcal{G} abelowej to dual Pontriagina. Dzięki niemu można podać przepis na abstrakcyjną transformatę Fouriera.

Historia 7. Lew Pontriagin.

Fakt 8.2.2. Wartości charakteru leżą w μ_{p^∞} , jest on lokalnie stały.

Przykład 8.2.3. Złożenie śladu \mathcal{K} nad \mathbb{Q}_p z morfizmem Tate'a τ to nietrywialny charakter.

Fakt 8.2.4. Jeśli ψ jest nietrywialnym charakterem, to $\psi_a(x) = \psi(ax)$ dla $a \in \mathcal{K}$ też. Morfizm $f: \mathcal{K} \rightarrow \mathcal{K}^\#$, $a \mapsto \psi_a$, jest różnowartościowy. Zarówno f , jak i morfizm odwrotny, są ciągle, więc $f(\mathcal{K}) \subseteq \mathcal{K}^\#$ jest lokalnie zwarty i domknięty.

Fakt 8.2.5. Grupy $(\mathcal{G}^\#)^\#$ oraz \mathcal{G} są kanonicznie izomorficzne: ma to sens, gdyż dual Pontriagina jest lokalnie zwartą grupą abelową. Addytywna grupa lokalnie zwartego ciała $\mathcal{K} = \mathcal{G}$ jest izomorficzna ze swoim dualiem (co stanowi uogólnienie przypadku \mathbb{R}).

en-**Fakt 8.2.6.** Dual ośrodkowej grupy jest metryzowalny.
-wiki

Fakt 8.2.7. Jeśli \mathcal{G} jest lokalnie zwartą grupą abelową, to \mathcal{G} jest dyskretna (zwarta), wtedy i tylko wtedy gdy dual $\mathcal{G}^\#$ jest zwarty (dyskretny).

Pontriagin pokazał, że każda lokalnie zwarta grupa abelowa jest izomorficzna ze swoim bidualiem (kanonicznie), przez $x \mapsto (\chi \mapsto \chi(x))$.

Wracamy do obiecannej wcześniej dualności. Chcemy uogólnić transformatę $(\mathbb{R} \rightarrow \mathbb{R})$, szereg Fouriera $(S^1 \rightarrow \mathbb{Z})$ oraz ich dyskretne odpowiedniki $(\mathbb{Z} \rightarrow S^1, \mathbb{Z}/(n) \rightarrow \mathbb{Z}/(n))$. Do tego celu użyjemy miary Haara μ określonej na σ -ciele zbiorów borelowskich, pozwala ona na zdefiniowanie (klasycznych) przestrzeni L^p :

$$L^p_\mu(\mathcal{G}) := \left\{ f: \mathcal{G} \rightarrow \mathbb{C} : \int_{\mathcal{G}} |f(x)|^p d\mu(x) < \infty \right\}.$$

Definicja 8.2.8. Jeśli funkcja f leży w $L^1(\mathcal{G})$, to jej transformata jest ciągła, ograniczona i znika w nieskończoności (choć nie jestem pewien, w jakim sensie, skoro nie ma tu jawnej normy)

$$(\mathcal{F}f)(\chi) = \int_{\mathcal{G}} f(x) \overline{\chi(x)} d\mu(x).$$

Każdej mierze Haara μ na \mathcal{G} odpowiada dokładnie jedna miara Haara ν na $\mathcal{G}^\#$, że gdy $g \in L^1(\mathcal{G})$, $\widehat{g} \in L^1(\mathcal{G}^\#)$, to

$$g(x) = \int_{\mathcal{G}^\#} \widehat{g}(\chi) \chi(x) d\nu(\chi),$$

przy czym równość zachodzi μ -prawie wszędzie (a jeśli g jest ciągła, to dosłownie wszędzie). Prowadzi to do transformaty odwrotnej (po przesunięciu jednego daszka!).

Fakt 8.2.9. Przestrzeń $L^1(\mathcal{G})$ jest łączną oraz przemenną algebrą (Banacha), jeśli mnożeniem jest splot. Transformata splotu jest mnożenie, $\mathcal{F}(f * g)(\chi) = (\mathcal{F}f)(\chi)(\mathcal{F}g)(\chi)$:

$$(f * g)(x) = \int_{\mathcal{G}} f(x - y)g(y) d\mu(y).$$

Twierdzenie 23 (Plancherel). Przy zachowaniu powyższych miar (μ na \mathcal{G} , ν na $\mathcal{G}^\#$), transformata zwracanie niesionej, ciągłej funkcji $f: \mathcal{G} \rightarrow \mathbb{C}$ leży w $L^2(\mathcal{G}^\#)$ oraz

$$\int_{\mathcal{G}} |f(x)|^2 d\mu(x) = \int_{\mathcal{G}^\#} |\widehat{f}(\chi)|^2 d\nu(\chi).$$

Możemy przedłużyć \mathcal{F} do unitarnego operatora $L_\mu^2(\mathcal{G}) \rightarrow L_\nu^2(\mathcal{G}^\#)$, ale jeżeli lokalnie zwarta grupa \mathcal{G} nie jest zwarta, to przestrzeń $L^1(\mathcal{G})$ nie zawiera w sobie $L^2(\mathcal{G})$, sic. Nie zapiszemy więc przedłużenia całką.

8.3 Przestrzenie Banacha

Od teraz prawie wszystko jest ultrametryczne nawet, kiedy o tym nie mówimy. Rozumiemy już p. wektorowe nad \mathbb{K} , zupełnym rozszerzeniem \mathbb{Q}_p , skończonego wymiaru. Podnosimy więc poprzeczkę do nieskończeniowymiarowego przypadku.

Definicja 8.3.1. Suma prosta rodziny przestrzeni unormowanych E_i to suma (algebraiczna) z normą Rbrt supremum: $\|x\| = \sup_i \|x_i\|$, $\bigoplus_{i \in I} E_i = \{(x_i) : \text{skończenie wiele } x_i \neq 0\} \subseteq \prod_{i \in I} E_i$. 4.4.1

Kiedy wszystkie E_i są przestrzeniami Banacha, rozpatruje się zwyczajowo uzupełnienie tejże sumy prostej. Nośnikiem $x = (x_i) \in \prod_i E_i$ jest zbiór $I_x = \{i \in I : x_i \neq 0\}$. Przez $\|x_i\| \rightarrow 0$ rozumiemy zaś, że dla każdego $\varepsilon > 0$ i skończenie wielu i , $\|x_i\| > \varepsilon$. W takiej sytuacji sam nośnik jest co najwyżej przeliczalny jako unia $I_x(1/n)$.

Fakt 8.3.2. Uzupełnieniem sumy prostej p. Banacha jest $\widehat{\bigoplus_{i \in I} E_i} = \{x : \|x_i\| \rightarrow 0\}$.

Dowód. Dowód jest naprawdę porywający, jak na funkcjonalną analizę przystało. Zbiór x , że $\|x_i\| \rightarrow 0$, jest podprzestrzenią wektorową w $\prod_i E_i$, zaś suma prosta leży w nim gęsto. Teraz pokażemy zupełność sumy prostej Banacha, gdyż tak nazywa się zbiór z faktu.

Niech $n \mapsto (x_i^n)_i$ będzie ciągiem Cauchy'ego. Dla każdego i , $n \mapsto x_i^n$ ma granicę x_i w E_i . Dla ustalonej $\varepsilon > 0$ istnieje N_ε , że $m, n \geq N_\varepsilon$ pociąga $\|x^n - x^m\| \leq \varepsilon$. Nierówność po prawej stronie nie staje się zakłamaną po tym, jak dopiszemy indeksy x_i , po przejściu z m do granicy w ∞ uzyskujemy z kolei $n \geq N_\varepsilon$ pociąga $\|x_i^n - x_i\| \leq \varepsilon$. Ale $\|x_i^n\| \leq \varepsilon$ poza zbiorem skończonym, więc $\|x_i\| \leq \max(\|x_i^n\|, \|x_i^n - x_i\|) \leq \varepsilon$. Tak uzasadniamy, że x gdzieś leży. Zauważmy, że $x^n \rightarrow x$, gdyż $\|x^n - x\| = \sup_i \|x_i^n - x_i\| \leq \varepsilon$. \square

Jeżeli wszystkie przestrzenie Banacha $E_i = E$ są sobie równe, to algebraiczną sumę prostą oznaczamy też przez $E^{(I)}$. Jej uzupełnienie oznacza się przez $c_0(I; E)$, udaje się w ten sposób notację Stefana Banacha dla $\mathcal{K} = \mathbb{C}$.

Nic nie ryzykujemy, jeżeli przyjmiemy: $c_0(I) = c_0(I; \mathcal{K})$, $c_0(E) = c_0(\mathbb{N}, E)$, wreszcie $c_0 = c_0(\mathbb{N}) = c_0(\mathbb{N}, \mathcal{K})$.

Wniosek 8.3.3. Funkcja-suma $E^{(I)} \rightarrow E$ ma jednoznaczne ciągłe przedłużenie $\Sigma: c_0(I; E) \rightarrow E$, gdzie E jest p. Banacha.

Abstrakcyjny bełkot tłumaczy uniwersalność sum prostych.

Rbrt Kiedy E, F są przestrzeniami nad \mathcal{K} z normą, przez $L(E, F)$ rozumiemy przestrzeń 4.4.2 ciągłych liniowych funkcji $E \rightarrow F$. Ale liniowa funkcja jest ciągła dokładnie wtedy, gdy jest ciągła w zerze, lub, równoważnie, jest ograniczona:

$$\|T\| := \sup_{x \neq 0} \frac{\|Tx\|}{\|x\|} < \infty$$

Z definicji tej wynika, że $\|Tx\| \leq \|T\| \cdot \|x\|$, a zatem T jest kontrakcją dokładnie dla $\|T\| \leq 1$. Nierówność ta pokazuje też, że $\|Tx\| \leq \|T\|$ dla $\|x\| \leq 1$, zatem dołożenie supremum, $\sup_{\|x\| \leq 1} \|Tx\| \leq \|T\|$, nie jest złym pomysłem. Wbrew temu, co dzieje się w klasycznej analizie funkcjonalnej, nierówność może być ostra. Jeśli $1 \notin \|E\|$, to jednostkowa sfera jest pusta, a otwarte kule jednostkowe są domknięte. Niechaj $T(x) = x$. Wtedy $\sup_{\|x\| \leq 1} \|x\| < 1 = \|T\|$.

Fakt 8.3.4. Jeżeli F jest zupełna, to $L(E, F)$ też.

Wniosek 8.3.5. Jeżeli E jest unormowana, to jej dual $L(E, \mathcal{K})$, E' , jest przestrzenią Banacha.

Przestrzeń ograniczonych ciągów $(a_i)_{i \in I}$ w E , przestrzeń Banacha, razem z normą $\sup_i \|a_i\|$ jest przestrzenią Banacha, oznaczaną $l^\infty(I; E)$ (indeksujemy czymkolwiek).

Fakt 8.3.6. Topologiczny dual do $c_0(I, E)$ oraz $l^\infty(I, E')$ są (jako p. unormowane) kanonicznie izomorficzne.

Dowód. Jeśli φ jest funkcjonalem na $c_0(I; E)$, przez $\varphi_i = \varphi \circ \varepsilon_i$ oznaczmy obcięcie do i -tego czynnika E w $c_0(I; E)$.

Jeśli $(\varphi_i) \in l^\infty(I; E')$, definiujemy funkcjonal wzorem $\varphi(x) = \sum_i \varphi_i(x)$ na $c_0(I; E)$ przez $(a_i) \mapsto \sum_i \varphi_i(a_i)$ (szereg jest sumowalny, gdyż ciąg φ_i jest ograniczony, zaś $\|a_i\|$ dąży do zera). Odwrotnie, mamy ograniczoną rodzinę $(\varphi_i) \in l^\infty(I; E')$, bo $\|\varphi_i\| \leq \|\varphi\|$. Obie funkcje, $\varphi \mapsto (\varphi \circ \varepsilon_i)$ oraz $(\varphi) \mapsto \sum_i \varphi$, są liniowe i zmniejszają normę: to wzajemnie odwrotne izometrie. \square

Innymi słowy, dwuliniowa $c_0(I; E) \times l^\infty(I, E') \rightarrow \mathcal{K}$ jest dualnym parowaniem, które dowodzi prawdziwości faktu: $((a_i), (\varphi_i)) \mapsto \sum_i \varphi_i(a_i)$.

Wniosek 8.3.7. Przestrzeń $l^\infty(I) = l^\infty(I, \mathcal{K})$ jest Banacha.

W przestrzeni c_0 elementy $e_i = (\delta_{ij})$ (symbole Kroneckera) mają następującą własność. Każdy ciąg $(a_n) \in c_0$ jest sumą dokładnie jednego zbieżnego szeregu $a = \sum_{n \geq 0} a_n e_n$. Wtedy $\|a\| = \sup_{n \geq 0} |a_n| = \max_{n \geq 0} |a_n|$. Rodzina $\{e_i\}_{i=0}^\infty$ jest kanoniczną bazą (choć nie jest bazą, bo algebra liniowa dopuszcza tylko skończone kombinacje liniowe!).

To motywuje następującą definicję.

Definicja 8.3.8. Rodzina $(e_i)_{i \in I}$ elementów p. Banacha E to baza normalna, jeśli każdy $x \in E$ można zapisać jako $\sum_I x_i e_i$, gdzie $|x_i| \rightarrow 0$, zaś $\|x\| = \sup_{i \in I} |x_i|$ (szereg ma zbiegać).

Fakt 8.3.9. Jeśli E to ultrametryczna p. Banacha z normalną bazą $(e_i)_{i \in I}$, to $(x_i) \mapsto \sum_{i \in I} x_i e_i$ zadaje liniową bijekcję z $c_0(I; \mathcal{K})$ do E , a nawet izometrię. Liniowa izometria bijektywna zadaje bazę normalną (obraz bazy kanonicznej w $c_0(I; \mathcal{K})$).

Przykład 8.3.10. Każda p. Banacha $c_0(I)$ ma bazę (orto)normalną.

Przykład 8.3.11. W szczególności: $c_0(\{1, \dots, n\}) \cong \mathcal{K}^n$.

Przykład 8.3.12. Przestrzeń $\mathcal{C}(\mathbb{Z}_p, \mathcal{K})$ z dwumianami Newtona (tw. Mahlera) albo ψ_i (van der Puta).

8.4 Klasyczne twierdzenia

Istnieje odpowiednik faktu 5.1.5 dla przestrzeni Banacha, ale nie będziemy się tym czymś dla świętego spokoju zajmować. Zamiast tego skaczymy do nieznanego nikomu twierdzenia.

Twierdzenie 24 (Monna, Fleischer). Każda ultrap. Banacha E nad zupełnym ciałem \mathcal{K} , że $|\mathcal{K}^\times|$ Rbrt
jest dyskretne w $\mathbb{R}_{>0}$, ma normalną bazę dokładnie wtedy, gdy $\|E\| = |\mathcal{K}|$. 4.4.5

Efektem ubocznym badania przestrzeni funkcji liniowych jest natomiast coś innego.

Wniosek 8.4.1. Istnieje kanoniczny izomorfizm $(c_0(J))' \cong l^\infty(J)$. Rbrt
4.4.6

Na koniec czeka na nas wisienka na torcie z 1952 roku.

Twierdzenie 25 (Ingleton). Jeżeli $V \leq E$ jest podprzestrzenią p. unormowanej nad ciałem \mathcal{K} Rbrt
(sferycznie zupełnym), operator obcięcia do V ($\psi \mapsto \psi|_V$, $E' \rightarrow V'$) jest surjekcją, a funkcjonały z 4.4.7
 V' można przedłużać do E' bez zmiany normy („tw. Hahna-Banacha”).

Rozdział 9: Równania różniczkowe

9.1 Liczby Liouville’a

Fakt 9.1.1. Jeśli operator $A: C(\mathbb{Z}_p, \mathcal{K}) \rightarrow C(\mathbb{Z}_p, \mathcal{K})$ spełnia warunek Lipschitza, to istnieje pewna Schik. $\|\cdot\|$ -izometria z przestrzeni funkcji $\mathbb{Z}_p \rightarrow \mathcal{K}$ o zerowej pochodnej na zbiór rozwiązań równania różniczkowego $f' = Af$. 65

Definicja 9.1.2. Niech $\nu(\lambda) = \liminf_n |n - \lambda|_p^{1:n}$ dla $\lambda \in \mathbb{Z}_p$.

Schik.

66

Definicja 9.1.3. Mówimy, że λ jest liczbą Liouville’a, gdy $\nu(\lambda) = 0$.

Van der Put postawił w 1980 problem, który rozwiążemy (z „Meromorphic differential equations over valued fields”, Indag. Math. 42, Fasc. 3).

Fakt 9.1.4. Niech funkcja $g: \mathbb{Z}_p \rightarrow \mathcal{K}$ będzie ciągłą, a w zerze też różniczkowalną. Niech $\lambda \in \mathbb{Z}_p$. Jeśli $\lambda = 0$, $g(0) = 0$. Jeśli $\lambda = 1$, $g'(0) = 0$. Istnieje C^1 -rozwiązanie równania $xy' - \lambda y = g$.

Uwaga. Być może chodzi o S^1 , a nie C^1 . Zbiór rozwiązań stanowi warstwę w przestrzeni C^1 podgrupy $\{f: \mathbb{Z}_p \rightarrow \mathcal{K} : xf'(x) - \lambda f(x) = 0\}$, której wymiar jest nieskończony. To pokazuje, że rozwiązania są bardzo niejednoznaczne.

Dowód. Niech $g(0) = g'(0) = 0$, przez P oznaczmy obcięcie antyderywatu do p. ciągłych $\mathbb{Z}_p \rightarrow \mathcal{K}$, które zerują się w zerze, C_0 . Wskażemy takie u , że $y = Pu$ będzie rozwiązaniem.

Łatwo sprawdzić, że $Qu(x) := (\lambda Pu(x) + g(x))/x$ (dla $x \neq 0$) i $Qu(0) := 0$ określa funkcję z C_0 w C_0 . Oszacowanie $|Pu(x)| \leq |x|_p \cdot \|u\|/p$ daje $\|Qu - Qv\| \leq \|u - v\|/p$. Funkcja Q jest kontrakcją, więc ma punkt stały u .

W ogólnym przypadku stosujemy pierwszą część do funkcji $g(x) - g'(0)x - g(0)$ i dostajemy funkcję f_1 , potrzebną do

$$y(x) := f_1(x) + \begin{cases} g'(0)x & \lambda = 0 \\ -g(0) & \lambda = 1 \\ \frac{g'(0)x}{1-\lambda} - \frac{g(0)}{\lambda} & \lambda \neq 0, 1 \end{cases},$$

rozwiązania ogólnego równania. □

Pytanie, czy równanie $xy' - \lambda y = g$ ma C^∞ -rozwiązania dla każdej C^∞ -funkcji g z $g(0)$ i $g'(0) = 0$, chyba wciąż pozostaje otwarte.

Definicja 9.1.5. Luka w $x = \sum_{j \geq 0} a_j p^j$ długości $[tp^{-s}]$ to para liczb $s < t$, taka że $a_s \neq 0$, Schik. $a_t \neq 0$, ale $a_k = 0$ dla $s < k < t$. 67

Fakt 9.1.6. Liczba $\lambda \in \mathbb{Z}_p$ jest Liouville'a, wtedy i tylko wtedy gdy w jej rozwinięciu są dowolnie duże luki.

Fakt 9.1.7. Liczby Liouville'a są przestępne („nad \mathbb{Q} ”).

Dowód. Niech liczba $a \in \mathbb{Z}_p$ będzie algebraiczna nad ciałem \mathbb{Q} z wielomianem minimalnym $f(x) = a_0 + \dots + a_d x^d$, $a_d \neq 0$. Skoro funkcja f spełnia warunek Lipschitza ze stałą c , to dla $n \in \mathbb{N}$ jest $|f(n)|_p \leq c|n - a|_p$. Dla dużych n , $f(n) \neq 0$, gdyż f ma co najwyżej d zer, a jednocześnie $|f(n)|_p \geq 1/|f(n)|_\infty$. Skoro tak, $1/|f(n)|_p \leq (|a_0|_\infty + \dots + |a_d|_\infty)n^d$. Istnieje pewna stała $c' > 0$, że $|n - a|_p \geq c'/n^d$, skąd $\nu(a) = 1$. \square

Fakt 9.1.8. Liczby Liouville'a tworzą gęsty G_δ podzbiór \mathbb{Z}_p .

Warto tu wspomnieć o twierdzeniu Baire'a: niepusta oraz zupełna przestrzeń metryczna nie jest przeliczalną unią nigdzie gęstych i domkniętych zbiorów.

Dowód. Niech $n \in \mathbb{N}$. Dobry wybór $n_1 < n_2 < \dots$ sprawia, że liczba $n + p^{n_1} + p^{n_2} + \dots$ jest blisko n i ma dowolnie długie luki. Domknięcie zbioru liczb Liouville'a zawiera \mathbb{N} , zatem całe \mathbb{Z}_p . Niech $U_{mk} = \{x \in \mathbb{Z}_p : |m - x|_p < k^{-m}\}$. Liczby Liouville'a to dokładnie elementy przekroju $\bigcap_{k \in \mathbb{N}} \bigcap_{n \in \mathbb{N}} \bigcup_{m \geq n} U_{mk}$. \square

Fakt 9.1.9. Liczby Liouville'a tworzą zbiór zerowy (można je pokryć kulami, których suma średnic jest dowolnie mała).

Dowód. Zbiór liczb Liouville'a leży w $\bigcup_{m \geq n} U_{mk}$ dla każdych $k, n \in \mathbb{N}$ przy zachowaniu notacji z poprzedniego dowodu. Średnica zbioru U_{mk} nie przekracza k^{-m} , zatem dla $k \geq 2$ mamy $\sum_{m \geq n} d(U_{mk}) \leq k^{1-n}$. Bierzymy duże k, n . \square

Fakt 9.1.10. Równanie różniczkowe $(1 - x)(xf'(x) - \lambda f(x)) = 1$ nie posiada rozwiązań, które są analityczne na małym otoczeniu 0 dla $\lambda \in \mathbb{Z}_p$ będących liczbami Liouville'a.

Dowód. Zapiszmy $f(x) = \sum_{n=0}^{\infty} b_n x^n$. Podstawienie tego do naszego równania daje $b_n(n - \lambda) = 1$. Jeśli $\lambda \notin \mathbb{Z}$, szereg f ma zerowy promień zbieżności, $\nu(\lambda)$. Jeśli λ jednak jest całkowita, rozumowanie niepotrzebnie się komplikuje. \square

Schik. Zajmiemy się polami wektorowymi: co ciekawe, wszystkie mają potencjał!

⁸⁴ **Fakt 9.1.11.** Niech $f, g: \mathcal{K}^2 \rightarrow \mathcal{K}$ będą ciągłymi funkcjami. Istnieje C^1 -funkcja $F: \mathcal{K}^2 \rightarrow \mathcal{K}$, że $\partial_x F = f$, $\partial_y F = g$.

Dowód. Niech $x \mapsto x_n$ będzie przybliżeniem identyczności (to jest ciągiem odwzorowań $\sigma_0, \sigma_1, \dots: \mathcal{K} \rightarrow \mathcal{K}$, że σ_0 jest stała, $\sigma_m \circ \sigma_n = \sigma_n \circ \sigma_m = \sigma_n$ jeśli $m \geq n$, $|x - y| < \sigma^n$ implikuje $\sigma_n(x) = \sigma_n(y)$ oraz $|\sigma_n(x) - x| < \rho^n$, $0 < \rho < 1$ ustalone), $x'_n = x_{n+1} - x_n$, $y'_n = y_{n+1} - y_n$. Wtedy $F(x, y) = \sum_{n \geq 0} f(x_n, y_n)x'_n + g(x_n, y_n)y'_n$ jest w porządku. \square

Schwarz kłamie na temat mieszania (dobrych) pochodnych czosnkowych.

Wniosek 9.1.12. Istnieje funkcja $f: \mathcal{K}^2 \rightarrow \mathcal{K}$ o ciągłych drugich pochodnych czosnkowych, że

$$\frac{\partial^2 f}{\partial x \partial y} = 1, \text{ jednak } \frac{\partial^2 f}{\partial y \partial x} = 0.$$

Dowód. Weźmy $\partial_y f = x$, $\partial_x f = 0$ i zróżniczkujemy. \square

Fakt 9.1.13. Jeśli $f: \mathcal{K}^2 \rightarrow \mathcal{K}$ jest C^2 , to drugie (mieszane) pochodne są równe.

Rozdział 10: Teoria funkcji

10.1 Szeregi potęgowe

Lemat 10.1.1. *Niearchimedesowe ciało zupełne jest lokalnie zwarte, wtedy i tylko wtedy gdy ma dyskretną grupę waluacji i skończone ciało reszduów.*

Lemat 10.1.2. *Niech $f: \mathcal{B}[0, 1] \rightarrow \mathcal{K}$ będzie analityczną funkcją zadaną wzorem $\sum_{n \geq 0} a_n x^n$ w ciało, które nie jest lokalnie zwarte. Wtedy $S := \sup\{|f(x)| : |x| \leq 1\} = \max_{n \geq 0} |a_n| =: M$.*

Jeśli waluacja na \mathcal{K} jest gęsta, nierówność $|x| \leq 1$ można zastąpić przez $|x| < 1$. Jeśli zaś ciało reszduów \mathfrak{K} nie jest skończone, to mamy $S = \sup\{|f(x)| : |x| = 1\} = \max\{|f(x)| : |x| = 1\}$.

Dowód. Szereg potęgowy $\sum_n a_n x^n$ zbiega dla $x = 1$, zatem a_n dąży do zera i $\sup\{|a_n| : n \geq 0\} < \infty$. Z mocnej nierówności trójkąta mamy $\sup\{|f(x)| : |x| \leq 1\} \leq \max_{n \geq 0} |a_n|$. Dla dowodu drugiej nierówności założmy (bez straty ogólności), że $\max_n |a_n| = 1$. Na mocy lematu rozpatrujemy dwa przypadki.

Przypadek 1: ciało reszduów jest nieskończone. Skoro ciąg a_n dąży do zera, funkcja $t \mapsto \sum_n a_n t^n$ jest wielomianem na \mathfrak{K} i posiada skończenie wiele miejsc zerowych. Istnieje $a \in \mathcal{K}$, które po zanurzeniu w \mathfrak{K} nie zeruje wielomianu, wtedy też $|\sum_{n \geq 0} a_n a^n| = 1$.

Przypadek 2: grupa $|\mathcal{K}^\times|$ jest gęsta. Wtedy trywialnie mamy $\sup\{|f(x)| : |x| < 1\} \leq S = M = 1$. Potrzebujemy b , takiego że $|b| < 1$ i $|f(b)|$ leży blisko 1. Jeśli $|a_0| = 1$, niech $b = 0$, więc przyjmijmy $N := \min\{j : |a_j| = 1\} > 0$ i $0 < \varepsilon < 1$, że mamy $\max\{|a_j| : 0 \leq j < N\} \leq 1 - \varepsilon$.

Gdy $1 - \varepsilon < |b^N| < 1$, to $|f(b)| \geq 1 - \varepsilon$. Istotnie, mamy wtedy $|\sum_{j=0}^{N-1} a_j b^j| \leq \max\{|a_j| : 0 \leq j < N\} < \varepsilon$ a do tego $|\sum_{j > N} a_j b^j| \leq \sup_{j > N} |a_j| \cdot |b^j| \leq \sup_{j > N} |a_j| \cdot |b^{N+1}| < |b^N|$ oraz $|a_N b^N| = |b^N|$. Zasada trójkąta równoramiennej mówi, że $|f(b)| = |b^N| > 1 - \varepsilon$, co kończy dowód. \square

Fakt 10.1.3 (reguła maksimum). *Niech f będzie analityczną funkcją na $\mathcal{B}(0, r)$ zadaną wzorem $\sum_n a_n x^n$. Jeśli grupa $|\mathcal{K}^\times|$ jest gęsta, to $\sup\{|f(x)| : |x| \leq r\} = \max_n |a_n| r^n < \infty$. Zamiast \leq można napisać $<$. Jeśli ciało reszduów \mathfrak{K} jest nieskończone, mamy podobnie $\max\{|f(x)| : |x| \leq r\} = \max_n |a_n| r^n$ tym razem znak \leq można zastąpić przez $=$.*

Dowód. Wybierzmy $a \in \mathcal{K}$, takie że $|a| = r$ i użyjmy lematu wyżej do funkcji $f(ax)$. \square

Twierdzenie 26 (Liouville). *Ograniczona, analityczna funkcja z ciała, które nie jest lokalnie zwarte, jest stała.*

Dowód. Niech $f(x) = \sum_n a_n x^n$. Poprzedni fakt pokazuje, że dla każdego r z $|\mathcal{K}^\times|$ jest $\sup_n |a_n| r^n = \sup\{|f(x)| : |x| \leq r\}$ (i nie przekracza to $\|f\|$), zatem $a_n = 0$ dla $n \geq 1$. \square

Lokalnej zwartości nie można pominąć. Schikhof podaje mało czytelny przykład (dla lokalnie zwartego \mathcal{K}) funkcji, która znika w nieskończoności i nie zeruje się w 0 (strony 125, 126).

10.2 Szeregi Roberta

Definicja 10.2.1. *Rzędem niezerowego szeregu potęgowego jest*

$$\omega: \sum_n a_n x^n \mapsto \min\{n \in \mathbb{N} : a_n \neq 0\}.$$

Definicja 10.2.2. *Formalna derywacja \mathfrak{D} na $A[[X]]$ to addytywna funkcja*

$$\mathfrak{D} \left[\sum_{n=0}^{\infty} a_n x^n \right] = \sum_{n=0}^{\infty} n a_n x^{n-1}.$$

Fakt 10.2.3. *Operator \mathfrak{D} jest ciągły i A -liniowy.*

Definicja 10.2.4. *Współczynnik wzrostu dla f , zbieżnego szeregu potęgowego, to $M_r = \max_n |a_n| r^n$. Promień regularny to takie r z przedziału $[0, r_f)$, że maksimum jest osiągane tylko dla jednego n , wtedy $a_n x^n$ jest dominujący. Jeżeli takich indeksów jest kilka, to r jest krytyczny, zaś jednomiany – rywalizujące.*

Fakt 10.2.5. *Dla ustalonego $r > 0$, funkcja $f \mapsto M_r(f)$ jest ultra normą multiplikatywną na podprzestrzeni tych szeregów $\sum_n a_n x^n$, dla których mamy zbieżność $|a_n| r^n \rightarrow 0$.*

Twierdzenie 27 (Liouville). *Jeżeli $f \in \mathcal{K}[[X]]$ ma nieskończony promień zbieżności i $|f(x)| \leq C|x|^N$ dla pewnych $C > 0$, $N \in \mathbb{N}$ i wszystkich $x \in \mathcal{K}$, że $|x| \geq c$, to f jest tylko wielomianem stopnia co najwyżej N dla gęstego $|\mathcal{K}^\times|$.*

Fakt 10.2.6 (reguła maksimum). *Jeśli $r < r_f$ jest krytyczny dla $f \in \mathbb{C}_p[[X]]$, to dla każdego $y \in \mathbb{C}_p$ z $|y| < M_r f$ istnieje $x \in \mathbb{C}_p$, że $f(x) = y$ oraz $|x| = r$.*

Fakt 10.2.7 (wymierny rozkład Mittag-Lefflera). *Jeżeli $f = g/h$ (różna od zera funkcja z $\mathbb{C}_p(x)$, że $\deg g < \deg h$) ma bieguny w kuli \mathcal{B}_r , to dla każdego D rozłącznego z \mathcal{B} jest*

$$\|f\|_D \leq \|f\|_{\mathcal{B}'} = M_r f,$$

z równością (na przykład) dla $D = \mathcal{B}_r(a)$, maksymalnej kuli otwartej w sferze $|x| = r$.

Można pójść o krok dalej i grupować bieguny w skończenie wielu kulach, ale nie chce nam się.

Definicja 10.2.8. $\mathcal{R}(D)$ *to pierścień funkcji wymiernych bez bieguna w D , $\mathcal{R}_0(D)$ jest jego podpierścieniem funkcji kiedyś znikających ($|f(x)| \rightarrow 0$ dla $|x| \rightarrow \infty$).*

Fakt 10.2.9 (rozkład Motzkina). *Każda funkcja $f \in \mathcal{R}(D)^\times$ daje się jednoznacznie rozłożyć jak niżej, gdzie $f_0 \in \mathcal{R}(\mathcal{B}_{\leq r}^\times)$, zaś dla $1 \leq i \leq l$ jest $f_i = (x - b_i)^{m_i} h_i \in \mathcal{R}(B_i^c)^\times$, $\|h_i - 1\|_{\mathcal{B}_i^c} < 1$ oraz $h_i(x) \rightarrow 1$ ($|x| \rightarrow \infty$), gdzie m to chyba liczba zer zmniejszona o liczbę biegunów f (?).*

$$f = f_0 \prod_{i=1}^l f_i,$$

Fakt 10.2.10. Jeżeli $\|f - 1\|_D < 1$, to f ma tyle zer, co biegunów w kulach rozłącznych z D .

Fakt 10.2.11. Każda wartość bezwzględna ψ na ciele wymiernych nad \mathcal{K} , algebraicznie domkniętym oraz sferycznie zupełnym rozszerzeniu \mathbb{Q}_p , funkcji przedłużająca siebie z \mathcal{K} jest postaci $M_{r,a}$ dla $a \in \mathcal{K}$ oraz $r > 0$.

$$M_{r,a}: \sum_{n=0}^{\infty} a_n(x-a)^n \mapsto \sup_{n \geq 0} |a_n| r^n.$$

Definicja 10.2.12. Zbiór $D \subseteq \mathbb{C}_p$ o średnicy $\delta > 0$ jest infraspójny, gdy dla każdego $a \in D$ zbiór $\{|x - a| : x \in D\}$ jest gęsty w $[0, \delta]$.

Fakt 10.2.13. Jeżeli kule $\mathcal{B}_i \subseteq \mathcal{B}_{\leq 1}$ są rozłączne i ich promienie dążą do zera, to D jest infraspójny: $D = \mathcal{B}_{\leq 1} \setminus \coprod_{i \geq 0} \mathcal{B}_i$.

Definicja 10.2.14. Element analityczny jest to jednostajna granica funkcji wymiernych z $\mathbb{C}_p(x)$ (bez zer) z domkniętym $D \subseteq \mathbb{C}_p$ w \mathbb{C}_p .

Fakt 10.2.15. Przestrzeń elementów analitycznych na $\mathcal{B}_{\leq 1}$ to algebra Tate'a $\mathbb{C}_p\{x\}$.

Twierdzenie 28 (Amice-Fresnel). Jeżeli promień zbieżności

$$f = \sum_{n \geq 0} a_n x^n \in \mathbb{C}_p[[x]]$$

wynosi co najmniej 1, to $n \mapsto a_n$ przedłuża się do ciągłej funkcji $\mathbb{Z}_p \rightarrow \mathbb{C}_p$, wtedy i tylko wtedy gdy f jest obcięciem analitycznego elementu z $H_0((1 + \mathbb{M}_p)^c)$ (uzupełnienia $\mathcal{R}_0(\dots)$).

Twierdzenie 29 (Mittag-Leffler). Jeżeli zbiór D jest ograniczony, domknięty, infraspójny z rodziną dziur \mathcal{B}_i , to istnieje rozkład w sumę prostą Banacha: $H(D) \rightarrow H(\mathcal{B}_D) \hat{\oplus}_{i \in I} H_0(\mathcal{B}_i^c)$.

Każda funkcja $f \in H(D)$ zapisuje się jednoznacznie w postaci $f = f_0 + \sum_i f_i$, gdzie f_i to elementy analityczne: f_0 na kopertowej kuli dla D , f_k na \mathcal{B}_k^c , $\|f_i\| = \|f_i\|_{\mathcal{B}_i^c} = \|f_i\|_D \rightarrow 0$ ($i \rightarrow \infty$), $f_i(x) \rightarrow 0$ ($x \rightarrow \infty$) oraz $\|f\|_D = \max\{\|f_0\|, \sup_i \|f_i\|\}$.

Twierdzenie 30 (Christol-Robba). Jeżeli współczynniki szeregu formalnego

$$f = \sum_{n \geq 0} a_n x^n \in \mathbb{C}_p[[x]]$$

są ograniczone, to f jest analitycznym elementem na \mathbb{M}_p , wtedy i tylko wtedy gdy każdy $\varepsilon > 0$ ma i $N \geq 0$, że $n \geq N$ pociąga $|a(n + p^v(p^v - 1) - a(n))| \leq \varepsilon$.

Przykład 10.2.16. Poniższe szeregi mają ograniczone współczynniki, ale nie są analitycznymi elementami na \mathbb{M}_p : $(1+x)^{1:m}$, kiedy p nie dzieli $m > 1$, $\exp \pi x$ ($|\pi| = r_p$) oraz

$$\sum_{n=0}^{\infty} x^{p^n}.$$

Fakt 10.2.17. Funkcja $\mathbb{Z}_p \rightarrow \mathbb{C}_p$ ze współczynnikami Mahlera c_k jest obcięciem analitycznego elementu z $\mathbb{C}_p\{x\}$, wtedy i tylko wtedy gdy $|c_k| : k! \rightarrow 0$.

Przykład 10.2.18. Ustalmy $t \in \mathbb{C}_p$ w taki sposób, by $|t| < r_p$. Wtedy $\sum_{k \geq 0} t^k (x \text{ nad } k)$ jest obcięciem $\exp(x \log(1+t))$.

Wniosek 10.2.19 (z przykładu).

$$\begin{aligned} \sum_{n \geq 0} \frac{[x \log(1+t)]^n}{n!} &= \sum_{k \geq 0} \frac{t^k}{k!} (x)_k \\ &= \sum_{k \geq 0} \frac{t^k}{k!} \sum_{n \leq k} (-1)^{k-n} \left[\frac{k}{n} \right] x^n, \end{aligned}$$

teraz wystarczy przyrównać współczynniki przy x^n .

Twierdzenie 31 (Motzkin). Niech \mathcal{B} będzie dziurą w domkniętym, ograniczonym oraz infraspójnym zbiorze D . Każda funkcja f z $H(D)$ spełniająca $\|f - 1\|_D < 1$ posiada (jedyną) faktoryzację $f = gf_*$, przy czym $g \in H(D \cup \mathcal{B})^\times$, $f_* = (x - a)^m h$, $h \in H(\mathcal{B}^c)^\times$, $h(x) \rightarrow 1$ (dla $x \rightarrow \infty$), $\|h - 1\|_{\mathcal{B}^c} < 1$ oraz $m = 0$.

Rozdział 11: Mechanika kwantowa

Ten rozdział miał być poświęcony mechanice kwantowej, ale wygląda na to, że jednak nie do końca tak będzie. Być może kiedyś znajdziemy czas na gaussowskie całki, uogólnione funkcje „dystrybucje”, transformatę Fouriera, jeszcze więcej operatorów różniczkowych i wreszcie fizykę.

11.1 Analityczny wstęp

Dla świętego spokoju do końca rozdziału tymczasowo przyjmujemy nowe oznaczenia na Vlad. kule i ich różnice, $B_n(a) = \{x \in \mathbb{Q}_p : |x - a|_p \leq p^n\}$, $S_n(a) = \{x \in \mathbb{Q}_p : |x - a|_p = p^n\}$.^{1.3} Jeśli $a = 0$, stosujemy też skrócony zapis $B(n)$, $S(n)$.

Definicja 11.1.1. Charakter addytywny to ciągły morfizm $\chi: \mathbb{Q}_p^+ \rightarrow S^1 \subseteq \mathbb{C}$.

Vlad.
3.1

Łatwo sprawdzić, że funkcja $\exp(2\pi i \langle \xi x \rangle)$ spełnia warunki tej definicji dla ustalonego ξ . Swoją drogą, Rosjanie używają $\{ \}$ zamiast $\langle \rangle$, ale my trzymamy się konwencji Roberta z definicji 5.6.4. Okazuje się, że innych charakterów nie ma!

Fakt 11.1.2. Każdy charakter jest postaci $\chi(x) = \exp(2\pi i \langle \xi x \rangle_p)$, „ $\chi_p(\xi x)$ ” dla pewnego $\chi \in \mathbb{Q}_p$.

Dowód. Niech χ będzie dowolnym (addytywnym) charakterem. Wtedy $\chi(0) = 1$, zaś dla $n \in \mathbb{Z}$ mamy też $\chi(nx) = \chi(x)^n$. Zanim zajmiemy się całym ciałem \mathbb{Q}_p , przeprowadzimy dochodzenie w sprawie charakterów dla B_n .

Jeżeli $\chi \not\equiv 1$, to istnieje $k \in \mathbb{Z}$, że $\chi(x) \equiv 1$ dla $x \in B_k$. Istotnie, warunki $\chi(0) = 1$, $|\chi(x)| = 1$ i ciągłość χ na kuli B_n pozwalają wybrać taką gałąź funkcji $\log \chi(x) = i \arg \chi(x)$, która jest ciągła w zerze i $\arg \chi(0) = 0$ oraz $k \in \mathbb{Z}$, takie że $|\arg \chi(x)| < 1$ dla $x \in B_k$. A skoro $nx \in B_k$ dla $x \in B_k$, $n \in \mathbb{N}$, to $|\arg \chi(x)| = \frac{1}{n} |\arg \chi(nx)| < \frac{1}{n}$. Wynika stąd, że $\arg \chi(x) = 0$ oraz $\chi(x) \equiv 1$ dla $x \in B_k$. Niech dysk B_k będzie maksymalny.

Pokażemy teraz, że dla każdej $r \in (k, n] \cap \mathbb{Z}$ zachodzi $\chi(p^{-r}) = \exp(2\pi i m p^{k-r})$, gdzie liczba m nie zależy od r i spełnia $1 \leq m < p^{n-k}$. Jeżeli $r = n$, to $1 = \chi(p^{-k}) = \chi(p^{-r})^q$, $q = p^{n-k}$. Jeśli zaś $k < r < n$, to $\chi(p^{-r}) = \chi(p^{-n})^s = [\exp(2\pi i m p^{k-n})]^s$, $s = p^{n-r}$. Od teraz niech $\xi = p^k m$, gdzie $p^{-k} \geq |\xi|_p > p^{-n}$. To oznacza, że $\chi(p^{-r}) = \chi_p(p^{-r} \xi)$.

Ustalmy dowolny $x \in B_n \setminus B_k$. Wtedy $\chi(x) = \chi_p(\xi x)$ dla pewnego ξ , którego norma p -adyczna przekracza p^{-n} . Niech $x = x_0 p^{-r} + \dots + x_{r-k+1} p^{1-k} + x'$, gdzie $x_0 \neq 0$ oraz $x' \in B_k$ dla pewnego r , że $k < r \leq n$.

Już udowodnione własności pozwalają nam na rozpisanie

$$\begin{aligned}\chi(x) &= \chi(x') \prod_{i=0}^{r-k+1} \chi(p^{i-r}x_i) = \chi_p(x'\xi) \prod_{i=0}^{r-k+1} \chi_p(p^{i-r}\xi)^{x_i} \\ &= \chi_p\left(x'\xi + \sum_{i=0}^{r-k+1} x_i p^{i-r}\xi\right) = \chi_p(\xi x).\end{aligned}$$

Przypadek $\xi = 0$ jest niemożliwy: wtedy $\chi(x) = \chi_p(0) = 1$ w B_n , co przeczy wyborowi liczby k . Pokazaliśmy, iż charakter dla dysku B_n jest taki jak trzeba: z $\xi = 0$ lub $|\xi|_p \geq p^{1-n}$.

Nietrywialny ($\chi(\xi) \neq 1$) charakter dla \mathbb{Q}_p ma w dysku B_0 postać $\chi(x) = \chi_p(\xi'_0 x)$, gdzie $\xi'_0 \in \mathbb{Q}_p$, $|\xi'_0|_p > 1$. W dysku B_1 dzieje się coś bardzo podobnego, tzn. $\chi(x) = \chi_p(\xi'_1 x)$, gdzie $\xi'_1 = \xi'_0 + \xi_0$, $\xi_0 \in \{0, \dots, p-1\}$. Wiemy już, że $B_1 = B_0 \sqcup S_1$. Każdy element S_1 ma postać $x = x_0 p^{-1} + x'$, $x_0 \in \{1, \dots, p-1\}$, $x' \in B_0$. Zatem w S_1 :

$$\begin{aligned}\chi(x) &= \chi(1/p)^{x_0} \chi_p(\xi'_0 x') = \chi(1)^{x_0:p} \chi_p(\xi'_0 x') = \chi_p(\xi'_0)^{x_0:p} \chi_p(\xi'_0 x') \\ &= \chi_p(\tfrac{1}{p}\xi'_0 x_0) \chi_p(\tfrac{1}{p}\xi_0 x_0) \cdot \chi_p(\xi'_0 x' + \xi_0 x') = \chi_p((\xi'_0 + \xi_0)(\tfrac{1}{p}x_0 + x')) = \chi_p(\xi'_1 x)\end{aligned}$$

dla pewnego $\xi_0 = 0, 1, \dots, p-1$. Powtarzamy proces w dysku B_2 i dostajemy jeszcze lepsze przedstawienie $\chi(x) = \chi_p(\xi'_2 x)$, $\xi'_2 = \xi'_0 + \xi_0 + \xi_1 p$. Indukcyjne rozumowanie zapewnia nam istnienie jakiegos $\xi = \xi'_0 + \xi_0 + \xi_1 p + \xi_2 p^2 + \dots \in \mathbb{Q}_p$. \square

Wniosek 11.1.3. Grupa (addytywna) \mathbb{Q}_p jest izomorficzna z własną grupą charakterów za sprawą odwzorowania $\xi \mapsto \chi_p(\xi x)$.

Niech $\chi_\infty(x) = \exp(-2\pi i x)$.

Fakt 11.1.4 („adelizm”). Dla $x \in \mathbb{Q}$, $\prod_{p=2}^\infty \chi_p(x) = 1$.

Dowód. Niech $x = c(p_1^{\alpha_1} \cdot \dots \cdot p_n^{\alpha_n})^{-1}$, gdzie p_i są pierwsze i nie dzielą c . Wtedy mamy $x = m + \sum_{i=1}^n c_i p^{-\alpha_i}$ dla pewnej całkowitej m . Wynika stąd, że

$$\prod_{p < \infty} \chi_p(x) = \prod_{i \leq n} \exp\left(2\pi i \frac{c_i}{p_i^{\alpha_i}}\right) = \exp(2\pi i x). \quad \square$$

Wład. Definicja 11.1.5. Multiplikatywny charakter ciała \mathbb{Q}_p to ciągły homomorfizm $\mathbb{Q}_p^\times \rightarrow \mathbb{C}$.

Fakt 11.1.6. Multiplikatywny charakter \mathbb{Q}_p jest postaci $\pi(x) = |x|_p^{\alpha-1} \pi_0(|x|_p x)$, gdzie π_0 jest charakterem S_0 , $|\pi_0(x')|_p = 1$ dla $x' \in S_0$, $\alpha \in \mathbb{C}$.

Dowód jest na tyle podobny do tego, który uzasadniał już klasyfikację addytywnych charakterów, że pominiemy go.

Każdy element x ciała $\mathbb{Q}_p(\sqrt{\varepsilon})$ ma postać $z = r\sigma$ lub $\nu r\sigma$, gdzie $r \in \mathbb{Q}_p$, $\nu\bar{\nu}$ nie jest kwadratem w \mathbb{Q}_p i $\sigma\bar{\sigma} = 1$.

Wład. Fakt 11.1.7. Niech π_1 będzie multiplikatywnym charakterem ciała \mathbb{Q}_p , zaś π_2 : „okręgu” C . Wtedy $\pi^2(\nu) = \pi_1(\nu\bar{\nu})\pi_2(\nu/\bar{\nu})$, a także $\pi(r\sigma) = \pi_1(r)\pi_2(\sigma)$ ($\pi(\nu r\sigma) = \pi(\nu)\pi(r\sigma)$) wyznaczają nam w jednoznaczny sposób charaktery dla $\mathbb{Q}_p(\sqrt{\varepsilon})$.

Nie do końca wiadomo, czy niżej opisana całka jest istotnie czymś nowym.

Vlad. Ciało \mathbb{Q}_p jest lokalnie zwartą grupą abelową, więc istnieje na jego addytywnej grupie 4.1 miara Haara, dodatnia miara dx , która jest niezmiennicza na przesunięcia. Staje się jedyna po unormowaniu przez $\int \chi(B_0) dx = 1$, przy czym χ oznacza tu indykator, a nie charakter!

Jeżeli $K \subseteq \mathbb{Q}_p$ jest zwarty, to miara dx definiuje dodatni funkcjonal ciągły na $\mathcal{C}(K)$ (z normą maksimum), całkę nad tym zbiorem.

Definicja 11.1.8. Funkcja $f \in L^1_{loc}$ jest całkowalna na \mathbb{Q}_p , jeśli istnieje poniższa granica, którą nazywamy całką niewłaściwą:

$$\lim_{N \rightarrow \infty} \int_{B_N} f(x) dx = \sum_{n \in \mathbb{Z}} \int_{S(n)} f(x) dx.$$

Fakt 11.1.9 (zamiana zmiennych I). $d(xa) = |a|_p dx$ dla $a \in \mathbb{Q}_p^\times$.

Vlad. 4.2

Dowód. Miara $d(xa)$ także jest niezmiennicza na przesunięcia, więc różni się od $d(x)$ tylko pewnym czynnikiem $C(a) > 0$. Widać, że jest on charakterem grupy \mathbb{Q}_p^\times spełniającym $\pi_0(a') = 1$ i $C(a) = |a|_p^{\alpha-1}$. Dysk B_0 jest unią $B_{-1}(k)$ dla $k = 0, 1, \dots, p-1$, zbiorów równej miary. Zatem $d(xp) = (dx)/p$ i $C(p) = |p|_p, \alpha = 2$, co kończy dowód. \square

Policzmy teraz kilka całek.

Przykład 11.1.10. $\int_X 1 dx = p^n$ ($n \in \mathbb{Z}, X = B_n$).

Dowód. $\int_X dx = \int_{|y|_p \leq 1} d(p^{-n}y) = |p^{-n}|_p = p^n$. \square

Wynika stąd, że „okrąg” (S_n) w \mathbb{Q}_p ma dodatnie pole, gdyż jest różnicą dwóch dysków, wbrew temu, czego spodziewać się można po okręgu na \mathbb{R} : $\int_{S_n} dx = p^n - p^{n-1}$. Uwaga: nie należy mylić zbiorów S_n z \mathcal{C}_ε żyjącym w kwadratowych rozszerzeniach!

Uogólnieniem powyższej całki jest:

Fakt 11.1.11. Dla odpowiednio regularnych f zachodzi

$$\int_{\mathbb{Q}_p} f(|x|_p) dx = \frac{p-1}{p} \sum_{n \in \mathbb{Z}} f(p^n) p^n.$$

Wniosek 11.1.12. Jeżeli $f(x) = x^{\alpha-1}$ i $\Re \alpha > 0$, to

$$\int_{B_0} |x|_p^{\alpha-1} dx = \frac{p-1}{p} \cdot \frac{p^\alpha}{p^\alpha - 1}.$$

Wniosek 11.1.13. Jeżeli $f = \ln$ (logarytm naturalny), to

$$\int_{B_0} \ln |x|_p dx = \frac{\ln p}{1-p}.$$

Dowód. $-(1-1/p) \ln p \sum_{n=0}^{\infty} np^{-n} = (1-p)^{-1} \ln p$. \square

Fakt 11.1.14 (zamiana zmiennych II). Jeżeli $\sigma(y)$ to analityczny homeomorfizm między zbiorami otwartymi K_1 i $K_2 \subseteq \mathbb{Q}_p$ o niezerowej pochodnej, to dla $f \in \mathcal{C}(K)$ prawdziwa jest równość

$$\int_{K_2} f(x) dx = \int_{K_1} |\sigma'(y)|_p \cdot f(\sigma(y)) dy.$$

Dowód. Wystarczy sprawdzić poprawność stwierdzenia dla f , indykatora zbioru K_2 , przez pokrycie go małymi i rozłącznymi dyskami w skończonej ilości. \square

Vlad. **Przykład 11.1.15.** Jeżeli $n \in \mathbb{Z}$, to

4.3

$$\int_{B(n)} \chi_p(\xi x) dx = p^n \cdot [|\xi|_p \leq p^{-n}].$$

Dowód. Dla $|\xi|_p \leq p^{-n}$ jest $|\xi x|_p \leq 1$, $\chi_p(\xi x) = 1$ i $\int_{B(n)} \chi_p(\xi x) dx = \int_{B(n)} 1 dx = p^n$. Jeśli $|\xi|_p \geq p^{1-n}$, to dla pewnego $y \in S_n$ jest $|\xi y|_p \geq p$, a więc $\chi_p(\xi y) \neq 1$. Po zmianie zmiennych $x = t - y$ lewa całka przekształca się do $\int_{B_n(y)} \chi_p(\xi t - \xi y) dt$, to zaś jest już równe $\chi_p(-\xi y) \int_{B(n)} \chi_p(\xi t) dt$. Wnioskujemy stąd, że całka wyjściowa jest zerem. \square

Przykład 11.1.16. Jeżeli szereg $\sum_{\gamma \geq 0} |f(p^{-\gamma})| p^{-\gamma}$ jest zbieżny, to całka z $f(|x|_p) \chi_p(\xi x)$ nad \mathbb{Q}_p wynosi

$$\frac{p-1}{p|\xi|_p} \sum_{\gamma=0}^{\infty} \frac{f(p^{-\gamma}|\xi|_p^{-1})}{p^{\gamma}} - \frac{f(p|\xi|_p^{-1})}{|\xi|_p}.$$

Dowód. Wynika to z poprzedniego przykładu i definicji całki (niewłaściwej) po użyciu sztuczki pozwalającej wyznaczyć pole okręgu. \square

Wniosek 11.1.17. Jeśli $f(x) = \ln |x|_p$, to

$$\int_{\mathbb{Q}_p} \ln |x|_p \chi_p(\xi x) dx = \frac{p \ln p}{|\xi|_p(1-p)}.$$

Wniosek 11.1.18. Jeśli $f(x) = |x|_p^{\alpha-1}$, $\Re \alpha > 0$, to

$$\int_{\mathbb{Q}_p} |x|_p^{\alpha-1} \chi_p(\xi x) dx = \frac{1-p^{\alpha-1}}{1-p^{-\alpha}} |\xi|_p^{-\alpha}.$$

Wniosek 11.1.19. Poprzedni wniosek z $\alpha = 1$, jeśli $\xi \neq 0$.

Przykład 11.1.20. Jeśli $f(x) = (|x|_p^2 + m^2)^{-1}$, to

$$\begin{aligned} I &= \int_{\mathbb{Q}_p} \frac{\chi_p(\xi x)}{|x|_p^2 + m^2} dx = \frac{p-1}{p|\xi|_p} \sum_{n=0}^{\infty} \frac{p^{-n}}{p^{-2n}|\xi|_p^{-2} + m^2} - \frac{|\xi|_p^{-1}}{p^2|\xi|_p^{-2} + m^2} \\ &= \frac{p-1}{p|\xi|_p^{-1}} \sum_{n \geq 0} \frac{1}{p^n} \left(\frac{1}{p^{-2n} + m^2|\xi|_p^2} - \frac{1}{p^2 + m^2|\xi|_p^2} \right) \end{aligned}$$

Wniosek 11.1.21. Przy $|\xi|_p$ dążącym do ∞ mamy asymptotykę

$$\int_{\mathbb{Q}_p} \frac{\chi_p(\xi x)}{|x|_p^2 + m^2} dx \approx \frac{p^4 + p^3}{p^2 + p + 1} \frac{1}{m^4 |\xi|_p^3}.$$

Dowód. Mniej uciążliwy rachunkowo niż pozornie:

$$\begin{aligned} \dots &= \lim_{|\xi|_p \rightarrow \infty} |\xi|_p^3 \int_{\mathbb{Q}_p} \frac{\chi_p(\xi x)}{|x|_p^2 + m^2} dx \\ &= \frac{p-1}{pm^4} \cdot \lim_{|\xi|_p \rightarrow \infty} \sum_{n=0}^{\infty} \frac{p^2 - p^{-2n}}{p^n} \left(1 - \frac{p^{-2n}}{p^{-2n} + m^2 |\xi|_p^2}\right) \\ &= \frac{p-1}{pm^4} \sum_{n=0}^{\infty} (p^{2-n} - p^{-3n}) = \frac{p-1}{pm^4} \left(\frac{p^2}{1-p^{-1}} - \frac{1}{1-p^{-3}} \right). \quad \square \end{aligned}$$

Fakt 11.1.22. Całka rzeczywista maleje wykładniczo:

$$\int_{-\infty}^{\infty} \frac{\exp(-2\pi i \xi x)}{x^2 + m^2} dx = \frac{\pi}{m \exp(2\pi m |\xi|)}.$$

Miara dx z \mathbb{Q}_p przenosi się na przestrzeń produktową \mathbb{Q}_p^n . Redukcja wielowymiarowych Włd. całek do prostszych, w jednym wymiarze, jest możliwa na mocy twierdzenia Fubiniego. 4.4

Twierdzenie 32 (Fubini). Niech dana będzie taka funkcja $f(x, y)$ dla $x \in \mathbb{Q}_p^n$ i $y \in \mathbb{Q}_p^m$, że całka iterowana

$$\int_{\mathbb{Q}_p^n} \int_{\mathbb{Q}_p^m} |f(x, y)| dy dx$$

istnieje. Wtedy funkcja f jest całkowalna na \mathbb{Q}_p^{n+m} , zaś iterowane całki są sobie równe:

$$\int_{\mathbb{Q}_p^n} \int_{\mathbb{Q}_p^m} f(x, y) dy dx = \int_{\mathbb{Q}_p^m} \int_{\mathbb{Q}_p^n} f(x, y) dx dy$$

i pokrywają się wartością z całką $f(x, y)$ nad \mathbb{Q}_p^{n+m} .

Fakt 11.1.23 (zamiana zmiennych III). Jeśli $x_i(y_1, \dots, y_n)$ jest homeomorfizmem między otwarto-zwartymi K_1 i $K_2 \subseteq \mathbb{Q}_p^n$, którego współrzędne są analityczne i $\det \|\partial x_i / \partial y_k\| \neq 0$, to

$$\int_{K_2} f(x) dx = \int_{K_1} \left| \det \frac{\partial x_i}{\partial y_k} \right|_p f(x(y)) dy.$$

Fakt 11.1.24 (całka Gaußa). Jeśli $a \neq 0$, to

Włd.
5.1

$$\int_{\mathbb{Q}_p} \chi_p(ax^2 + bx) dx = \lambda_p(a) |a|_p^{-1/2} \chi_p(-b^2/4a),$$

gdzie $\sqrt{2}\lambda_2(a) = (1+i)i^{a_1}(-1)^{a_2}$, jeśli $2 \mid v_2(a)$, natomiast $\sqrt{2}\lambda_2(a) = 1 + (-1)^{a_1}i$ w przeciwnym razie. Dla $p > 2$, $\lambda_p(a) = 1$ (jeśli $2 \mid v_p(a)$), (a_0/p) , jeśli $4 \mid p-1$ oraz $i(a_0/p)$, gdy $4 \mid p-3$ (w obu przypadkach $2 \nmid v_p(a)$).

Sowieci liczą teraz śmieszne całki, gaussowskie oraz różne warianty $\int_X \chi_p(t(x-y)^2) dy$.

Fakt 11.1.25. $\lambda_p(a)\lambda_p(b) = \lambda_p(a+b)\lambda_p(1/a + 1/b)$.

Włd.
5.4

Rozdział 12: Teoria reprezentacji

12.1 Reduktywne grupy p -adyczne

Wyłożymy jedynie podstawy teorii reprezentacji reduktywnych grup p -adycznych na tyle elementarnie, by treść tego rozdziału była przystępna dla początkujących. Aby nie rozrosły się przesadnie, konieczne były drastyczne cięcia. Mimo to staraliśmy się zachować jak najdłużej ogólność, to jest minimalne założenia: od drugiej podsekcji żądamy mianowicie, by ciało \mathcal{K} nie było charakterystyki p . Po drugie, chcieliśmy jednak być w stanie udowodnić cokolwiek sensownego i to się nam udało.

12.1.1 Gładkość

Grupy lokalnie proskończone

Przypomnijmy (nie do końca wiadomo skąd), że grupa topologiczna \mathcal{G} jest *proskończona*, jeśli jest zwarta i całkowicie niespójna (składowe spójności liczą równo jeden element). W takim przypadku \mathcal{G} jest izomorficzna z $\varprojlim \mathcal{G}/U$, gdzie U przebiega otwarte dzielniki normalne \mathcal{G} . Zauważmy, że wszystkie ilorazy \mathcal{G}/U są skończone. Odwrotnie, taka granica odwrotna jest zwarta i całkowicie rozłączna, zatem proskończona. Jeśli ilorazy były p -grupami, to \mathcal{G} jest pro- p -grupą. Przykładem takiej sytuacji jest znana nam już równość $\mathbb{Z}_p = \varprojlim \mathbb{Z}/p^n\mathbb{Z}$.

Definicja 12.1.1. Grupa topologiczna \mathcal{G} jest lokalnie proskończona, gdy każde otoczenie $e \in \mathcal{G}$ zawiera otwartą i zwartą podgrupę lub (równoważnie) \mathcal{G} jest lokalnie zwarta i całkowicie niespójna.

Przykład 12.1.2. Addytywna grupa \mathbb{Q}_p lub ogólniej, lokalnego ciała niearchimedesowego. Grupa multiplikatywna \mathbb{Q}_p^\times . Przestrzeń liniowa nad \mathbb{Q}_p skończonego wymiaru. Grupa macierzy $n \times n$ nad tym ciałem, podgrupa (otwarta) macierzy odwracalnych.

Podstawy teorii reprezentacji

Definicja 12.1.3. Reprezentacja (π, \mathcal{V}) grupy \mathcal{G} w przestrzeni \mathcal{V} nad ciałem \mathcal{K} to homomorfizm $\pi: \mathcal{G} \rightarrow \text{Aut}_{\mathcal{K}}(\mathcal{V})$.

Morfizm między reprezentacjami to liniowy homomorfizm $\phi: \mathcal{V}_1 \rightarrow \mathcal{V}_2$, że $\phi \circ \pi_1(g) = \pi_2(g) \circ \phi$ dla wszystkich $g \in \mathcal{G}$. Zbiór morfizmów to $\text{Hom}_{\mathcal{G}}(\pi_1, \pi_2)$. Jeśli zawiera liniowy izomorfizm, to reprezentacje nazwiemy izomorficznymi.

Reprezentacja jest *nierozkładalna*, jeśli \mathcal{V} nie jest sumą prostą właściwych \mathcal{G} -stabilnych podprzestrzeni (stabilnych względem automorfizmów z $\pi(\mathcal{G})$).

Nieskracalna, jeśli jest niezerowa i żadna właściwa niezerowa podprzestrzeń \mathcal{V} nie jest stabilny względem automorfizmów z $\pi(\mathcal{G})$.

Gładkie reprezentacje

Wracamy do lokalnie proskończonych grup \mathcal{G} i wymagamy więcej od reprezentacji zależnie od dodatkowej struktury na \mathcal{G} . Chcemy brać pod uwagę topologię na \mathcal{G} : $(g, v) \mapsto \pi(g)v$ powinno być ciągłą funkcją $\mathcal{G} \times \mathcal{V} \rightarrow \mathcal{V}$, kiedy \mathcal{V} jest dyskretną przestrzenią.

Definicja 12.1.4. Reprezentacja (π, \mathcal{V}) dla \mathcal{G} jest gładka, jeżeli $\mathcal{G}_v = \{g \in \mathcal{G} : \pi(g)(v) = v\}$, stabilizatory v w \mathcal{G} , są otwartymi podzbiorami \mathcal{G} .

Reprezentacje dziedziczone

12.1.2 Osiągalność

Reprezentacje osiągalne

Definicja 12.1.5. Gładka reprezentacja (π, \mathcal{V}) dla \mathcal{G} jest osiągalna, o ile \mathcal{V}^K ma skończony wymiar dla każdej zwartej podgrupy otwartej $K \leq \mathcal{G}$.

Miara Haara

Algebra Heckego

Konieczmienniki

12.1.3 Lemat Schura

Quasi-charaktery

Charakter centralny

Reprezentacje \mathbb{Z} -zwarte

Przykład

12.1.4 Szpiczastość

Paraboliczna indukcja, restrykcja

Paraboliczna para

Reprezentacje szpiczaste

Rozkład Iwahoriego

Gładkie reprezentacje nieskracalne są osiągalne

Twierdzenie 33 (Vigneras, 2005). Każda gładka reprezentacja nieredukowalna dla \mathcal{G} nad K o charakterystyce różnej od p jest osiągalna.

Rozdział 13: Trupiogłowe królestwo

Hipoteza Iwasawy. Teoria Hodge'a. Podnoszenie wykładnika.

Bibliografia

- [1] BOVEY, J. D. A note on Waring's problem in p -adic fields. *Acta Arithmetica* 29 (1976), 343–351.
- [2] BURGER, E. B., AND STRUPPECK, T. Does $\sum_{n \geq 0} n!^{-1}$ really converge? Infinite series and p -adic analysis. *The American Mathematical Monthly* 103 (1996), 565–577.
- [3] HASSE, H. *Number Theory*. Springer, 1980.
- [4] PARVARDI, A. Lifting the exponent lemma (LTE). *Art of problem solving* 103, 7 (2011), 565–577.
- [5] SERRE, J. P. *A Course in Arithmetic*. Springer, 1973.
- [6] VOLOCH, J. F. On the p -adic Waring's problem. *Acta Arithmetica* XC, 1 (1999), 92–95.